

TRENDS OP BASIS VAN DE ALGEMENE

BROEDVOGELMONITORING VLAANDEREN (ABV)

Thierry Onkelinx, Glenn Vermeersch, Koen Devos

10.5281/zenodo.1494832

Inleiding

Nog te schrijven

Inhoudsopgave

Inleiding	1
Inhoudsopgave	4
1 Samengestelde indices	5
1.1 Bos	5
1.2 Generalist	6
1.3 Landbouw	7
1.4 Standvogel	8
1.5 SubSaharaMigrant	9
1.6 Watervogel	10
2 Indices per soort	11
2.1 Overzicht van de trends	11
2.1.1 Lineaire trends op basis van jaarlijkse gegevens	12
2.1.2 Lineaire trends na aggregatie per driejarige cyclus	15
2.2 Aalscholver	18
2.3 Bergeend	21
2.4 Blauwborst	23
2.5 Blauwe reiger	25
2.6 Boerenwaluw	27
2.7 Bonte vliegenvanger	29
2.8 Boomklever	31
2.9 Boomkruiper	33
2.10 Boomleeuwerik	35
2.11 Boompieper	37
2.12 Bosrietzanger	39
2.13 Bruine kiekendief	41
2.14 Buizerd	43
2.15 Canadese gans	45
2.16 Cetti's zanger	47
2.17 Dodaars	49
2.18 Ekster	51
2.19 Fazant	53
2.20 Fitis	55
2.21 Fuut	57
2.22 Gaai	59
2.23 Geelgors	61
2.24 Gekraagde roodstaart	63
2.25 Gele kwikstaart	65
2.26 Gierwaluw	67
2.27 Glanskop	69
2.28 Goudhaan	71
2.29 Grasmus	73
2.30 Graspieper	75
2.31 Grauwe gans	77
2.32 Groene specht	79
2.33 Groenling	81
2.34 Grote bonte specht	83
2.35 Grote lijster	85



2.36	Grutto	87
2.37	Halsbandparkiet	89
2.38	Havik	91
2.39	Heggenmus	93
2.40	Holenduif	95
2.41	Houtduif	97
2.42	Huismus	99
2.43	Huiszwaluw	101
2.44	Kauw	103
2.45	Kievit	105
2.46	Kleine karekiet	107
2.47	Kleine mantelmeeuw	109
2.48	Kneu	111
2.49	Knobbelzwaan	113
2.50	Koekoek	115
2.51	Kokmeeuw	117
2.52	Koolmees	119
2.53	Krakeend	121
2.54	Kuifeend	123
2.55	Kuifmees	125
2.56	Matkop	127
2.57	Meerkoet	129
2.58	Merel	131
2.59	Nachtegaal	133
2.60	Nijlgans	135
2.61	Patrijs	137
2.62	Pimpelmees	138
2.63	Putter	140
2.64	Rietgors	142
2.65	Rietzanger	144
2.66	Ringmus	146
2.67	Roek	147
2.68	Roodborst	149
2.69	Roodborsttapuit	151
2.70	Scholekster	153
2.71	Sperwer	155
2.72	Spreeuw	157
2.73	Sprinkhaanzanger	159
2.74	Staatmees	161
2.75	Stadsduif	163
2.76	Tjiftjaf	165
2.77	Torenvalk	167
2.78	Tuinfluiter	169
2.79	Turkse tortel	171
2.80	Veldleeuwerik	173
2.81	Vink	175
2.82	Waterhoen	177
2.83	Wielewaal	179
2.84	Wilde eend	181
2.85	Winterkoning	183
2.86	Witte kwikstaart	185
2.87	Wulp	187
2.88	Zanglijster	189
2.89	Zilvermeeuw	191
2.90	Zwarte kraai	193
2.91	Zwarte mees	195
2.92	Zwarte roodstaart	197
2.93	Zwarte specht	199
2.94	Zwartkop	201



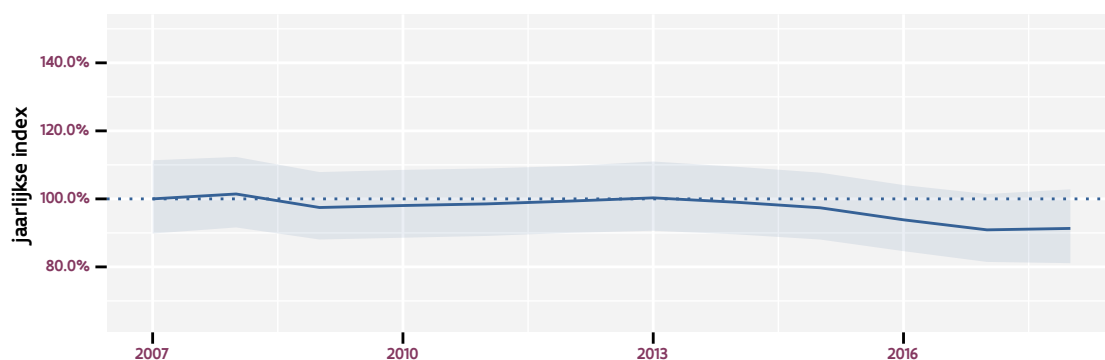
3	Overzicht van de monitoringsinspanning	203
3.1	Aantal onderzochte hokken per jaar	203
3.2	Aantal onderzochte punten	204
3.3	Herbezoek van hokken	206



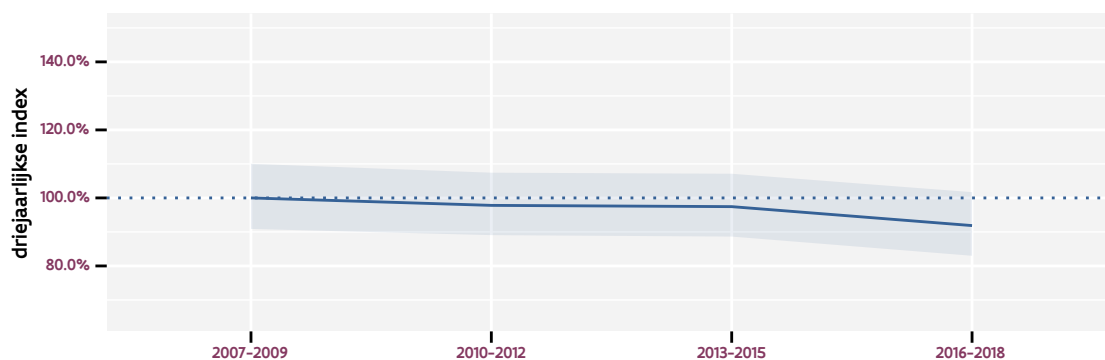
1 SAMENGESTELDE INDICES

Dit hoofdstuk geeft de verschillende samengestelde indices. Elke samengestelde index is het gemiddelde van de set van indices van individuele soorten. We gebruiken hierbij enkel de indices gebaseerd op niet-lineaire trends. We geven telkens de index gebaseerd op jaarlijkse gegevens en na aggregatie per driejarige cyclus. Tot slot geven we nog voor elke index de controlesommen weer voor de analyse en de status. Deze controlesommen laten toe om de reproduceerbaarheid van de verwerking te na te gaan. Aanpassing in de data zullen leiden tot een andere controlesom voor zowel de analyse als de status. Aanpassingen aan de berekeningwijze tussen enkel leiden tot een andere controlesom voor de status.

1.1 BOS



Figuur 1.1: Vlaamse samengestelde indices voor Bos op basis van jaarlijkse data.

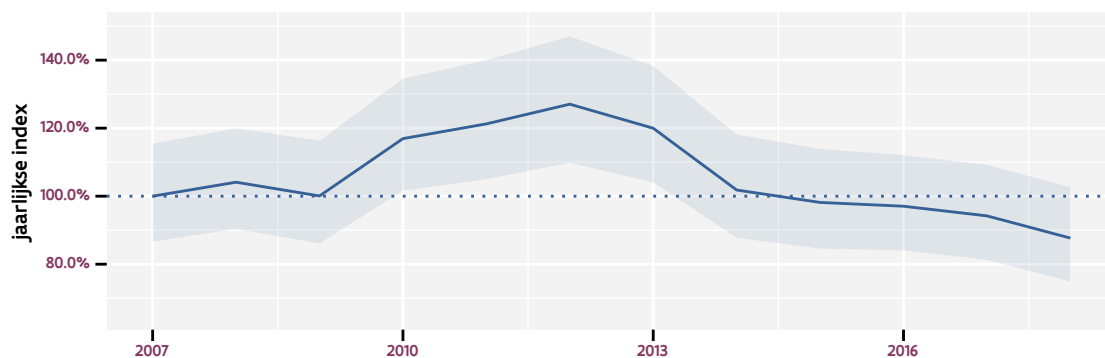


Figuur 1.2: Vlaamse samengestelde indices voor Bos op basis van data geaggregeerd per driejaarlijkse cyclus.

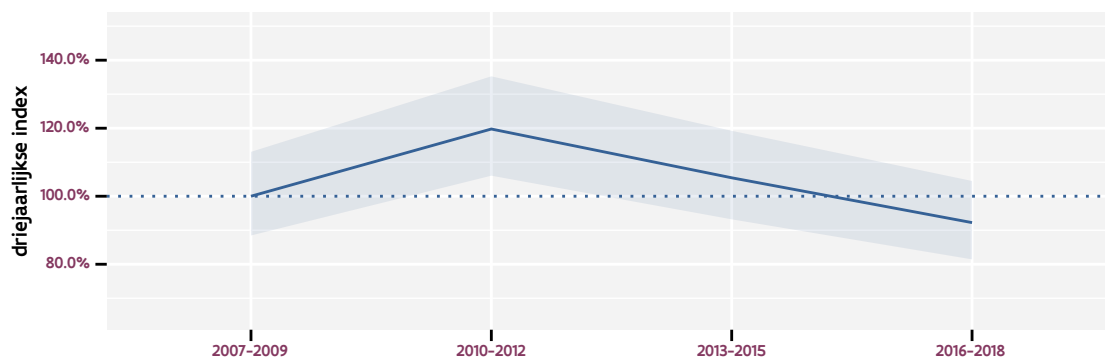
Tabel 1.1: Controlesommen van de modellen voor Bos.

model	analyses	status
jaarlijkse niet-linear	ff891523684ab31a79c9	cec052fb61cf23d5b9f5
	055252b7befc69bf6c79	736c9fb453d190877ba1
driejaarlijks niet-linear	17ecfbd1e56db14aa625	300016107cd62918a345
	093e4ce640fbb005ee1d	18e17f41febd89e1c1f3

1.2 GENERALIST



Figuur 1.3: Vlaamse samengestelde indices voor Generalist op basis van jaarlijkse data.

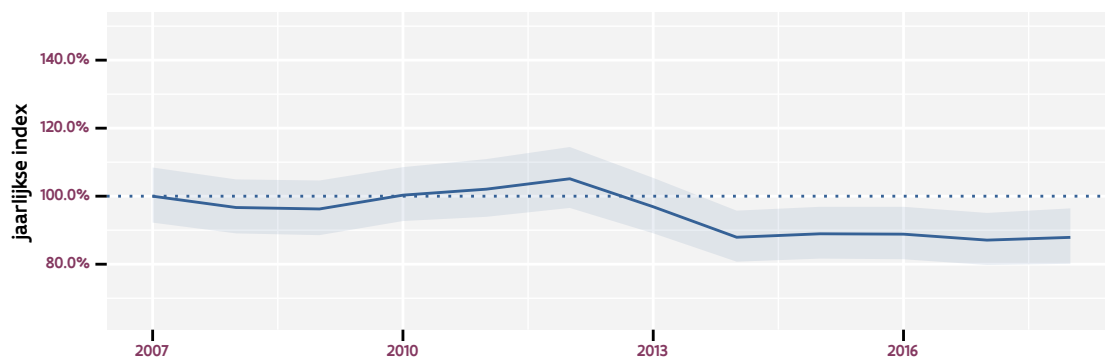


Figuur 1.4: Vlaamse samengestelde indices voor Generalist op basis van data geaggregeerd per driejaarlijkse cyclus.

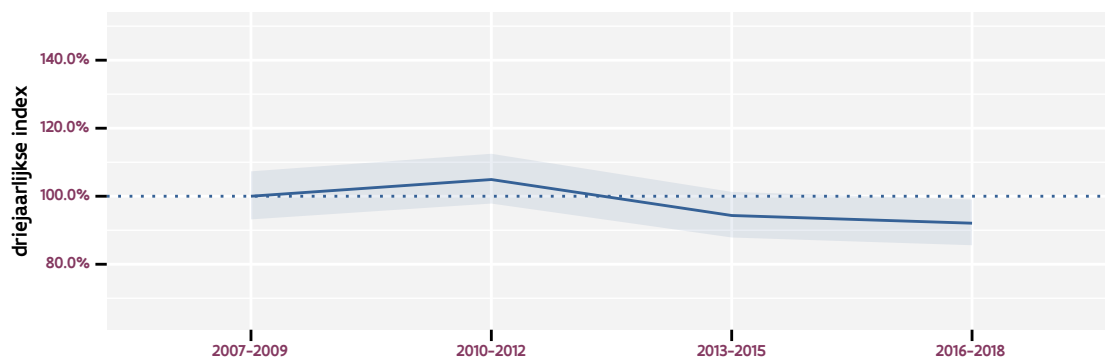
Tabel 1.2: Controlesommen van de modellen voor Generalist.

model	analyses	status
jaarlijkse niet-linear	5bcbcccae76d6d5042d4 360767df343ff61a79cc	81bdb27e27eff9470ea7 ccb44740fc16ac991388
driejaarlijks niet-linear	08bd93a1e5eeb53ef8df c82435b39513172fc8f1	59eb98903e3b39bd56de 3cb641393e47c95df67d

1.3 LANDBOUW



Figuur 1.5: Vlaamse samengestelde indices voor Landbouw op basis van jaarlijkse data.

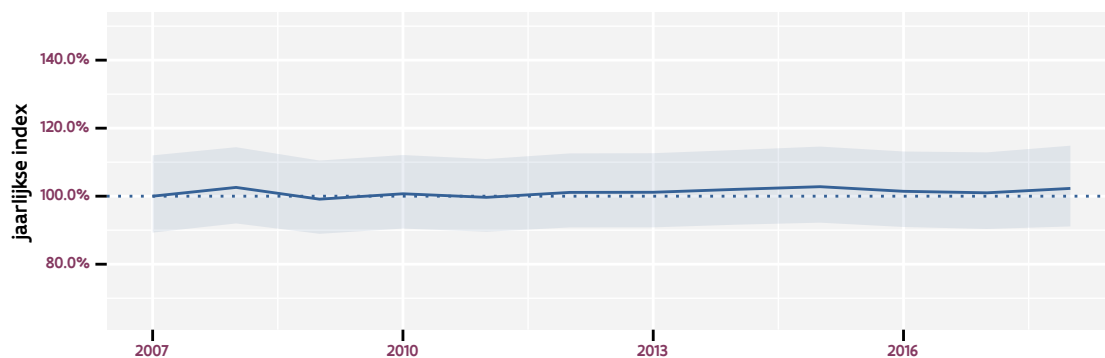


Figuur 1.6: Vlaamse samengestelde indices voor Landbouw op basis van data geaggregeerd per driejaarlijkse cyclus.

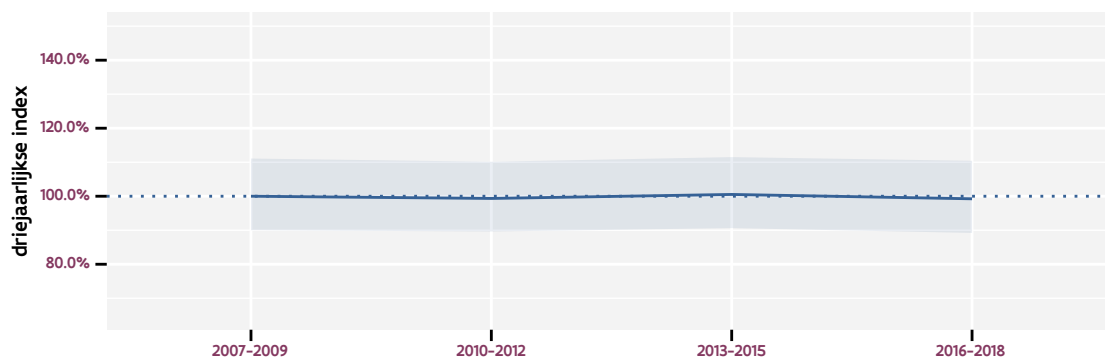
Tabel 1.3: Controlesommen van de modellen voor Landbouw.

model	analyses	status
jaarlijkse niet-linear	0f09ae5549f622be08c6	f59ebaff2f904f9dd0c9
	608b9a2f2a1deef59cd	a9ea76dd611428417c2e
driejaarlijks niet-linear	201844cd78cfbcf90eb7	8f085f15b2cdf1f8f81d
	a805f18ebef3067116bb	44cd41da16468d323801

1.4 STANDVOGEL



Figuur 1.7: Vlaamse samengestelde indices voor Standvogel op basis van jaarlijkse data.

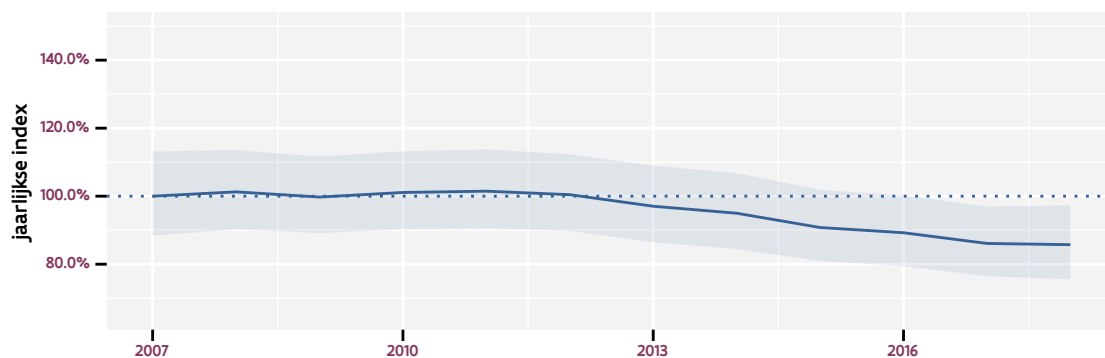


Figuur 1.8: Vlaamse samengestelde indices voor Standvogel op basis van data geaggregeerd per driejaarlijkse cyclus.

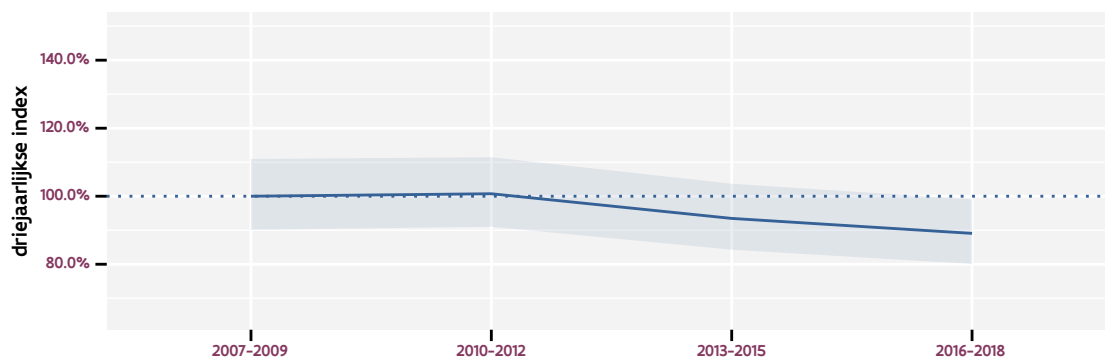
Tabel 1.4: Controlesommen van de modellen voor Standvogel.

model	analyses	status
jaarlijkse niet-linear	7df839df7f0f4d96b2f2	d30cfc10d43857b2d5b5
	04f29fcd288c4990cb50	24743e99b38708154f10
driejaarlijks niet-linear	1f105985d756c46fd808	5fc906d7c08ea4534350
	2a17677ec009a145c90b	d9a601483df0bf5395ad

1.5 SUBSAHARAMIGRANT



Figuur 1.9: Vlaamse samengestelde indices voor SubSaharaMigrant op basis van jaarlijkse data.

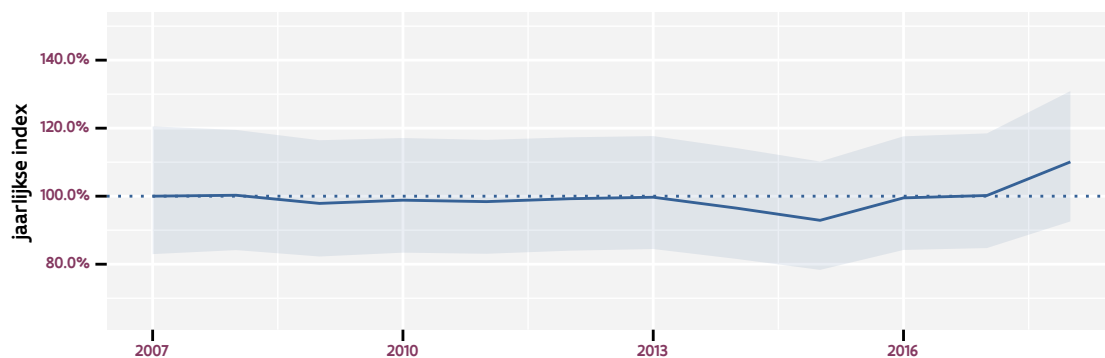


Figuur 1.10: Vlaamse samengestelde indices voor SubSaharaMigrant op basis van data geaggregeerd per driejaarlijkse cyclus.

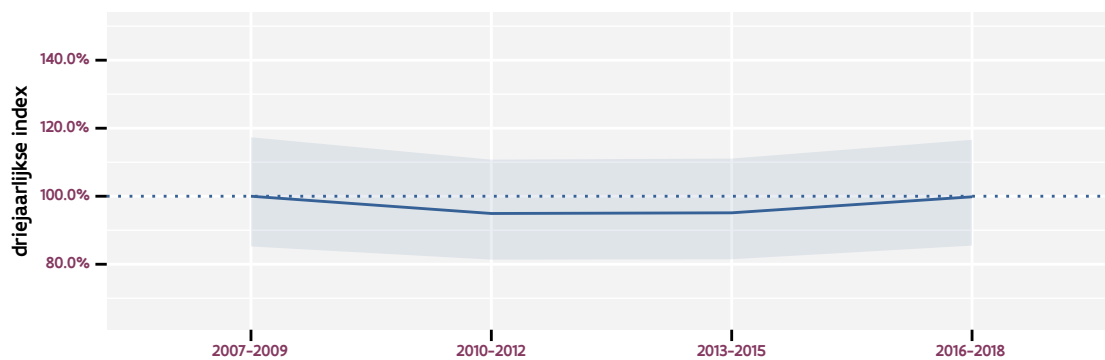
Tabel 1.5: Controlesommen van de modellen voor SubSaharaMigrant.

model	analyses	status
jaarlijkse niet-linear	05b3dcbc7a97174c4319	3416fc42aa9b50c15e2b
	629cfddec643704da03	98085cbe2d7a562a3b73
driejaarlijks niet-linear	bf495bcd812b10a28911	7749b887f29f34ef1b97
	4daef1c412f0f5c7834b	4db29c1486bd60e49da1

1.6 WATERVOGEL



Figuur 1.11: Vlaamse samengestelde indices voor Watervogel op basis van jaarlijkse data.



Figuur 1.12: Vlaamse samengestelde indices voor Watervogel op basis van data geaggregeerd per driejaarlijkse cyclus.

Tabel 1.6: Controlesommen van de modellen voor Watervogel.

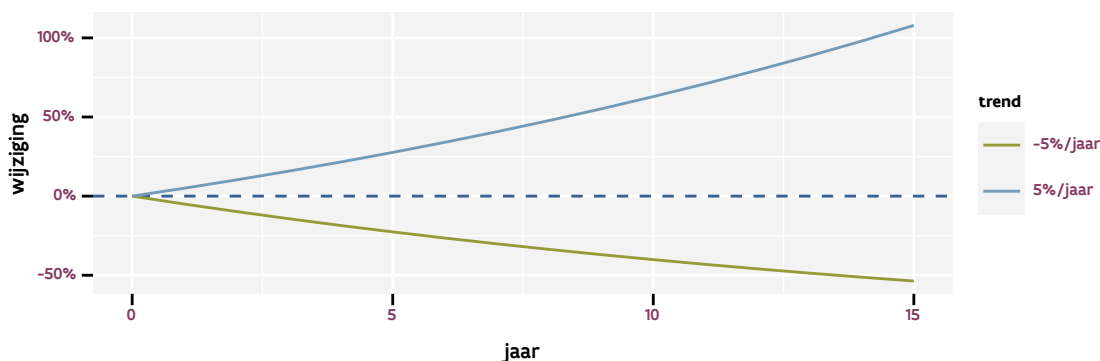
model	analyses	status
jaarlijkse niet-linear	15e3bb047140628b8612	db75a91623e6afe95143
	1da8b2811ab404ff3383	43f30fa6c5df21c8eab1
driejaarlijks niet-linear	ba1c06834837381a5441	d2decb70f31ddf5e819d
	534975150254b221d832	15f49bd46539b2087db4

2 INDICES PER SOORT

In dit hoofdstuk geven we de trends voor de individuele soorten weer. Eerst geven we een samenvatting van de trends voor alle soorten. Vervolgens vatten we de informatie per soort samen in drie grafieken. Een eerste grafiek geeft de indices weer wanneer we ons baseren op de jaarlijkse gegevens. Een tweede grafiek geeft de indices na een aggregatie van de gegevens tot driejarige cycli. De derde grafiek geeft een overzicht van het aantal hokken, opgesplitst per jaar en per stratum, waarop de indices gebaseerd zijn. Tot slot geven we nog voor elk model de controlesommen weer voor de analyse en de status. Deze controlesommen laten toe om de reproduceerbaarheid van de verwerking te na te gaan. Aanpassing in de data zullen leiden tot een andere controlesom voor zowel de analyse als de status. Aanpassingen aan de berekeningwijze tussen enkel leiden tot een andere controlesom voor de status.

2.1 OVERZICHT VAN DE TRENDS

In deze sectie geven we een overzicht van de (log-)lineaire trend van alle soorten. Dit is de wijziging die we vaststellen over na een periode van 11 jaar na het startjaar. Dit komt overeen met de periode waarvan we beschikbare informatie hebben. Figuur 2.1 illustreert welke totale wijziging overeenkomt met een vaste jaarlijkse wijziging van -5% of +5%.



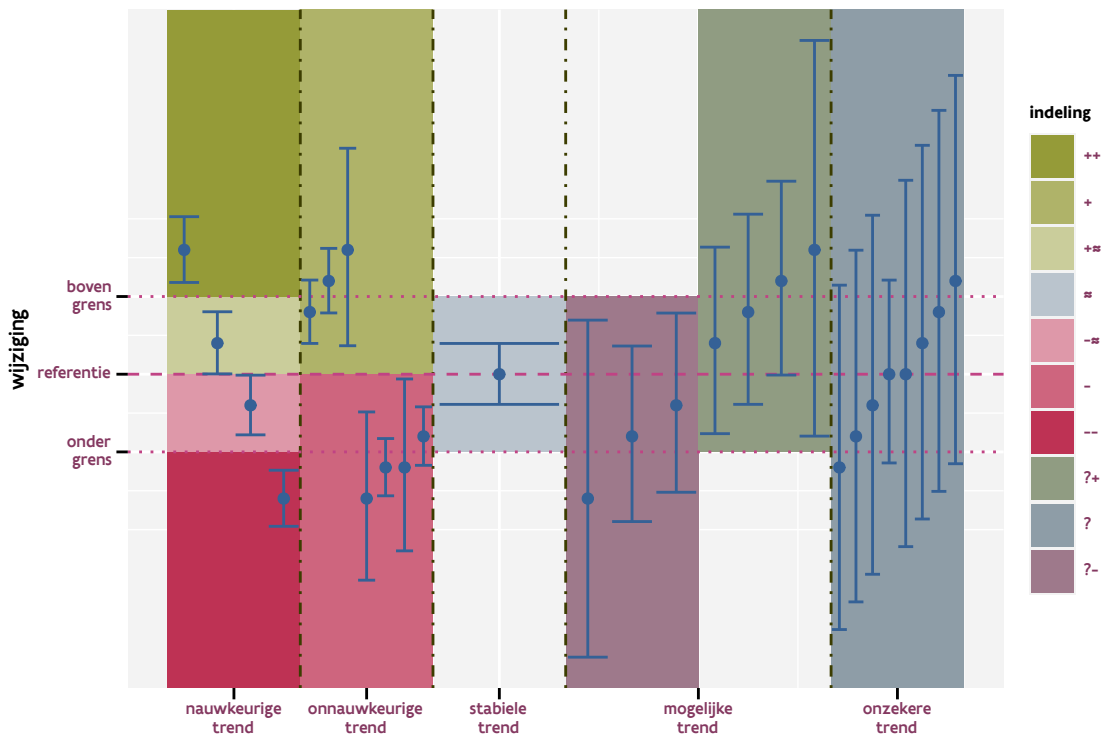
Figuur 2.1: Totale wijziging bij een vaste jaarlijkse wijziging

Bij elke wijziging geven we eveneens een indicatie van het type trend weer.

- **L**: De wijziging is constant over de volledige looptijd (een log-lineaire trend). De gerapporteerde wijziging is zinvol om te interpreteren.
- **L?**: De wijziging is mogelijk niet constant over de looptijd (een mogelijk niet lineaire trend). Interpreteer de gerapporteerde wijziging in combinatie met de trendgrafiek.
- **NL**: De wijziging is met zekerheid niet constant over de looptijd (een niet-lineaire trend). De aantallen van deze soort schommelen sterk tussen de jaren waardoor een totale wijziging altijd zinvol is. Interpreteer de wijzigingen enkel aan de hand van trendgrafiek.

De trends worden in 10 klassen ingedeeld op basis van onderstaande regels. Deze regels vergelijken de ligging van het betrouwbaarheidsinterval met drie waarden: de referentie, de ondergrens en de bovengrens. Als referentie gebruiken we 0%, m.a.w. geen wijziging. Als ondergrens voor de wijziging over 11 gebruiken we -39.8%. Dit komt overeen met elke 15 jaar een halvering. Voor de bovengrens gebruiken we 66.2%, wat overeenkomt met elke 15 jaar een verdubbeling. Figuur 2.2 illustreert deze regels aan de hand van voorbeelden.

- **sterke toename (++)**: de aantallen verdubbelen met zekerheid elke 15 jaar.
- **beperkte toename (+≈)**: de aantallen met zekerheid toe en de toename is minder sterk van een verdubbling over 15.
- **toename (+)**: de aantallen met zekerheid toe. We hebben geen zekerheid of de toename al dan niet sterker is dan een verdubbling over 15 jaar.
- **sterke afname (-)**: de aantallen halver met zekerheid elke 15 jaar.
- **beperkte afname (-≈)**: de aantallen met zekerheid af en de afname is minder sterk van een halvering over 15.
- **afname (-)**: de aantallen met zekerheid af. We hebben geen zekerheid of de afname al dan niet sterker is dan een halvering over 15 jaar.
- **stabiel (≈)**: een eventuele wijziging in de aantallen is met zekerheid minder sterk dan een verdubbeling of halvering over 15 jaar.
- **mogelijke toename (?+)**: we kunnen enkel met zekerheid stellen dan een eventuele afname niet sterker is dan een halvering over 15 jaar.
- **mogelijke afname (?-)**: we kunnen enkel met zekerheid stellen dan een eventuele toename niet sterker is dan een verdubbling over 15 jaar.
- **onzekere trend (?)**: de onzekerheid op de wijziging is dermate groot dat zowel een verdubbling als een halvering over 15 jaar plausibel zijn.



Figuur 2.2: Voorbeelden van betrouwbaarheidsintervallen met hun indeling in 10 klassen.

2.1.1 Lineaire trends op basis van jaarlijkse gegevens

Tabel 2.1: Soorten met een sterke toename op basis van jaarlijkse data.

soort	wijziging	trend
Kleine mantelmeeuw	+1006% (+355%; +2579%)	NL
Putter	+542% (+204%; +1267%)	L

soort	wijziging	trend
Roek	+485% (+209%; +1011%)	L
Kokmeeuw	+441% (+119%; +1257%)	NL
Kauw	+107% (+90%; +127%)	NL

Tabel 2.2: Soorten met een beperkte toename op basis van jaarlijkse data.

soort	wijziging	trend
Zwartkop	+36% (+26%; +47%)	NL
Zwarte kraai	+29% (+21%; +37%)	NL
Pimpelmees	+23% (+11%; +36%)	NL
Tjiftjaf	+21% (+13%; +29%)	NL
Roodborst	+20% (+8%; +33%)	NL
Grote bonte specht	+20% (+3%; +39%)	NL
Vink	+11% (+5%; +17%)	NL
Houtduif	+7% (+2%; +12%)	NL

Tabel 2.3: Soorten met een toename op basis van jaarlijkse data.

soort	wijziging	trend
Halsbandparkiet	+162% (+36%; +408%)	NL
Kuifeend	+125% (+12%; +355%)	L?
Zilvermeeuw	+125% (+11%; +355%)	NL
Krakeend	+111% (+4%; +327%)	NL
Boomklever	+78% (+39%; +129%)	NL
Gekraagde roodstaart	+62% (+2%; +157%)	L?
Meerkoet	+61% (+22%; +112%)	NL
Buizerd	+54% (+27%; +86%)	L
Boomleeuwerik	+49% (+16%; +90%)	NL
Roodborsttapuit	+37% (+1%; +86%)	NL

Tabel 2.4: Soorten met een beperkte afname op basis van jaarlijkse data.

soort	wijziging	trend
Huismus	-33% (-38%; -28%)	NL
Zanglijster	-29% (-36%; -22%)	NL
Spreeuw	-28% (-36%; -19%)	NL
Veldleeuwerik	-26% (-34%; -18%)	NL
Heggenmus	-24% (-30%; -17%)	NL
Wilde eend	-20% (-29%; -9%)	NL
Turkse tortel	-16% (-21%; -10%)	NL
Merel	-16% (-19%; -12%)	NL
Holenduif	-15% (-24%; -5%)	NL
Fazant	-12% (-19%; -4%)	NL
Koolmees	-11% (-16%; -5%)	NL

Tabel 2.5: Soorten met een sterke afname op basis van jaarlijkse data.

soort	wijziging	trend
Sprinkhaanzanger	-72% (-84%; -48%)	L
Kievit	-59% (-64%; -54%)	NL
Patrijs	-55% (-65%; -42%)	L

Tabel 2.6: Soorten met een afname op basis van jaarlijkse data.

soort	wijziging	trend
Zwarte mees	-61% (-75%; -39%)	NL
Grote lijster	-48% (-62%; -28%)	L?
Havik	-47% (-69%; -9%)	L
Tuinfluitier	-47% (-61%; -27%)	NL
Fitis	-44% (-58%; -25%)	NL
Graspieper	-42% (-54%; -28%)	NL
Koekoek	-41% (-55%; -22%)	L?
Staartmees	-38% (-59%; -6%)	NL
Waterhoen	-36% (-46%; -23%)	NL
Gele kwikstaart	-35% (-44%; -25%)	L?
Rietgors	-32% (-53%; -4%)	NL
Grutto	-32% (-49%; -10%)	L
Kleine karekiet	-25% (-41%; -3%)	NL

Tabel 2.7: Soorten met een mogelijke toename op basis van jaarlijkse data.

soort	wijziging	trend
Nachtegaal	+8% (-31%; +70%)	NL
Fuut	+13% (-34%; +95%)	NL
Rietzanger	+30% (-0%; +68%)	L
Bruine kiekendief	+31% (-28%; +139%)	L
Blauwe reiger	+35% (-10%; +103%)	NL
Sperwer	+37% (-26%; +156%)	NL
Bonte vliegenvanger	+66% (-3%; +186%)	L
Knobbelzwaan	+83% (-8%; +265%)	L

Tabel 2.8: Soorten met een mogelijke afname op basis van jaarlijkse data.

soort	wijziging	trend
Wielewaal	-24% (-60%; +44%)	NL
Grauwe gans	-20% (-56%; +46%)	NL
Stadsduif	-11% (-45%; +41%)	NL

Tabel 2.9: Soorten met een stabiele trend op basis van jaarlijkse data.

soort	wijziging	trend
Ringmus	-16% (-34%; +6%)	NL
Gaai	-13% (-27%; +3%)	NL
Goudhaan	-11% (-34%; +20%)	NL
Kuifmees	-9% (-32%; +21%)	NL
Zwarte roodstaart	-9% (-25%; +10%)	NL
Groene specht	-6% (-16%; +5%)	NL
Scholekster	-4% (-20%; +15%)	NL
Wulp	-4% (-32%; +36%)	NL
Gierzwaluw	-3% (-36%; +47%)	NL
Witte kwikstaart	-2% (-14%; +13%)	L?
Winterkoning	-1% (-6%; +4%)	NL
Kneu	-0% (-22%; +28%)	NL
Groenling	+0% (-13%; +16%)	NL
Ekster	+1% (-6%; +9%)	NL
Boomkruiper	+2% (-17%; +24%)	NL
Boerenzwaluw	+3% (-10%; +19%)	NL
Canadese gans	+5% (-18%; +33%)	NL
Torenavalk	+9% (-18%; +46%)	L?
Bergeend	+10% (-17%; +46%)	L?
Geelgors	+10% (-10%; +36%)	NL
Blauwborst	+12% (-19%; +55%)	NL
Grasmus	+12% (-3%; +31%)	NL
Boompieper	+14% (-16%; +54%)	NL
Nijlgans	+21% (-7%; +56%)	NL

Tabel 2.10: Soorten met een onzekere trend op basis van jaarlijkse data.

soort	wijziging	trend
Dodaars	-37% (-77%; +75%)	NL
Glanskop	-23% (-69%; +90%)	L
Zwarte specht	-3% (-45%; +70%)	NL
Bosrietzanger	-2% (-43%; +71%)	L
Huiszwaluw	+5% (-42%; +91%)	L?
Cetti's zanger	+13% (-66%; +281%)	NL
Matkop	+34% (-47%; +237%)	L?
Aalscholver	+37% (-48%; +259%)	L

2.1.2 Lineaire trends na aggregatie per driejarige cyclus

Tabel 2.11: Soorten met een sterke toename op basis van data geaggregeerd per driejarige cyclus.

soort	wijziging	trend
Kleine mantelmeeuw	+1083% (+389%; +2755%)	NL

soort	wijziging	trend
Putter	+613% (+231%; +1445%)	L
Roek	+459% (+196%; +960%)	L
Kokmeeuw	+418% (+113%; +1175%)	L
Halsbandparkiet	+186% (+40%; +482%)	NL
Zilvermeeuw	+155% (+21%; +436%)	L
Kauw	+111% (+92%; +131%)	NL
Boomklever	+78% (+38%; +128%)	NL
Meerkoet	+65% (+25%; +118%)	L
Buizerd	+51% (+25%; +83%)	L?
Zwartkop	+35% (+24%; +46%)	NL
Zwarte kraai	+30% (+22%; +38%)	NL

Tabel 2.12: Soorten met een beperkte toename op basis van data geaggregeerd per driejarige cyclus.

soort	wijziging	trend
Vink	+11% (+5%; +17%)	NL
Houtduif	+7% (+2%; +12%)	NL

Tabel 2.13: Soorten met een toename op basis van data geaggregeerd per driejarige cyclus.

soort	wijziging	trend
Krakeend	+134% (+13%; +386%)	NL
Kuifeend	+126% (+10%; +363%)	L
Gekraagde roodstaart	+67% (+4%; +165%)	L
Boomleeuwerik	+48% (+15%; +90%)	L
Rietzanger	+33% (+2%; +74%)	L
Pimpelmees	+21% (+10%; +34%)	NL
Tjiftjaf	+20% (+12%; +28%)	NL
Roodborst	+19% (+7%; +32%)	NL
Grote bonte specht	+19% (+2%; +38%)	NL

Tabel 2.14: Soorten met een sterke afname op basis van data geaggregeerd per driejarige cyclus.

soort	wijziging	trend
Sprinkhaanzanger	-74% (-86%; -52%)	L
Zwarte mees	-63% (-77%; -41%)	L?
Kievit	-60% (-64%; -55%)	L
Grote lijster	-47% (-62%; -27%)	L
Tuinfluitter	-47% (-61%; -27%)	L
Fitis	-43% (-57%; -24%)	NL
Graspieper	-42% (-53%; -27%)	NL
Koekoek	-41% (-55%; -22%)	L?
Waterhoen	-36% (-47%; -24%)	NL

soort	wijziging	trend
Gele kwikstaart	-35% (-44%; -24%)	L?
Huismus	-33% (-38%; -28%)	NL
Zanglijster	-30% (-36%; -23%)	NL
Spreeuw	-27% (-36%; -18%)	L
Veldleeuwerik	-27% (-34%; -18%)	L
Heggenmus	-24% (-30%; -17%)	NL

Tabel 2.15: Soorten met een afname op basis van data geaggregeerd per driejarige cyclus.

soort	wijziging	trend
Havik	-45% (-69%; -4%)	L
Staartmees	-39% (-60%; -8%)	NL
Rietgors	-32% (-53%; -2%)	NL
Grutto	-31% (-48%; -9%)	L
Kleine karekiet	-23% (-40%; -1%)	L
Wilde eend	-21% (-30%; -10%)	L?
Turkse tortel	-16% (-22%; -11%)	L
Merel	-16% (-19%; -12%)	NL
Holenduif	-14% (-23%; -4%)	NL
Koolmees	-12% (-17%; -6%)	NL
Fazant	-12% (-19%; -4%)	NL

Tabel 2.16: Soorten met een mogelijke toename op basis van data geaggregeerd per driejarige cyclus.

soort	wijziging	trend
Boerenzwaluw	+4% (-10%; +20%)	NL
Geelgors	+10% (-11%; +36%)	L?
Grasmus	+14% (-2%; +32%)	NL
Bergeend	+17% (-12%; +56%)	L
Boompieper	+18% (-13%; +60%)	L
Nijlgans	+30% (-0%; +68%)	L
Roodborsttapuit	+36% (-1%; +85%)	NL
Blauwe reiger	+36% (-9%; +103%)	NL
Knobbelzwaan	+75% (-12%; +250%)	L

Tabel 2.17: Soorten met een mogelijke afname op basis van data geaggregeerd per driejarige cyclus.

soort	wijziging	trend
Gaai	-15% (-28%; +1%)	NL
Kuifmees	-14% (-36%; +16%)	L
Zwarte roodstaart	-9% (-25%; +10%)	NL
Groene specht	-7% (-18%; +4%)	NL
Scholekster	-2% (-18%; +18%)	L?

Tabel 2.18: Soorten met een stabiele trend op basis van data geaggregeerd per driejarige cyclus.

soort	wijziging	trend
Winterkoning	-3% (-8%; +2%)	NL
Witte kwikstaart	-1% (-14%; +13%)	L
Ekster	+0% (-7%; +8%)	NL
Groenling	+1% (-13%; +17%)	NL

Tabel 2.19: Soorten met een onzekere trend op basis van data geaggregeerd per driejarige cyclus.

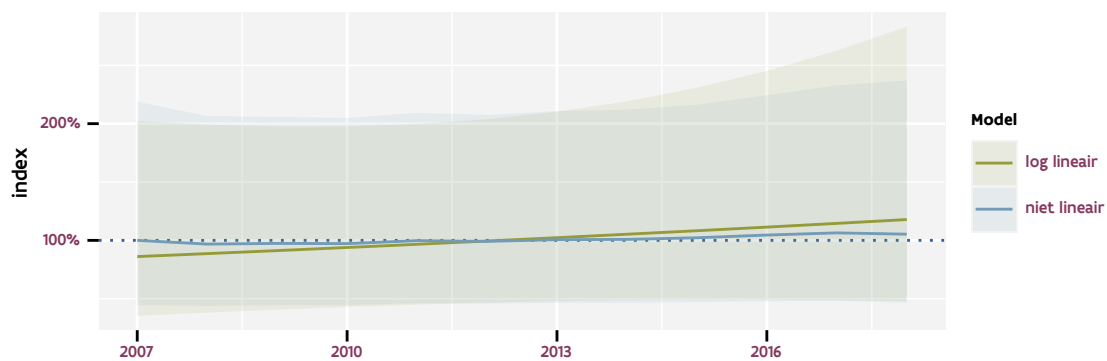
soort	wijziging	trend
Dodaars	-35% (-77%; +80%)	NL
Grauwe gans	-23% (-58%; +41%)	NL
Glanskop	-23% (-69%; +90%)	L?
Wielewaal	-23% (-59%; +47%)	NL
Stadsduif	-11% (-44%; +41%)	L
Goudhaan	-9% (-33%; +23%)	NL
Bosrietzanger	-8% (-47%; +62%)	L
Wulp	-6% (-34%; +34%)	NL
Zwarte specht	-4% (-45%; +68%)	NL
Gierzwaluw	-3% (-37%; +47%)	NL
Canadese gans	-1% (-21%; +25%)	NL
Boomkruiper	+2% (-17%; +25%)	NL
Kneu	+3% (-21%; +33%)	L?
Nachtegaal	+5% (-33%; +64%)	L?
Torenvalk	+6% (-21%; +42%)	L?
Blauwborst	+10% (-22%; +53%)	NL
Fuut	+11% (-35%; +91%)	NL
Huiszwaluw	+19% (-36%; +121%)	L?
Cetti's zanger	+22% (-65%; +322%)	NL
Bruine kiekendief	+30% (-30%; +141%)	L?
Matkop	+38% (-46%; +252%)	L?
Sperwer	+39% (-27%; +165%)	NL
Aalscholver	+44% (-44%; +275%)	L
Bonte vliegenvanger	+50% (-16%; +169%)	L

2.2 AALSCHOLVER

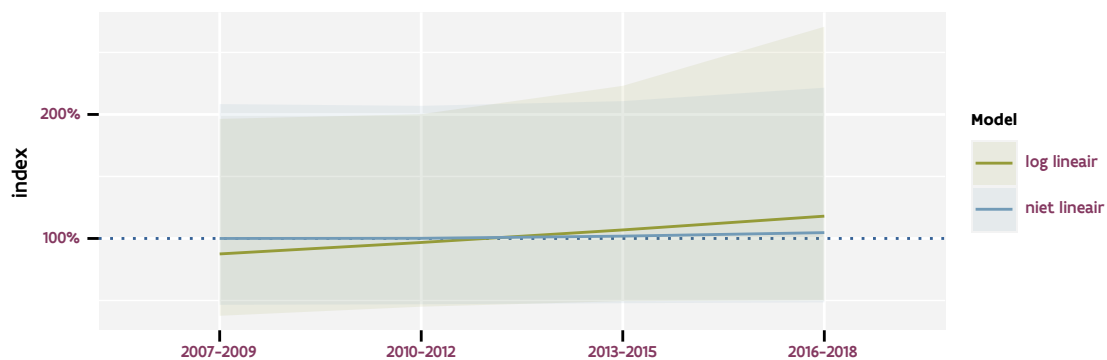
Tabel 2.20: Controlesommen van de modellen voor Aalscholver.

model	analyse	status
jaarlijks log-lineair	7024f5986484237073e0	bf584f9f24b58138865a
	4d37a346a27297a582d2	b7e7d934999222edc48e
jaarlijks niet-lineair	9913e65563481f32c7ec	ee095147fda20a82c873
	33165ff58e5d033cebce	8a7c0a276548b7636d14

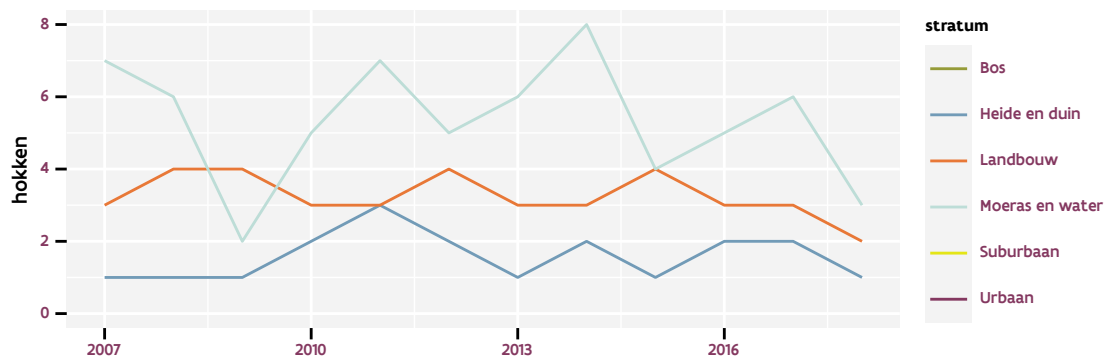
model	analyse	status
driejaarlijks log-lineair	4a7dedc07dd837b6b029 15c496aa708385196f92	9eca7efd5159b4a53b71 57bba71f7b93cab7b1c
driejaarlijks niet-lineair	f6a4feedad983a24ec04 0722d8d151c7b0a10536	7341956788a1bf53adc2 be74df118468c28cb958



Figuur 2.3: Vlaamse indices voor Aalscholver op basis van jaarlijkse data. De trend is log-lineair.

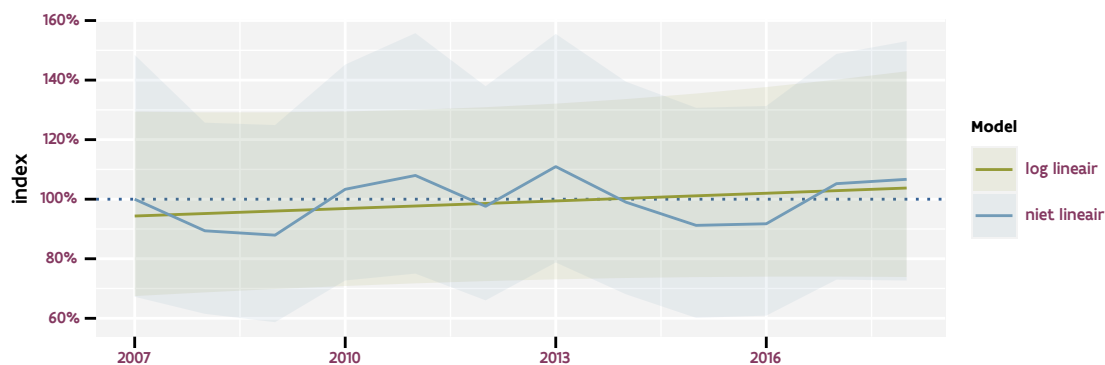


Figuur 2.4: Vlaamse indices voor Aalscholver op basis van data geaggregeerd per driejaarlijkse cyclus. De trend is log-lineair.

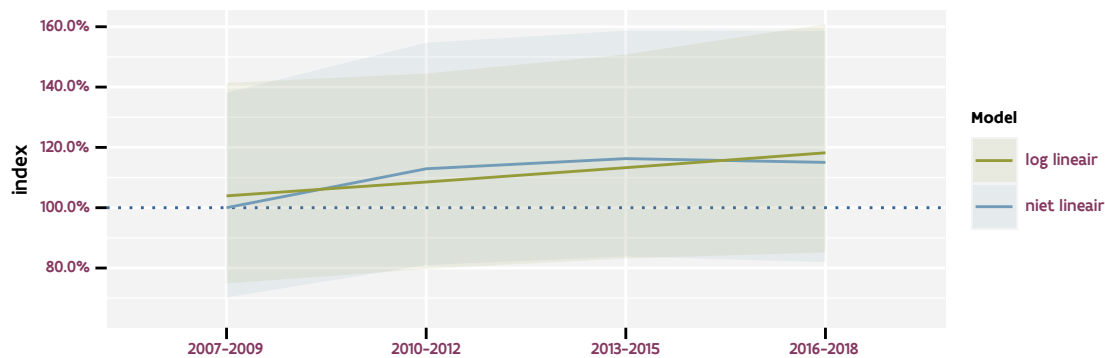


Figuur 2.5: Aantal onderzochte relevante hokken per jaar voor Aalscholver

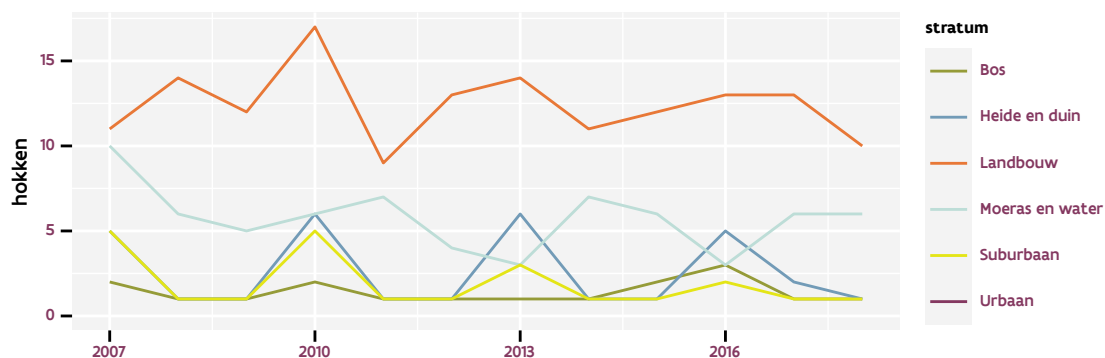
2.3 BERGEEND



Figuur 2.6: Vlaamse indices voor Bergeend op basis van jaarlijkse data. De trend is mogelijk niet-lineair.



Figuur 2.7: Vlaamse indices voor Bergeend op basis van data geaggregeerd per driejaarlijkse cyclus. De trend is log-lineair.



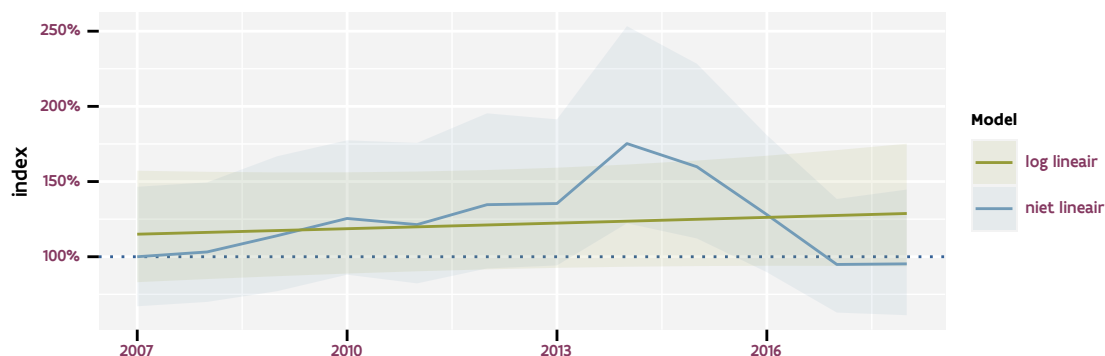
Figuur 2.8: Aantal onderzochte relevante hokken per jaar voor Bergeend

Tabel 2.21: Controlesommen van de modellen voor Bergeend.

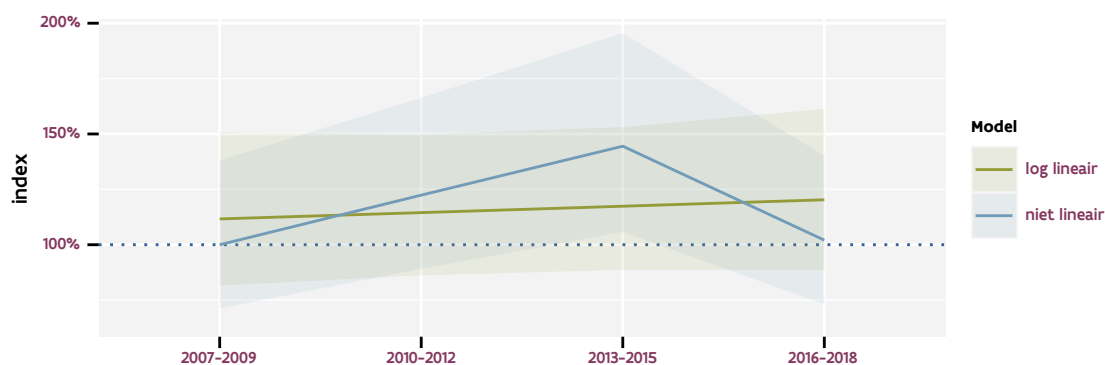
model	analyse	status
jaarlijks log-lineair	4c5b34290c32d05b705c	3c324b1265c2fb21d094
	5c04179852c903f7b7d1	7b6b29d8a79a2be73fc0
jaarlijks niet-lineair	eb9f5cddf0ef9a8675e1	91fc4132170da5a73da1
	377c4c3f1a741d4ffa2b	de5e8e3c844cbbdf6124

model	analyse	status
driejaarlijks log-lineair	e130a832c365f2c45961 6a6ee8d878a175313b34	e7dea40ea5c082e6c94a 370673209d76d2455f5e
driejaarlijks niet-lineair	97e443c47deab1e8aeb7 95b1abe70c9e6850eb1a	dca38a76fb67c564f8dd f9ad60f9ea93a0a01fcd

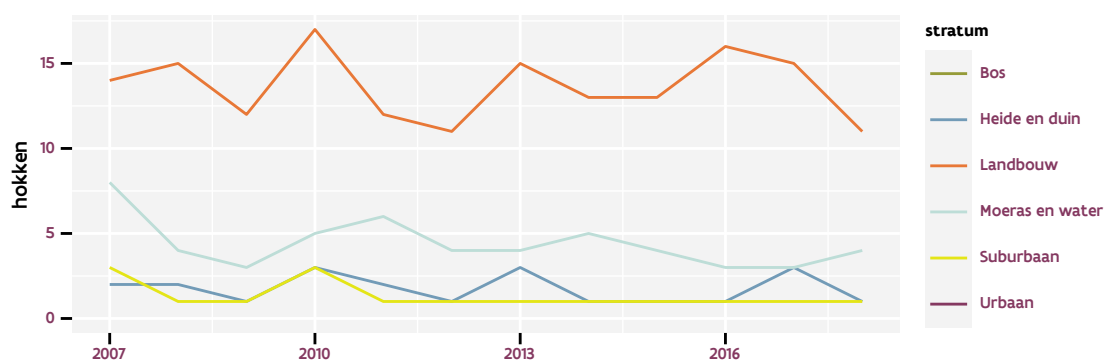
2.4 BLAUWBORST



Figuur 2.9: Vlaamse indices voor Blauwborst op basis van jaarlijkse data. De trend is niet lineair.



Figuur 2.10: Vlaamse indices voor Blauwborst op basis van data geaggregeerd per driejaarlijkse cyclus. De trend is niet lineair.



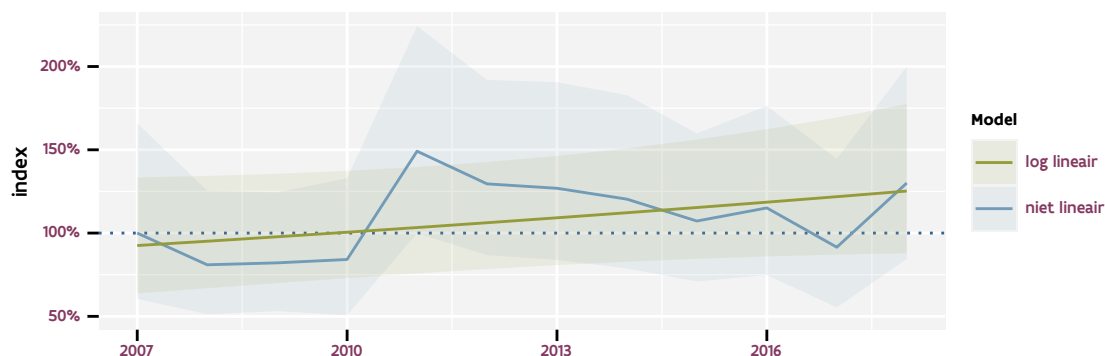
Figuur 2.11: Aantal onderzochte relevante hokken per jaar voor Blauwborst

Tabel 2.22: Controlesommen van de modellen voor Blauwborst.

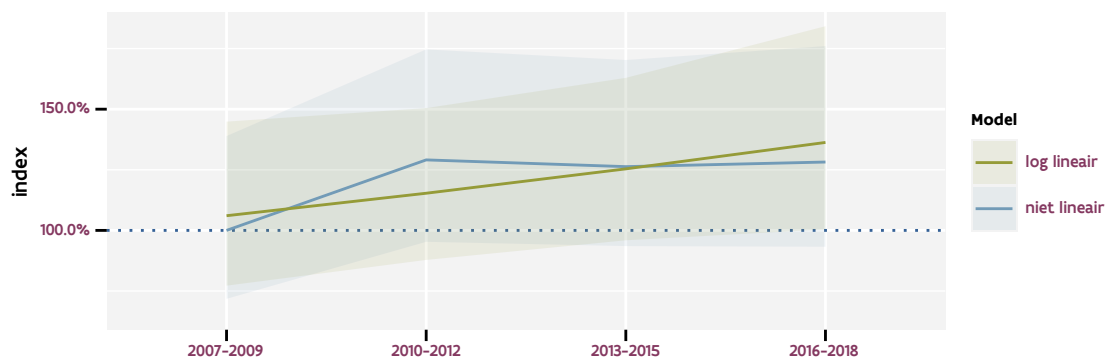
model	analyse	status
jaarlijks log-lineair	a6f402cd4c4f1d9d26eb	20e1101961a339007466
	8895efa1ff2cae4cda31	621408e09cec711178ea
jaarlijks niet-lineair	20e017a593d8ae8d42ce	f0b0b7f222d10ad74364
	fed64e21a412c76b6c17	463ca07cf658a220c02e

model	analyse	status
driejaarlijks log-lineair	3240f7b896af84636bfa 98ed1295e803695f2dad	3380fa2ee60dee52d033 beb670a32358bf57e127
driejaarlijks niet-lineair	e303ac29351bedfd2b71 ade07ad8572c7793d95d	153bbdfd394c5ee69725 ad8b4cbb6360df3318e4

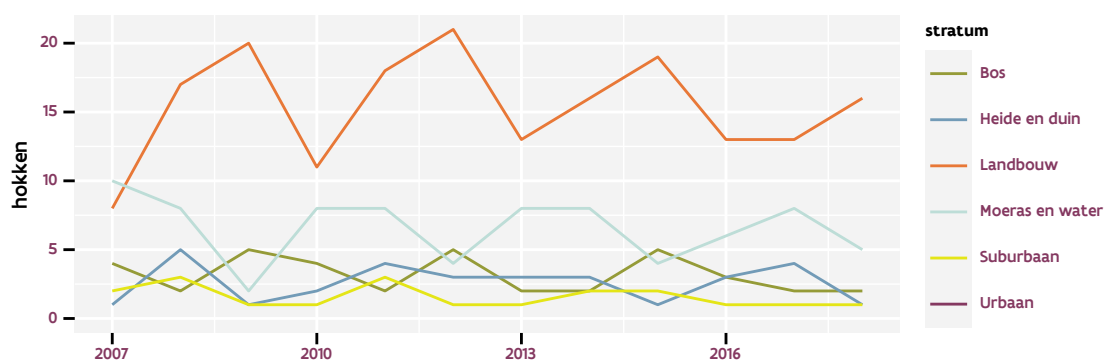
2.5 BLAUWE REIGER



Figuur 2.12: Vlaamse indices voor Blauwe reiger op basis van jaarlijkse data. De trend is niet lineair.



Figuur 2.13: Vlaamse indices voor Blauwe reiger op basis van data geaggregeerd per driejaarlijkse cyclus. De trend is niet lineair.



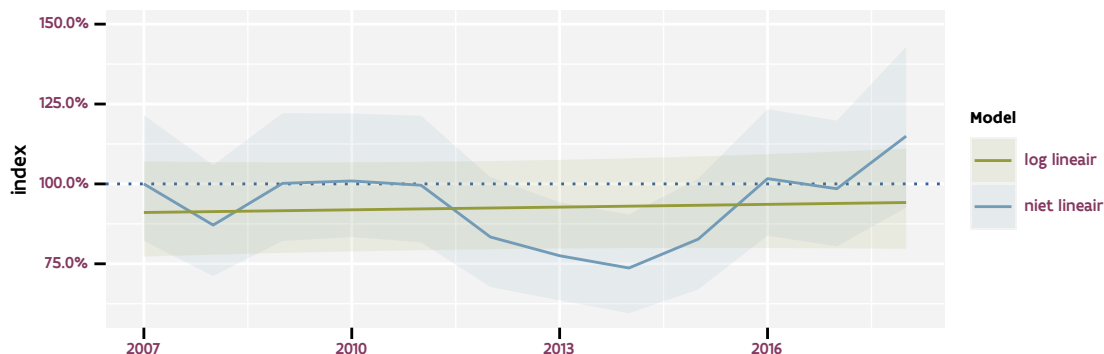
Figuur 2.14: Aantal onderzochte relevante hokken per jaar voor Blauwe reiger

Tabel 2.23: Controlesommen van de modellen voor Blauwe reiger.

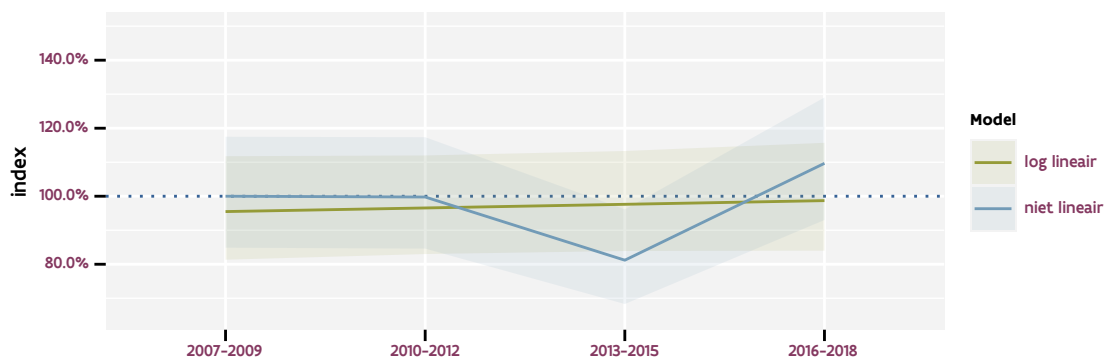
model	analyse	status
jaarlijks log-lineair	eade0b8f7c104fc6d125	cba3b14d0ec2b9f01b66
	96f4c3ae98b903766758	67df72c1031846c0385d
jaarlijks niet-lineair	272c056b50830aab7c92	5688815008382bba11dc
	b1af40aa5756911ebef0	83eda3525e37e33b6e84

model	analyse	status
driejaarlijks log-lineair	453eb99b474cd0bd7fb8 fea6a6a955d3bc418291	346c4e04170be64cf35f 32c27987bc61cd110ffc
driejaarlijks niet-lineair	11ef9b74ee24f484d9e3 c2a0381008c8a4096e44	b8eceed37f7ba01f534c 26b1c047a29b926ca627

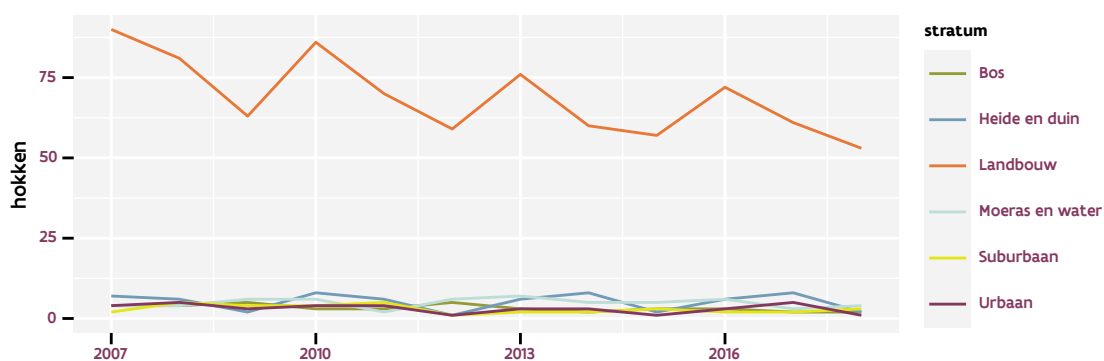
2.6 BOERENZWALUW



Figuur 2.15: Vlaamse indices voor Boerenzwaluw op basis van jaarlijkse data. De trend is niet lineair.



Figuur 2.16: Vlaamse indices voor Boerenzwaluw op basis van data geaggregeerd per driejaarlijkse cyclus. De trend is niet lineair.



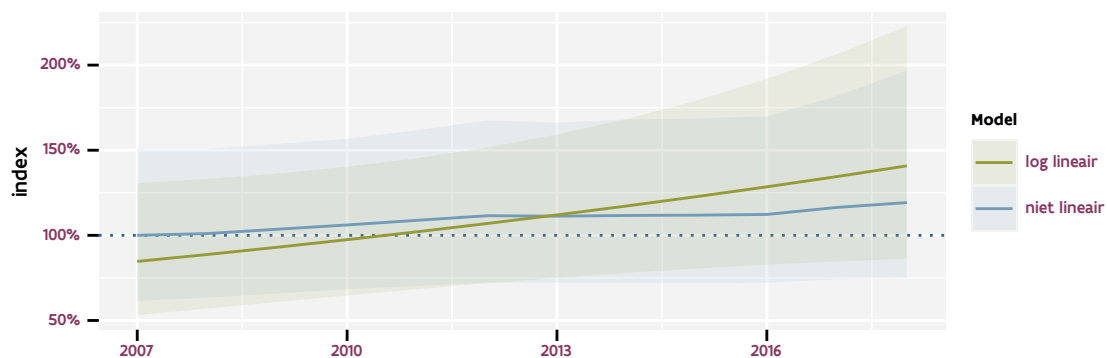
Figuur 2.17: Aantal onderzochte relevante hokken per jaar voor Boerenzwaluw

Tabel 2.24: Controlesommen van de modellen voor Boerenzwaluw.

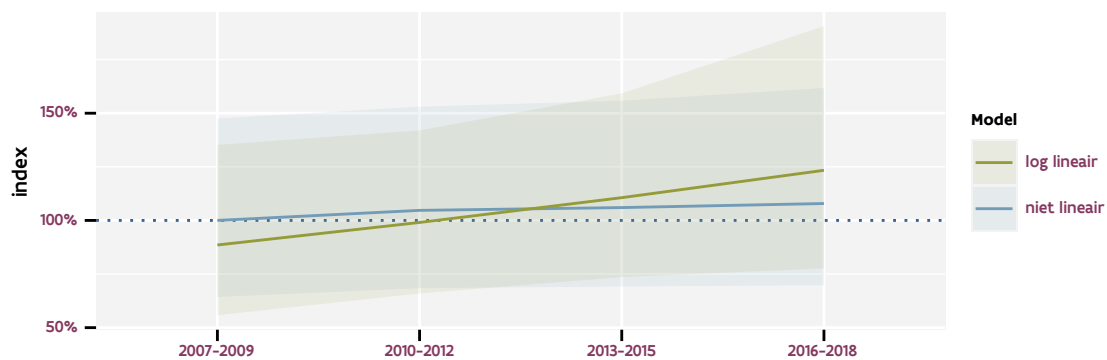
model	analyse	status
jaarlijks log-lineair	97f9a9c9acc2c936b8c6	31e57517d80132646689
	e21b5e508b4c18b2fd0e	551ba92b0a3d98345fcd
jaarlijks niet-lineair	638248816cec9b71e1a1	95bd921997abe5616d7a
	263a6b1dcac683e96569	f4e67be3040dea8a8239

model	analyse	status
driejaarlijks log-lineair	43225c5b6e2f7416936e b5094a0b8670981cdd85	cbf7a7898ea795941b03 293bfed64825f20ddac5
driejaarlijks niet-lineair	5bf5135e47e5ee0cc0d7 020e36a22aab6361fccd	431553792d9b2419a51d 02a1de11aa730a6e51cc

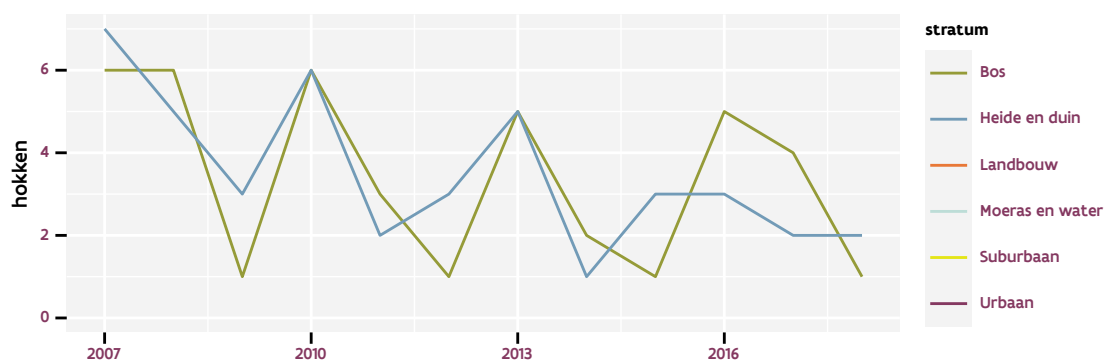
2.7 BONTE VLEGENVANGER



Figuur 2.18: Vlaamse indices voor Bonte vliegenvanger op basis van jaarlijkse data. De trend is log-lineair.



Figuur 2.19: Vlaamse indices voor Bonte vliegenvanger op basis van data geaggregeerd per driejaarlijkse cyclus. De trend is log-lineair.



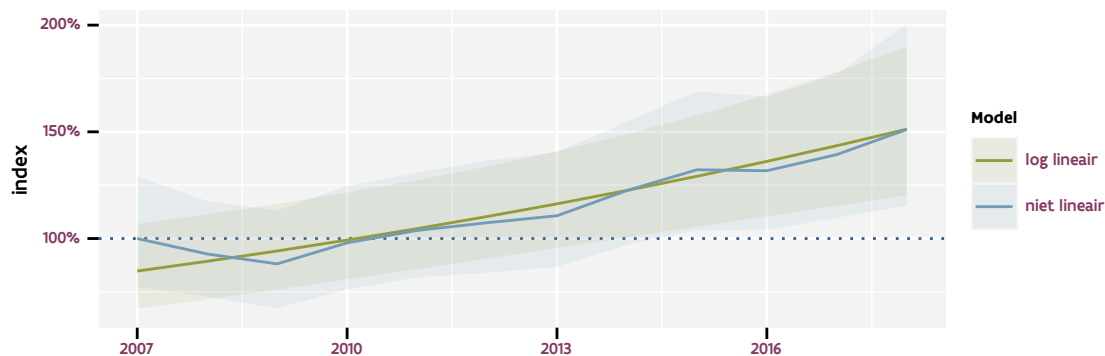
Figuur 2.20: Aantal onderzochte relevante hokken per jaar voor Bonte vliegenvanger

Tabel 2.25: Controlesommen van de modellen voor Bonte vliegenvanger.

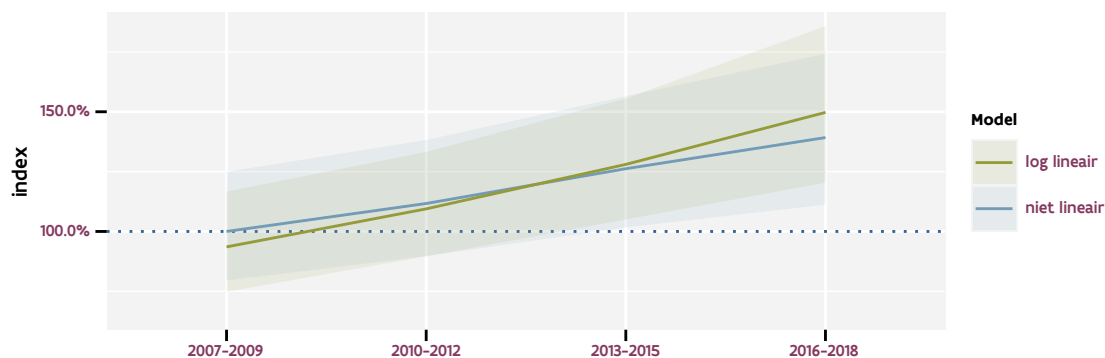
model	analyse	status
jaarlijks log-lineair	c8acdf490c47fb3dc8e	8543c6dc503f46d9ae17
	fe35a91199860757bc13	506949f38bc2c1254a79
jaarlijks niet-lineair	969f19dfef8b84f4f8f5	5f2369e9ecf070b2616c
	61dc018dddcca5b82724	780703f9195d7f687479

model	analyse	status
driejaarlijks log-lineair	f424153f905b0d187857 b18ba406a7af92622170	49273436a77166fdcf57 5c000907a9506e9caaae
driejaarlijks niet-lineair	54d18d458d94f2386980 63ac481018d9993b739d	8588d7b7de2c91403b4a a1f7d9f4d34bd51f49ae

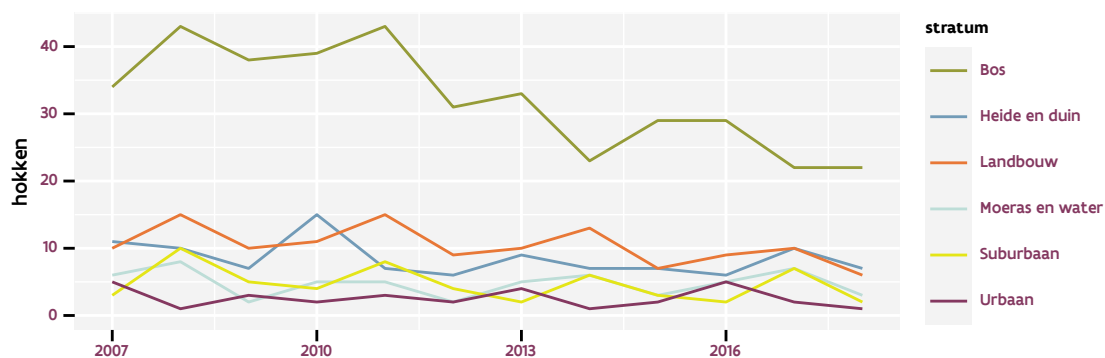
2.8 BOOMKLEVER



Figuur 2.21: Vlaamse indices voor Boomklever op basis van jaarlijkse data. De trend is niet lineair.



Figuur 2.22: Vlaamse indices voor Boomklever op basis van data geaggregeerd per driejaarlijkse cyclus. De trend is niet lineair.



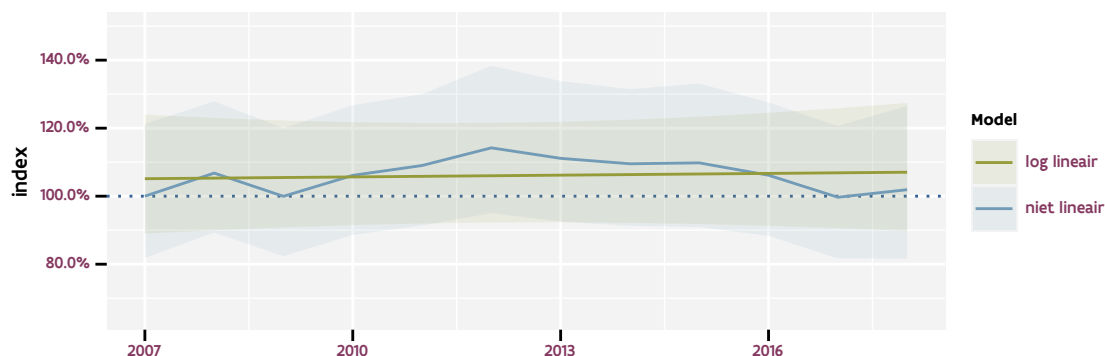
Figuur 2.23: Aantal onderzochte relevante hokken per jaar voor Boomklever

Tabel 2.26: Controlesommen van de modellen voor Boomklever.

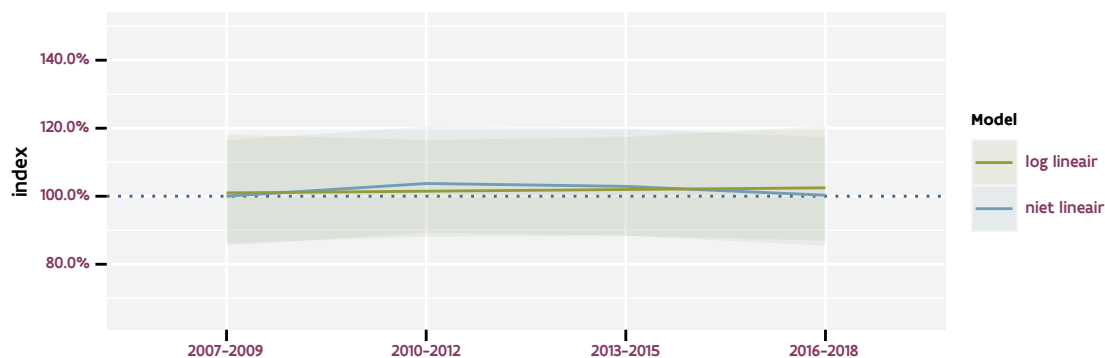
model	analyse	status
jaarlijks log-lineair	1e40c8e151f2653c7442 cd03d0d4fe445abc3f2b	3b27fb1097ec48dad9a4 bdf4d89c89790a1b6124
jaarlijks niet-lineair	b6646539b756c90de0a0 69c10e80fe8a2684a3d4	e22d4539b1e0ad4a7354 ba8573f731cd7d67c6c3

model	analyse	status
driejaarlijks log-lineair	c04568201890627f2f61 1fb034979f78e832d70e	1d31d3500c3d531680e7 cd3dfb473c4956a6aa72
driejaarlijks niet-lineair	783f65888c537241906d 63b88112a1506e434c41	c1bfc8c41e334aad43f ba8407c04154a7604f48

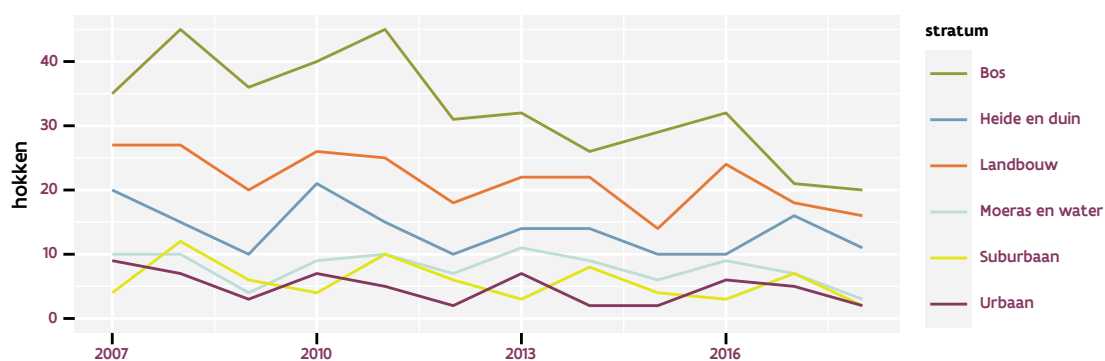
2.9 BOOMKRUIPER



Figuur 2.24: Vlaamse indices voor Boomkruiper op basis van jaarlijkse data. De trend is niet lineair.



Figuur 2.25: Vlaamse indices voor Boomkruiper op basis van data geaggregeerd per driejaarlijkse cyclus. De trend is niet lineair.



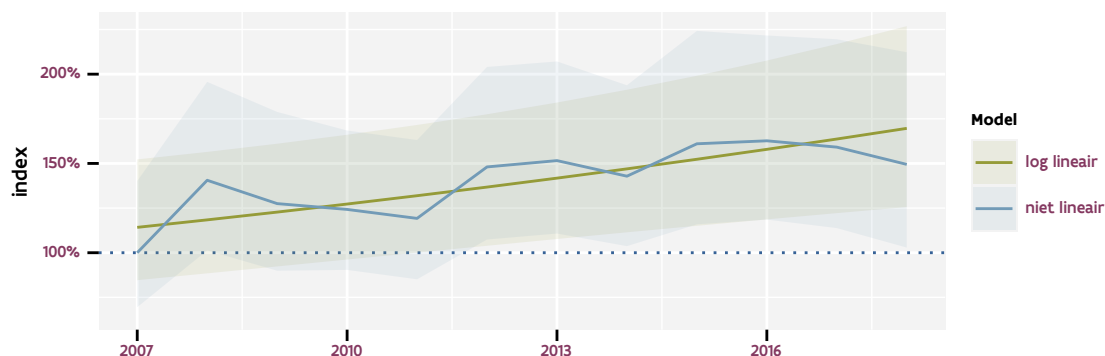
Figuur 2.26: Aantal onderzochte relevante hokken per jaar voor Boomkruiper

Tabel 2.27: Controlesommen van de modellen voor Boomkruiper.

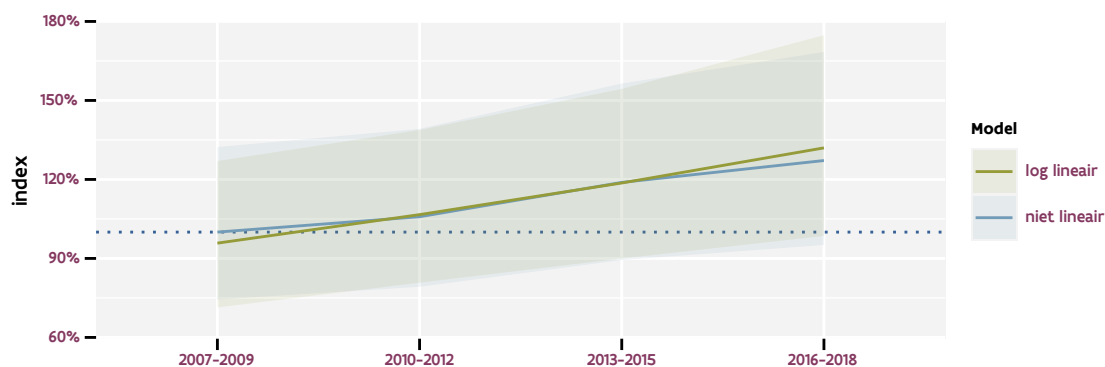
model	analyse	status
jaarlijks log-lineair	f7300962bac9c691caf6	c8f831dc4a83337e930e
	854886ebb4eae76794fc	117258a57a4c8f28996e
jaarlijks niet-lineair	409ce3f5027d3fb47f76	4a047af3faecd4e268a5
	85f7133da9de9532538b	5ec24a3972a66faa6f9e

model	analyse	status
driejaarlijks log-lineair	4e23c0151211c52bdebe b577726b771ae0a3bf9d	5616ac9ebfc4f2d456d3 c055a8a4b38c10e4cd36
driejaarlijks niet-lineair	190e83e13dd62f1fae15 046a0d058aa4bbeb175b	875befd930372f94d8dd 5ccd90e65824789c71f1

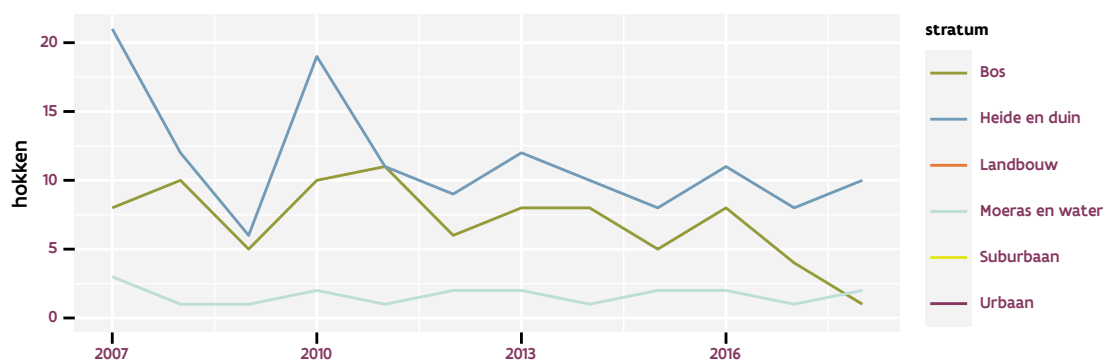
2.10 BOOMLEEUWERIK



Figuur 2.27: Vlaamse indices voor Boomleeuwerik op basis van jaarlijkse data. De trend is niet lineair.



Figuur 2.28: Vlaamse indices voor Boomleeuwerik op basis van data geaggregeerd per driejaarlijkse cyclus. De trend is log-lineair.



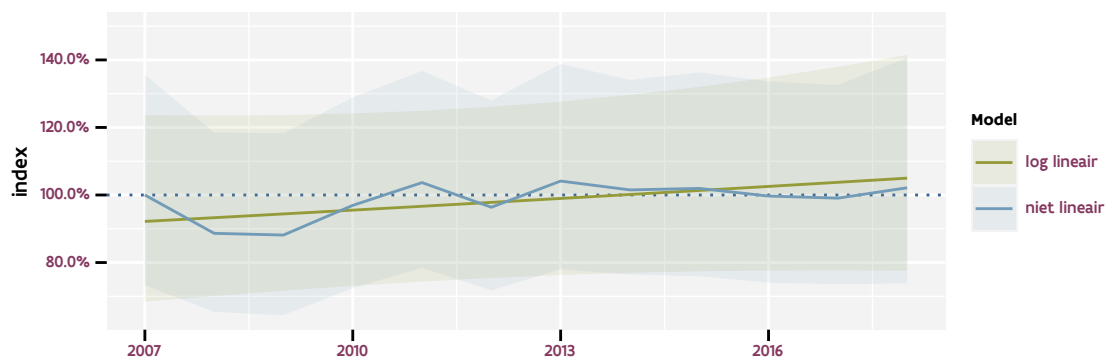
Figuur 2.29: Aantal onderzochte relevante hokken per jaar voor Boomleeuwerik

Tabel 2.28: Controlesommen van de modellen voor Boomleeuwerik.

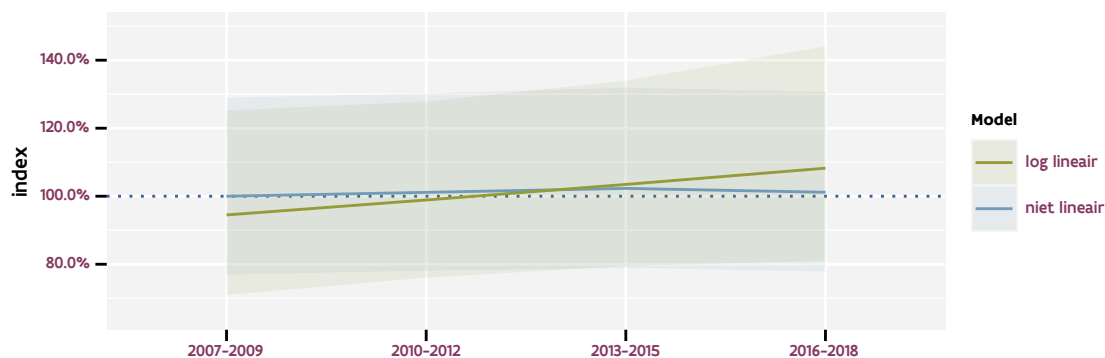
model	analyse	status
jaarlijks log-lineair	7998da9b7c5b2fd7d1eb	4c94e30194d045365945
	13d21fe4adac2fe4dcd9	f526d682a4ad99e95c26
jaarlijks niet-lineair	966dbdc804a26f916f1d	287ea1607d0caae740b1
	840207b8b66b66b05f19	b96187b7b121dfdd1488

model	analyse	status
driejaarlijks log-lineair	ea5f84d2ece60e2396d7	60b8f075dfdd18098cdd
	b32f188c5be27b488598	54561e0c5ce0c71e2990
driejaarlijks niet-lineair	926d6d9bb948dd230787	888b6a0ab70c9dd7f054
	7e22c8a5bfa9eb6d85e7	177729046b9dd27d18d8

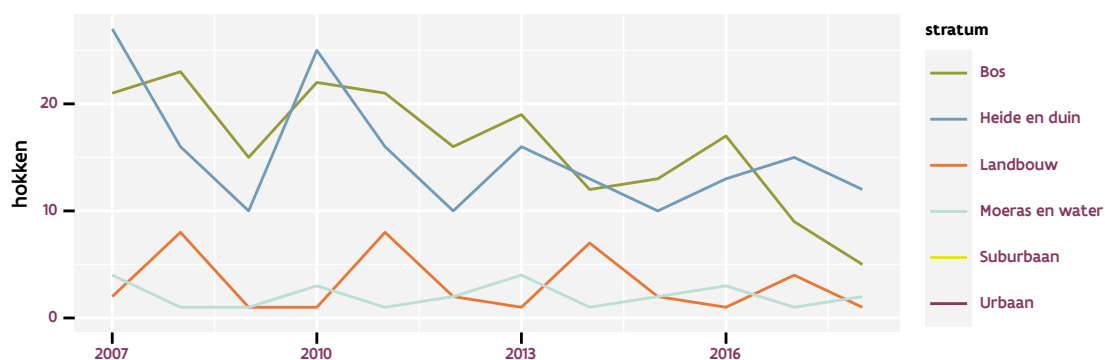
2.11 BOOMPIEPER



Figuur 2.30: Vlaamse indices voor Boompieper op basis van jaarlijkse data. De trend is niet lineair.



Figuur 2.31: Vlaamse indices voor Boompieper op basis van data geaggregeerd per driejaarlijkse cyclus. De trend is log-lineair.



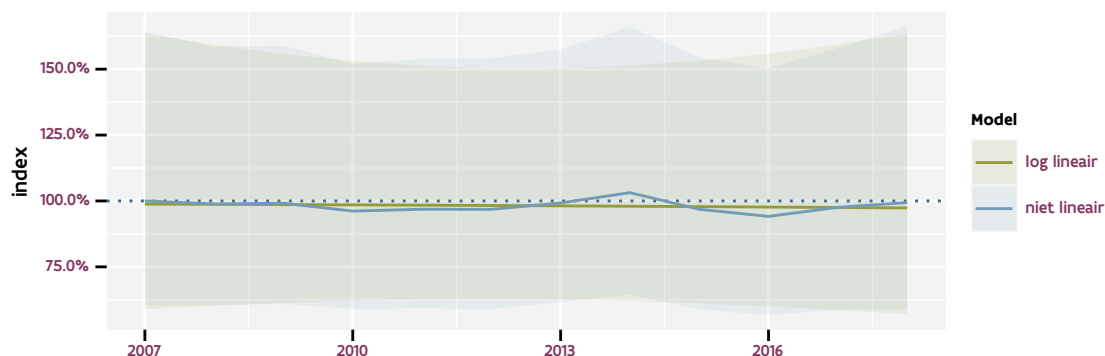
Figuur 2.32: Aantal onderzochte relevante hokken per jaar voor Boompieper

Tabel 2.29: Controlesommen van de modellen voor Boompieper.

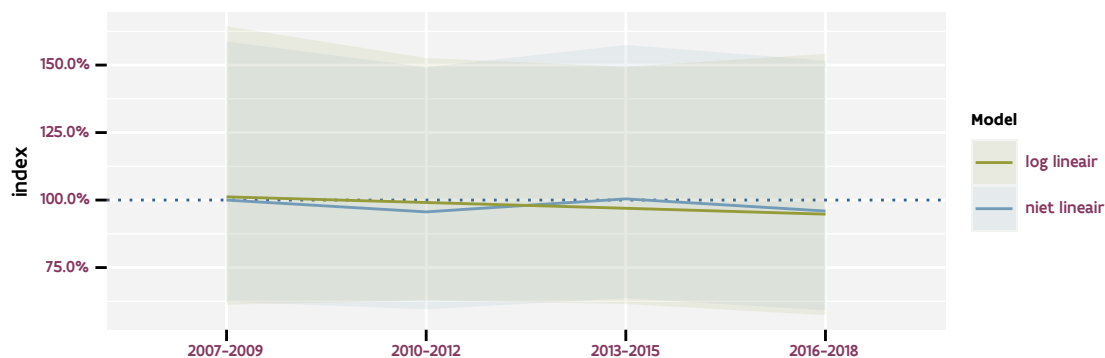
model	analyse	status
jaarlijks log-lineair	893eaefa52ce98321817 66d0cc0d95bdf408c4fc	c27c3904433f91361c4f e04187a2713a6d3eec74
jaarlijks niet-lineair	ec08b68d6360d08123ce ad06e3c3c85e09a50c5e	a26f04e58276e82fa5b8 656ab5cef005610d8b2a

model	analyse	status
driejaarlijks log-lineair	f6f490222c4934968359 2363645bb01138f7ae20	8b3450426f246406e0fd 023cb09572a1f7e942ea
driejaarlijks niet-lineair	734224c6f17e4407b5ea 6352e4f8351b33991e68	dbf2747f8964d4eeb4c8 2e8f6379a734a6cdc906

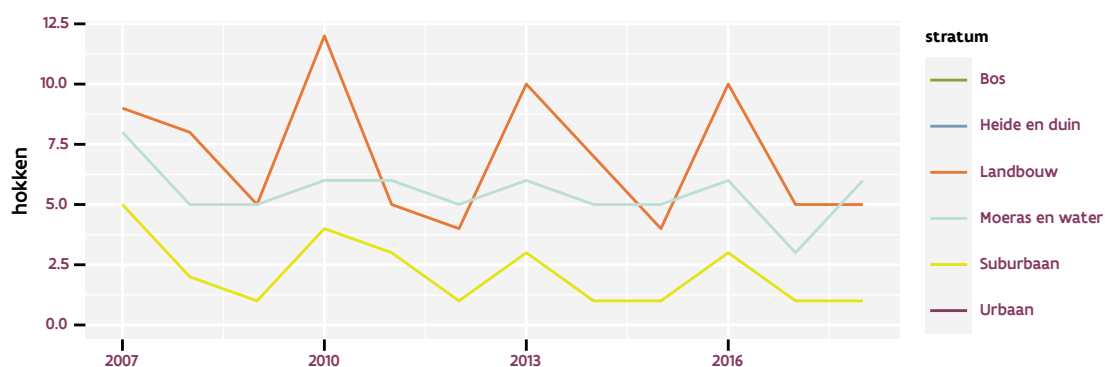
2.12 BOSRIETZANGER



Figuur 2.33: Vlaamse indices voor Bosrietzanger op basis van jaarlijkse data. De trend is log-lineair.



Figuur 2.34: Vlaamse indices voor Bosrietzanger op basis van data geaggregeerd per driejaarlijkse cyclus. De trend is log-lineair.



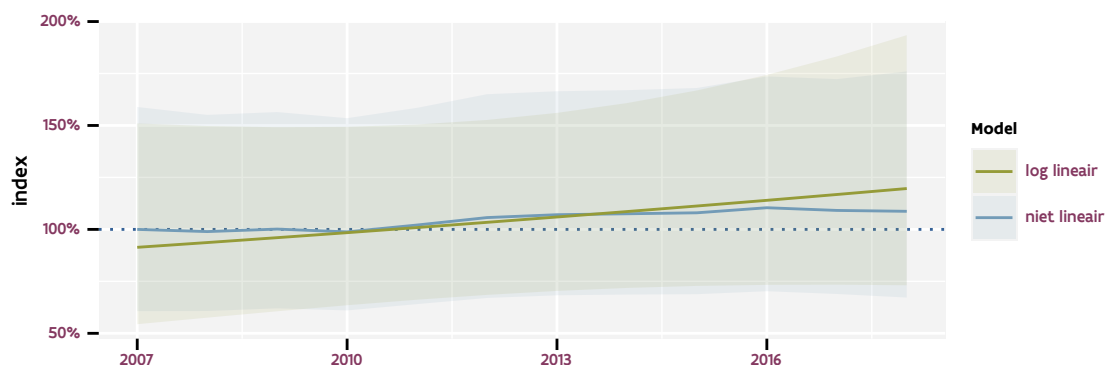
Figuur 2.35: Aantal onderzochte relevante hokken per jaar voor Bosrietzanger

Tabel 2.30: Controlesommen van de modellen voor Bosrietzanger.

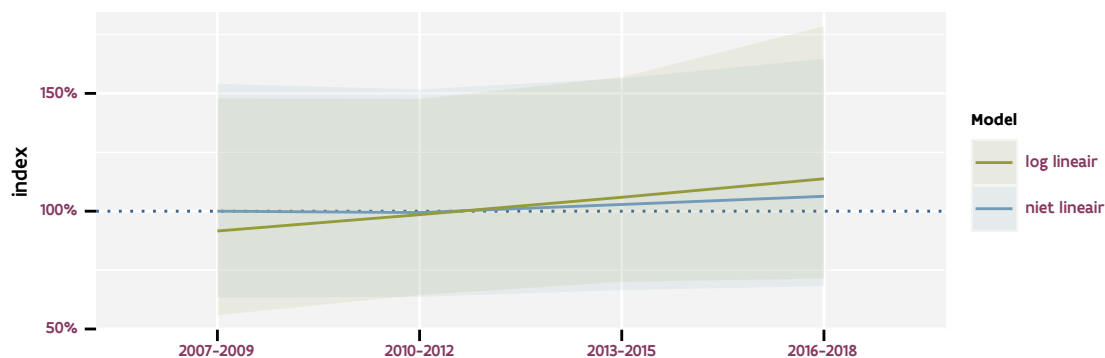
model	analyse	status
jaarlijks log-lineair	4f8531b921aac94affb1 f38818a83c1456635cac	132a2d714c50f5f40d7c 02d9d9bff1666ebb2452
jaarlijks niet-lineair	efac2c72e9e256175769 f044f19d0e7838afb0e6	ff2f878d5c6f35f9c86c 25001e3346f3818e33f9

model	analyse	status
driejaarlijks log-lineair	400201aac24b6bf6dc61 c7fd192107e342b6a39f	c98f971c23aed583ac76 b0da0c4a0c19345dba34
driejaarlijks niet-lineair	046c0194fad77f012a6c e76906a217f6a0a5c5f6	bcff578356a6469b5067 3db1396f0b11b68831e3

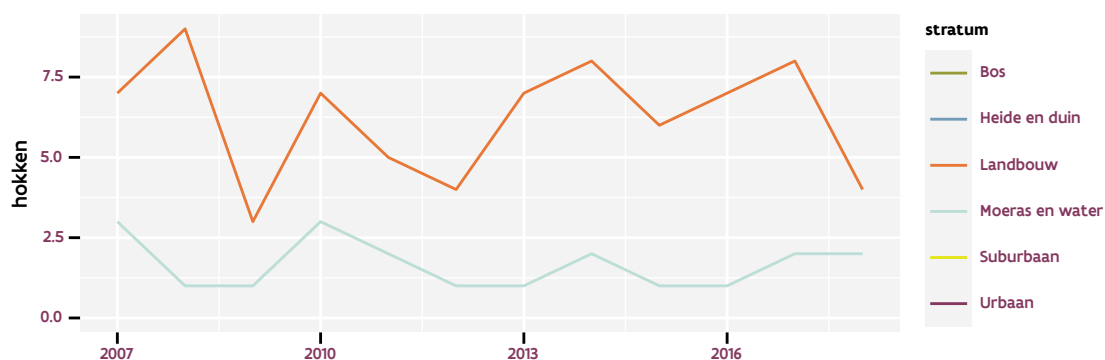
2.13 BRUINE KIEKENDIEF



Figuur 2.36: Vlaamse indices voor Bruine kiekendief op basis van jaarlijkse data. De trend is log-lineair.



Figuur 2.37: Vlaamse indices voor Bruine kiekendief op basis van data geaggregeerd per driejaarlijkse cyclus. De trend is mogelijk niet-lineair.



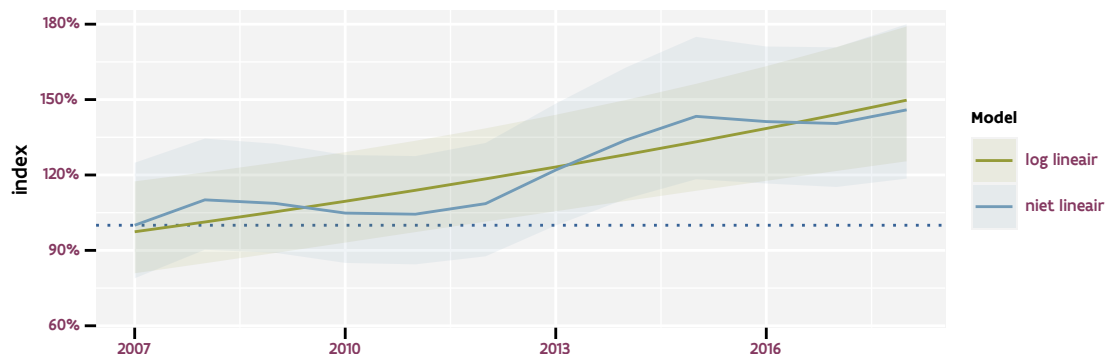
Figuur 2.38: Aantal onderzochte relevante hokken per jaar voor Bruine kiekendief

Tabel 2.31: Controlesommen van de modellen voor Bruine kiekendief.

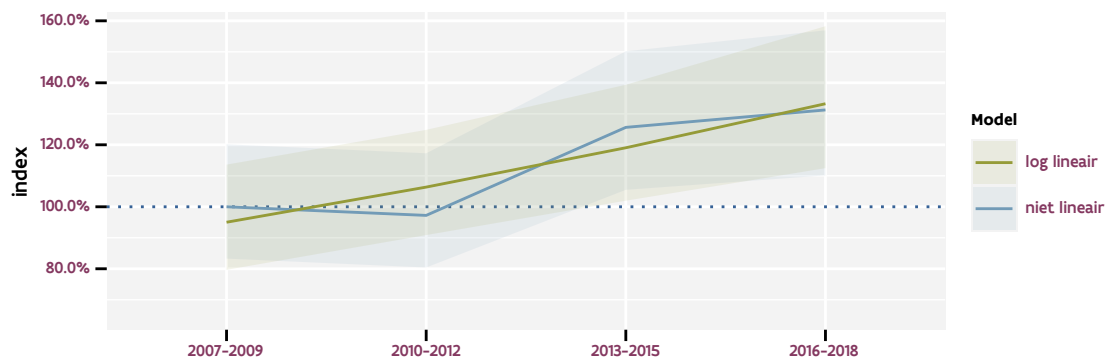
model	analyse	status
jaarlijks log-lineair	62abadd450e08fa5a63d	5c02a3949c77b64ceae4
	307e84dcc9a42a22477	56f964c2029584d1fb4d
jaarlijks niet-lineair	28b67aab59189f0b6e68	188c54aced79af9bf798
	85e614c0fbe820666f31	7c54dd28b0947e05d4d2

model	analyse	status
driejaarlijks log-lineair	c71a06698aea0d06df8c 8c6c1e9a3c78538204a4	47e4c649ecba2b3afcd2 87d3a3396ee14b9e03fb
driejaarlijks niet-lineair	30a705ca8696a66c5074 2f95f5321d44e486104e	ca1bb3524d2ec6863a1d f130375b19aad7e13ded

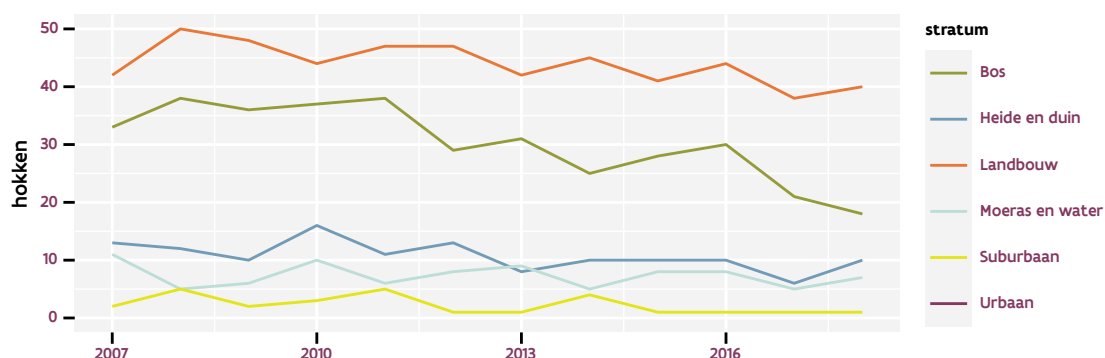
2.14 BUIZERD



Figuur 2.39: Vlaamse indices voor Buizerd op basis van jaarlijkse data. De trend is log-lineair.



Figuur 2.40: Vlaamse indices voor Buizerd op basis van data geaggregeerd per driejaarlijkse cyclus. De trend is mogelijk niet-lineair.



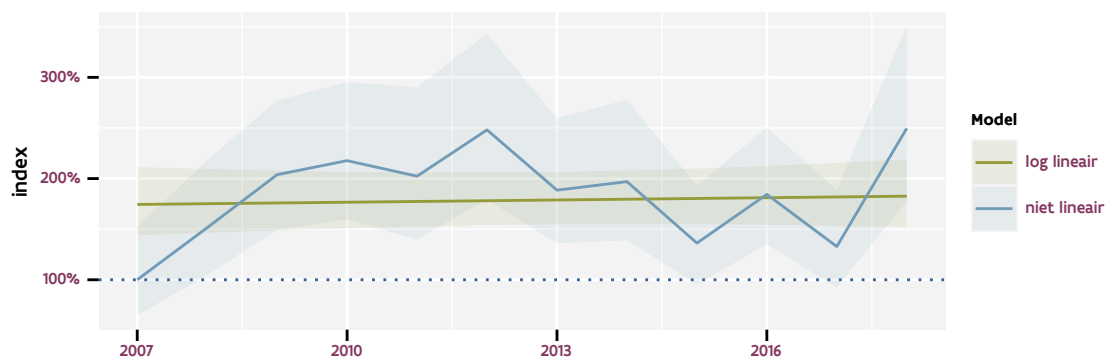
Figuur 2.41: Aantal onderzochte relevante hokken per jaar voor Buizerd

Tabel 2.32: Controlesommen van de modellen voor Buizerd.

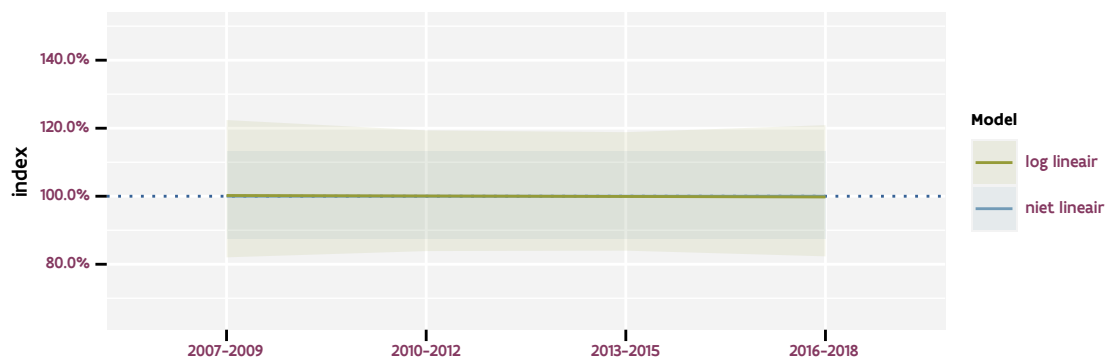
model	analyse	status
jaarlijks log-lineair	02e453777f1bb9d05cb2	67b9184f37faf2717182
	682b96530dc652fc4180	9f4a551d7ca068c61840
jaarlijks niet-lineair	2f32ca3d8f6a276d037b	4364b5f7c33e1a9a0fb0
	d32888ab948568f7875b	925fe0ff52bd3666acbc

model	analyse	status
driejaarlijks log-lineair	f0d0ce6f4c747c36313b df718ba7b894d2ee86aa	eabad4f52c45135d35bc 399f635db8d57ac753ee
driejaarlijks niet-lineair	70de3054699768149c46 eabcf5e8feb9843c07b4	093e2e8cbdb05b14333e ed67085ba1883b022e35

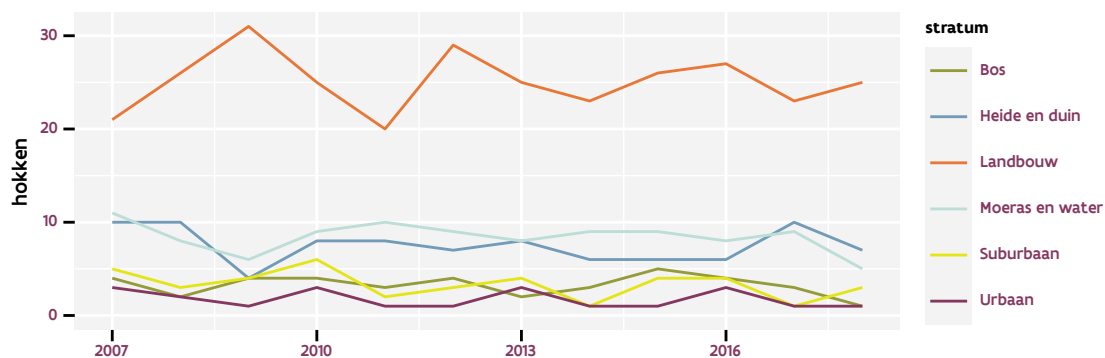
2.15 CANADESE GANS



Figuur 2.42: Vlaamse indices voor Canadese gans op basis van jaarlijkse data. De trend is niet lineair.



Figuur 2.43: Vlaamse indices voor Canadese gans op basis van data geaggregeerd per driejaarlijkse cyclus. De trend is niet lineair.



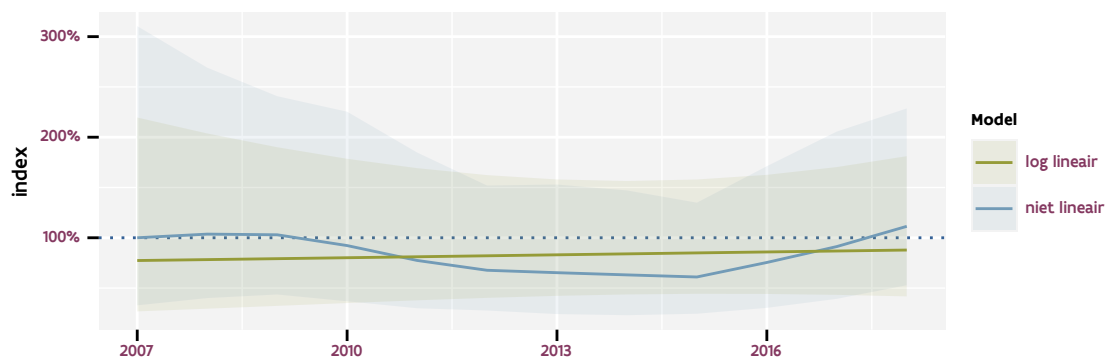
Figuur 2.44: Aantal onderzochte relevante hokken per jaar voor Canadese gans

Tabel 2.33: Controlesommen van de modellen voor Canadese gans.

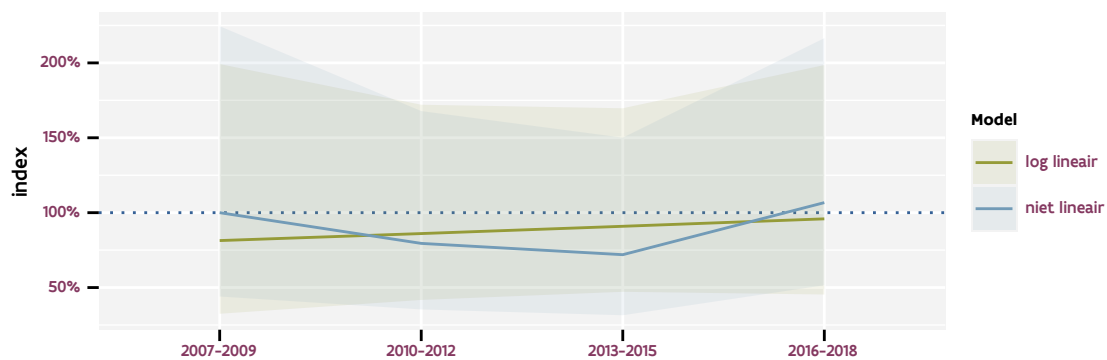
model	analyse	status
jaarlijks log-lineair	126e2e5fd3c6699d01b5	1b791c95489e89d7f79f
	4dff13fb3d8504931dbc	74ecc08b66acb5c93143
jaarlijks niet-lineair	42b01bec20c4d47551a3	9816778da3fcd01dd9a8
	35fea89a69ef5f1ebe75	9505a689590293949c07

model	analyse	status
driejaarlijks log-lineair	e2e97692e40bcd3e25c6 927d2181e6eb3690f1ae	97ab6f09ee53519476ff d91ced5994cfe198e987
driejaarlijks niet-lineair	171108d1544221cb5a1e c0d8bad21b23696de632	2279547a4d2dbf016374 a39401525f1d836b047a

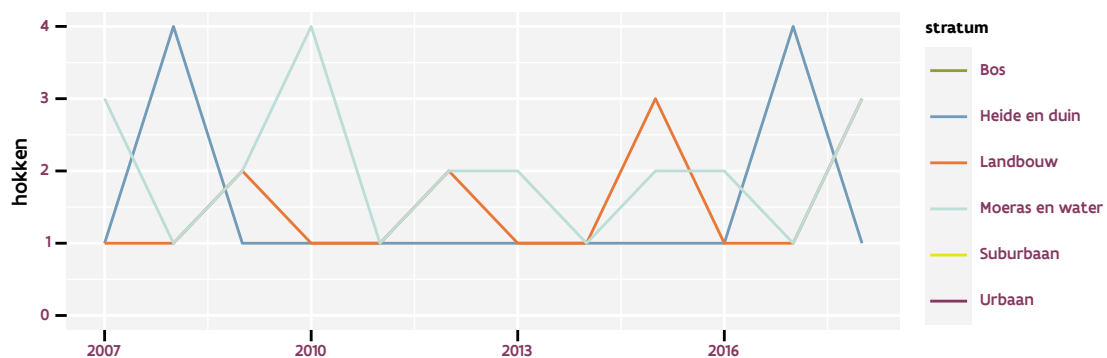
2.16 CETTI'S ZANGER



Figuur 2.45: Vlaamse indices voor Cetti's zanger op basis van jaarlijkse data. De trend is niet lineair.



Figuur 2.46: Vlaamse indices voor Cetti's zanger op basis van data geaggregeerd per driejaarlijkse cyclus. De trend is niet lineair.



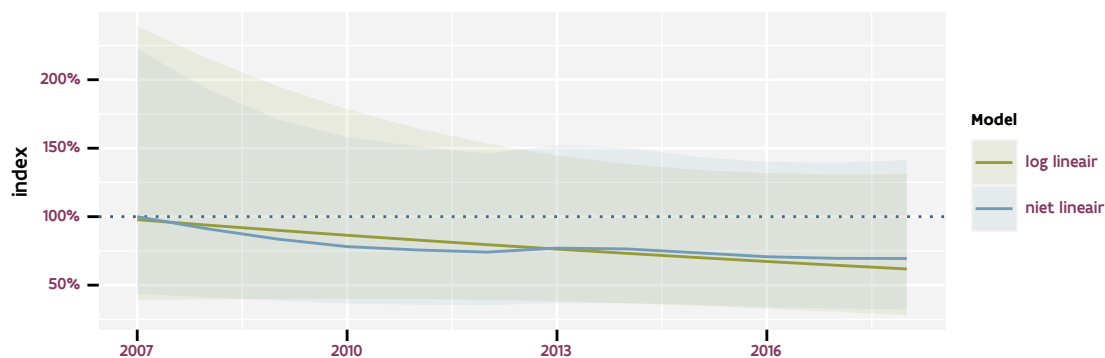
Figuur 2.47: Aantal onderzochte relevante hokken per jaar voor Cetti's zanger

Tabel 2.34: Controlesommen van de modellen voor Cetti's zanger.

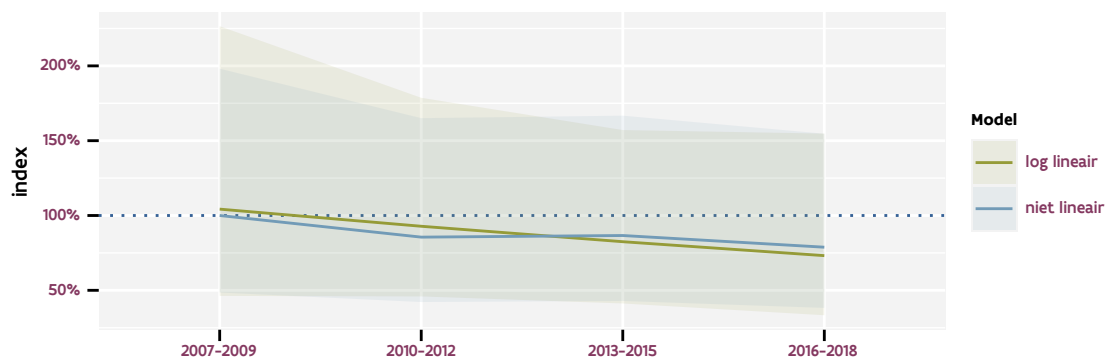
model	analyse	status
jaarlijks log-lineair	d764e6b5969588e72e09	44469994bf51e9950686
	638bf232b9f7e013613f	9a09d8a8b3410a24bf0c
jaarlijks niet-lineair	78686cac6651ec8c8190	a1f1d04161cb291e46c5
	bbc55cbac9389ddfb669	c210503d04b7f60fba55

model	analyse	status
driejaarlijks log-lineair	4afd38e80946864fa7ce 68a15dd30a59978e11d7	6e773e3df8d597cd683a cad697d847b15cfe63d2
driejaarlijks niet-lineair	ade2ac5f3b96634dd54d ff914d2b7cf9866358c2	0bbe66b1ce007dc88407 82feae61eb7128560082

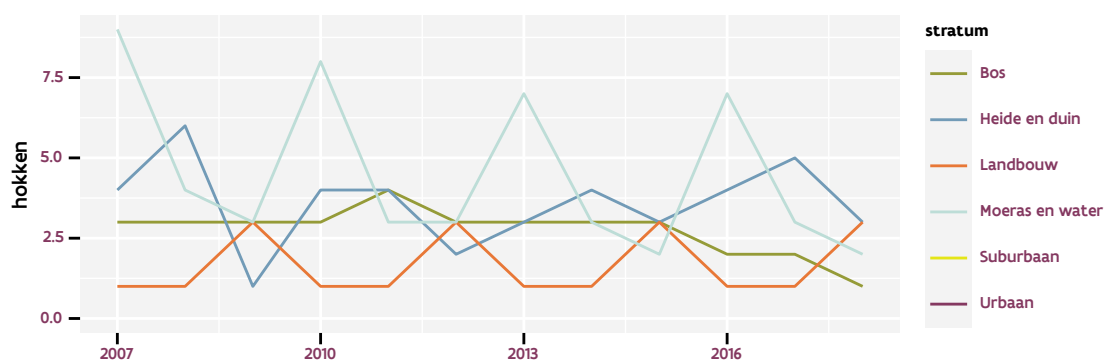
2.17 DODAARS



Figuur 2.48: Vlaamse indices voor Dodaars op basis van jaarlijkse data. De trend is niet lineair.



Figuur 2.49: Vlaamse indices voor Dodaars op basis van data geaggregeerd per driejaarlijkse cyclus. De trend is niet lineair.



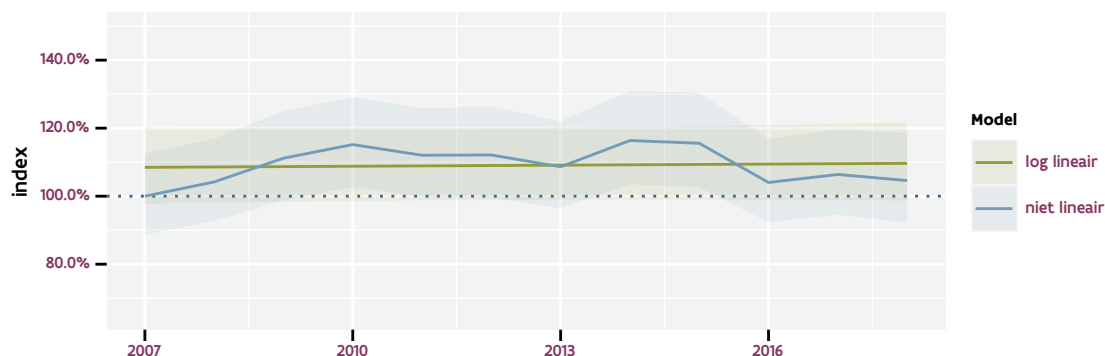
Figuur 2.50: Aantal onderzochte relevante hokken per jaar voor Dodaars

Tabel 2.35: Controlesommen van de modellen voor Dodaars.

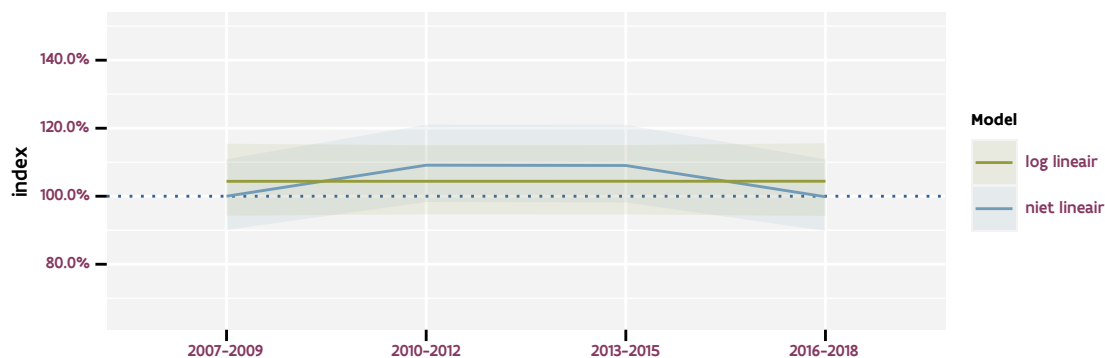
model	analyse	status
jaarlijks log-lineair	164c4174363dadcc25e5	fbf625d88ab42e8e56cd
	99594d4e5885217ffb6b	c8e1aceb23b374799cf5
jaarlijks niet-lineair	506864af5f7147237766	4e1281a10153079b3637
	0166b76c5cf01030e529	d3ed56930bb38dae1fc9

model	analyse	status
driejaarlijks log-lineair	22de51e0be10de32b9fe c947c557c04eb85d1f74	3e8ee657fff63c972ec8 5518f4ad13e5c42f7754
driejaarlijks niet-lineair	bbf5af362baa643c48da ea0d4bf9004bca810ff4	4ff2765128349db87e32 d4b020fcbdba7a0a4b71

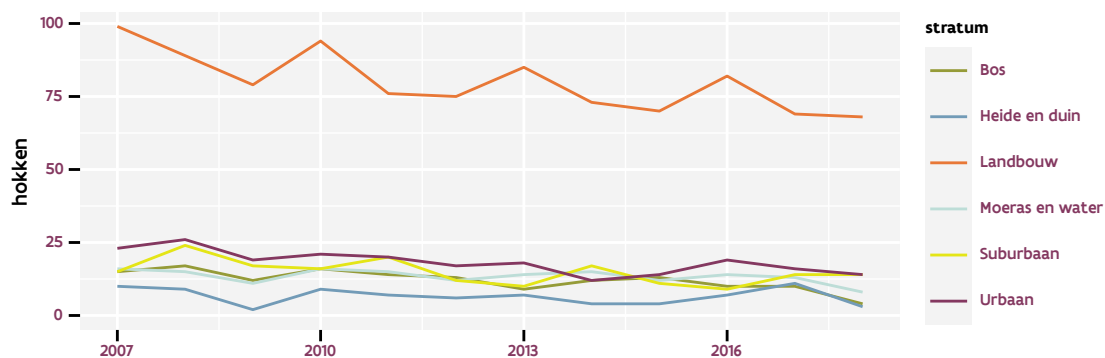
2.18 EKSTER



Figuur 2.51: Vlaamse indices voor Ekster op basis van jaarlijkse data. De trend is niet lineair.



Figuur 2.52: Vlaamse indices voor Ekster op basis van data geaggregeerd per driejaarlijkse cyclus. De trend is niet lineair.



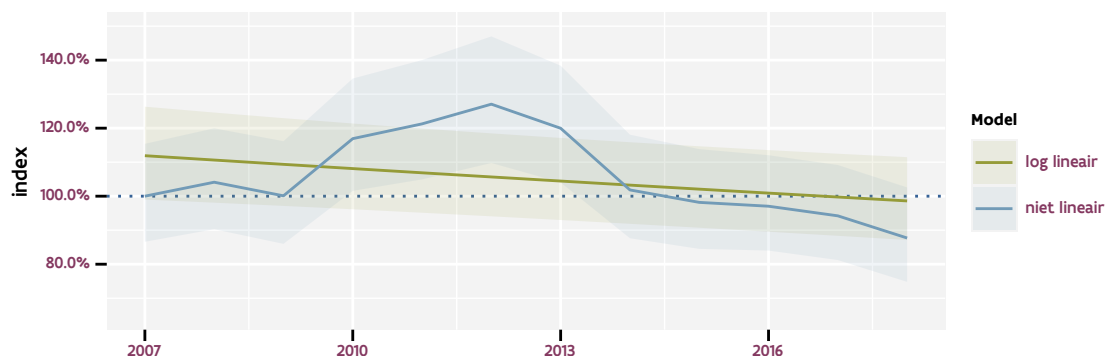
Figuur 2.53: Aantal onderzochte relevante hokken per jaar voor Ekster

Tabel 2.36: Controlesommen van de modellen voor Ekster.

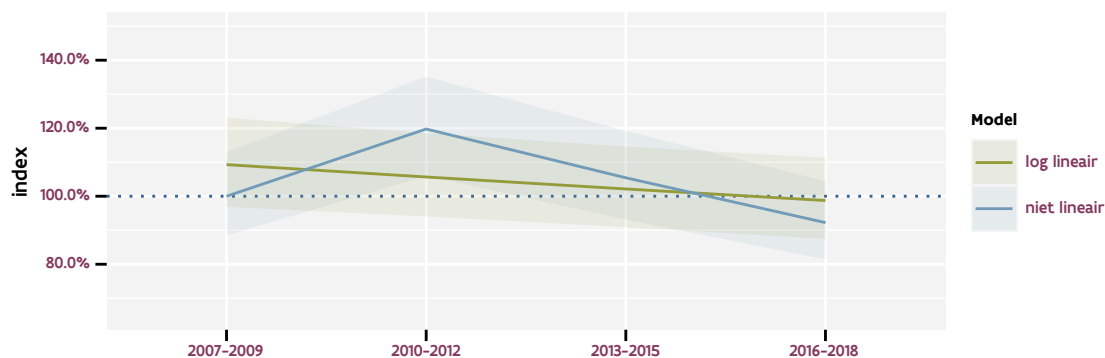
model	analyse	status
jaarlijks log-lineair	7d96a6f4c0913b5e41d8 293de30aee4904f03d1e	13c6380809572ebe312d ce94dfcceedb1a44ecfc
jaarlijks niet-lineair	b84b06c92fd9b43af9ba 40495d1800a766e878b6	e3775e24e127b09815de d01608b17ac0922d410e

model	analyse	status
driejaarlijks log-lineair	593cedcdec7bb1d56f24	279558cb04cdaa779178
	59819cba017cce596401	df7a3cdb9735a3150a6
driejaarlijks niet-lineair	044622400b966d61c67a	86c1b1079aebb58785a7
	45d374ee2bab820fa388	9d4cc11ec00807a5ab26

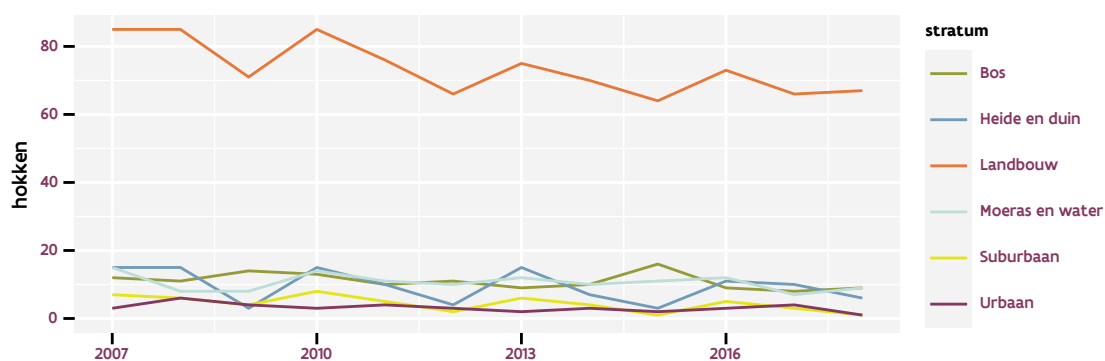
2.19 FAZANT



Figuur 2.54: Vlaamse indices voor Fazant op basis van jaarlijkse data. De trend is niet lineair.



Figuur 2.55: Vlaamse indices voor Fazant op basis van data geaggregeerd per driejaarlijkse cyclus. De trend is niet lineair.



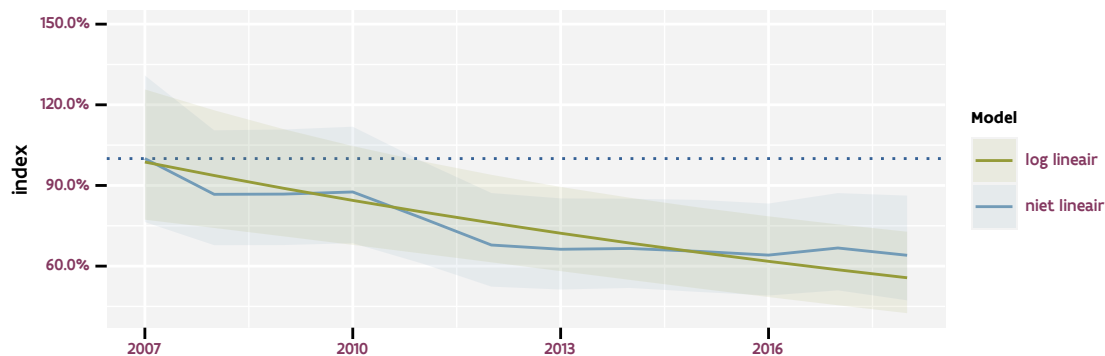
Figuur 2.56: Aantal onderzochte relevante hokken per jaar voor Fazant

Tabel 2.37: Controlesommen van de modellen voor Fazant.

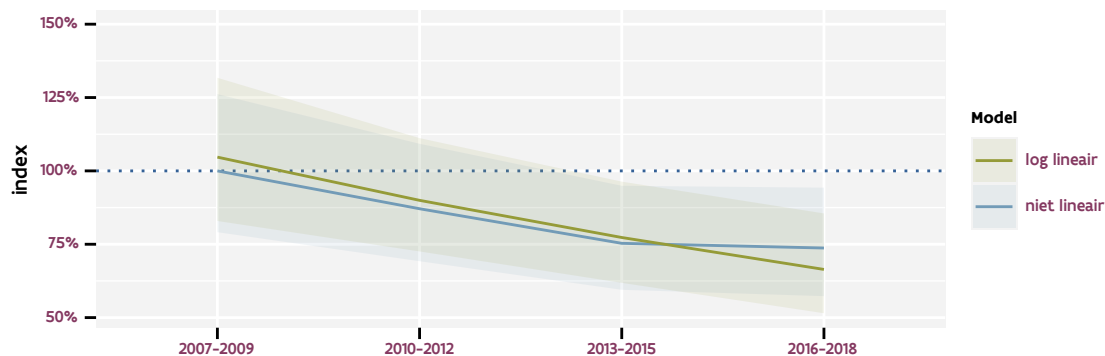
model	analyse	status
jaarlijks log-lineair	73640739b7e58e3bc0f9 f18c2b0a3efe7d26b30b	18b724ceec91d24bd01e 5b3a30eaf1728285cc81
jaarlijks niet-lineair	b522c6b7cf1a3b1c3984 ad2e6c7afbc1d3e3b66d	27c9053b8cb9778e5945 d9be5ef47c05cd0f9b24

model	analyse	status
driejaarlijks log-lineair	9eb65e9db9ce16ff2997 b1d5b7188e6051356741	2ad3d4dc63dc5ba88565 1ebc980d98091ccb25b0
driejaarlijks niet-lineair	c520d7e4d95ac86c17fc afbfa4330877b144a999	94eea299478586bfed5f a8ddb53e314e917b697b

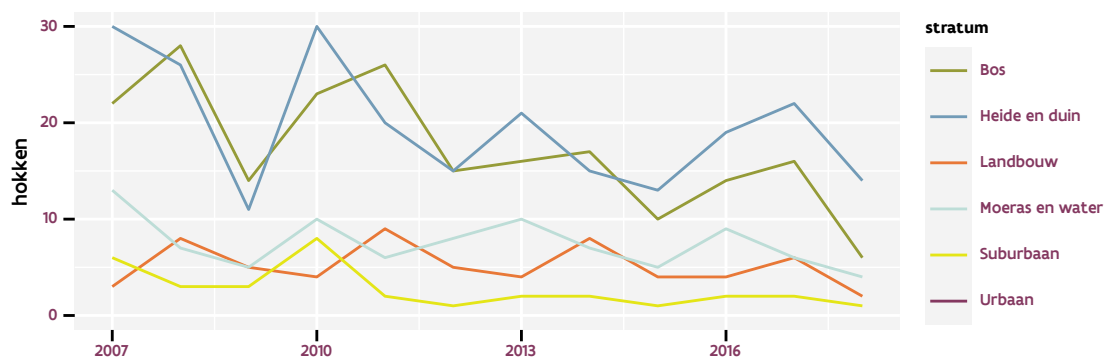
2.20 FITIS



Figuur 2.57: Vlaamse indices voor Fitis op basis van jaarlijkse data. De trend is niet lineair.



Figuur 2.58: Vlaamse indices voor Fitis op basis van data geaggregeerd per driejaarlijkse cyclus. De trend is niet lineair.



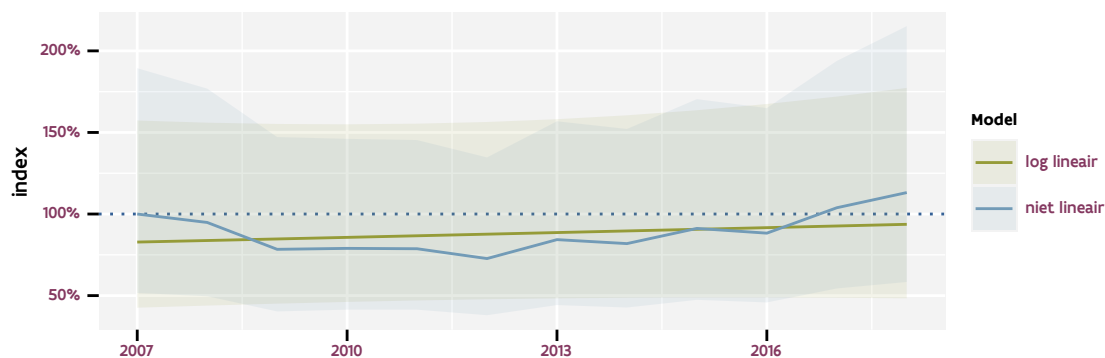
Figuur 2.59: Aantal onderzochte relevante hokken per jaar voor Fitis

Tabel 2.38: Controlesommen van de modellen voor Fitis.

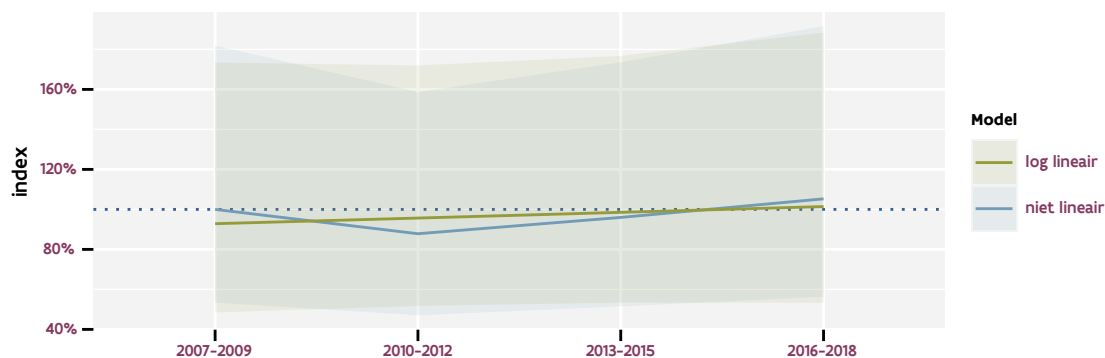
model	analyse	status
jaarlijks log-lineair	af921506244cab66add2	104552e30340cf3d0c28
	1037ef620c7fad4f55ad	39785bd7918dd296b625
jaarlijks niet-lineair	6aaddb5de3e5b354d236	bba8f9e1032a1cd570ce
	56e2f1b17b73b07eae60	43fa05a9c9b5722bfb5d

model	analyse	status
driejaarlijks log-lineair	e0e3ad32a7b5ceff3584 5d5dd80054e11641d25d	26345ba8beba9020a9d1 d96623c62fefe574d890
driejaarlijks niet-lineair	6063bb335cf6883fe9bd cb518d22d64ba0bf1597	c977a2f48547a26de1e9 44f6ee487a2792ce4a50

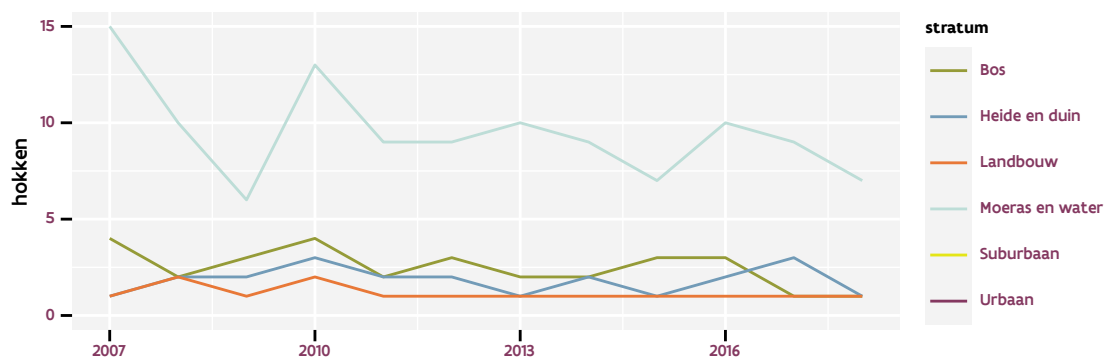
2.21 FUUT



Figuur 2.60: Vlaamse indices voor Fuut op basis van jaarlijkse data. De trend is niet lineair.



Figuur 2.61: Vlaamse indices voor Fuut op basis van data geaggregeerd per driejaarlijkse cyclus. De trend is niet lineair.



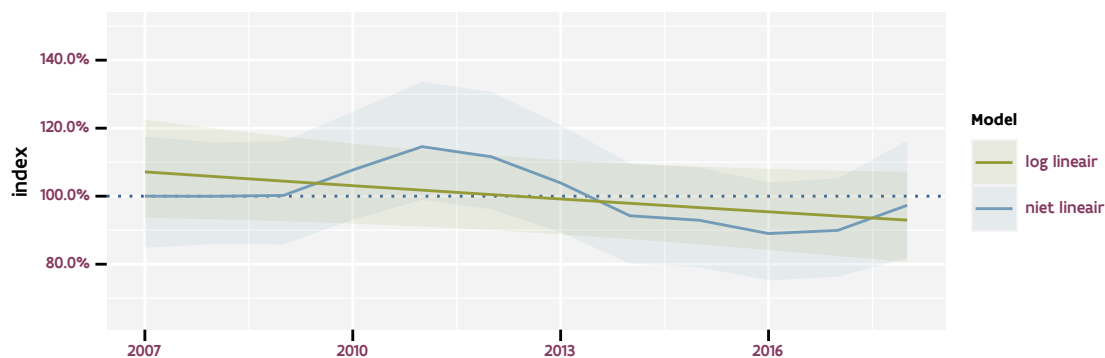
Figuur 2.62: Aantal onderzochte relevante hokken per jaar voor Fuut

Tabel 2.39: Controlesommen van de modellen voor Fuut.

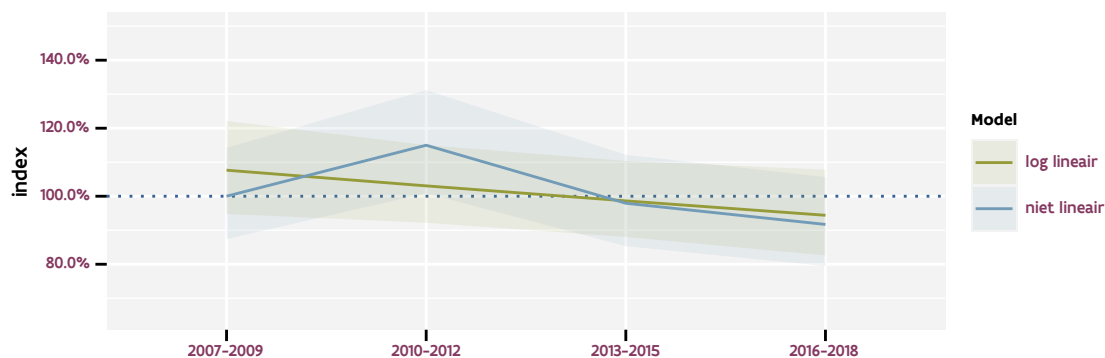
model	analyse	status
jaarlijks log-lineair	9c5430acead27b26d82b	6838df29c89ea98a4c92
	8830a6a1c66297d417b1	f3aebb3b6e1f22bbb0e4
jaarlijks niet-lineair	ba04e6f51d7ffaaaa498	60de71b2f9ce361c777a
	62167ecc1e49322c6a5e	b4069576b80c39f10f74

model	analyse	status
driejaarlijks log-lineair	f0115ea44dd95bf68dd5 d3af6401173c975a9840	e7131728ca554f4e1cba 79c1282ea0cace8147fc
driejaarlijks niet-lineair	136c13245809e2ccfe24 8e899e1eaf153b6c963f	b3f35e9ec82adc5ff149 2145d02285844d4ccec6

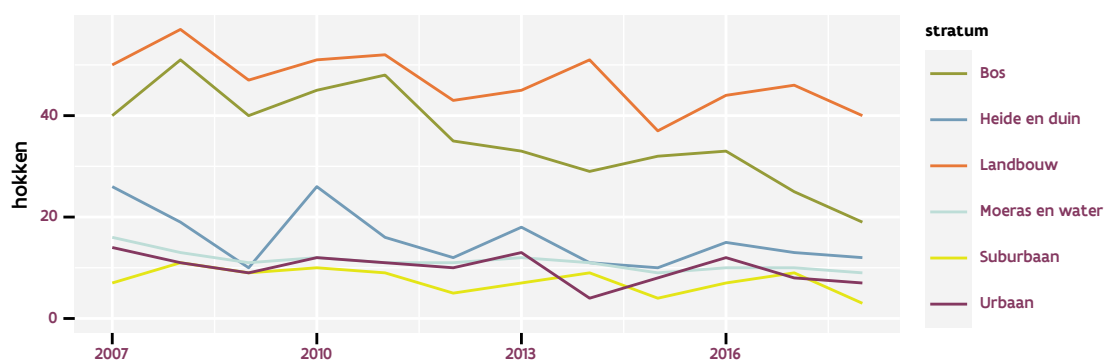
2.22 GAAI



Figuur 2.63: Vlaamse indices voor Gaai op basis van jaarlijkse data. De trend is niet lineair.



Figuur 2.64: Vlaamse indices voor Gaai op basis van data geaggregeerd per driejaarlijkse cyclus. De trend is niet lineair.



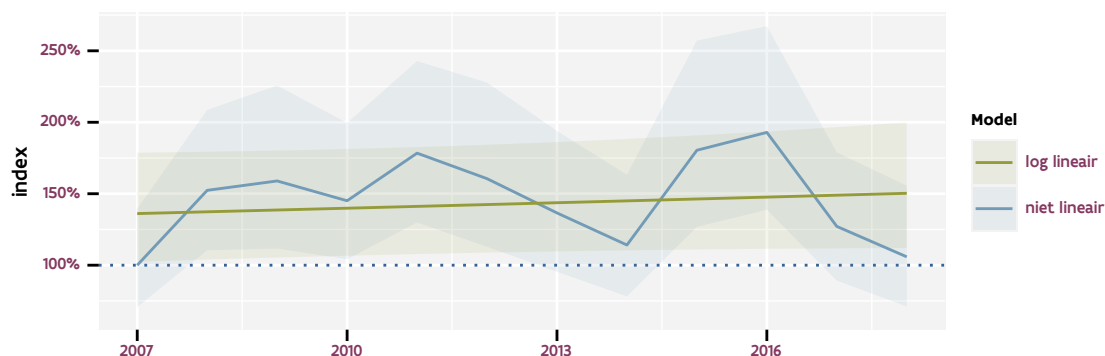
Figuur 2.65: Aantal onderzochte relevante hokken per jaar voor Gaai

Tabel 2.40: Controlesommen van de modellen voor Gaai.

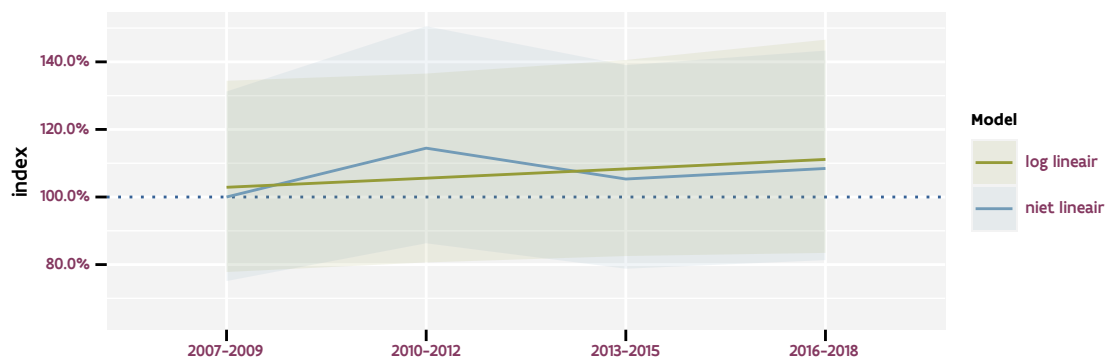
model	analyse	status
jaarlijks log-lineair	a5e57e4e5498c0b00ea4	3ee1307d0b69de9a3638
	1d01657f1380601f468a	2f42ce7e7733674ebf33
jaarlijks niet-lineair	8ea854aa8ad0ba0f2792	7a9fe99774cc8936337f
	207c19d42f4b8839d269	97aea34a3ce044cb1f53

model	analyse	status
driejaarlijks log-lineair	ab5e4a19380af2a0251d a9bcbe5f710f4f7a8c60	1b4980e338861671eec1 a118e7374ac52dbb261d
driejaarlijks niet-lineair	acf78e23f3ac8cbf35dd c061e5abb81c3e2ada09	c36d7ac3e85b412d9b98 80c55d6d465a4d8cac79

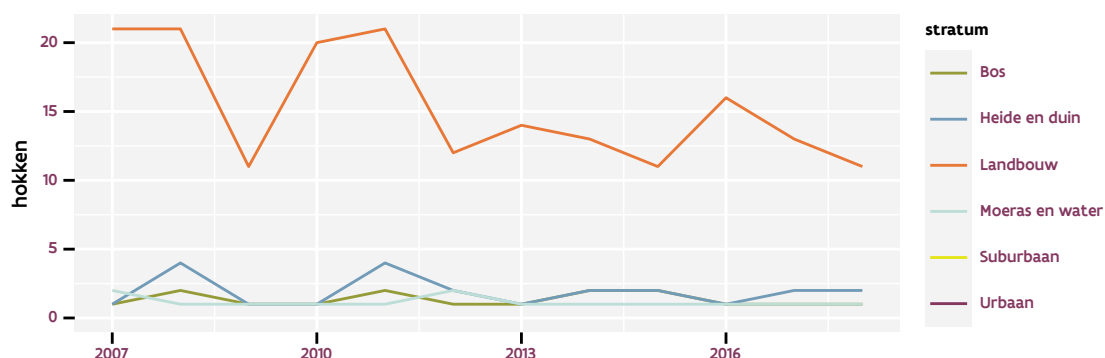
2.23 GEELGORS



Figuur 2.66: Vlaamse indices voor Geelgors op basis van jaarlijkse data. De trend is niet lineair.



Figuur 2.67: Vlaamse indices voor Geelgors op basis van data geaggregeerd per driejaarlijkse cyclus. De trend is mogelijk niet-lineair.



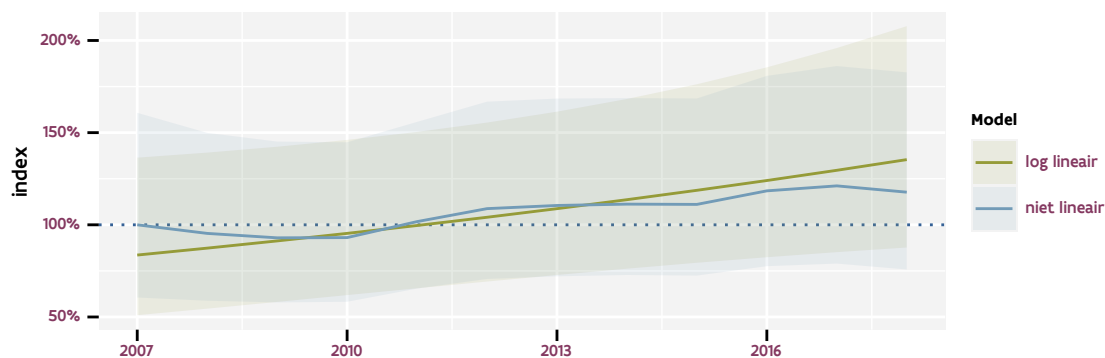
Figuur 2.68: Aantal onderzochte relevante hokken per jaar voor Geelgors

Tabel 2.41: Controlesommen van de modellen voor Geelgors.

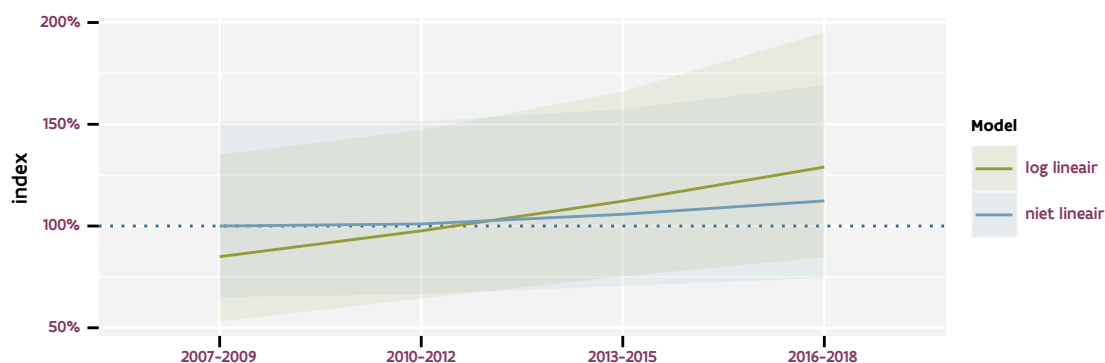
model	analyse	status
jaarlijks log-lineair	ea8300e866e931cf1e17 793facf726788ba47a2e	fd9f56e2a9032bc4d9e2 73140f7621edffd3cfc6
jaarlijks niet-lineair	3e438ec5088b62c67419 ed349e7c2ca683c58074	295cb576c10083225036 1104ab48e9f68b59d608

model	analyse	status
driejaarlijks log-lineair	75c5a47e73d9a486f733	3188c15236799b9ef14e
	9759bb2ae024b94e1380	e606ae6d8bc1938c8a23
driejaarlijks niet-lineair	6945199df7bdc108a010	f0717521352b393f4ddb
	87a40effd0dc4d5890ab	30329fd593309539a13c

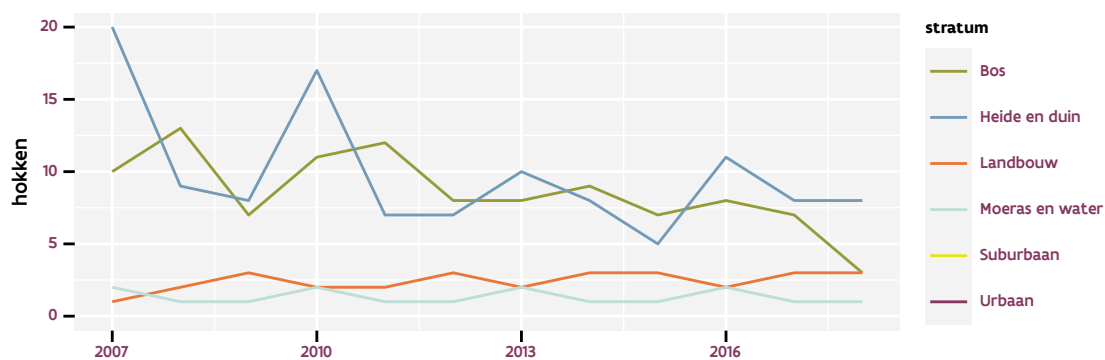
2.24 GEKRAAGDE ROODSTAART



Figuur 2.69: Vlaamse indices voor Gekraagde roodstaart op basis van jaarlijkse data. De trend is mogelijk niet-lineair.



Figuur 2.70: Vlaamse indices voor Gekraagde roodstaart op basis van data geaggregeerd per driejaarlijkse cyclus. De trend is log-lineair.



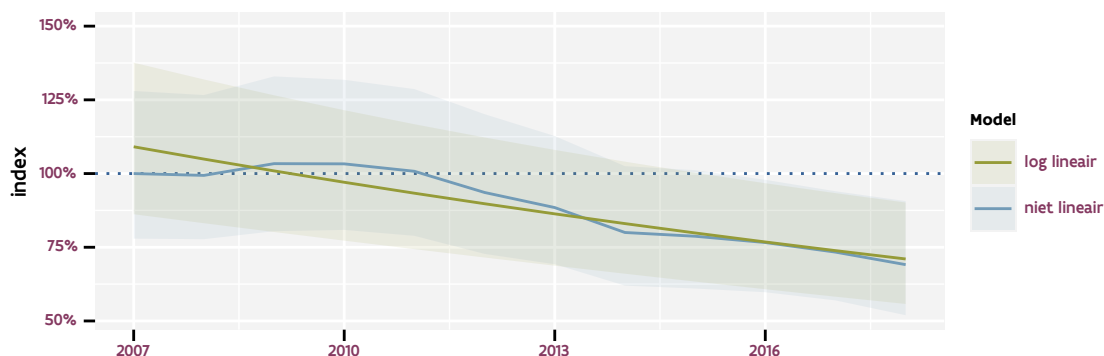
Figuur 2.71: Aantal onderzochte relevante hokken per jaar voor Gekraagde roodstaart

Tabel 2.42: Controlesommen van de modellen voor Gekraagde roodstaart.

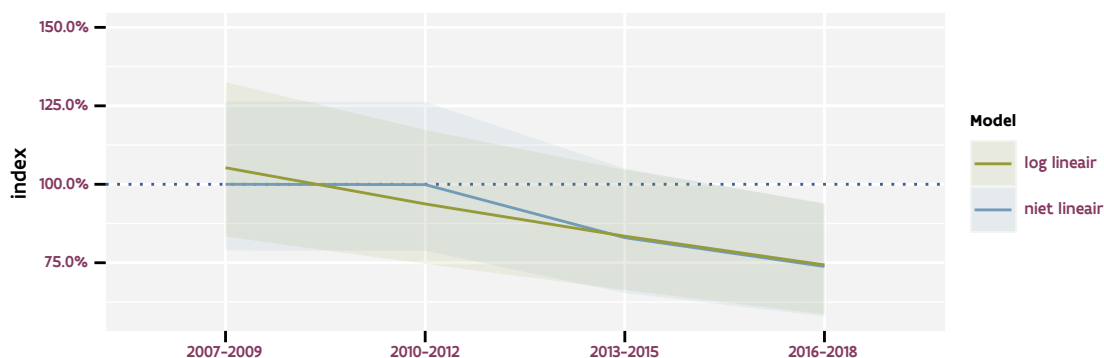
model	analyse	status
jaarlijks log-lineair	c9e566875462d9c71147 c6b5998384497fe8ec80	41b3102d0befe9d7fe91 61520330863357bbadd4

model	analyse	status
jaarlijks niet-lineair	f553bd92ec57e02bcb5a bd017d959272b5c34dc8	b56a23b5d2dc573fc650 36f40790bea69c28751f
driejaarlijks log-lineair	4d3353eff6471e52f07a f620c11aab17587499f9	b16fa2fa5b9c0d78ed56 7fba798ae4208b2c2ab4
driejaarlijks niet-lineair	f8d2c692fb6446a33f8 8897e20ef5adc2903c8f	633f000de1944febbfee b98a84923da2a9279367

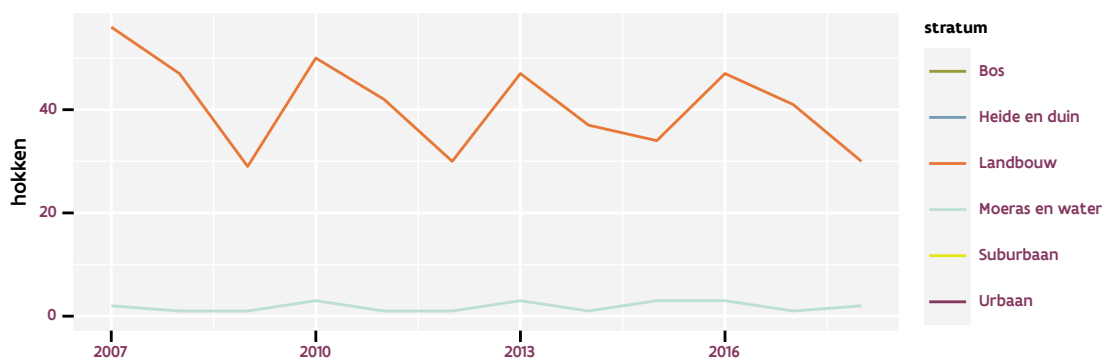
2.25 GELE KWIKSTAART



Figuur 2.72: Vlaamse indices voor Gele kwikstaart op basis van jaarlijkse data. De trend is mogelijk niet-lineair.



Figuur 2.73: Vlaamse indices voor Gele kwikstaart op basis van data geaggregeerd per driejaarlijkse cyclus. De trend is mogelijk niet-lineair.



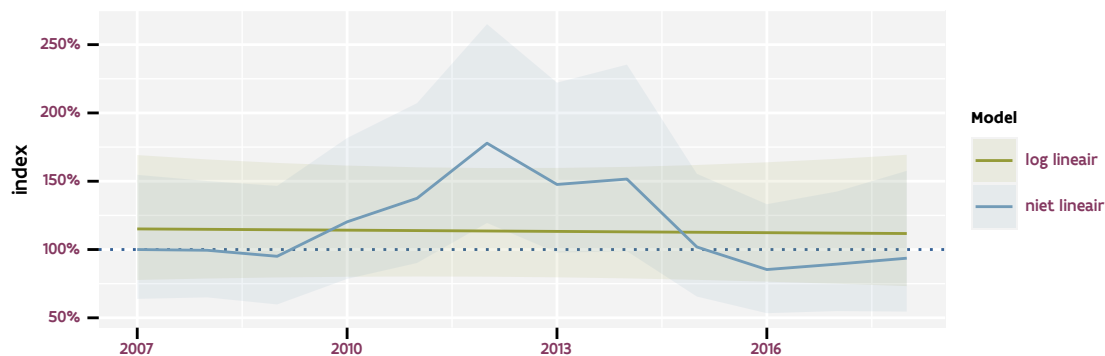
Figuur 2.74: Aantal onderzochte relevante hokken per jaar voor Gele kwikstaart

Tabel 2.43: Controlesommen van de modellen voor Gele kwikstaart.

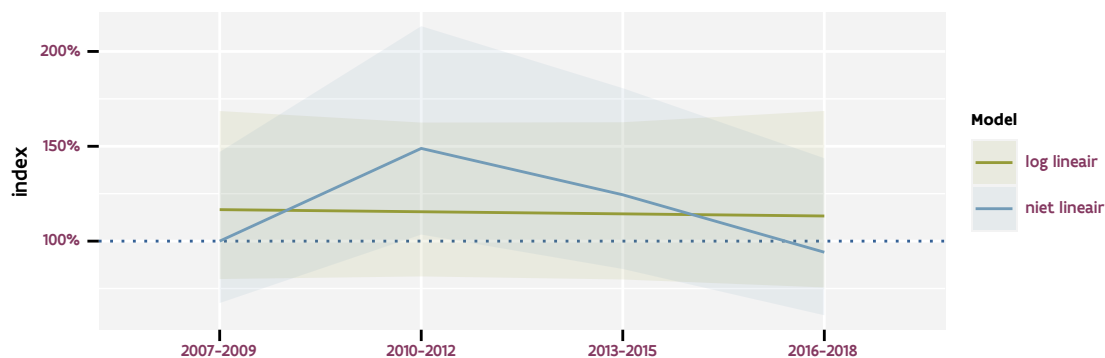
model	analyse	status
jaarlijks log-lineair	6a1b77898d86f2cc5337 cfa6633e03df510b744d	c89170b84e91c44d6920 0b9755523e306b8fd079

model	analyse	status
jaarlijks niet-lineair	6806f726ed2a3b32b1cf 67f81e1f0d2069ce9a3e	4ef0a39367c790dbfbf4 c60eb644b607443405d5
driejaarlijks log-lineair	e01a52fbd7621df31cb9 a95567495ce2f3076784	2b0a73664fc254def6de 5fe01e09983caac549ee
driejaarlijks niet-lineair	506527ec2d96c4084647 89d87409dd5fa39525fa	e12a14214da33ac86297 064778e4d3a36d2149fb

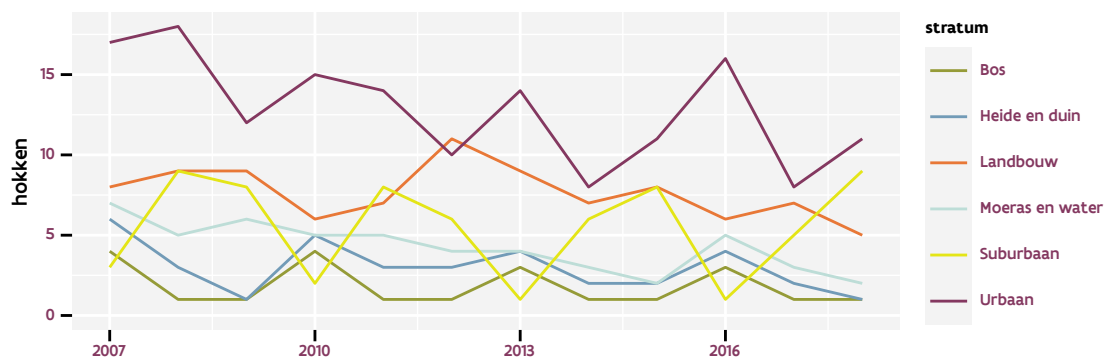
2.26 GIERZWALUW



Figuur 2.75: Vlaamse indices voor Gierzwaluw op basis van jaarlijkse data. De trend is niet lineair.



Figuur 2.76: Vlaamse indices voor Gierzwaluw op basis van data geaggregeerd per driejaarlijkse cyclus. De trend is niet lineair.



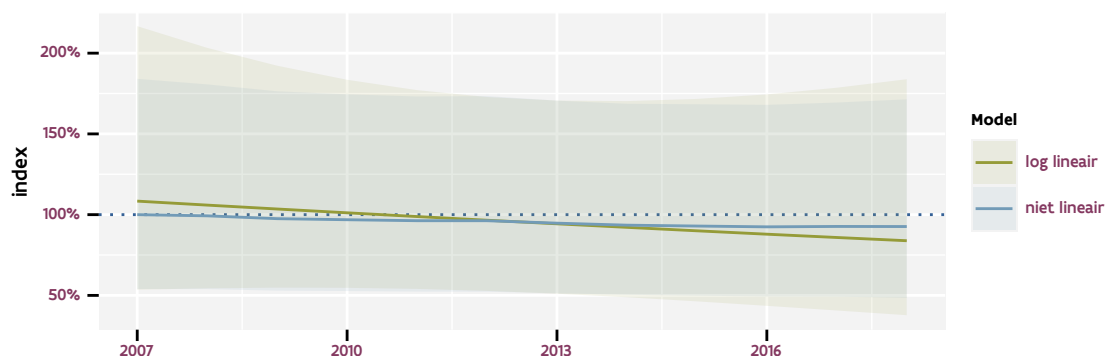
Figuur 2.77: Aantal onderzochte relevante hokken per jaar voor Gierzwaluw

Tabel 2.44: Controlesommen van de modellen voor Gierzwaluw.

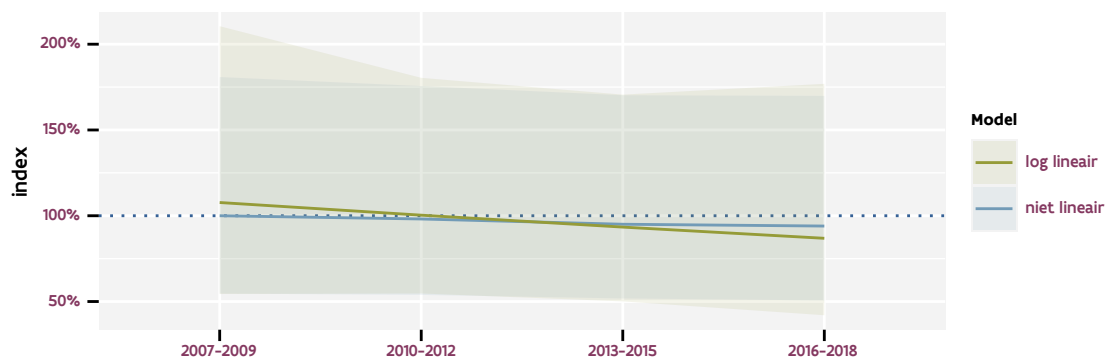
model	analyse	status
jaarlijks log-lineair	28ad090e99aa602afd41	b7df3e4b342d02bf5d1b
	190fd0b11284ec5be43d	2c2f7a8de0dbcf07265e
jaarlijks niet-lineair	2e94933870be73d14321	63b12426ff84324f50d0
	f77c5e1e676b5baa4564	0288a1fe0b491c39d167

model	analyse	status
driejaarlijks log-lineair	81c1d77d4a44af208bb9 027da0e9955fdd20a54a	f5b719e141f3dc93d1c1 3faa40f103759392b0f1
driejaarlijks niet-lineair	d23a932cdb2a268a9698 3b5cf1531d843f07dbae	fa4f1c3ec22ad0cc2b11 c52dc890654f2a18e3cb

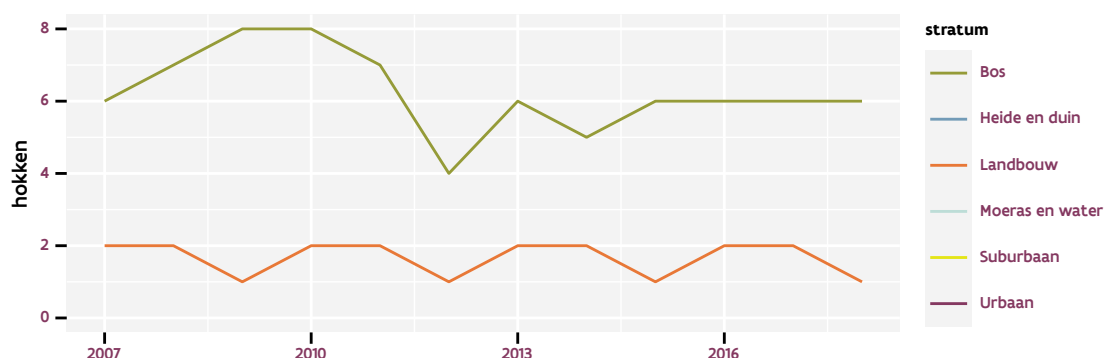
2.27 GLANSKOP



Figuur 2.78: Vlaamse indices voor Glanskop op basis van jaarlijkse data. De trend is log-lineair.



Figuur 2.79: Vlaamse indices voor Glanskop op basis van data geaggregeerd per driejaarlijkse cyclus. De trend is mogelijk niet-lineair.



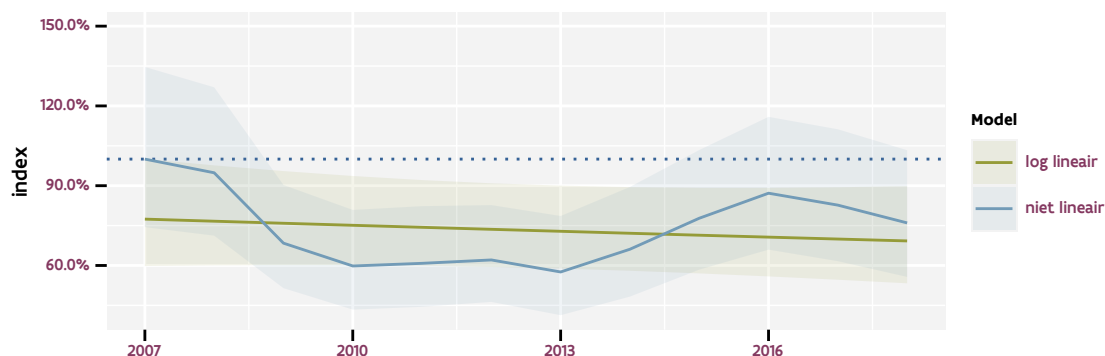
Figuur 2.80: Aantal onderzochte relevante hokken per jaar voor Glanskop

Tabel 2.45: Controlesommen van de modellen voor Glanskop.

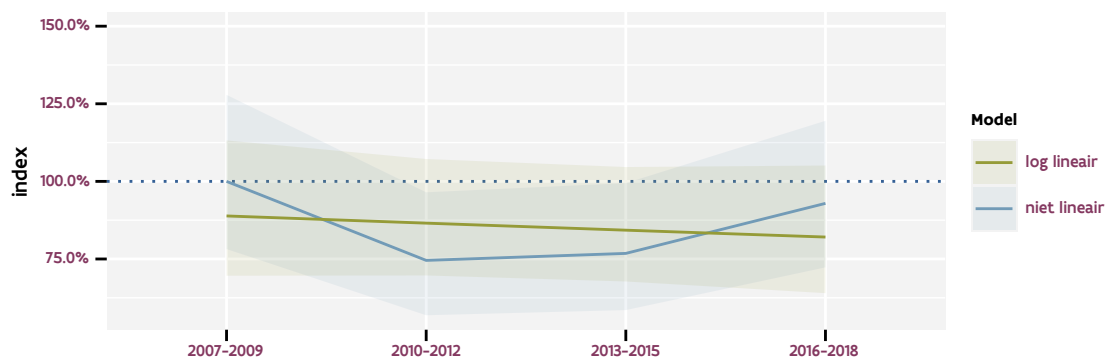
model	analyse	status
jaarlijks log-lineair	17cd75c196c9491fabaf 6f3bb7dde8b1a6568d18	066376689cd8a29b92ca ae6fe01f260c3707c893
jaarlijks niet-lineair	789f5df187f29678c800 f31184787ec5d1b232a8	e2f2782d33de1f66940d 8c45c5672971a71b59ab

model	analyse	status
driejaarlijks log-lineair	ccfcab85358978e9af71	2351a409d3952bf45357
	c15a08fbbc373a9ab0f9	c8a87abecbb579345a87
driejaarlijks niet-lineair	b8e57b42ad5f8eb635a6	72565d9bb933d2e61641
	d3b756ec6eb166277a81	7e01eb47bffdd8d70227

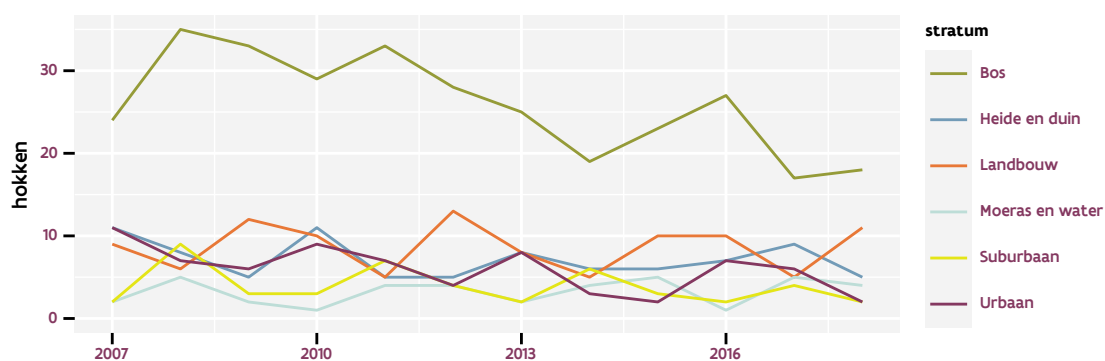
2.28 GOUDHAAN



Figuur 2.81: Vlaamse indices voor Goudhaan op basis van jaarlijkse data. De trend is niet lineair.



Figuur 2.82: Vlaamse indices voor Goudhaan op basis van data geaggregeerd per driejaarlijkse cyclus. De trend is niet lineair.



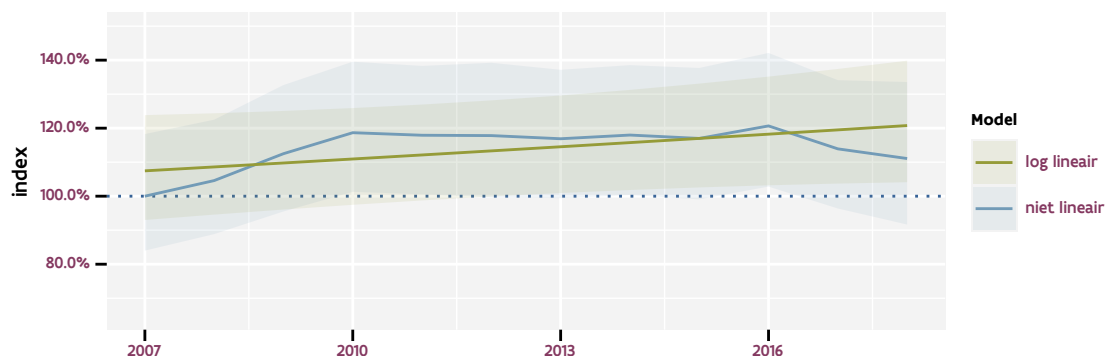
Figuur 2.83: Aantal onderzochte relevante hokken per jaar voor Goudhaan

Tabel 2.46: Controlesommen van de modellen voor Goudhaan.

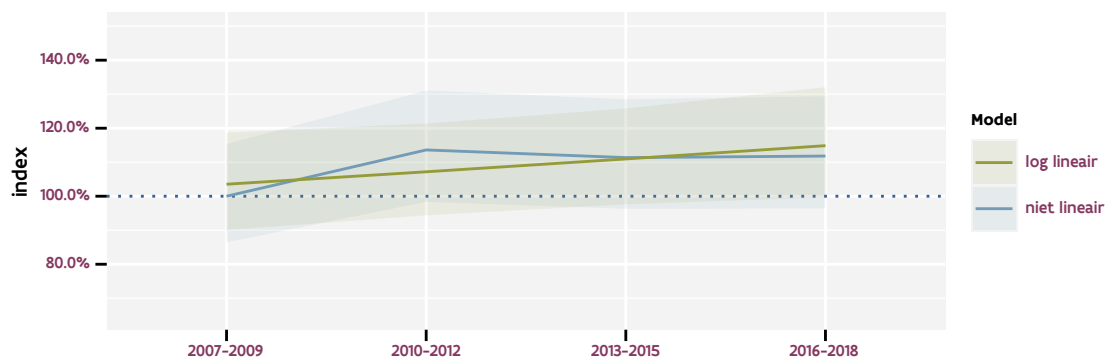
model	analyse	status
jaarlijks log-lineair	eb2f06f36878b9036bff	922eeab3f8c3118ad584
	9a104efd2cfa7157360e	483fe2c4d839df68cdaa
jaarlijks niet-lineair	f06f6eb2ead85c0e4f18	235d03eac6b5c113110f
	1fb224aaaf4a7de7b10f	c4bac4338c496339ec36

model	analyse	status
driejaarlijks log-lineair	b23eb0ceeabf4b4db088 cb8bc9dc8f531c11cb6e	5769ee2858007e01d441 f43f83d943ce2f77c99d
driejaarlijks niet-lineair	2e73db9e0e0f658a683c 5e8a24f40ed63aa636da	ef3834d462820baaf553 fdf3b0edb56bc3b148fc

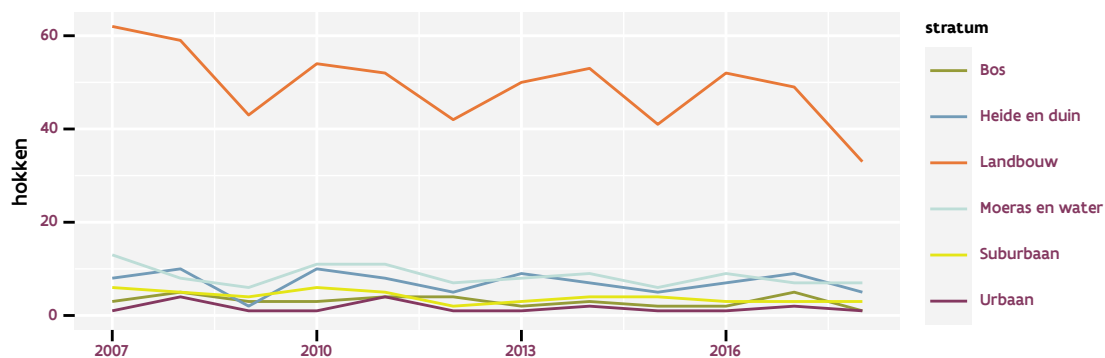
2.29 GRASMUS



Figuur 2.84: Vlaamse indices voor Grasmus op basis van jaarlijkse data. De trend is niet lineair.



Figuur 2.85: Vlaamse indices voor Grasmus op basis van data geaggregeerd per driejaarlijkse cyclus. De trend is niet lineair.



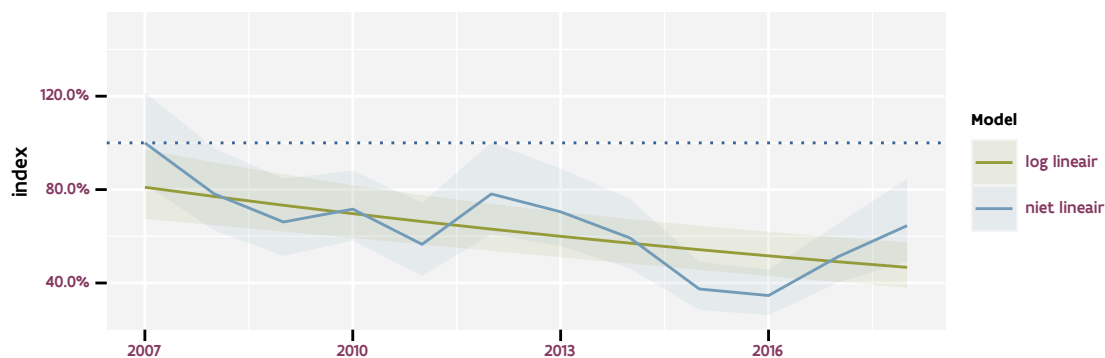
Figuur 2.86: Aantal onderzochte relevante hokken per jaar voor Grasmus

Tabel 2.47: Controlesommen van de modellen voor Grasmus.

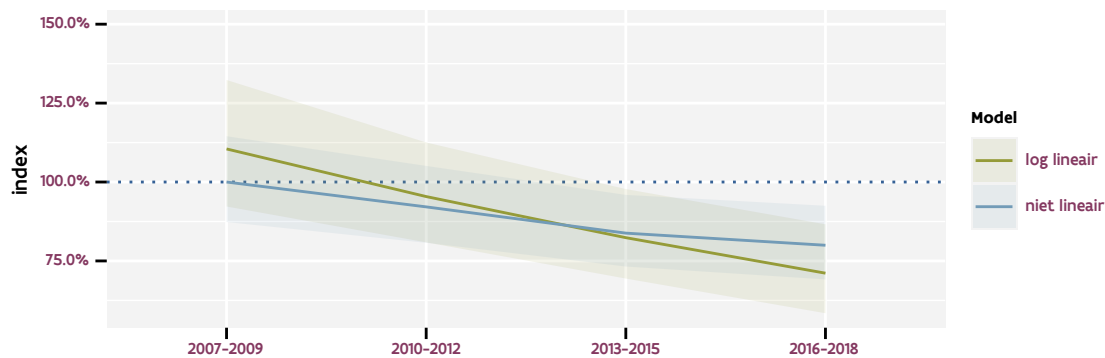
model	analyse	status
jaarlijks log-lineair	b6d6a8dc8db9c85b5469 0e77c1f6f416a669147e	65c6a5412637c301ab4a cf00ad46ce3321c6ee05
jaarlijks niet-lineair	9eaf1bb725e9186800dd 4156d5094cc211d48c24	15e97320d85760ec2090 73f9958ab4037a0708bc

model	analyse	status
driejaarlijks log-lineair	e28868c96693f19d7cc3 a028fd60413662ec1a0d	a51494a803b27ec84c3d ddd5086b00503d8b4687
driejaarlijks niet-lineair	2ee785aef2ef80117ca9 5e5589b5f0a59df94af3	16c7e671273aca280f0d 9f66ffa89e1f6031d81e

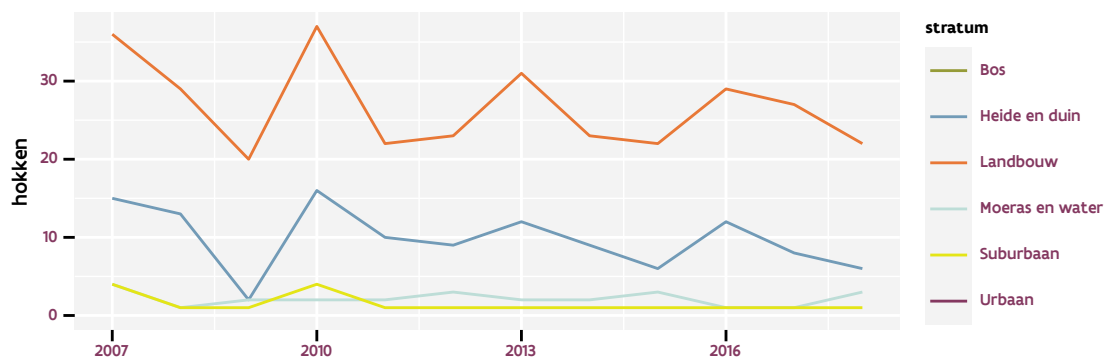
2.30 GRASPIEPER



Figuur 2.87: Vlaamse indices voor Graspieper op basis van jaarlijkse data. De trend is niet lineair.



Figuur 2.88: Vlaamse indices voor Graspieper op basis van data geaggregeerd per driejaarlijkse cyclus. De trend is niet lineair.



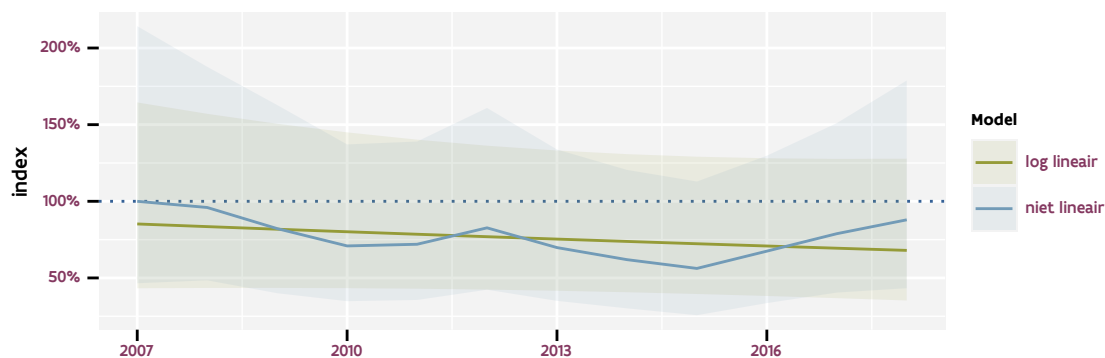
Figuur 2.89: Aantal onderzochte relevante hokken per jaar voor Graspieper

Tabel 2.48: Controlesommen van de modellen voor Graspieper.

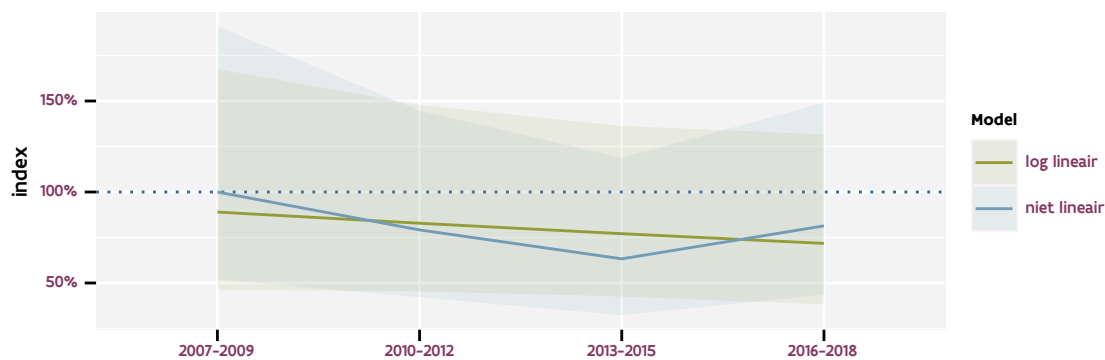
model	analyse	status
jaarlijks log-lineair	6bf623969af08907bb59	2f46e2ee7e8c8e5b1cc5
	a7f7c31a3619c031a72a	b8a924c8c279d6cb2095
jaarlijks niet-lineair	c0c5839002479b1efe76	81955bc8645ced043c6b
	a1d78330776a8e090957	1c89f099cd1e3f3af6b1

model	analyse	status
driejaarlijks log-lineair	8432628474914cd67fe0 c80433972f8b58d96f35	19fb01c055028191e2dc 899c74b2b857e5adde77
driejaarlijks niet-lineair	d43c087b02cafc75859 ce6f7fd358740419c046	cf922055738a47c1475a a80751b3d18097772bb8

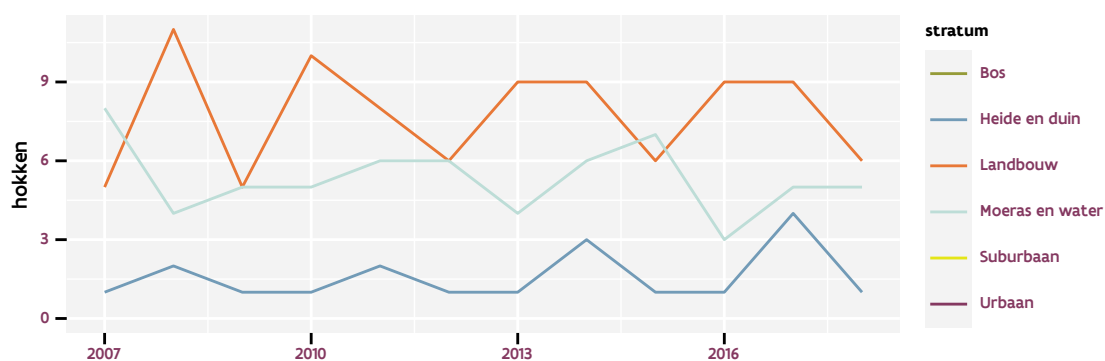
2.31 GRAUWE GANS



Figuur 2.90: Vlaamse indices voor Grauwe gans op basis van jaarlijkse data. De trend is niet lineair.



Figuur 2.91: Vlaamse indices voor Grauwe gans op basis van data geaggregeerd per driejaarlijkse cyclus. De trend is niet lineair.



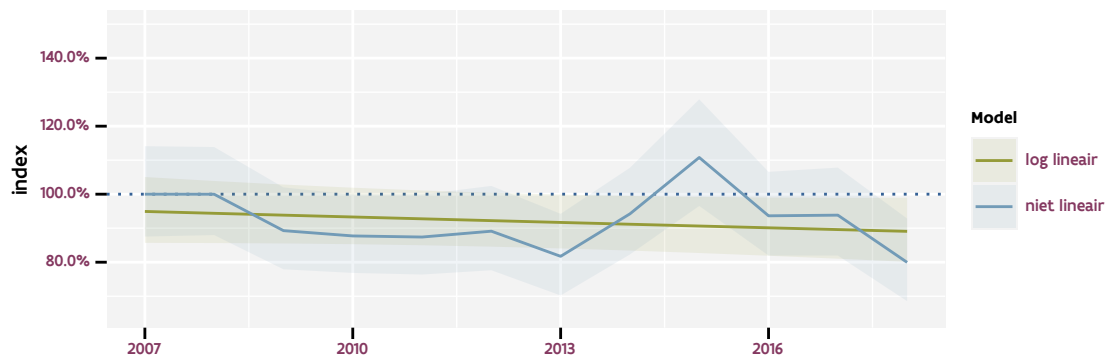
Figuur 2.92: Aantal onderzochte relevante hokken per jaar voor Grauwe gans

Tabel 2.49: Controlesommen van de modellen voor Grauwe gans.

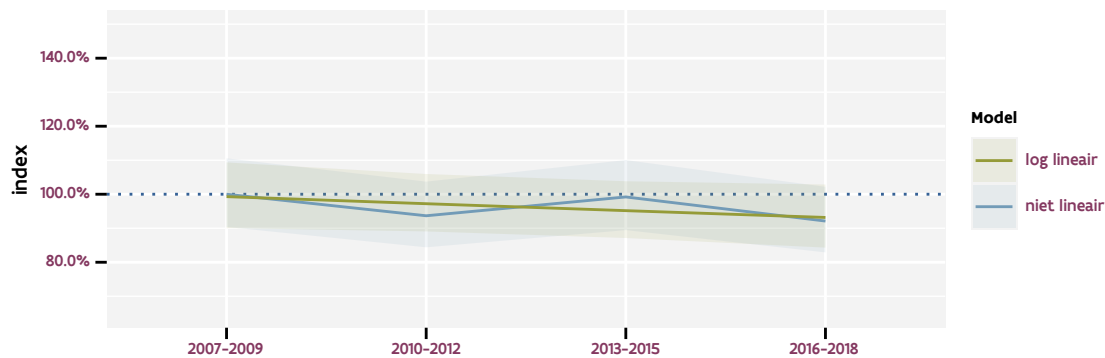
model	analyse	status
jaarlijks log-lineair	0735e0ceec1f73ae1134	481cc792ba373e2f86e9
	a3c121f927efd065ba02	2ef8ed26c40af5900eff
jaarlijks niet-lineair	c6e6330f167c87e4adcc	416af8ea7d7b5eda3e9b
	ab6602597f41b41d2b7e	f893bbb4731f255c0289

model	analyse	status
driejaarlijks log-lineair	00e17cdfb1e4971aeaa1 afd0c360ed298f05bc66	dcddacf324ded9f33dd0 a8ed3296f2e9c1ada4e3
driejaarlijks niet-lineair	5a5611f455ccde9fad5a 232af25f520d0971a412	d60f1470366b71a2f52c 15f33b9ca113db9c7d70

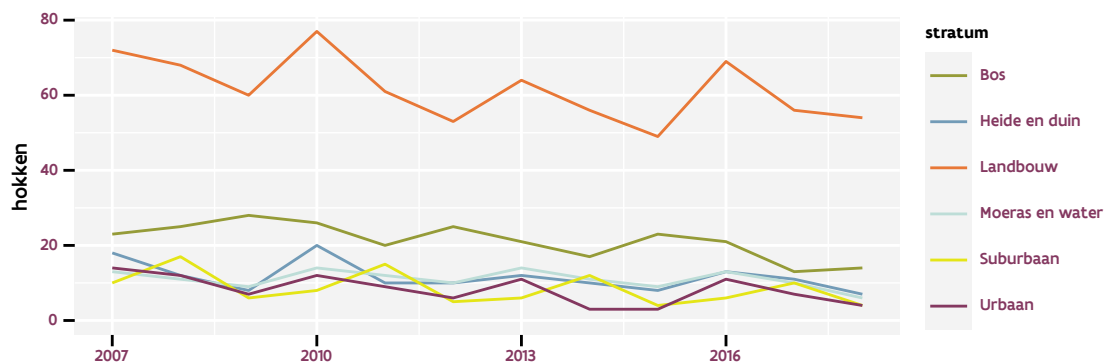
2.32 GROENE SPECHT



Figuur 2.93: Vlaamse indices voor Groene specht op basis van jaarlijkse data. De trend is niet lineair.



Figuur 2.94: Vlaamse indices voor Groene specht op basis van data geaggregeerd per driejaarlijkse cyclus. De trend is niet lineair.



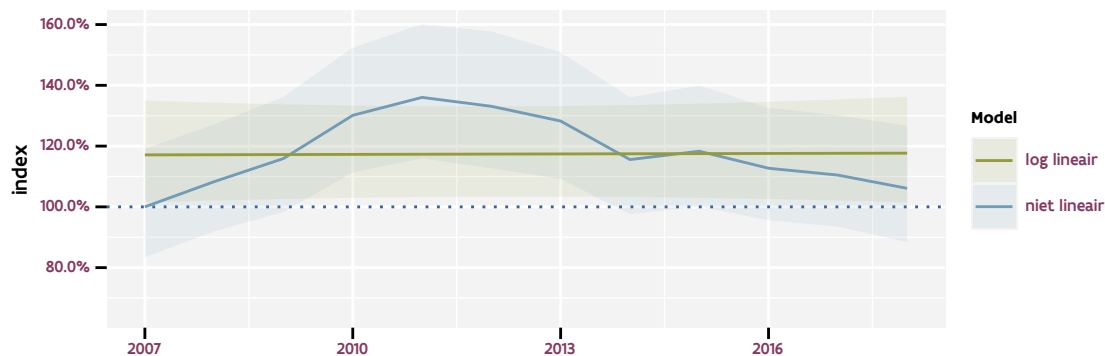
Figuur 2.95: Aantal onderzochte relevante hokken per jaar voor Groene specht

Tabel 2.50: Controlesommen van de modellen voor Groene specht.

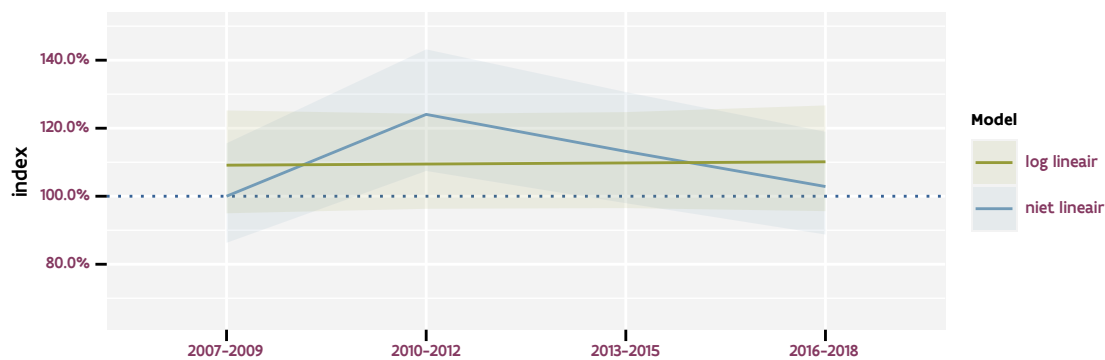
model	analyse	status
jaarlijks log-lineair	a4655f3021a7eed2a487	4e1e36678b97ae903428
	c4c6f45467df8164df58	7870732d3b2866d8e05e
jaarlijks niet-lineair	aeba9b1936d7d947078e	400ce2ec5a0c8c77d731
	6946e37de7d2fb6cb992	d1b7b0156726b01e17a1

model	analyse	status
driejaarlijks log-lineair	af952563b049cb5d0294 1245a873459d121ca968	cc95edeba555e6743d59 e47c566a6a40aff3ee3b
driejaarlijks niet-lineair	6ad4ba5821ac5694c09f f42ef55fef9722abf971	2fa1d1f95e6f04dff49a d9ee3d2586137b9334c9

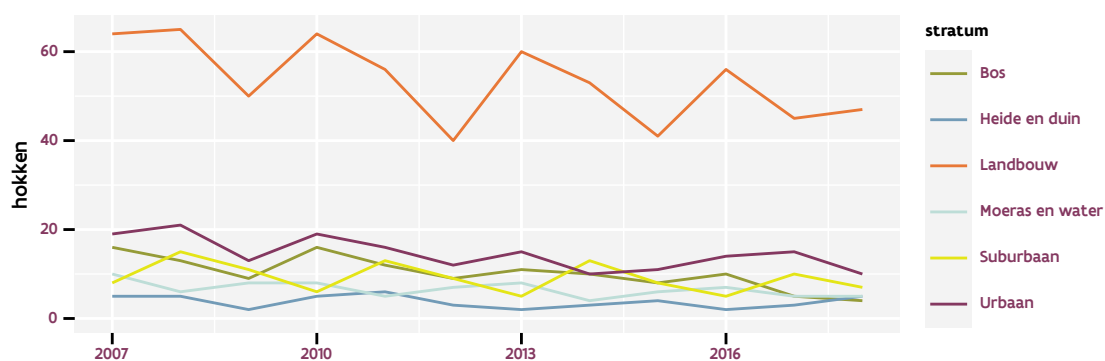
2.33 GROENLING



Figuur 2.96: Vlaamse indices voor Groenling op basis van jaarlijkse data. De trend is niet lineair.



Figuur 2.97: Vlaamse indices voor Groenling op basis van data geaggregeerd per driejaarlijkse cyclus. De trend is niet lineair.



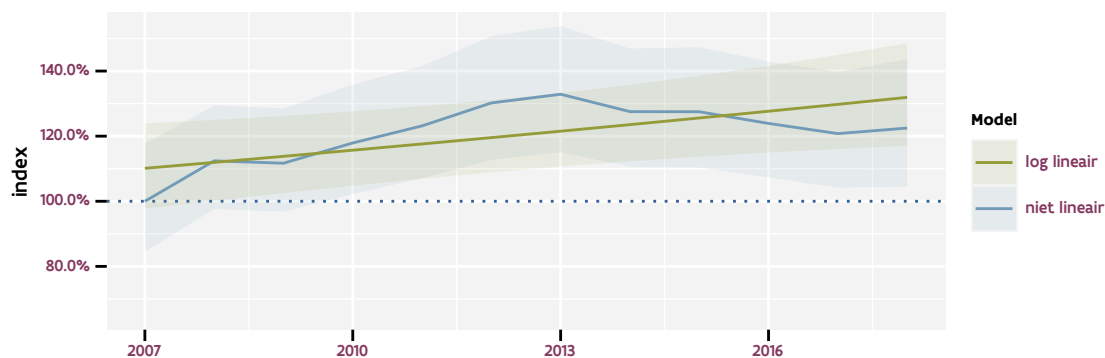
Figuur 2.98: Aantal onderzochte relevante hokken per jaar voor Groenling

Tabel 2.51: Controlesommen van de modellen voor Groenling.

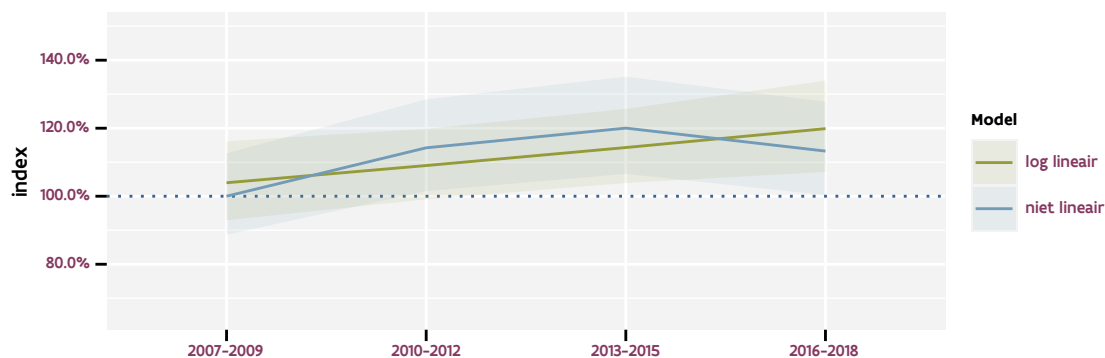
model	analyse	status
jaarlijks log-lineair	94c0aa663690f9a58c5e	98ccc025bcd34b63d2cd
	06d5067a08e61062e32d	7cca247bcf4edb710fbd
jaarlijks niet-lineair	4a4f4d5092e590f920b1	846df84e7f52499a9190
	ca3fdefe7a2ce3c5269f	b6358fb5076990ae56aa

model	analyse	status
driejaarlijks log-lineair	e73f01fc7d53a64eacf3 0f3896a437bfce555a4a	1c4eeb13610228eb86c4 dee5903a0ef8758d72bb
driejaarlijks niet-lineair	29843360bb7cc0d47af6 f4511a8d581e96370850	e02f59c76137996a5760 8993025f06a5bbfe8fb4

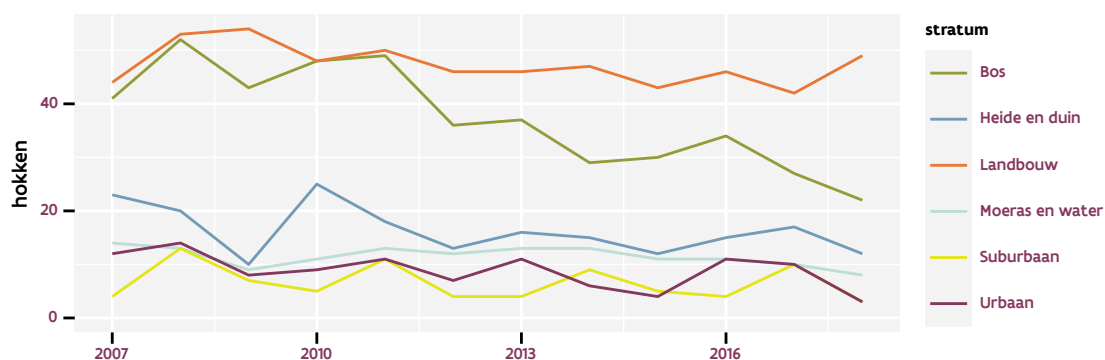
2.34 GROTE BONTE SPECHT



Figuur 2.99: Vlaamse indices voor Grote bonte specht op basis van jaarlijkse data. De trend is niet lineair.



Figuur 2.100: Vlaamse indices voor Grote bonte specht op basis van data geaggregeerd per driejaarlijkse cyclus. De trend is niet lineair.



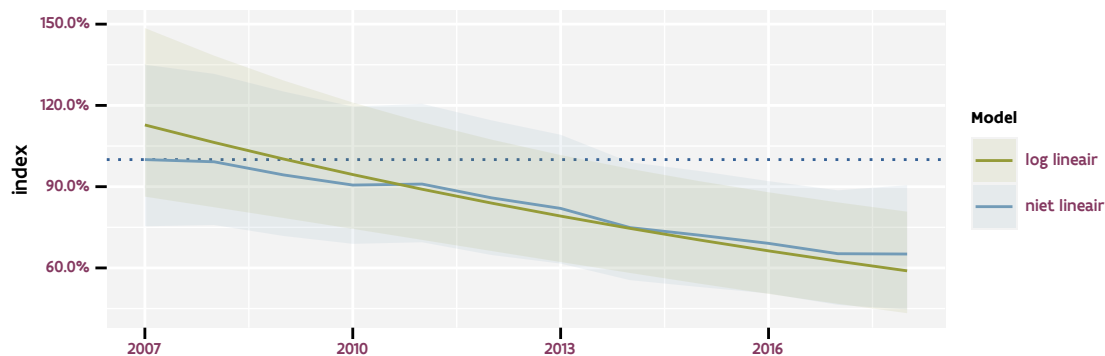
Figuur 2.101: Aantal onderzochte relevante hokken per jaar voor Grote bonte specht

Tabel 2.52: Controlesommen van de modellen voor Grote bonte specht.

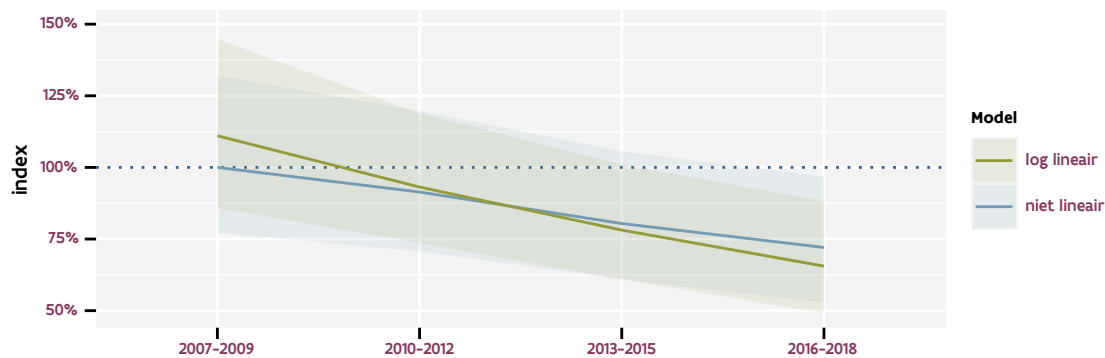
model	analyse	status
jaarlijks log-lineair	a4c7e55fd930e693db24 c3ba9447648d4698d0b2	073358ae1b911cc937c3 ca1c449c5d7eb50e9b82
jaarlijks niet-lineair	59db2404624e73e4b72b c32b199684b58400f669	a9dbe619b511dcc0e495 1559ebdade61c881412b

model	analyse	status
driejaarlijks log-lineair	5d4c6119bab15d2c0ff2 b920612b367c968a2640	dc5ae389a02756e77765 50603ae72a5c573d99ab
driejaarlijks niet-lineair	87a635b20b752ee86db6 c8535e453f6ac119ca96	8c6c8d7f26fa469164d8 4c9c7fc4a12c44ee75b9

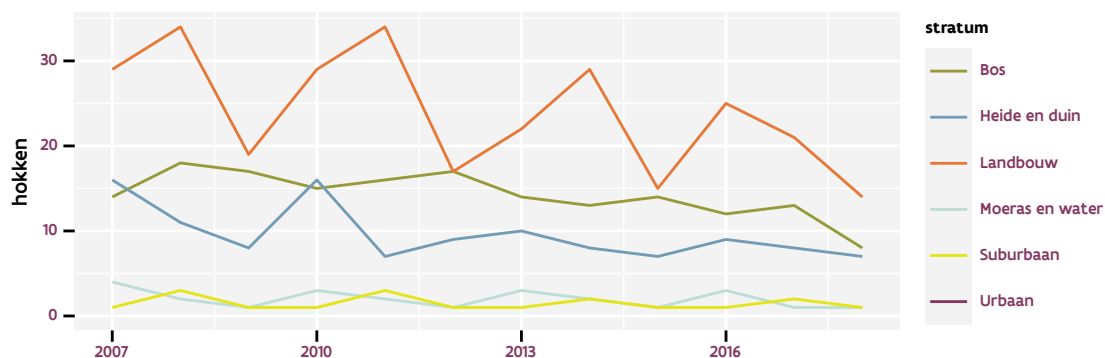
2.35 GROTE LIJSTER



Figuur 2.102: Vlaamse indices voor Grote lijst op basis van jaarlijkse data. De trend is mogelijk niet-lineair.



Figuur 2.103: Vlaamse indices voor Grote lijst op basis van data geaggregeerd per driejaarlijkse cyclus. De trend is log-lineair.



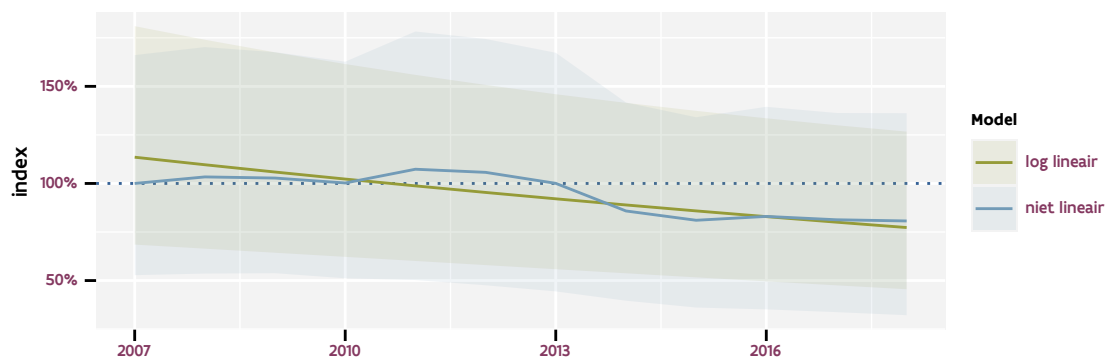
Figuur 2.104: Aantal onderzochte relevante hokken per jaar voor Grote lijst

Tabel 2.53: Controlesommen van de modellen voor Grote lijst.

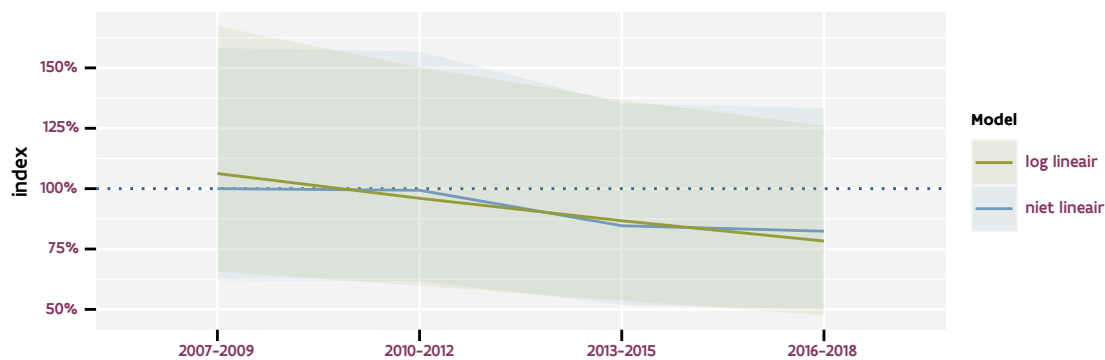
model	analyse	status
jaarlijks log-lineair	9219f8171f5373364ab0 6d5cee4df667539bfb77	fa293c8de856f5e4283a 490f5b9664f69635ffa8
jaarlijks niet-lineair	1fb7fd7877817a420db9 2c7ad26c3ca892efdc63	0c028eb6ab6b801ec015 cd0c0a04e0b81e6f4008

model	analyse	status
driejaarlijks log-lineair	d2fb9471baec5ce0c9b8	d548ad70e295edb80f06
	206ea5b0c7672eba1695	26195b2e1bcb639333c0
driejaarlijks niet-lineair	661ec1d7ca5846f5404b	697880874cdf9071fa6c
	186ff832c84f6b0c5186	721b6386f4673a234c23

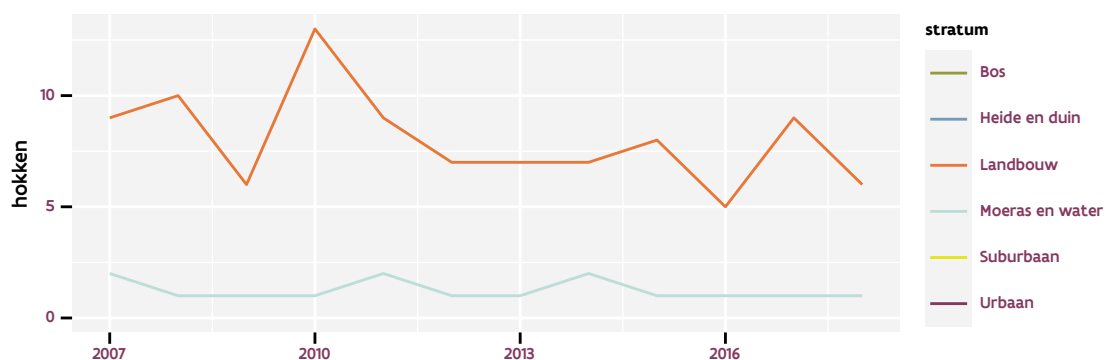
2.36 GRUTTO



Figuur 2.105: Vlaamse indices voor Grutto op basis van jaarlijkse data. De trend is log-lineair.



Figuur 2.106: Vlaamse indices voor Grutto op basis van data geaggregeerd per driejaarlijkse cyclus. De trend is log-lineair.



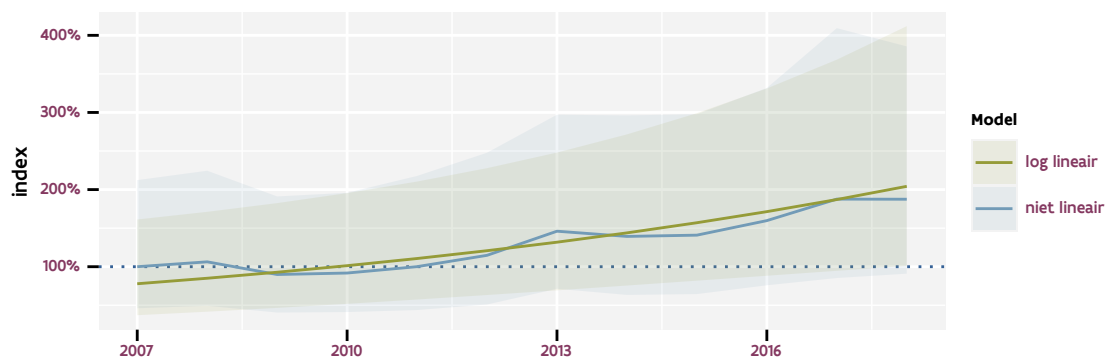
Figuur 2.107: Aantal onderzochte relevante hokken per jaar voor Grutto

Tabel 2.54: Controlesommen van de modellen voor Grutto.

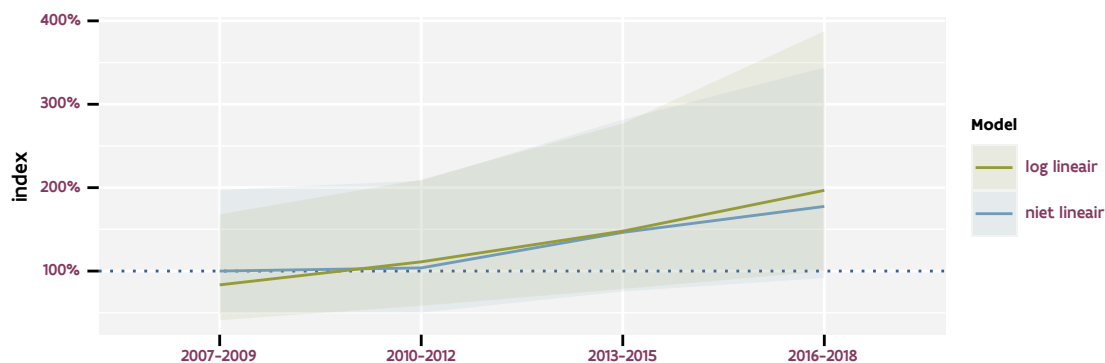
model	analyse	status
jaarlijks log-lineair	0f4dac617766fd7bbffc	635cef5e8a8cfe518952
	a2b98bfab0250d4dec59	770a8293d800a9e5f944
jaarlijks niet-lineair	18a2ba211298dc7bb58b	549bf227073c6f527912
	4eab5169d5616dd8c110	bd73b674003cdb0f7bc9

model	analyse	status
driejaarlijks log-lineair	4c862b263f21c51834e2 40b7236572e6dab8d7e2	8ecd547ed626c1fa9a80 65b8f933b352968feadd
driejaarlijks niet-lineair	1bed8da99a6ea9e14408 e1aba127d14d544818ce	bdb5f9fba7162fd24c9e 403cf177bfe3126b58c3

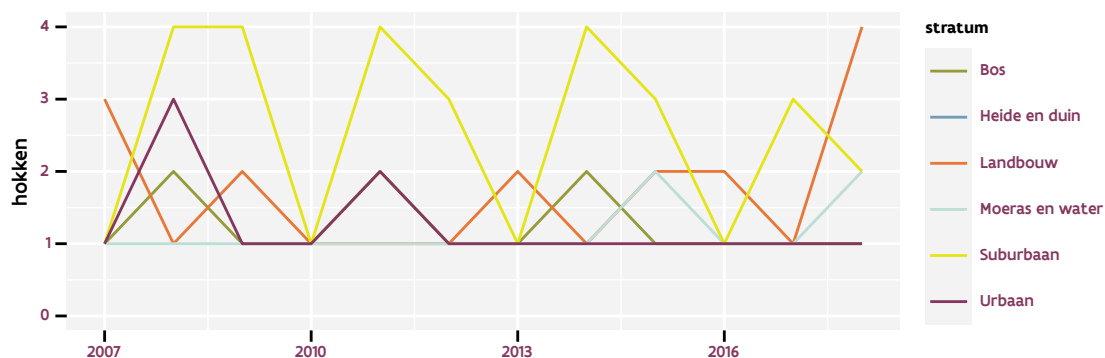
2.37 HALSBANDPARKIET



Figuur 2.108: Vlaamse indices voor Halsbandparkiet op basis van jaarlijkse data. De trend is niet lineair.



Figuur 2.109: Vlaamse indices voor Halsbandparkiet op basis van data geaggregeerd per driejaarlijkse cyclus. De trend is niet lineair.



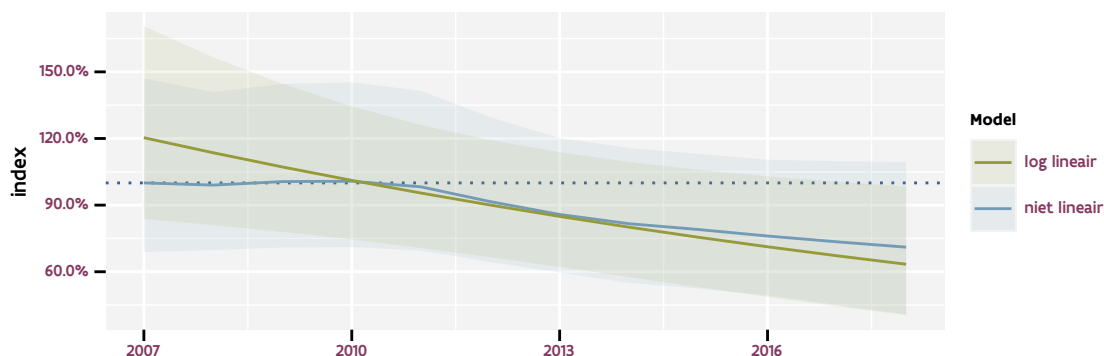
Figuur 2.110: Aantal onderzochte relevante hokken per jaar voor Halsbandparkiet

Tabel 2.55: Controlesommen van de modellen voor Halsbandparkiet.

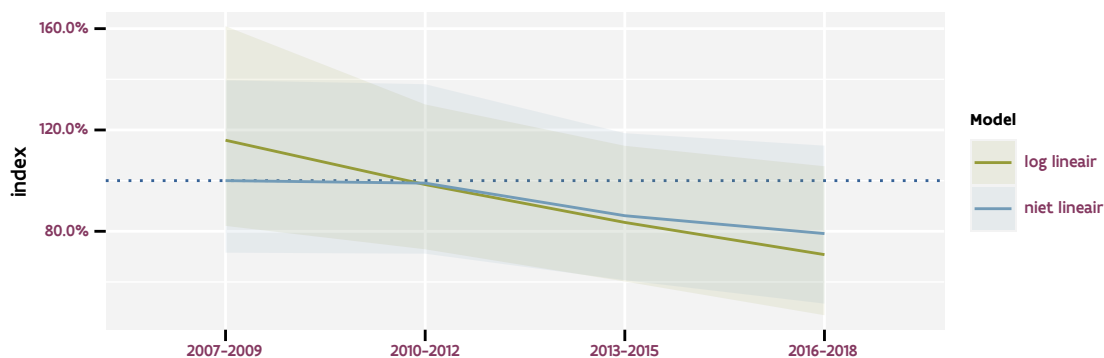
model	analyse	status
jaarlijks log-lineair	eba972fca013b3b7b4ce	bad6ae051447cb3d6c20
	489d3b6e20ecb26494ce	00fb2264bba906b1eba8
jaarlijks niet-lineair	8b7d05c81b147aee55a1	74059d851921a29fed46
	931c3b5dd83692f5d1e0	2e8244e7579eeca104a5

model	analyse	status
driejaarlijks log-lineair	c48dce75e59ad8a2564d 63180266e9cfada88929	a01c6452fd7bcfe01387 06e9ee2ecc5bc35bd032
driejaarlijks niet-lineair	422ae64acef5695e3642 ddd066eadd1b76b63562	ca184e989468c94f9809 a5d1fcd6ba28e432ff19

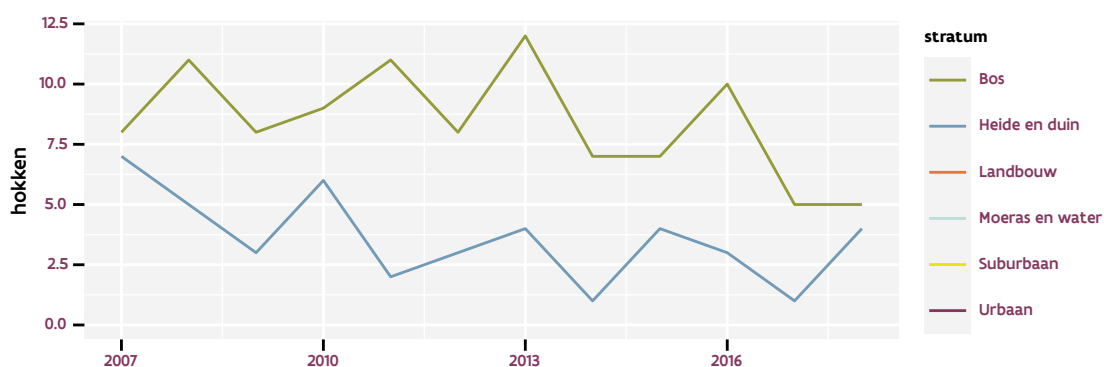
2.38 HAVIK



Figuur 2.111: Vlaamse indices voor Havik op basis van jaarlijkse data. De trend is log-lineair.



Figuur 2.112: Vlaamse indices voor Havik op basis van data geaggregeerd per driejaarlijkse cyclus. De trend is log-lineair.



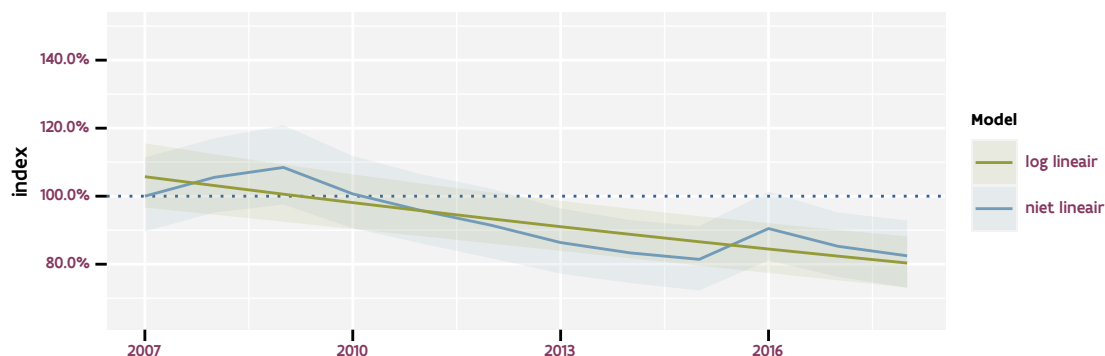
Figuur 2.113: Aantal onderzochte relevante hokken per jaar voor Havik

Tabel 2.56: Controlesommen van de modellen voor Havik.

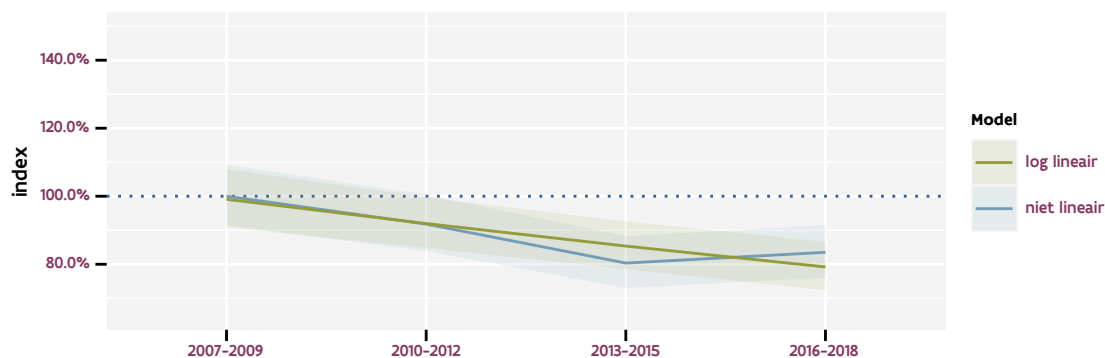
model	analyse	status
jaarlijks log-lineair	d8319f00d487075d69e2e4278256e4fbbad29a4b	bef474fab03046be236ae824f501a3317672899d
jaarlijks niet-lineair	0dcd322cd6ec3857814dc7f87486c8fd73cb85d9	aedddcfb15db3d90623040f9ca54a5f540e68911

model	analyse	status
driejaarlijks log-lineair	76ee3931492054e2f3c9 3c42beb912187f204100	1924c8a1fc69c765ee4f 60d707c5bd5f4d4c2a11
driejaarlijks niet-lineair	cc8c4284e8a23f307bbf 9bee7033003f78ebd259	31e417274499ffbc04b4 024e89edaa11df5aa415

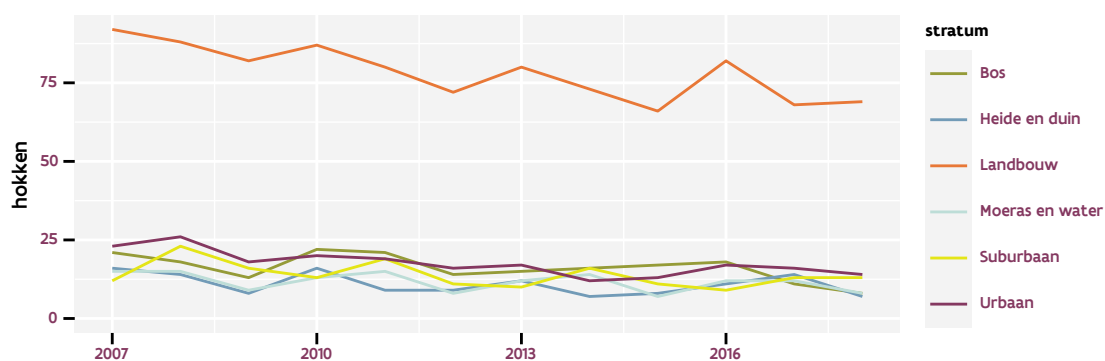
2.39 HEGGENMUS



Figuur 2.114: Vlaamse indices voor Heggenmus op basis van jaarlijkse data. De trend is niet lineair.



Figuur 2.115: Vlaamse indices voor Heggenmus op basis van data geaggregeerd per driejaarlijkse cyclus. De trend is niet lineair.



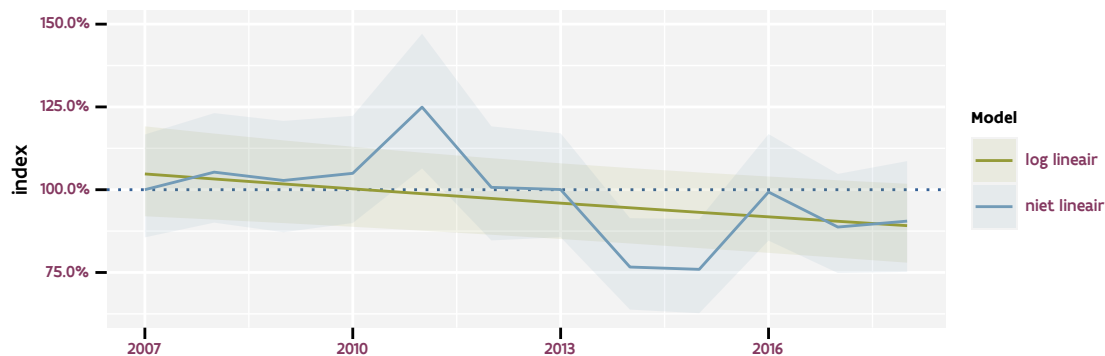
Figuur 2.116: Aantal onderzochte relevante hokken per jaar voor Heggenmus

Tabel 2.57: Controlesommen van de modellen voor Heggenmus.

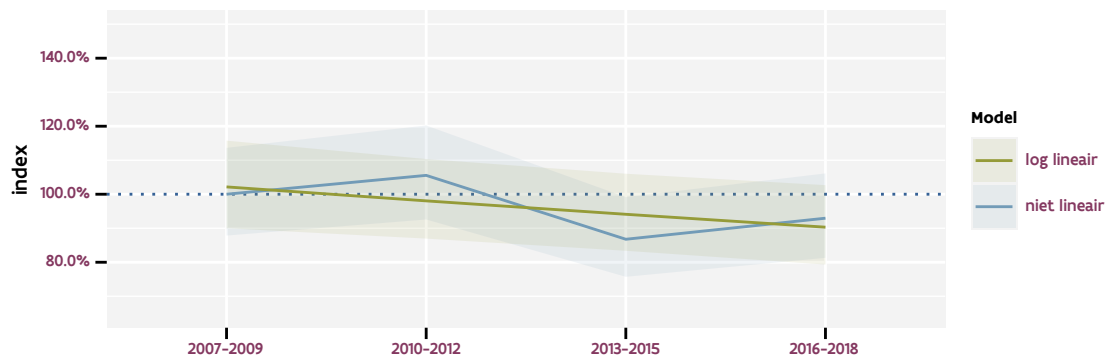
model	analyse	status
jaarlijks log-lineair	7d338a14be2eaa50059e	80084c8c79a42694e151
	7ad098a8a17883e332bf	2201a134c89916c1d89d
jaarlijks niet-lineair	6f8166e7ecbae20f6173	3eefa3a8404ee262fdaa
	a474fc7a6e3ec8bc7e5a	f1755663d252d079b5fd

model	analyse	status
driejaarlijks log-lineair	e2cd2f7191f3633222b6	1e208e9ac84ad3297486
	13443f646443c00ab517	1a9fd9d159bcd399cd45
driejaarlijks niet-lineair	16a9c05b253a9ac84b92	644bf5f1380cc97bd28f
	18a38823d5628d28b681	f5549c8507873e68c24f

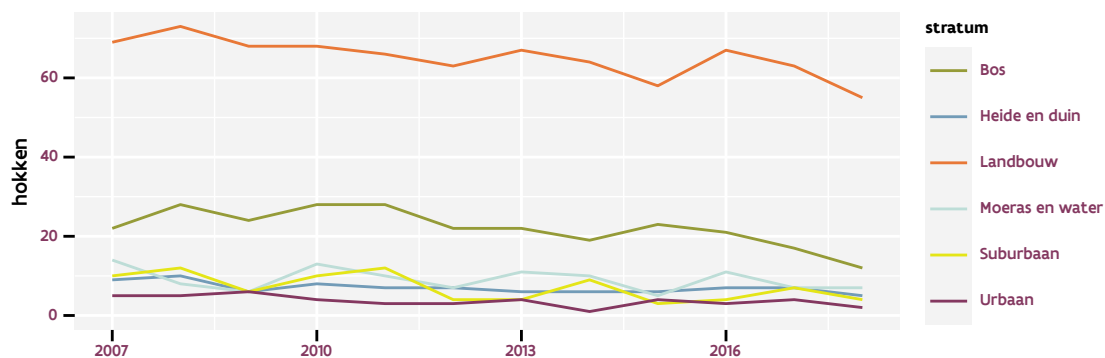
2.40 HOLENDUIF



Figuur 2.117: Vlaamse indices voor Holenduif op basis van jaarlijkse data. De trend is niet lineair.



Figuur 2.118: Vlaamse indices voor Holenduif op basis van data geaggregeerd per driejaarlijkse cyclus. De trend is niet lineair.



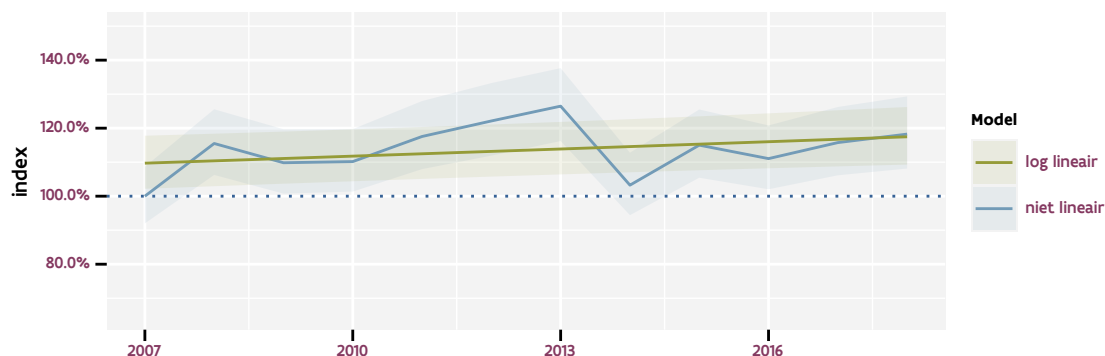
Figuur 2.119: Aantal onderzochte relevante hokken per jaar voor Holenduif

Tabel 2.58: Controlesommen van de modellen voor Holenduif.

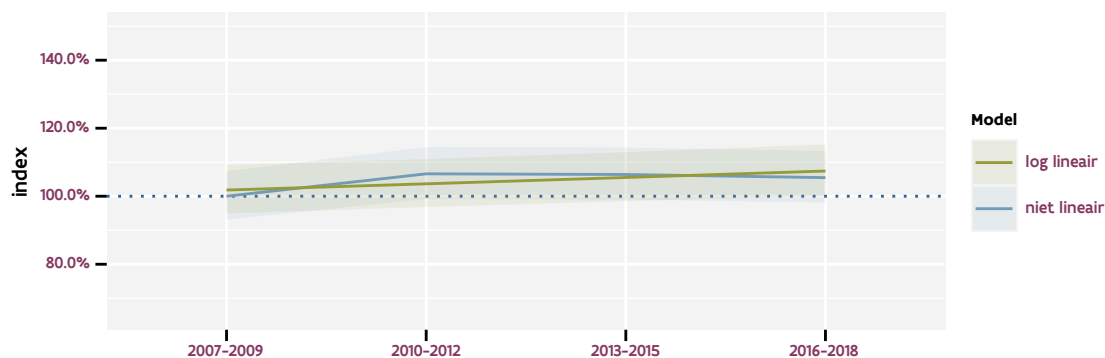
model	analyse	status
jaarlijks log-lineair	5252feed7769c26c9168	b1a2ff1abad877f30a79
	98bc84104873096ee7e3	223366e3315919be27bc
jaarlijks niet-lineair	a2c3175a5d135ba74b64	9c4058328fec2abe26dc
	a9d50f0ed8639448a93a	d7345d26b917d2552483

model	analyse	status
driejaarlijks log-lineair	cc6308776d3b2bf103fb b65c3e3e2831c9941702	c16454f3af4f689a9cf7 bab4cf73b144e2d8ca91
driejaarlijks niet-lineair	82e0d193caa01b9823b9 cef6ada941dfd92aab69	a24d073f73c0e876532c 9f78b2ad4a61b8da4828

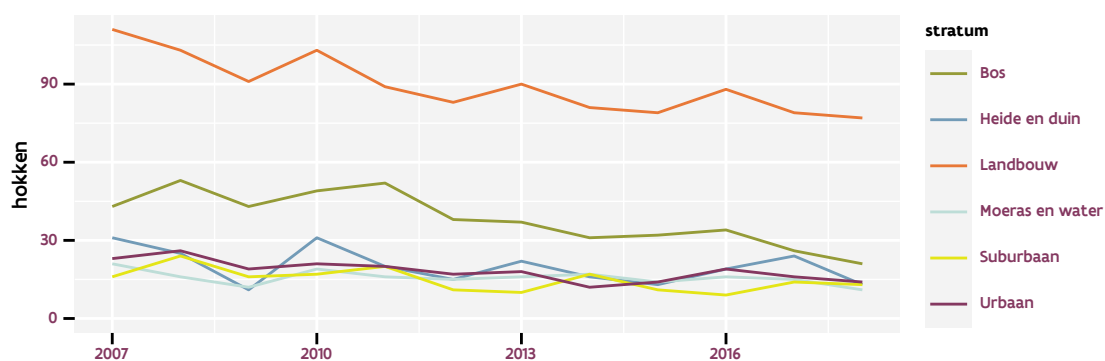
2.41 HOUTDUIF



Figuur 2.120: Vlaamse indices voor Houtduif op basis van jaarlijkse data. De trend is niet lineair.



Figuur 2.121: Vlaamse indices voor Houtduif op basis van data geaggregeerd per driejaarlijkse cyclus. De trend is niet lineair.



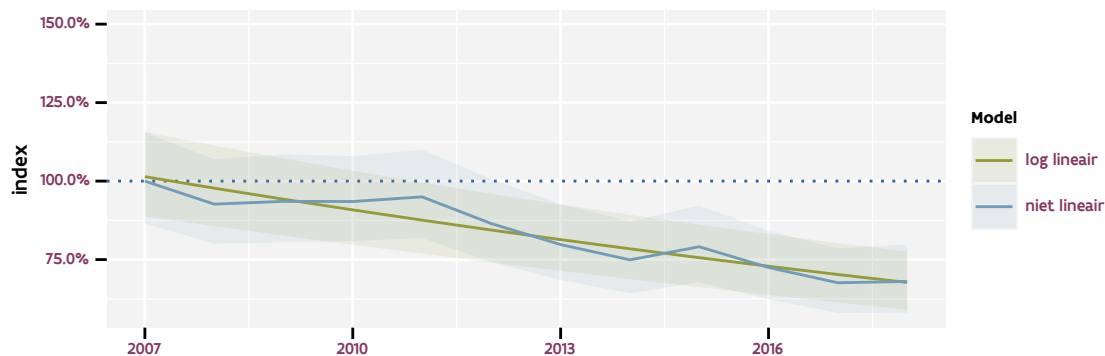
Figuur 2.122: Aantal onderzochte relevante hokken per jaar voor Houtduif

Tabel 2.59: Controlesommen van de modellen voor Houtduif.

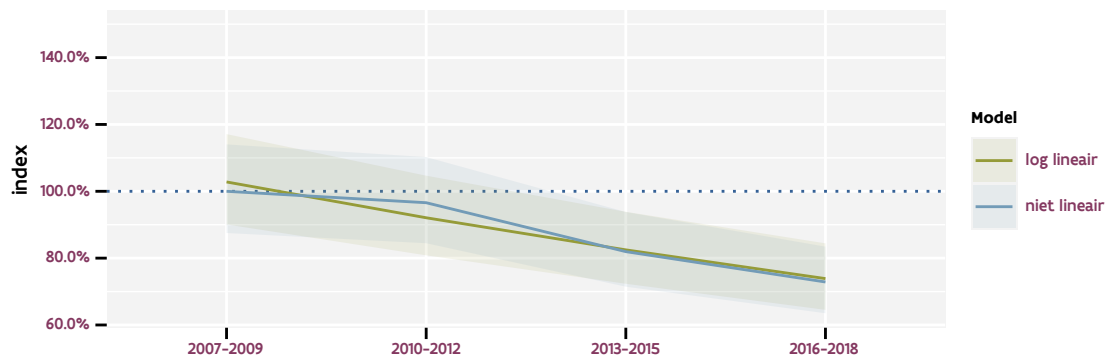
model	analyse	status
jaarlijks log-lineair	9753b686e7a01393169d	e06a48eca03a5373f7a8
	801616094c5771bec9be	c72158faff35e74516b3
jaarlijks niet-lineair	4ccdd43dfe6c3fe640e	2bd17bafa114878915e5
	69fbd0d00bd2c666d374	668e96b2d90df12ef677

model	analyse	status
driejaarlijks log-lineair	d39084b94dfced66fcdc aebccb0da4b13e66b193	56b30efbb90b47056fa0 a6dfa1ad01ac1ddd1420
driejaarlijks niet-lineair	b6db4cf7c408b171be7c a8029cd4e5525ae2b77a	f2a7a057944d7eb942bc b24af94fd76b7e5f0762

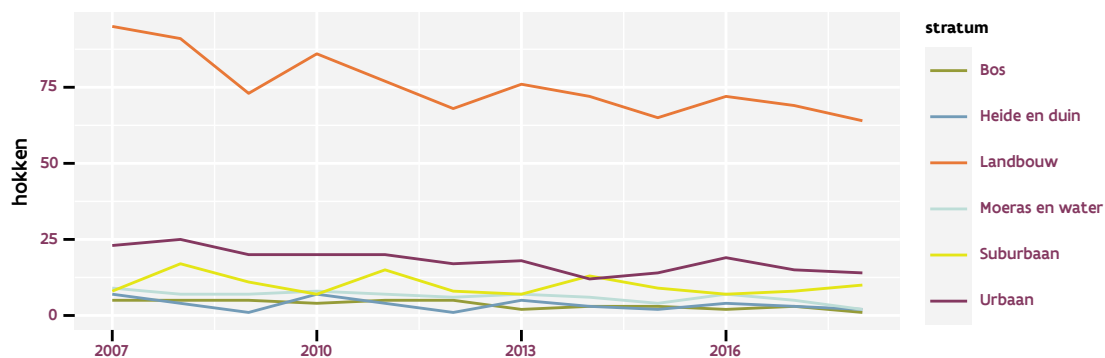
2.42 HUISMUS



Figuur 2.123: Vlaamse indices voor Huisemus op basis van jaarlijkse data. De trend is niet lineair.



Figuur 2.124: Vlaamse indices voor Huisemus op basis van data geaggregeerd per driejaarlijkse cyclus. De trend is niet lineair.



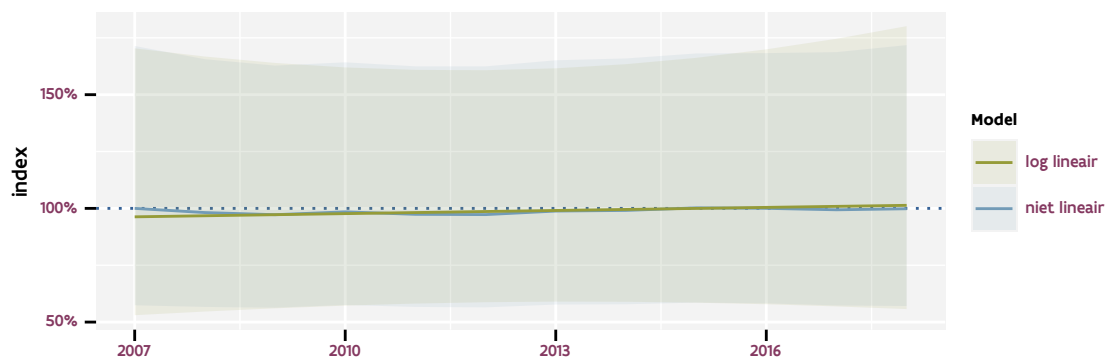
Figuur 2.125: Aantal onderzochte relevante hokken per jaar voor Huisemus

Tabel 2.60: Controlesommen van de modellen voor Huisemus.

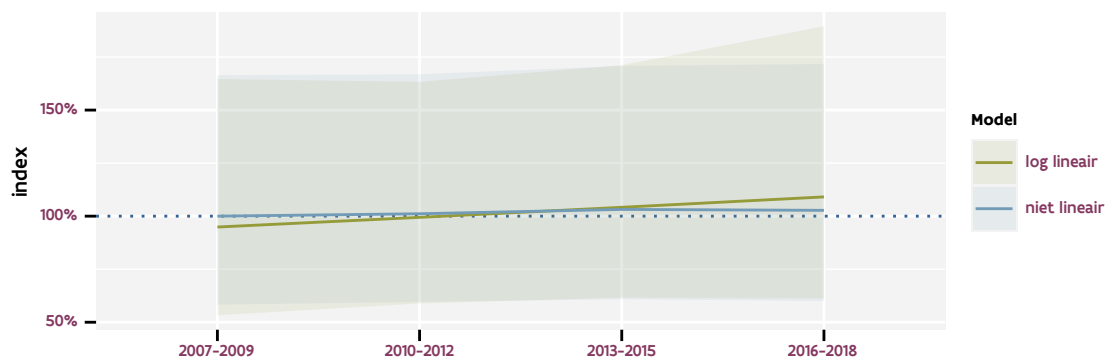
model	analyse	status
jaarlijks log-lineair	07641f266346aabd63be	4674d092ce5ece8872d8
	987566c4c665a242997d	11bb00491c63aa881c94
jaarlijks niet-lineair	53b31d4f6fc7a2f3dbcc	9eac280cd54817f332b
	0701bee8d1bfb8d2e0ab	2e956d383619ffb56e86

model	analyse	status
driejaarlijks log-lineair	30838265daac51cfa7f0 df9d77ff6a8a8b8036e8	3bec998cf7ba35288ab4 32ea86d73e40cef3f123
driejaarlijks niet-lineair	dd4caf599d48c6671ad9 db392375f9059eb1a5e7	ae9cc1890501214f0a0b fd014411f53209e1a78f

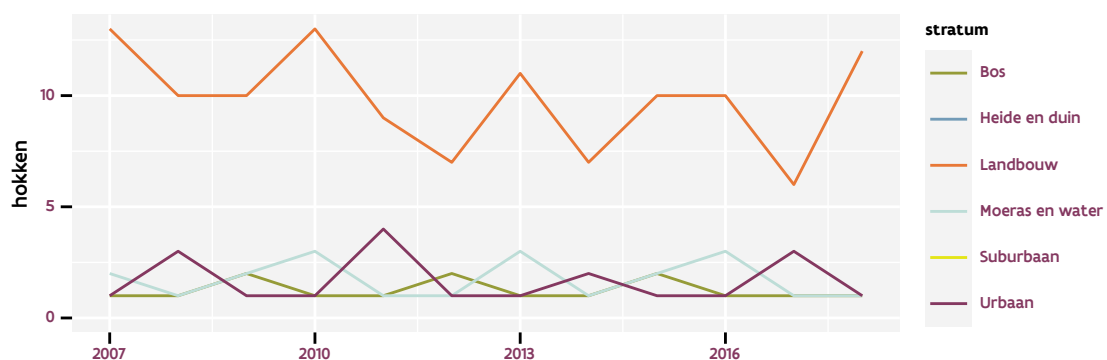
2.43 HUISZWALUW



Figuur 2.126: Vlaamse indices voor Huiszwaluw op basis van jaarlijkse data. De trend is mogelijk niet-lineair.



Figuur 2.127: Vlaamse indices voor Huiszwaluw op basis van data geaggregeerd per driejaarlijkse cyclus. De trend is mogelijk niet-lineair.



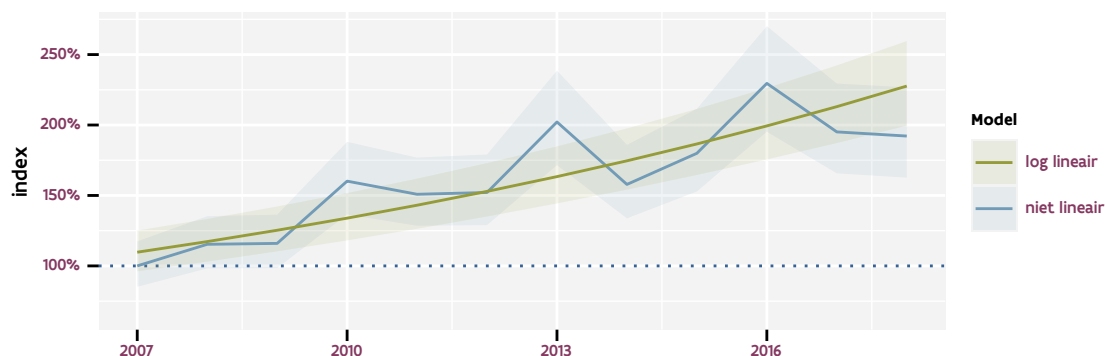
Figuur 2.128: Aantal onderzochte relevante hokken per jaar voor Huiszwaluw

Tabel 2.61: Controlesommen van de modellen voor Huiszwaluw.

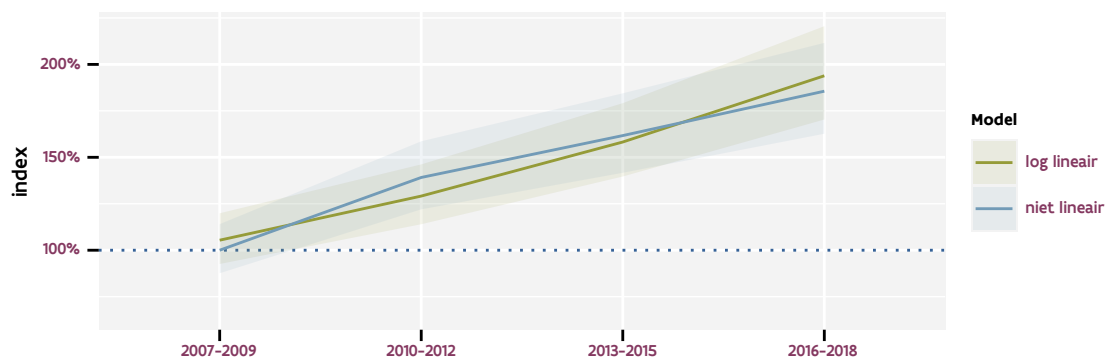
model	analyse	status
jaarlijks log-lineair	f284ad6eb35db8bb8671	0e6200ace406d0688b74
	e2756912e7080c488a85	d2acef02405db630b67b
jaarlijks niet-lineair	4e61e72d796ea7569885	2a98d7f89a45dc306415
	44e788454d0a865dcc07	a2a653b46f04e60c2d21

model	analyse	status
driejaarlijks log-lineair	0a0502c345aae26be656 b71db1a330515201c4a4	9063dee8abbf0a298109 8a4f0bee0d30dfbd05ff
driejaarlijks niet-lineair	141804dfb7e433ffb0e8 a34a923c67033d75b27a	71c9e18ac42dc8c563b4 b6b11c5257299b19df10

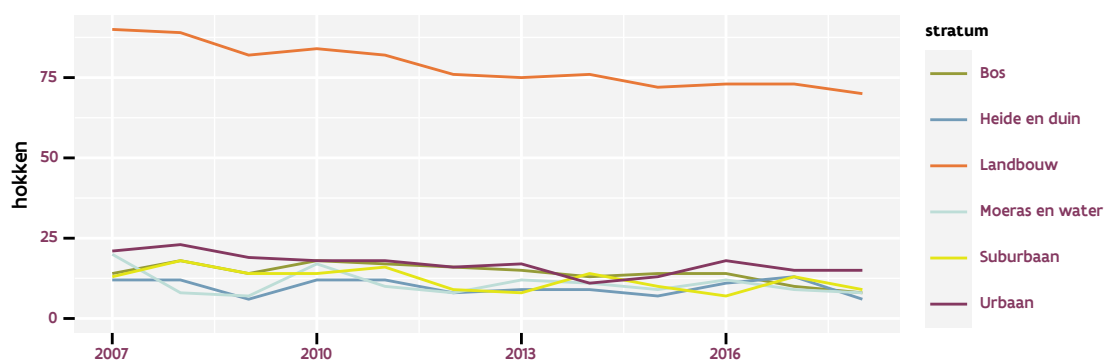
2.44 KAUW



Figuur 2.129: Vlaamse indices voor Kauw op basis van jaarlijkse data. De trend is niet lineair.



Figuur 2.130: Vlaamse indices voor Kauw op basis van data geaggregeerd per driejaarlijkse cyclus. De trend is niet lineair.



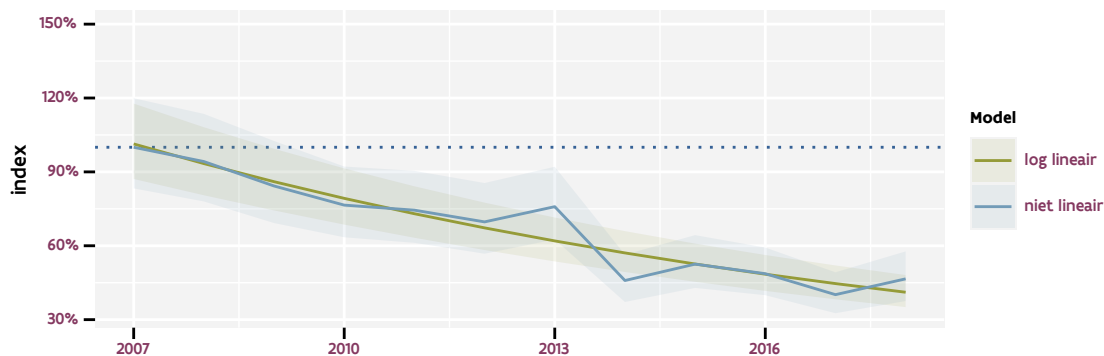
Figuur 2.131: Aantal onderzochte relevante hokken per jaar voor Kauw

Tabel 2.62: Controlesommen van de modellen voor Kauw.

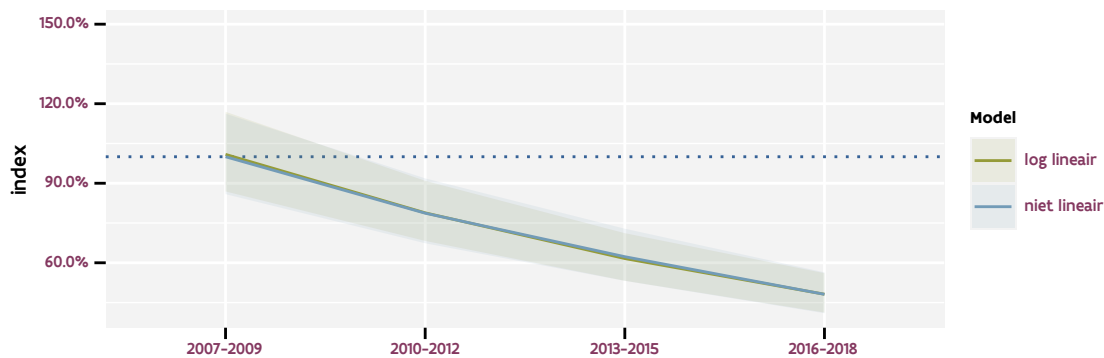
model	analyse	status
jaarlijks log-lineair	f19c40e80607367b67b6 2dddd8650dc71dd89321	0e8012a8ce400d9ab3fd 420a211246c1abe530de
jaarlijks niet-lineair	7e048d41a5f9d224632d c985a6eef1676105db77	de9d961d18ff99590e18 b8b7ef652ad42e02b03f

model	analyse	status
driejaarlijks log-lineair	2311bc95b674b948d116 70984e424f69fb5f07c4	c5919af8f67db86a0bfa 31372407cf5d3ce8e60e
driejaarlijks niet-lineair	e4468ca232e3d0147b55 30726816be98f10ff58e	437ff7b58c46a04b7e9b 21358827593fb827c931

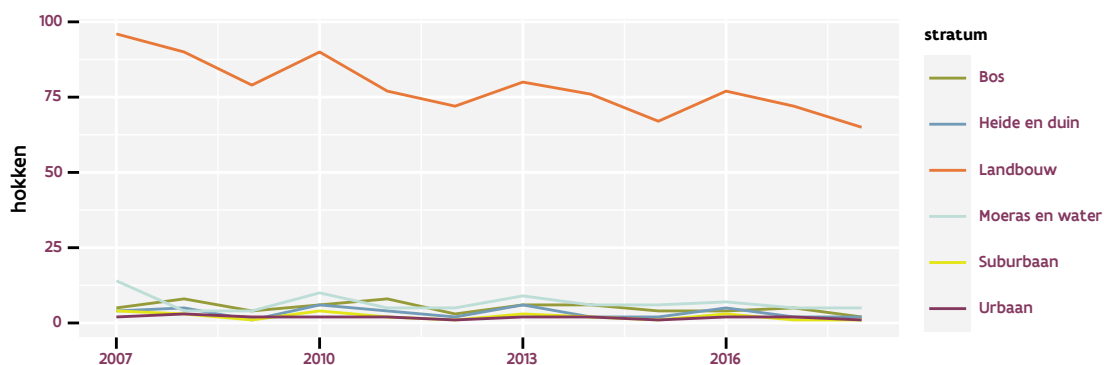
2.45 KIEVIT.



Figuur 2.132: Vlaamse indices voor Kievit op basis van jaarlijkse data. De trend is niet lineair.



Figuur 2.133: Vlaamse indices voor Kievit op basis van data geaggregeerd per driejaarlijkse cyclus. De trend is log-lineair.



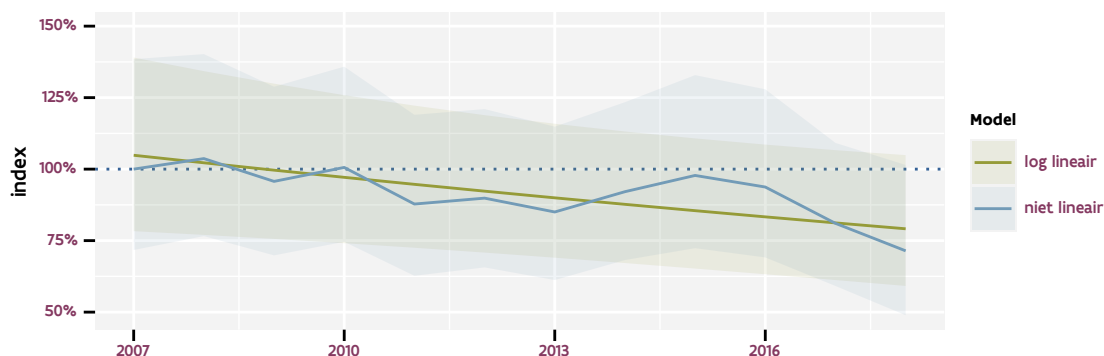
Figuur 2.134: Aantal onderzochte relevante hokken per jaar voor Kievit

Tabel 2.63: Controlesommen van de modellen voor Kievit.

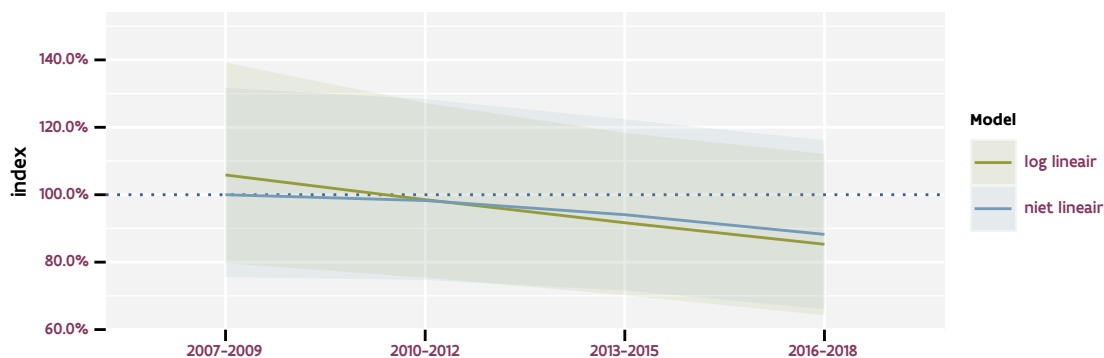
model	analyse	status
jaarlijks log-lineair	133aba043c8fc64454bc	fe9f789f45f4e62ac6f8
	71340d866a535522f3dc	58763f66a0bdf917c571
jaarlijks niet-lineair	9dd8983f6a46b77b3b84	ad18f33ec21f30b32313
	1c9c424d21d2141a412a	aa25428fe85a26cb1d30

model	analyse	status
driejaarlijks log-lineair	72a3e3f14bd24ebcaacf 16c78ac3c5d7add3abd4	a84a5720d8cde87bd0d4 a82497ff4caeff06202d
driejaarlijks niet-lineair	df3dc4d2007e0f4d4a22 340485e8bee019c26164	b8c00316f9c53cd9fcf7 6d95dfb6f6c1cf95ad33

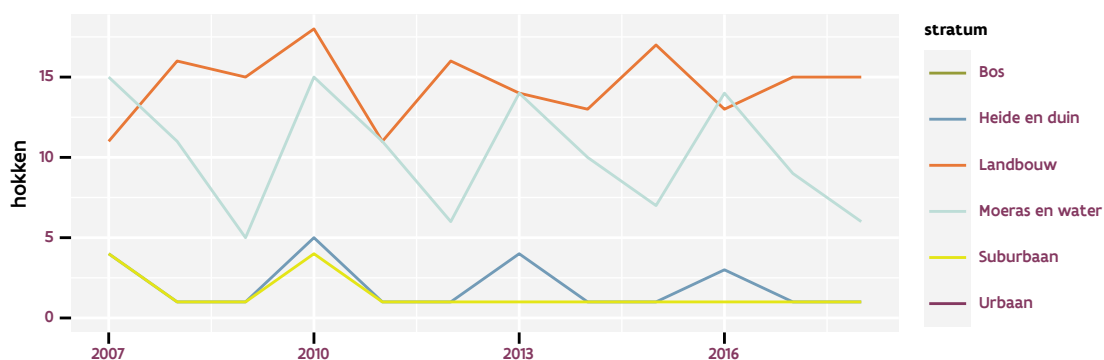
2.46 KLEINE KAREKIET



Figuur 2.135: Vlaamse indices voor Kleine karekiet op basis van jaarlijkse data. De trend is niet lineair.



Figuur 2.136: Vlaamse indices voor Kleine karekiet op basis van data geaggregeerd per driejaarlijkse cyclus. De trend is log-lineair.



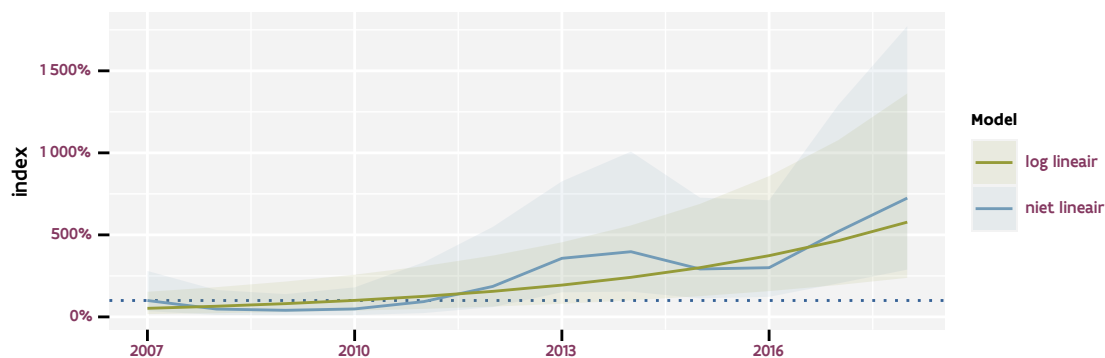
Figuur 2.137: Aantal onderzochte relevante hokken per jaar voor Kleine karekiet

Tabel 2.64: Controlesommen van de modellen voor Kleine karekiet.

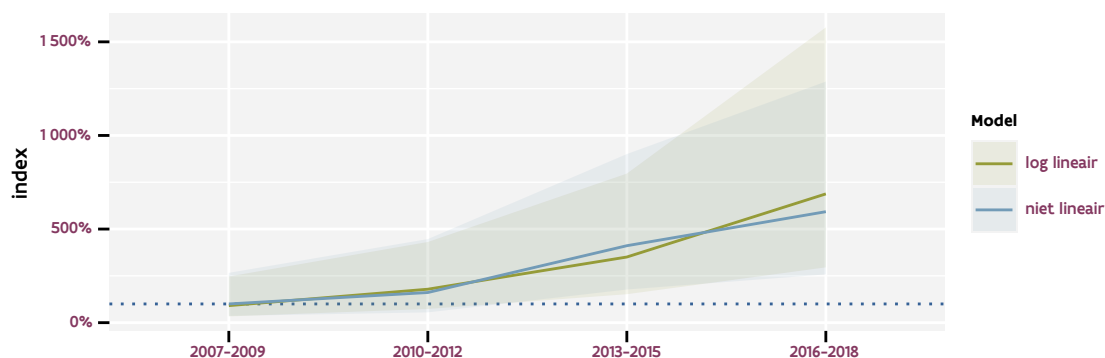
model	analyse	status
jaarlijks log-lineair	1d6206673bab345c9eb9	d10edb9137787da04843
	40cf4e94905e6036ec09	b9b46f46f27c04a8ca2f
jaarlijks niet-lineair	563f79aaed84c94075c7	315dcebe37dfc66b5272
	262e84c2257d7f087cb1	939e11e8095de4371f7b

model	analyse	status
driejaarlijks log-lineair	7a81ebb362f870965172 2df69803559ec2a0e1cc	5cf274e7e5522e1b919c 33ebc52609443f4829c5
driejaarlijks niet-lineair	e7f616754b6d869beef9 32be440b674aa0f985bf	45e6110f97293c07db32 f8d8c812114fe505e2fd

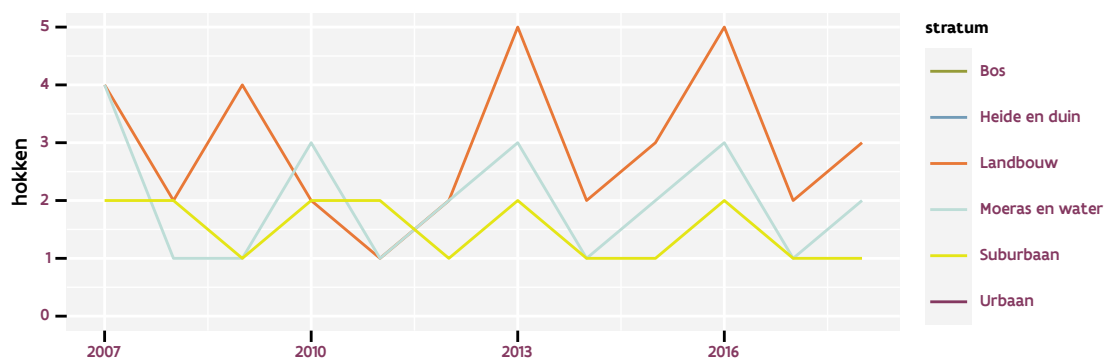
2.47 KLEINE MANTELMEEUW



Figuur 2.138: Vlaamse indices voor Kleine mantelmeeuw op basis van jaarlijkse data. De trend is niet lineair.



Figuur 2.139: Vlaamse indices voor Kleine mantelmeeuw op basis van data geaggregeerd per driejaarlijkse cyclus. De trend is niet lineair.



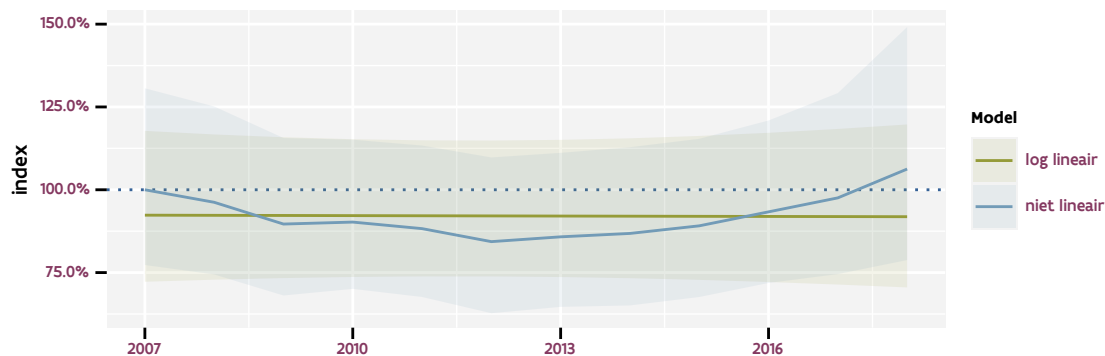
Figuur 2.140: Aantal onderzochte relevante hokken per jaar voor Kleine mantelmeeuw

Tabel 2.65: Controlesommen van de modellen voor Kleine mantelmeeuw.

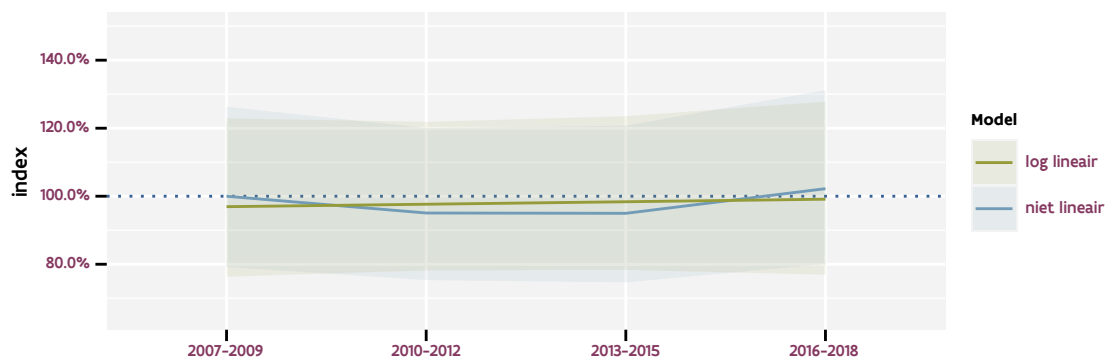
model	analyse	status
jaarlijks log-lineair	516b516c9c293ecd5c30 cebfc251e9e5752d418e	def3e6edb39a8872041b 8f78af0e1ca913972e96

model	analyse	status
jaarlijks niet-lineair	20b3df89aa9257a83bf5 d49951640520d4dcc342	3c8d7777afb0314a83b6 c6996ff0bbda92564943
driejaarlijks log-lineair	91b294f0690abcf8369e 60dcc41add5200ddb821	643c410c06af56331f6d d3a11f75bdfcbd00f2c6
driejaarlijks niet-lineair	da2a7b8b240d8d3a7de5 56a07ba6e5f9fb121aa3	ca43f127001d5d35fb91 aeccb74e4c060687b203

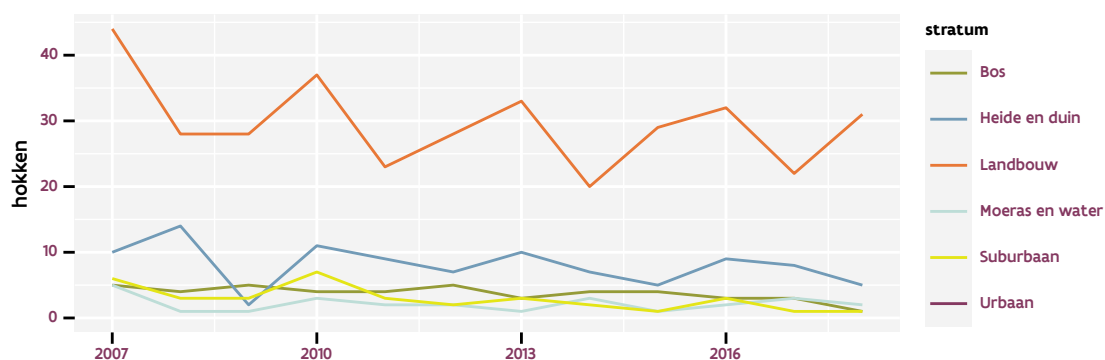
2.48 KNEU



Figuur 2.141: Vlaamse indices voor Kneu op basis van jaarlijkse data. De trend is niet lineair.



Figuur 2.142: Vlaamse indices voor Kneu op basis van data geaggregeerd per driejaarlijkse cyclus. De trend is mogelijk niet-lineair.



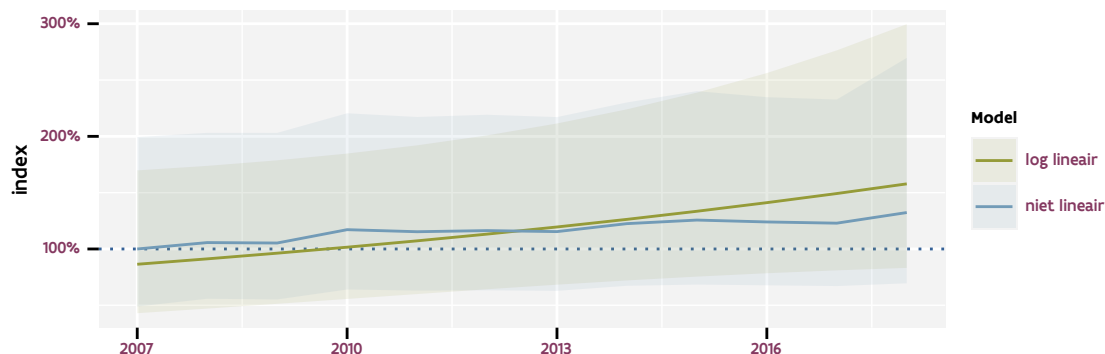
Figuur 2.143: Aantal onderzochte relevante hokken per jaar voor Kneu

Tabel 2.66: Controlesommen van de modellen voor Kneu.

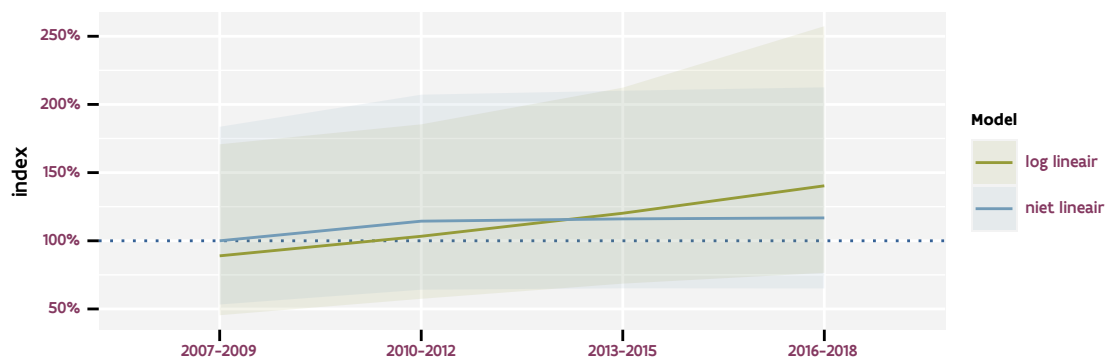
model	analyse	status
jaarlijks log-lineair	8ae8da71dbffc7346f41	1740433ca1ea3eaaf191
	d112db8e3e46a87930e9	f885f9a6df5dd76e0b58
jaarlijks niet-lineair	b712539c662489e025ab	2c88c4e28015c7bc5339
	ba61909db060a6573dce	3aeff713eb017f9024ee

model	analyse	status
driejaarlijks log-lineair	a5b9896091db588e12c1 3e359b040b9e019551e6	fb4d880cda441cb64918 a415db544c7660b76eed
driejaarlijks niet-lineair	2193b33c03d45b7588fa b45d8143e4bdf33f4cb3	0470fc1912ad81357107 b5ee6c324e552121dfb7

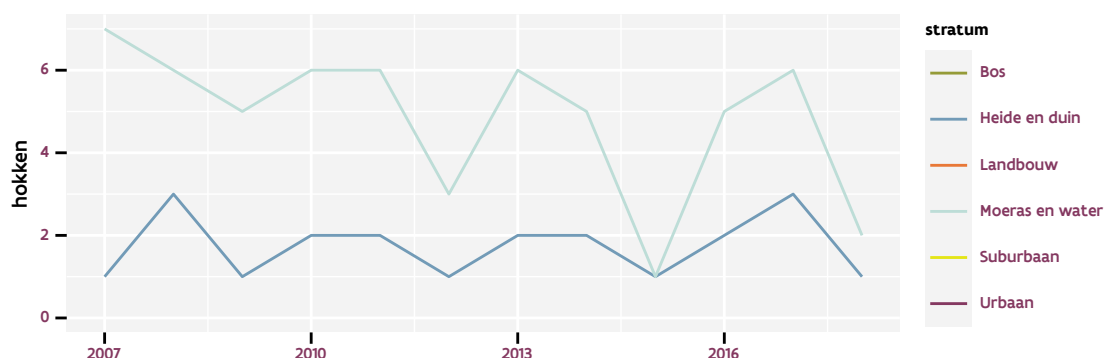
2.49 KNOBBELZWAAN



Figuur 2.144: Vlaamse indices voor Knobbelzwaan op basis van jaarlijkse data. De trend is log-lineair.



Figuur 2.145: Vlaamse indices voor Knobbelzwaan op basis van data geaggregeerd per driejaarlijkse cyclus. De trend is log-lineair.



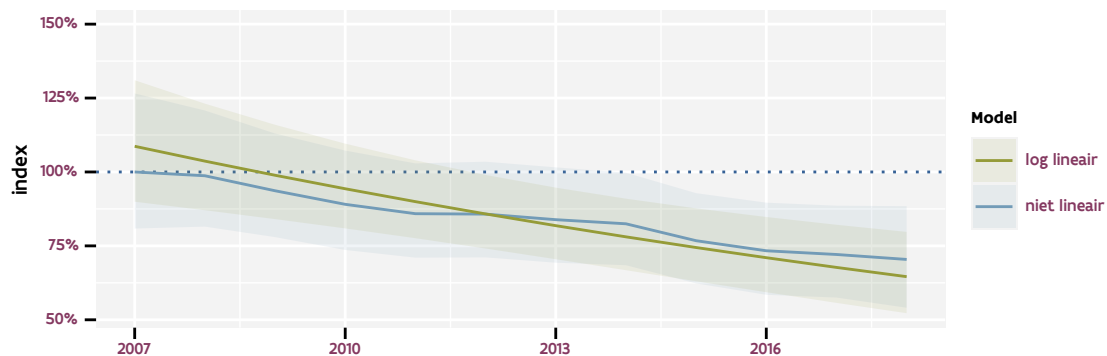
Figuur 2.146: Aantal onderzochte relevante hokken per jaar voor Knobbelzwaan

Tabel 2.67: Controlesommen van de modellen voor Knobbelzwaan.

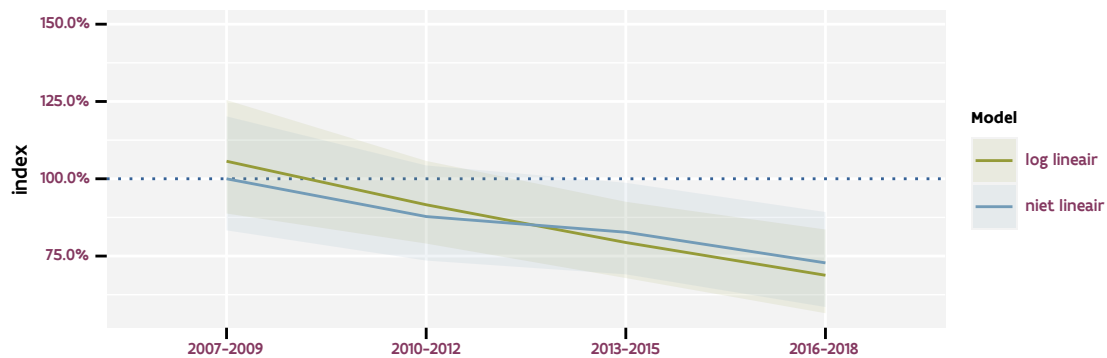
model	analyse	status
jaarlijks log-lineair	6b78a568ef0718de20c8	590aab13ca785af61e97
	8bde471f73cf9eaf5ac2	81fbde6f687906e9d9bd
jaarlijks niet-lineair	93a2da384c7c984cf369	6412fded26a5aaa4b5a7
	d932a89b8ab90bf95ca2	0021e8a9dfd31a332085

model	analyse	status
driejaarlijks log-lineair	3c1eddc4bbedc447b4f4 f75dec577d2305d49385	2f3bfa27de91c64f8d48 5f41e98e1ffce5dfda4d
driejaarlijks niet-lineair	3ee41c3085c1b657b049 7df433c40700f9f01db9	cc72ddc400ca21d05908 4cc20003cdfab12c905

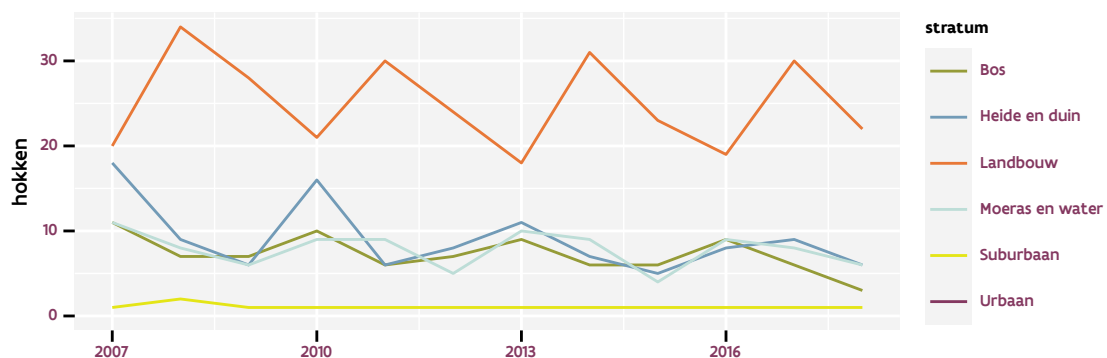
2.50 KOEKOEK



Figuur 2.147: Vlaamse indices voor Koekoek op basis van jaarlijkse data. De trend is mogelijk niet-lineair.



Figuur 2.148: Vlaamse indices voor Koekoek op basis van data geaggregeerd per driejaarlijkse cyclus. De trend is mogelijk niet-lineair.



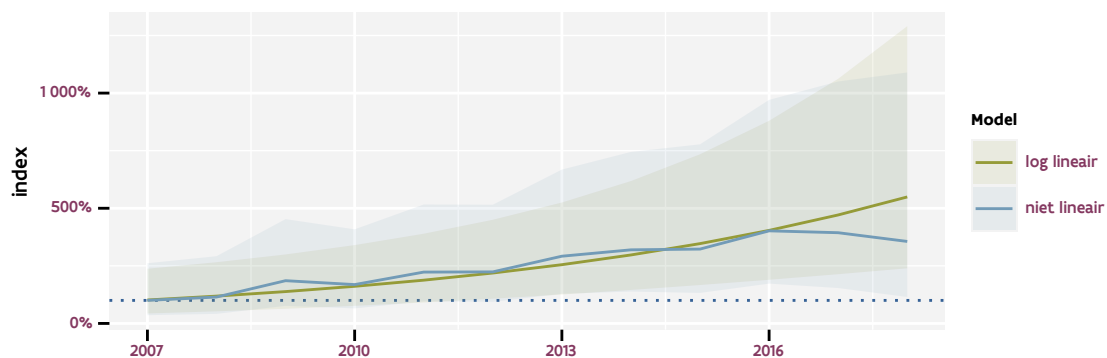
Figuur 2.149: Aantal onderzochte relevante hokken per jaar voor Koekoek

Tabel 2.68: Controlesommen van de modellen voor Koekoek.

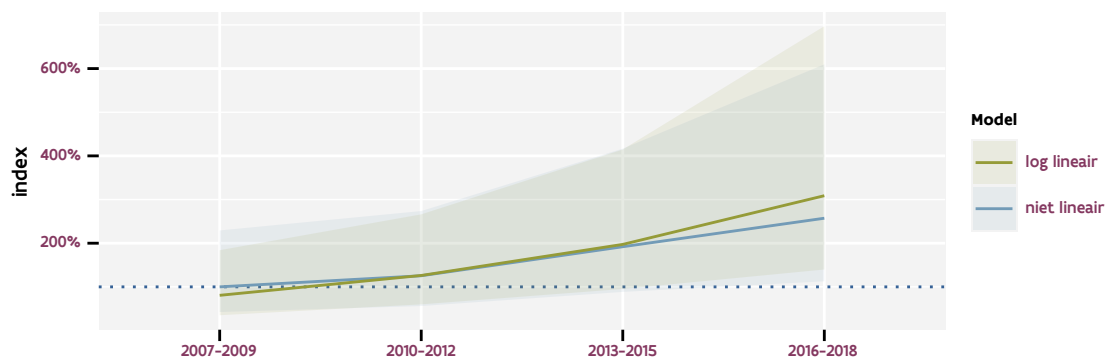
model	analyse	status
jaarlijks log-lineair	6d6ef0c8b18720439f7b	d7c6eef95d906ad952f5
	d4196d91c73db2f98654	bb33a7a6626efa708fc0
jaarlijks niet-lineair	6ca4f2d1b1f2b919f224	d4bbfdd5eead5411a326
	408655fda571f047c919	48041392c5adb23cf71b

model	analyse	status
driejaarlijks log-lineair	37a645cbe567635b03ce 0b6bf5e05893a78812a6	43c423582b2c8288177f aaf360d73410aaf342df
driejaarlijks niet-lineair	503bcd316b34802386b4 66b6b7cb89becc87d68d	f2aa99ba4d75538be699 5c0d7e8313df3e1b0eb0

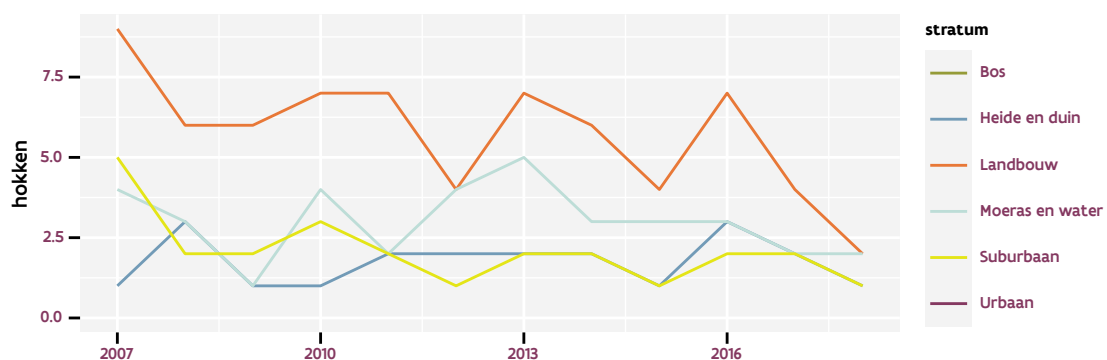
2.51 KOKMEEUW



Figuur 2.150: Vlaamse indices voor Kokmeeuw op basis van jaarlijkse data. De trend is niet lineair.



Figuur 2.151: Vlaamse indices voor Kokmeeuw op basis van data geaggregeerd per driejaarlijkse cyclus. De trend is log-lineair.



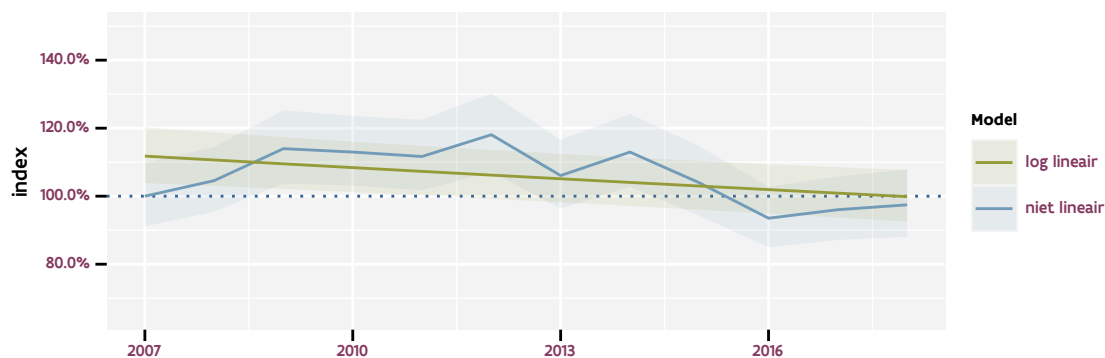
Figuur 2.152: Aantal onderzochte relevante hokken per jaar voor Kokmeeuw

Tabel 2.69: Controlesommen van de modellen voor Kokmeeuw.

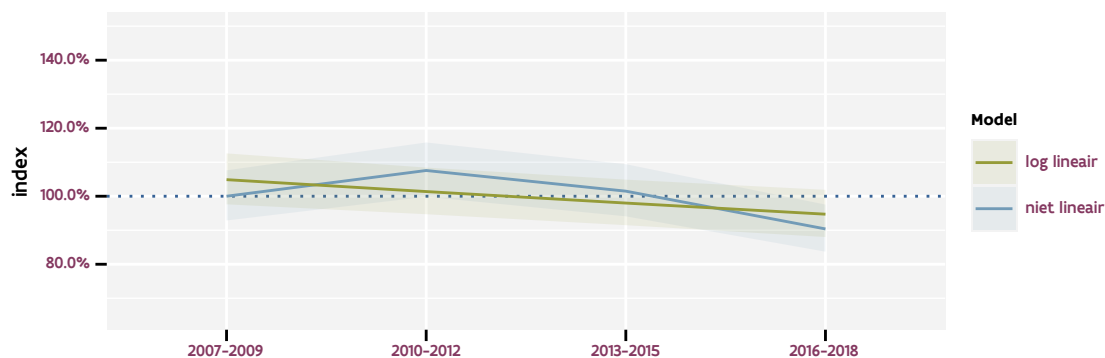
model	analyse	status
jaarlijks log-lineair	728577cc7fafbbd37534 ceb363dd2587ef41be8b	ab43cb74d5d2e805fb31 df0cf26caffa619d6ba9
jaarlijks niet-lineair	dd97936c1542411d86bc 5ef89466f626f5f5e895	a167b5aafe6936a3cb70 f859fde5c21b00fadbc

model	analyse	status
driejaarlijks log-lineair	a0388b11e655418d991b f51c996e0c0d7b7faa9c	2e47050272e7a8aea22c 28a715b5488eecd87f74
driejaarlijks niet-lineair	2a7bb309794519ff612a 181402aa47dcbd99ec9e	cf4325bc83c6eee9ff12 2148e7e04cf9a30925be

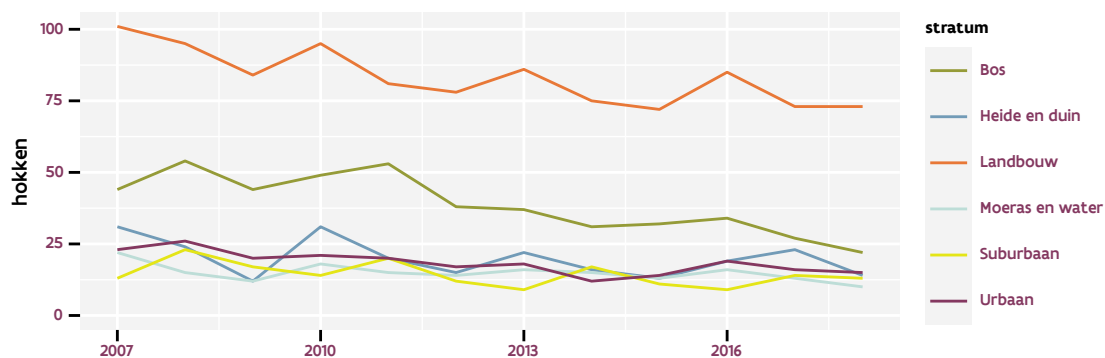
2.52 KOOLMEES



Figuur 2.153: Vlaamse indices voor Koolmees op basis van jaarlijkse data. De trend is niet lineair.



Figuur 2.154: Vlaamse indices voor Koolmees op basis van data geaggregeerd per driejaarlijkse cyclus. De trend is niet lineair.



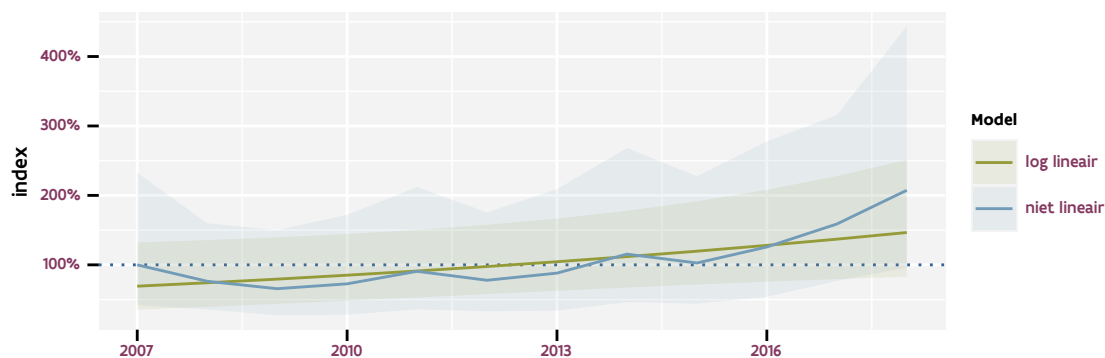
Figuur 2.155: Aantal onderzochte relevante hokken per jaar voor Koolmees

Tabel 2.70: Controlesommen van de modellen voor Koolmees.

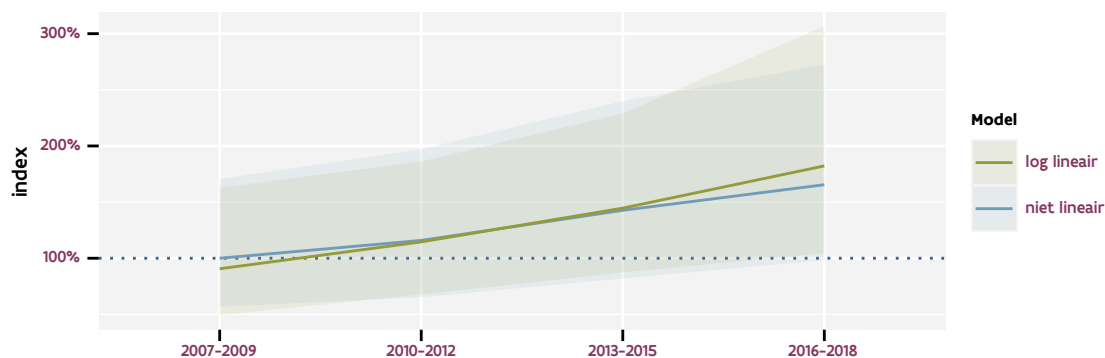
model	analyse	status
jaarlijks log-lineair	4afb312760f181b9ed7a	5824276d9f3609b1ab65
	673ca48cbff769c97f50	bfbbc5f484e3da796913
jaarlijks niet-lineair	45a20db2b91391654c41	7d14fd36eac6a6a6037a
	f5e97ca027c65befa55d	711c2e0068a2a71d56f6

model	analyse	status
driejaarlijks log-lineair	94020373e5a67e2476fa 4413fdae67b696f2753c	38972a5e50a0d91c9a07 e8ba9405380751bb4b9c
driejaarlijks niet-lineair	74db490289182866e0cd 8b54c7780e7263644fe1	a6320b4552d1175d7fcf 48dad1f63a114a7f4f9e

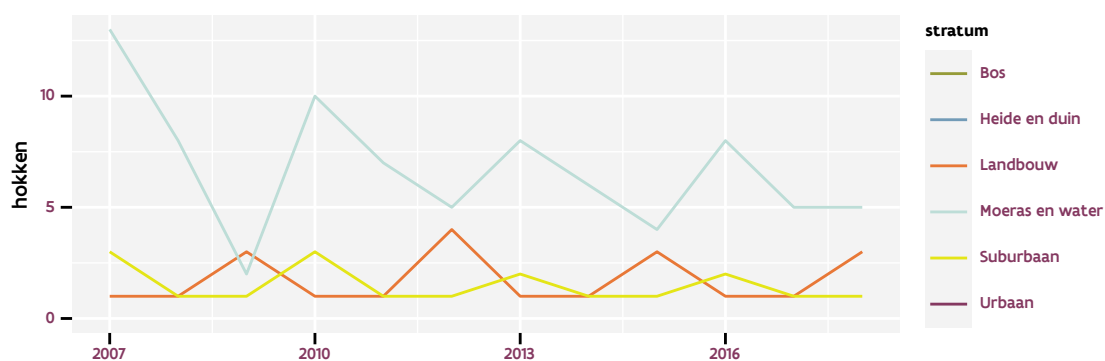
2.53 KRAKEEND



Figuur 2.156: Vlaamse indices voor Krakeend op basis van jaarlijkse data. De trend is niet lineair.



Figuur 2.157: Vlaamse indices voor Krakeend op basis van data geaggregeerd per driejaarlijkse cyclus. De trend is niet lineair.



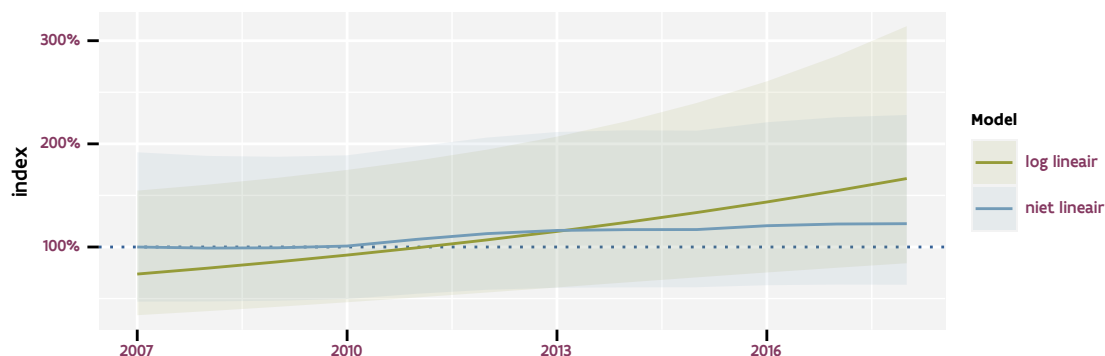
Figuur 2.158: Aantal onderzochte relevante hokken per jaar voor Krakeend

Tabel 2.71: Controlesommen van de modellen voor Krakeend.

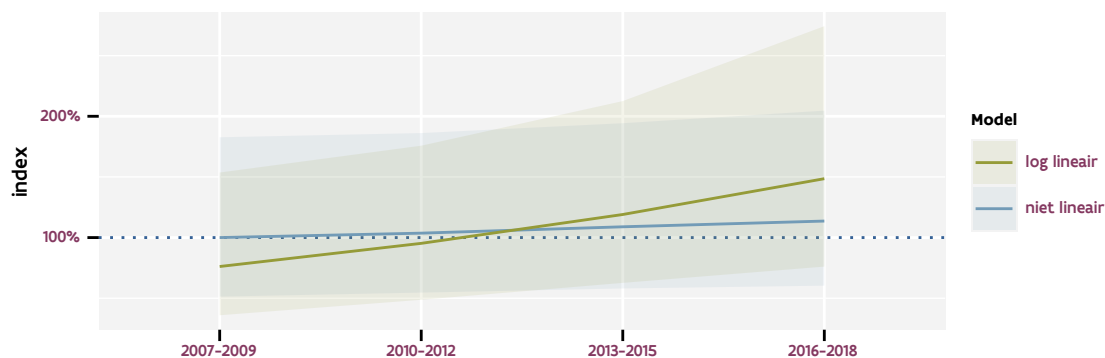
model	analyse	status
jaarlijks log-lineair	40234d732c1f9b74d374 ab89a36e0fdc1af6bdd9	e8a0eb861134ead961a0 f37dbaf189a7bd3de183
jaarlijks niet-lineair	91adb0fe5cb9cd9d9602 d313d4126d8cd4b4de98	9c1d6ba2264d232b9391 c2f6e11cdf03d729aafa

model	analyse	status
driejaarlijks log-lineair	1ea88ba703c3a0cc3f20	e6cf47ae731edae86115
	96676dceb18903eb32eb	a0e65f90c11ba2ba1f31
driejaarlijks niet-lineair	1492662e135a8d3721c6	833fdf6e40c5c8fcf0c7
	e3abc6fe42058282afe7	a71da764ead31c46ddf5

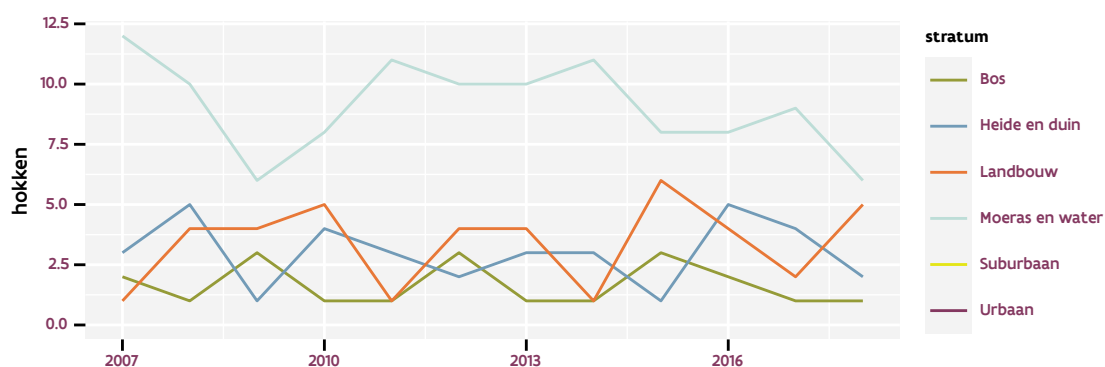
2.54 KUIFEEND



Figuur 2.159: Vlaamse indices voor Kuifeend op basis van jaarlijkse data. De trend is mogelijk niet-lineair.



Figuur 2.160: Vlaamse indices voor Kuifeend op basis van data geaggregeerd per driejaarlijkse cyclus. De trend is log-lineair.



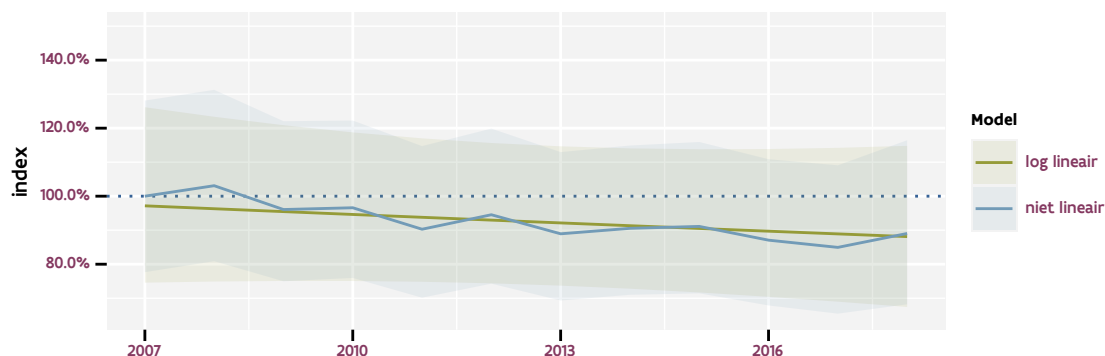
Figuur 2.161: Aantal onderzochte relevante hokken per jaar voor Kuifeend

Tabel 2.72: Controlesommen van de modellen voor Kuifeend.

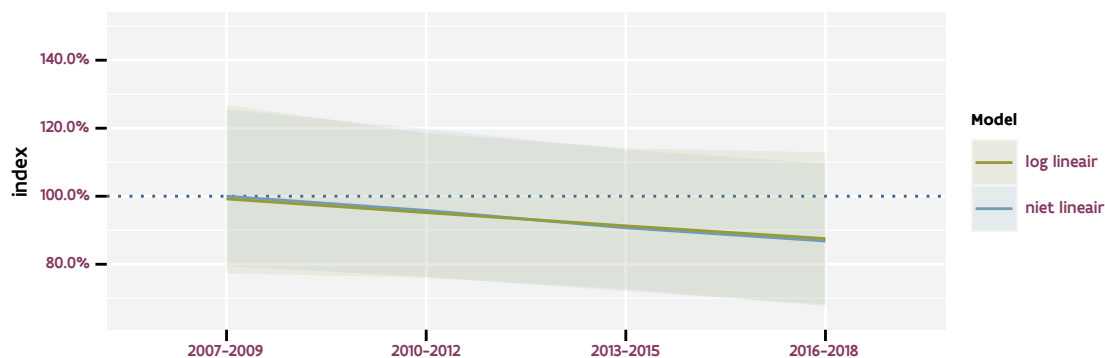
model	analyse	status
jaarlijks log-lineair	12213af921c4dfe96586	ddac573776944b62805f
	2be5780840e8691fe9b3	d98ceb0f8dd403d69d77
jaarlijks niet-lineair	9ccb9907835fa016f777	ec8922816e7e7b29f7c3
	a4d460aad5955dac2402	6385a1089d0bab5031f3

model	analyse	status
driejaarlijks log-lineair	e1418149503927832869	904aef01b85d15b0d82b
	4767cb854e315a0822a4	8a3c3fb79150b03695a3
driejaarlijks niet-lineair	2b1402cc420e4a83ad77	9a2004741b6f21895c55
	1c89734b8d4c2adfe190	5969b9d99959d562fa5e

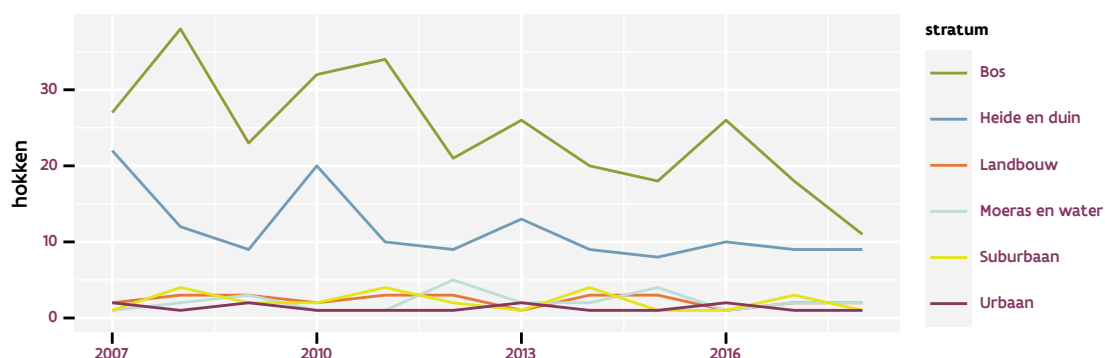
2.55 KUIFMEES



Figuur 2.162: Vlaamse indices voor Kuifmees op basis van jaarlijkse data. De trend is niet lineair.



Figuur 2.163: Vlaamse indices voor Kuifmees op basis van data geaggregeerd per driejaarlijkse cyclus. De trend is log-lineair.



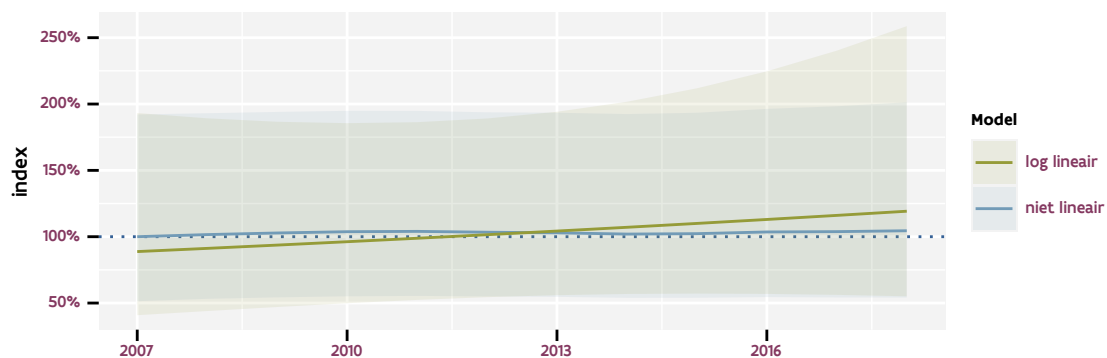
Figuur 2.164: Aantal onderzochte relevante hokken per jaar voor Kuifmees

Tabel 2.73: Controlesommen van de modellen voor Kuifmees.

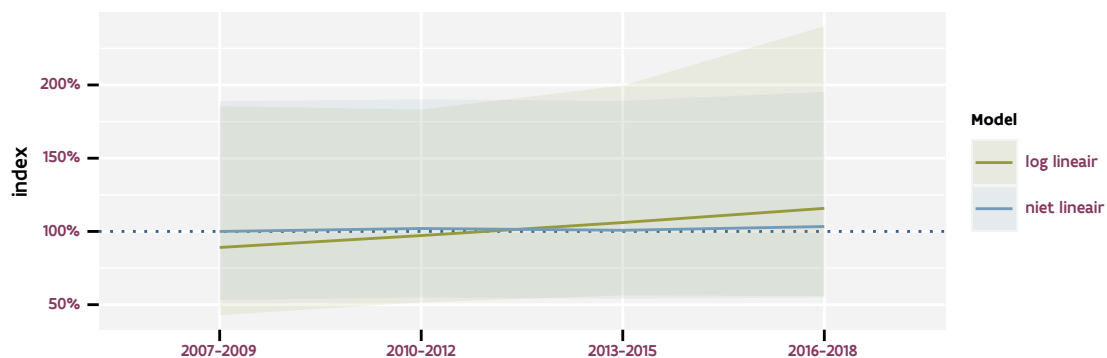
model	analyse	status
jaarlijks log-lineair	919a1b698f998ef96510 d2fe8964f8b42e4d8589	0805fba2287e5220dfa0 99295ed7bf8cc26c3ff4
jaarlijks niet-lineair	a0fb88009de855be0104 148a5f03d4dbf826fef3	e3f8f69128e75d97e497 07514630753311b8cd47

model	analyse	status
driejaarlijks log-lineair	57264857185019b4e204	b76eaf5d9ab65daa8b20
	69bfd9c654189284c808	12749805c015a9435159
driejaarlijks niet-lineair	11d08631192c0fe251dc	1c53a4237f60e60639e7
	9008121a5a586275adf7	2ee2a20641b5064ac20d

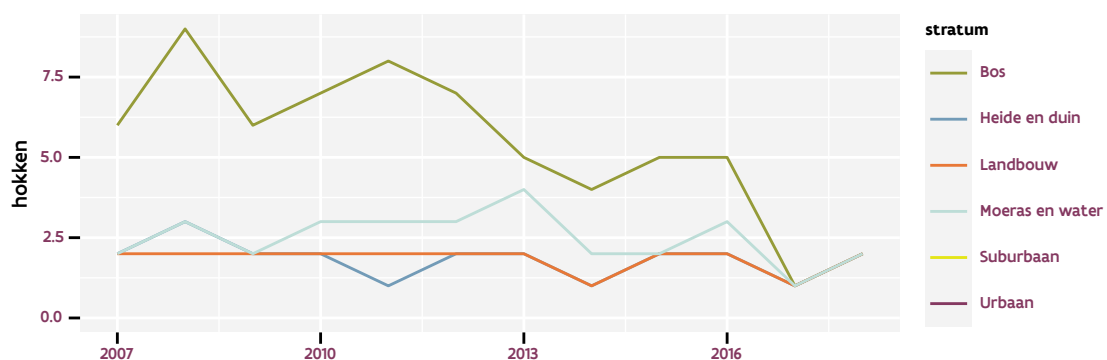
2.56 MATKOP



Figuur 2.165: Vlaamse indices voor Matkop op basis van jaarlijkse data. De trend is mogelijk niet-lineair.



Figuur 2.166: Vlaamse indices voor Matkop op basis van data geaggregeerd per driejaarlijkse cyclus. De trend is mogelijk niet-lineair.



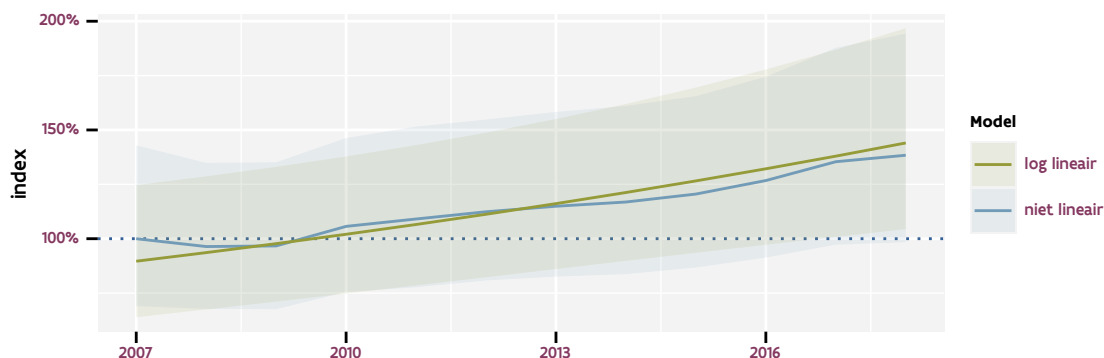
Figuur 2.167: Aantal onderzochte relevante hokken per jaar voor Matkop

Tabel 2.74: Controlesommen van de modellen voor Matkop.

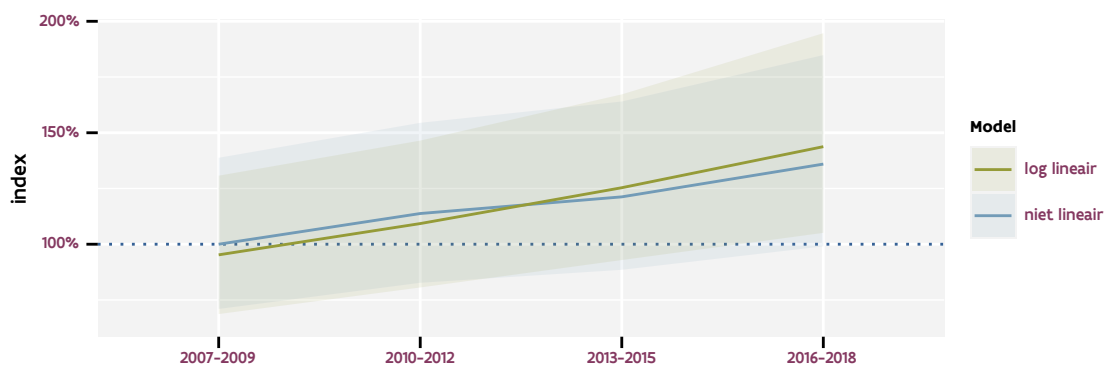
model	analyse	status
jaarlijks log-lineair	d0d4ff109aeebf0e9026 54dcc69d57d7231e8e19	4faba933c5f99967f575 e5f6dc4526adca9297c9
jaarlijks niet-lineair	100216eba5a7e84a5b65 cc2570ccd4e7e17635d3	58e8832ad152ec7c96c0 6f68b03e74b7e61f83c8

model	analyse	status
driejaarlijks log-lineair	55123936b032aabf7830 376d429500c0b6684337	a43090aa0289e1fadcc8 24adc9acb060b08d5ecb
driejaarlijks niet-lineair	96dd6c815f141f0e24a9 62b9c7073a3c912e5979	91f6e1d60a924b7ba612 ceede04087fecca38749

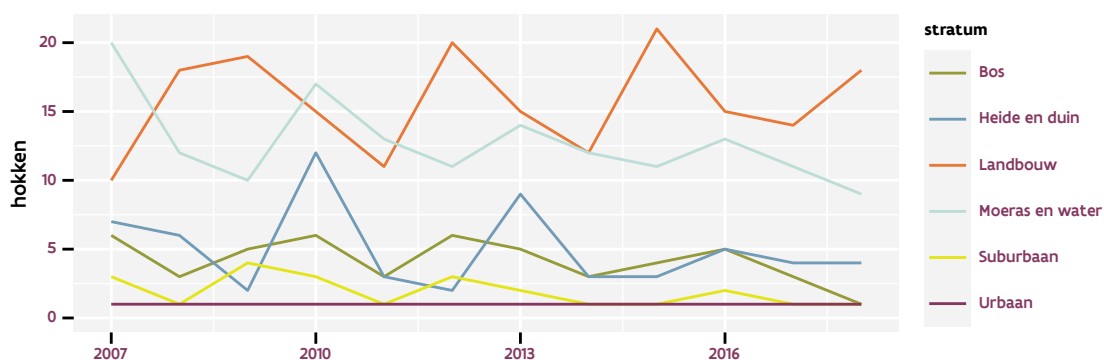
2.57 MEERKOET



Figuur 2.168: Vlaamse indices voor Meerkoet op basis van jaarlijkse data. De trend is niet lineair.



Figuur 2.169: Vlaamse indices voor Meerkoet op basis van data geaggregeerd per driejaarlijkse cyclus. De trend is log-lineair.



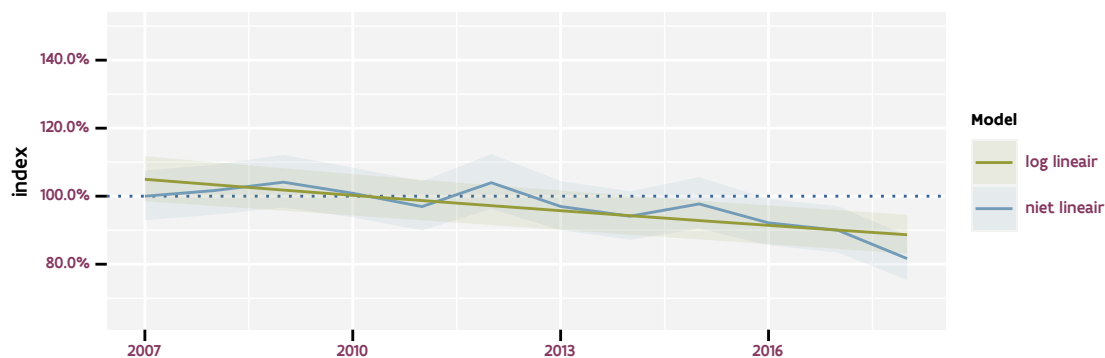
Figuur 2.170: Aantal onderzochte relevante hokken per jaar voor Meerkoet

Tabel 2.75: Controlesommen van de modellen voor Meerkoet.

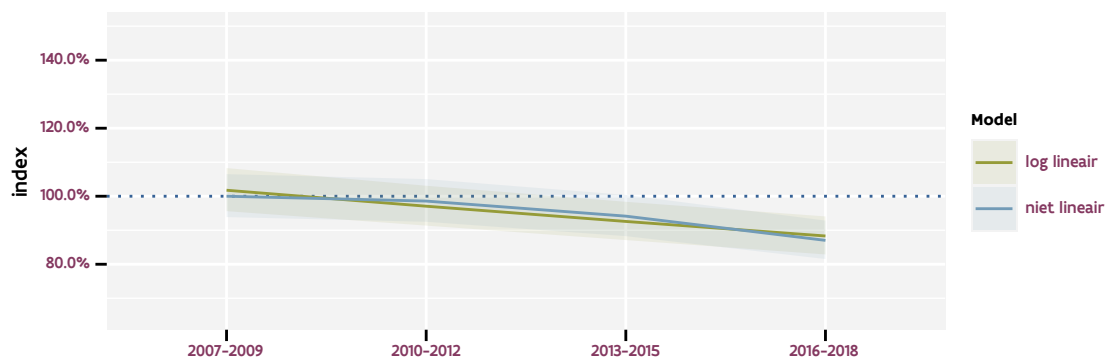
model	analyse	status
jaarlijks log-lineair	ae3070c29e788530f58f	184d23726e3d163335bd
	70b3b95e448f30995193	03b06a3796417885763e
jaarlijks niet-lineair	02406442265226fe223e	6f3982677b108de6716a
	b2cd55e6b766953ab7a8	7e248b7d15c3a2867246

model	analyse	status
driejaarlijks log-lineair	8cead60f3f7825752a34 4c71679b70bc53c77b92	746c9b8028812e4e3c3d fc74bcfde9808ec01ff0
driejaarlijks niet-lineair	4437dcac278170b1a22e 71b74bea7df0b1246134	680e47ea13445a5fc7cb b480470ec29f3e764055

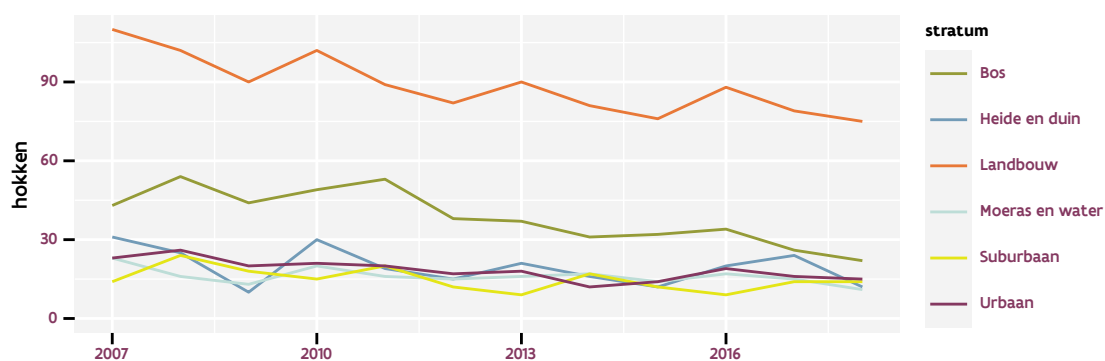
2.58 MEREL



Figuur 2.171: Vlaamse indices voor Merel op basis van jaarlijkse data. De trend is niet lineair.



Figuur 2.172: Vlaamse indices voor Merel op basis van data geaggregeerd per driejaarlijkse cyclus. De trend is niet lineair.



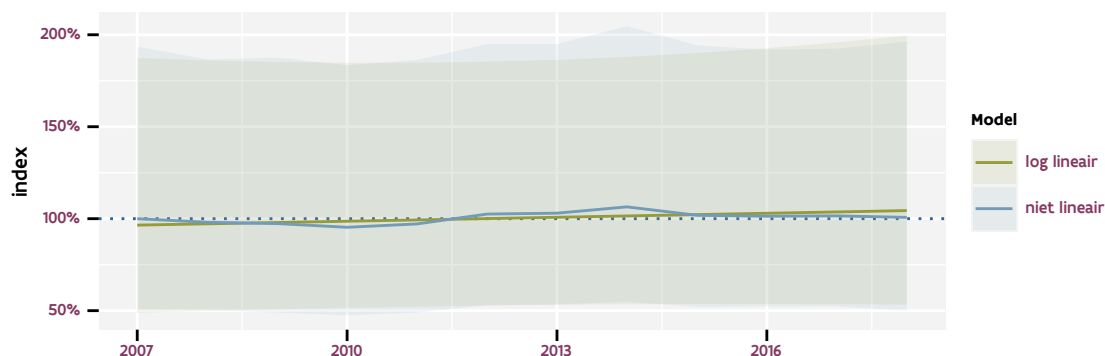
Figuur 2.173: Aantal onderzochte relevante hokken per jaar voor Merel

Tabel 2.76: Controlesommen van de modellen voor Merel.

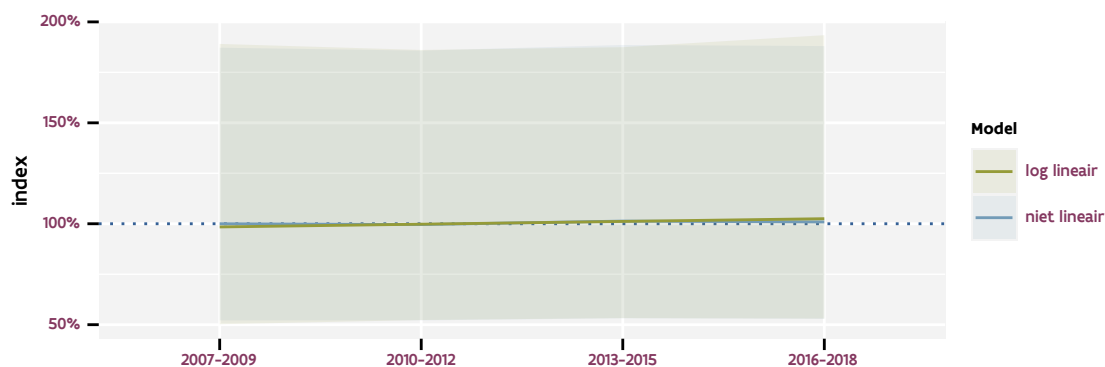
model	analyse	status
jaarlijks log-lineair	f68021cfc0ac79efd55d a8c78e5765ce2ce40862	d5db0f9471fb10346754 fef3377d31c38e7b7c39
jaarlijks niet-lineair	21516b34521a16463c2c ba971fe4ef8672bc4f32	b7e5d0ab17a4323e79d3 c6d865ed0d7f0752d038

model	analyse	status
driejaarlijks log-lineair	1dcd2207efa0da459436	101fd19c1f71e99f6493
	a9bed6688031eb5d5a77	67ac408ad66fd8b1670e
driejaarlijks niet-lineair	a6aa32d12f356c7aa12b	9b32720307bc5e5857bf
	2a55ccf7b473d991540e	be3820eabe6302e19bcd

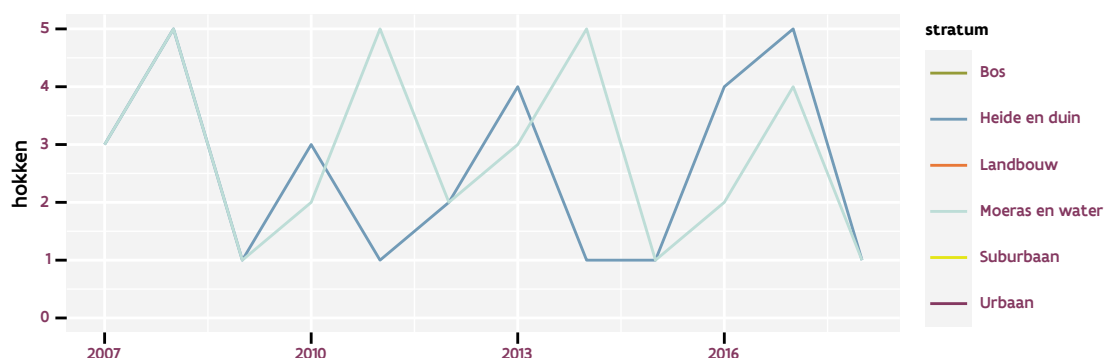
2.59 NACHTEGAAL



Figuur 2.174: Vlaamse indices voor Nachtegaal op basis van jaarlijkse data. De trend is niet lineair.



Figuur 2.175: Vlaamse indices voor Nachtegaal op basis van data geaggregeerd per driejaarlijkse cyclus. De trend is mogelijk niet-lineair.



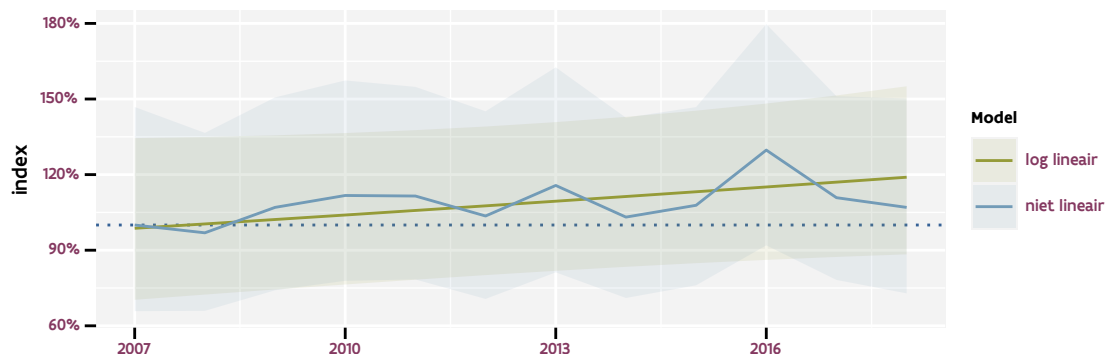
Figuur 2.176: Aantal onderzochte relevante hokken per jaar voor Nachtegaal

Tabel 2.77: Controlesommen van de modellen voor Nachtegaal.

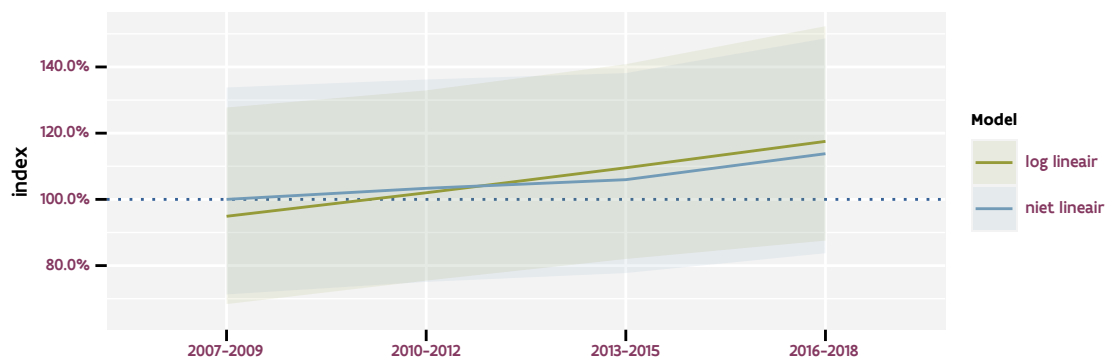
model	analyse	status
jaarlijks log-lineair	076b8414e991202d68c1	29d87a4fde8c57239db6
	32b39dc2c8804629481a	fa7c0d808479c7df646f
jaarlijks niet-lineair	9439afaebab45040eb05	e859e4a720eb777f3efb
	c02889ba2596d463786c	71f46984d26ce29cb95d

model	analyse	status
driejaarlijks log-lineair	92dea0bb85c6cdbbf0ad d7e1aca4f86b548961ac	7e562c265d1302c9f507 f57d9e3951d53e7d4e0f
driejaarlijks niet-lineair	39cf5a883283e9ce597a 983cd18c76cc1861604c	f48952977ba1bace254a 737b13c0b96729a5405c

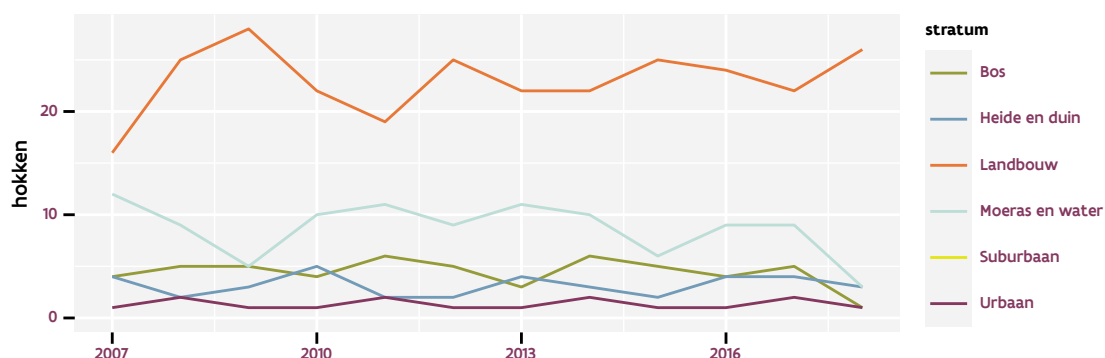
2.60 NIJLGANS



Figuur 2.177: Vlaamse indices voor Nijlgans op basis van jaarlijkse data. De trend is niet lineair.



Figuur 2.178: Vlaamse indices voor Nijlgans op basis van data geaggregeerd per driejaarlijkse cyclus. De trend is log-lineair.



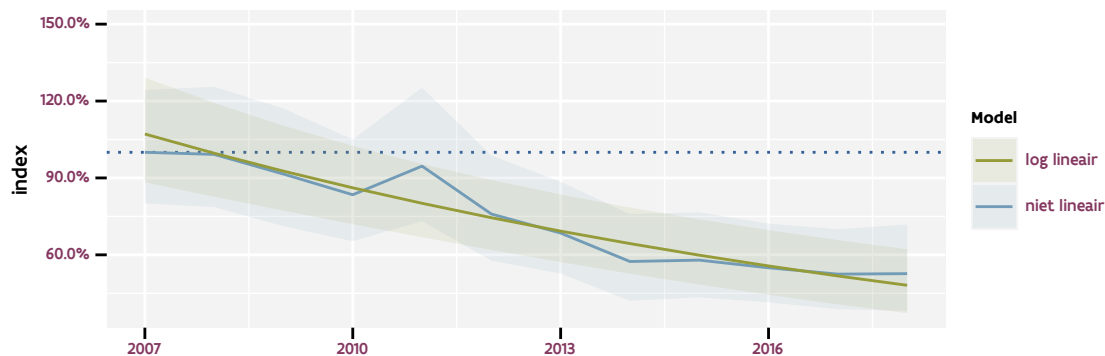
Figuur 2.179: Aantal onderzochte relevante hokken per jaar voor Nijlgans

Tabel 2.78: Controlesommen van de modellen voor Nijlgans.

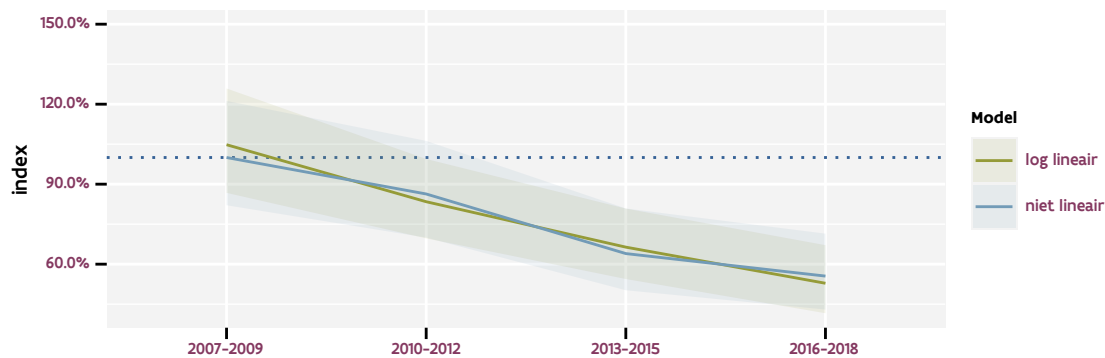
model	analyse	status
jaarlijks log-lineair	6122c7e6c9a876575ccf 169aa7649c92926ea1a6	67e3643b2230cf92ff81 c55d20bc696ee00d2c9c
jaarlijks niet-lineair	e8001fbd8e09ed2f10c5 b8bf808035a25d9f7c35	596cfda01b7bd9966f3e bcbe7965c3f3a892f30c

model	analyse	status
driejaarlijks log-lineair	1363ee5ac6040f499673 4817827eccc11077930c	14e5a2de2112589e396e b3296b7f2adaea158af6
driejaarlijks niet-lineair	cadd471ed3e3e125933d 57280d39517fb4ad91a9	33320fb4d8cd23a37d79 a5f6c5a57badd957f083

2.61 PATRIJS



Figuur 2.180: Vlaamse indices voor Patrijs op basis van jaarlijkse data. De trend is log-lineair.

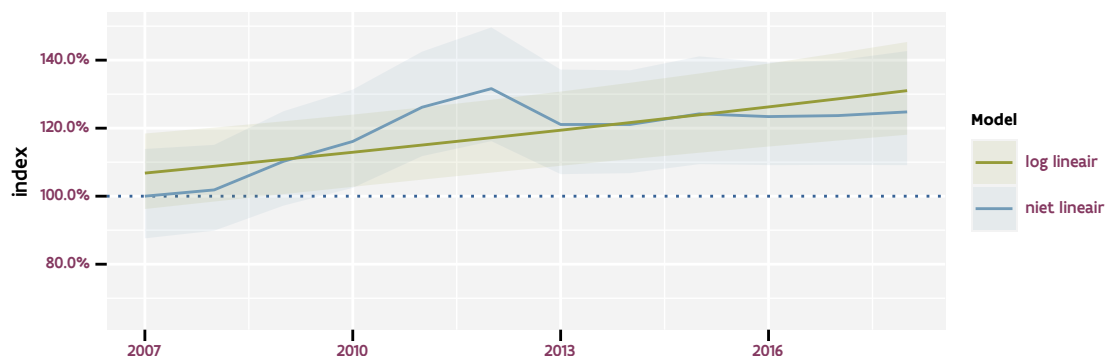


Figuur 2.181: Vlaamse indices voor Patrijs op basis van data geaggregeerd per driejaarlijkse cyclus. De trend is log-lineair.

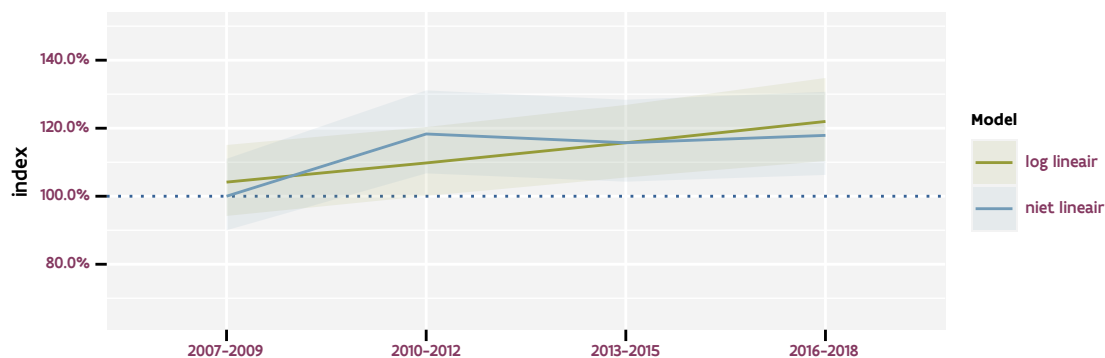
Tabel 2.79: Controlesommen van de modellen voor Patrijs.

model	analyse	status
jaarlijks log-lineair	943596eb49b4ec44a2c2	9ae698fe766285324671
	07c3a59a786b2f194368	224c325b0fe5a6b9b7a2
jaarlijks niet-lineair	1e6ea2877304b1fc84ec	41380c8e5f9dd7239593
	c85a7adfca244dc58a6	88a9be61fc20a0b19a6f
driejaarlijks log-lineair	32e954d910c805ba445d	32547b06670f6542e61e
	f0289b00c3581a5aba75	afcdac5e3a167c0ffbff
driejaarlijks niet-lineair	6a69656cff5fc7c98c4b	81a130e67aaede79419e
	8dbb392cc402c8f5c712	9296eb31a5206845bc7a

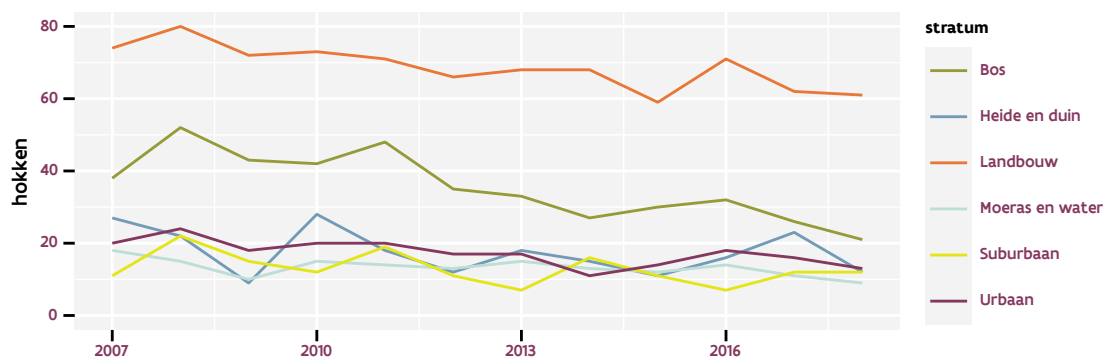
2.62 PIMPELMEES



Figuur 2.182: Vlaamse indices voor Pimpelmees op basis van jaarlijkse data. De trend is niet lineair.



Figuur 2.183: Vlaamse indices voor Pimpelmees op basis van data geaggregeerd per driejaarlijkse cyclus. De trend is niet lineair.



Figuur 2.184: Aantal onderzochte relevante hokken per jaar voor Pimpelmees

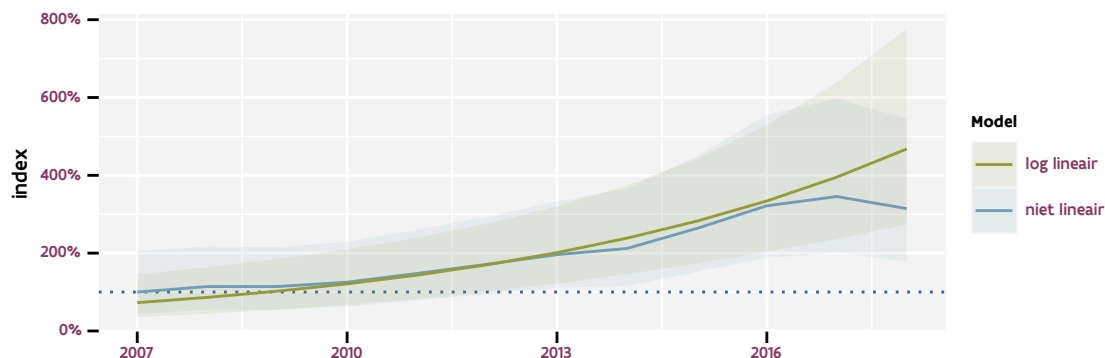
Tabel 2.80: Controlesommen van de modellen voor Pimpelmees.

model	analyse	status
jaarlijks log-lineair	ed12f47640d0b0f75100	54c4d1f5161428fbc3a
	7b12c59388eca140bdc6	af03d39e85202788806b
jaarlijks niet-lineair	35e7120e29e3f5566fac	7b386ff5cda8a2e2b6d2
	0a8f31c12986a4929ae8	8ee34e96a1d360b2d36a

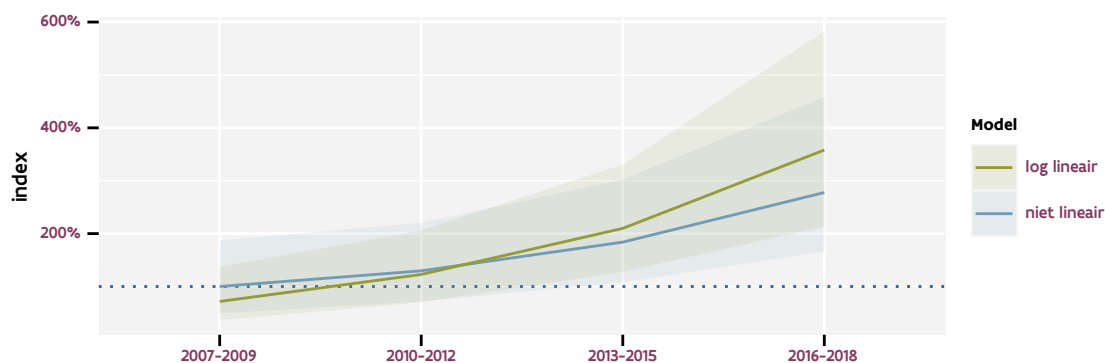
model	analyse	status
driejaarlijks log-lineair	1af37866710628e436fd 630465037d15f8b2b6ed	8aeafec9b76595b44052 a50ba7a690e73b0885dd
driejaarlijks niet-lineair	91dd487219d60452d027 b7ab03f97acf258d072e	7020bb6bd884cefec74a 1b087aaa766b5d81aa53



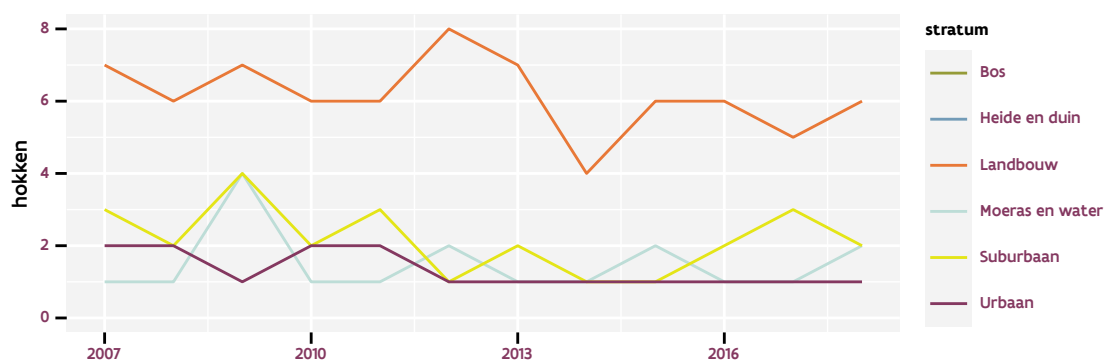
2.63 PUTTER



Figuur 2.185: Vlaamse indices voor Putter op basis van jaarlijkse data. De trend is log-lineair.



Figuur 2.186: Vlaamse indices voor Putter op basis van data geaggregeerd per driejaarlijkse cyclus. De trend is log-lineair.



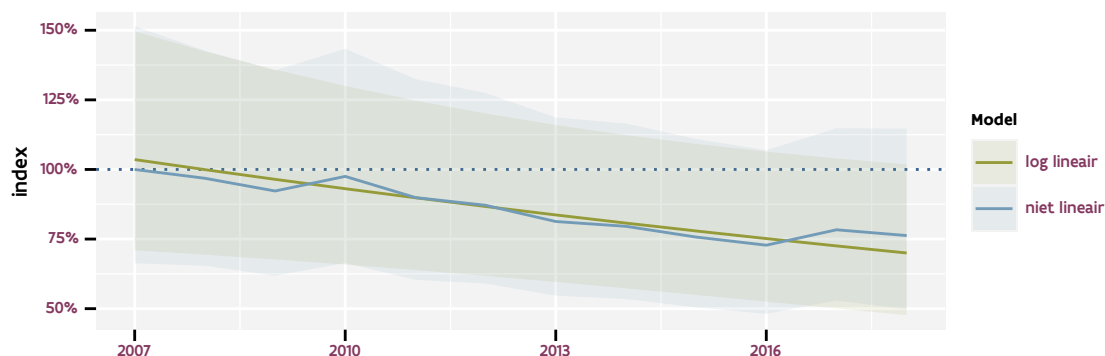
Figuur 2.187: Aantal onderzochte relevante hokken per jaar voor Putter

Tabel 2.81: Controlesommen van de modellen voor Putter.

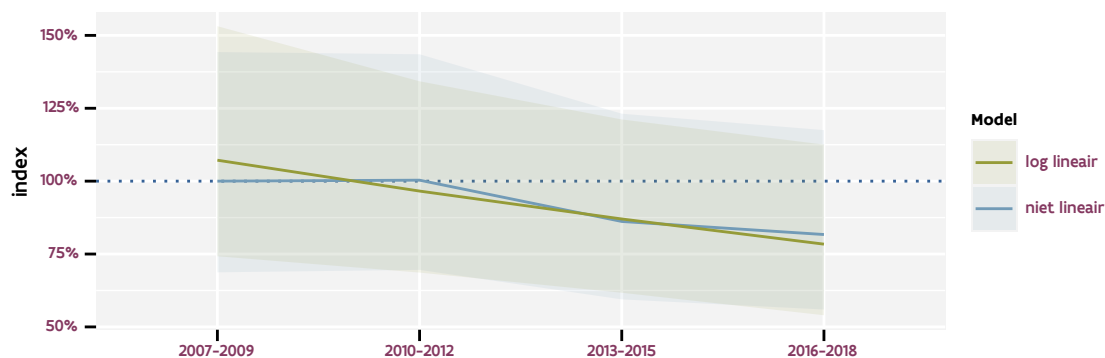
model	analyse	status
jaarlijks log-lineair	b581ca4b6b4ffc9231fd	59a49a5b5931842864ca
	e8b1847a305bcd5e8130	7f820902d61ed1d4925c
jaarlijks niet-lineair	3a5ebc3edc4d063be5ae	91eb0d81269f5c73efd9
	0504fd29ee874a85a0a9	dc5ba0eb3d31283d55bb

model	analyse	status
driejaarlijks log-lineair	e7fc1e5626fd80fe24ef 242c809ac2754494ec82	4d4e0e965ac45688ad33 22b669f2fbec9394adbe
driejaarlijks niet-lineair	119a09d259b34efb97ab e6134f924be31c7cbde4	72a8a2862846c91f126d 91f9da17b50e8338f092

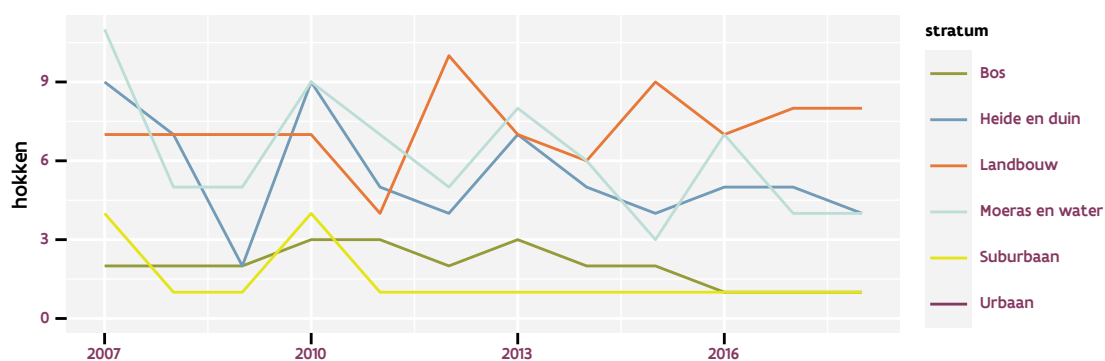
2.64 RIETGORS



Figuur 2.188: Vlaamse indices voor Rietgors op basis van jaarlijkse data. De trend is niet lineair.



Figuur 2.189: Vlaamse indices voor Rietgors op basis van data geaggregeerd per driejaarlijkse cyclus. De trend is niet lineair.



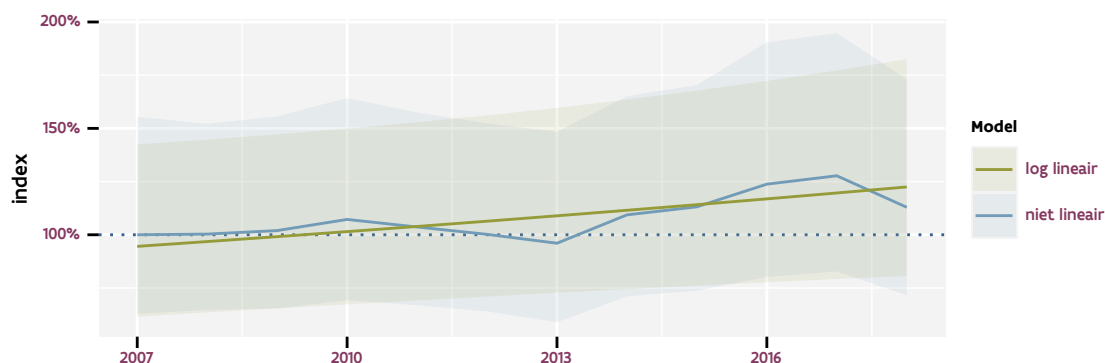
Figuur 2.190: Aantal onderzochte relevante hokken per jaar voor Rietgors

Tabel 2.82: Controlesommen van de modellen voor Rietgors.

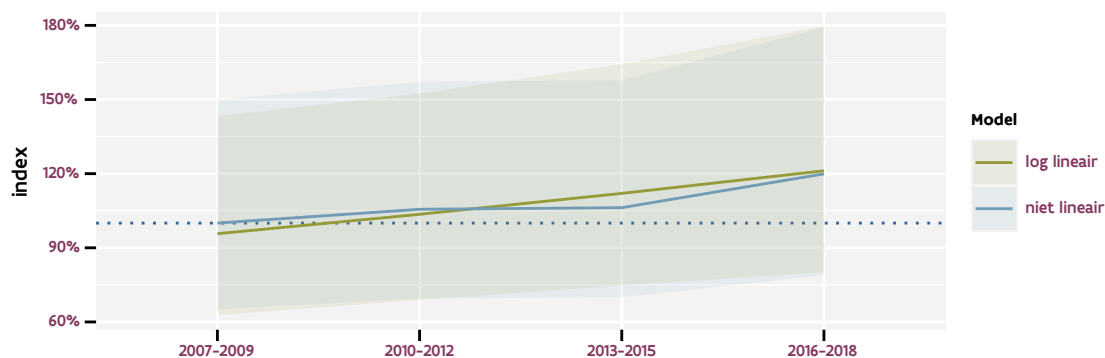
model	analyse	status
jaarlijks log-lineair	0b9175108a747f609d5b 7f71d3a0f6aca41a480a	5c76f16d0e93d1ba72a2 c561612ff9a5b76e0525
jaarlijks niet-lineair	59f090f320f662e6a9fb 966910bec97cac175560	6ba12c1c681c6a07b815 ab9ce088f176b247677e

model	analyse	status
driejaarlijks log-lineair	f804ba5d279e8da83c39	932b4a7a7dd123c37477
	2a2e935bb83442619315	90725d1b82eadf5eb0aa
driejaarlijks niet-lineair	9f865c0839cc2e17205d	77e9ef07448b6a4892ee
	4fb21dc2448c215c5ee7	b315320c931c2a26dc03

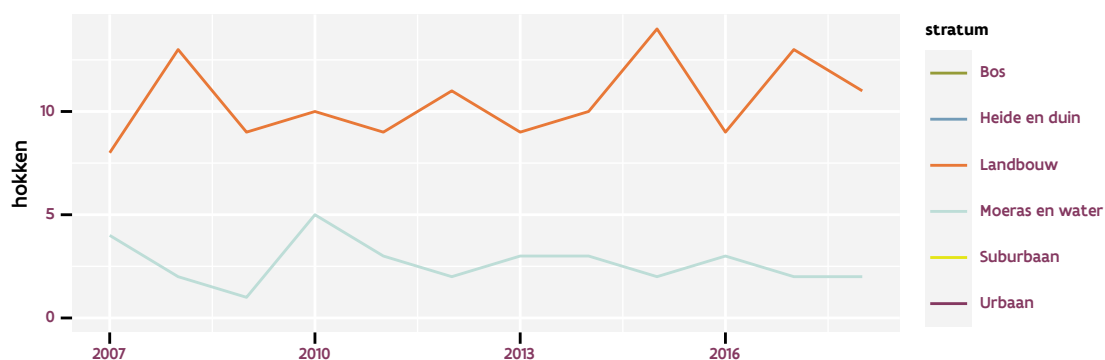
2.65 RIETZANGER



Figuur 2.191: Vlaamse indices voor Rietzanger op basis van jaarlijkse data. De trend is log-lineair.



Figuur 2.192: Vlaamse indices voor Rietzanger op basis van data geaggregeerd per driejaarlijkse cyclus. De trend is log-lineair.



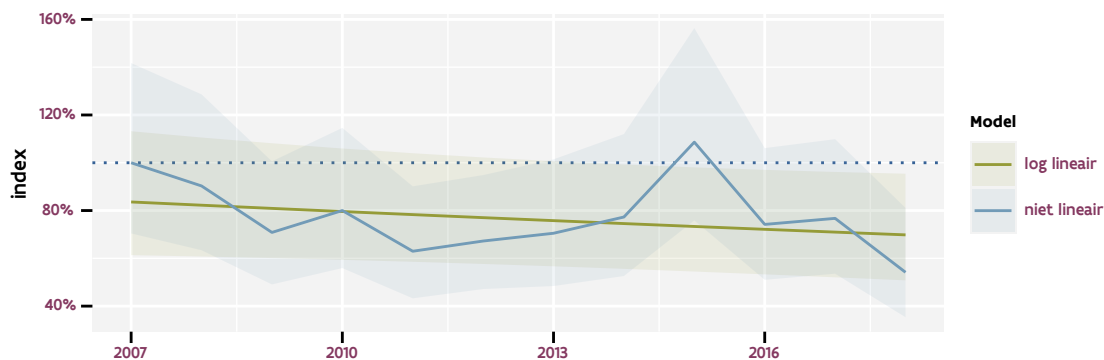
Figuur 2.193: Aantal onderzochte relevante hokken per jaar voor Rietzanger

Tabel 2.83: Controlesommen van de modellen voor Rietzanger.

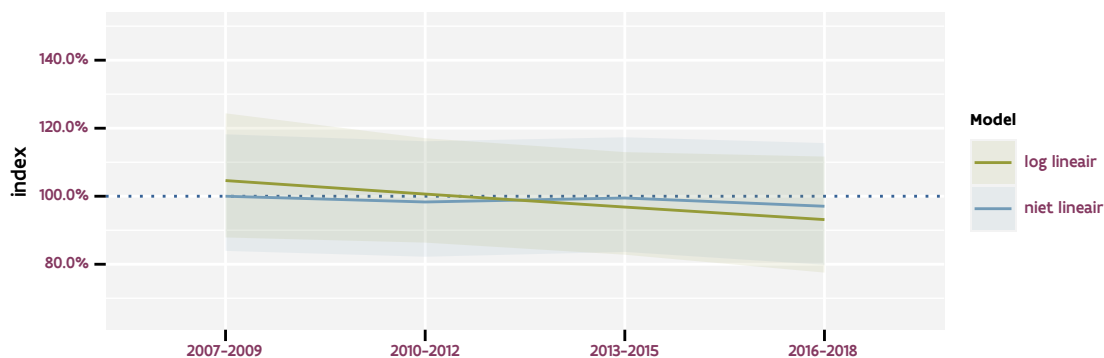
model	analyse	status
jaarlijks log-lineair	ce08d0022143d075531f fd7079331ac8f70162f5	427581300de82fed97ff a19c65054de17bc7e546
jaarlijks niet-lineair	14255ebb31c85b6f3357 97c0d2c050491ef493bc	b8a87d70d4e7e1fd6ded f26c90cb768aa72119b0

model	analyse	status
driejaarlijks log-lineair	38a87dde01879eb97b88	cd273e1e6e1970bb6675
	8097811015e297c15a89	299bd4a139ccb7ba0899
driejaarlijks niet-lineair	4c9eddefdeb46ea0dcc3	dfda704b0122aaeeb393
	ebd106f80da0bc0dab78	2359461e5e0c7b383cab

2.66 RINGMUS



Figuur 2.194: Vlaamse indices voor Ringmus op basis van jaarlijkse data. De trend is niet lineair.

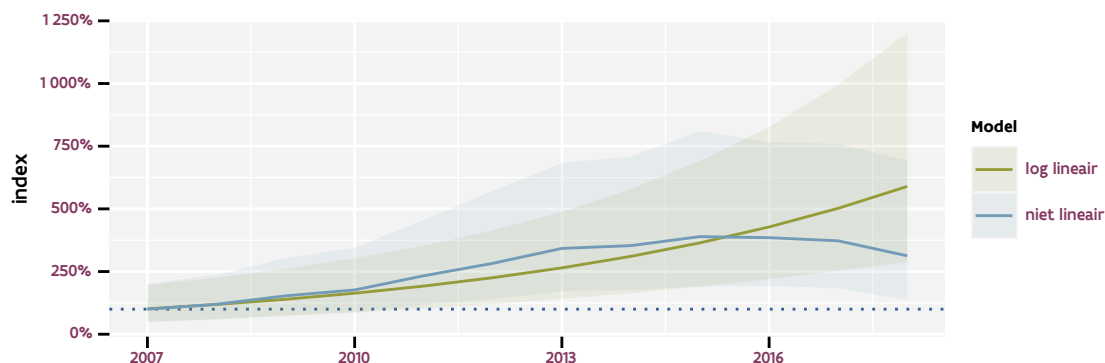


Figuur 2.195: Vlaamse indices voor Ringmus op basis van data geaggregeerd per driejaarlijkse cyclus. De trend is niet lineair.

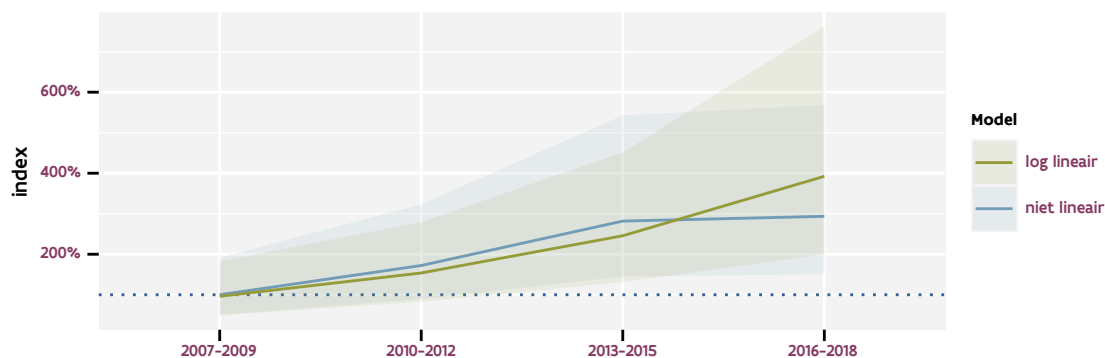
Tabel 2.84: Controlesommen van de modellen voor Ringmus.

model	analyse	status
jaarlijks log-lineair	5eaa604b1fa5828b6aa8	d2a54b785fdb6511b70
	4989bab31a08ea0e0c69	738b3134d731b114d3bd
jaarlijks niet-lineair	7732db9451382c590b66	a37c0533348eb06b70a2
	6021dfddc65aa0c5d4dd	1cffc2dfdacc6ea9f24b
driejaarlijks log-lineair	e381dd52b93c6f7e1be7	c0d1d6fbc4de2cb6493
	a44f721226fcd78161c7	46bc46b28afbc65158b7
driejaarlijks niet-lineair	5b5e9921ec71d9498944	459bee53229bba6f5af7
	33eb07e747c1708ca489	715133db45ad8f7c5a6e

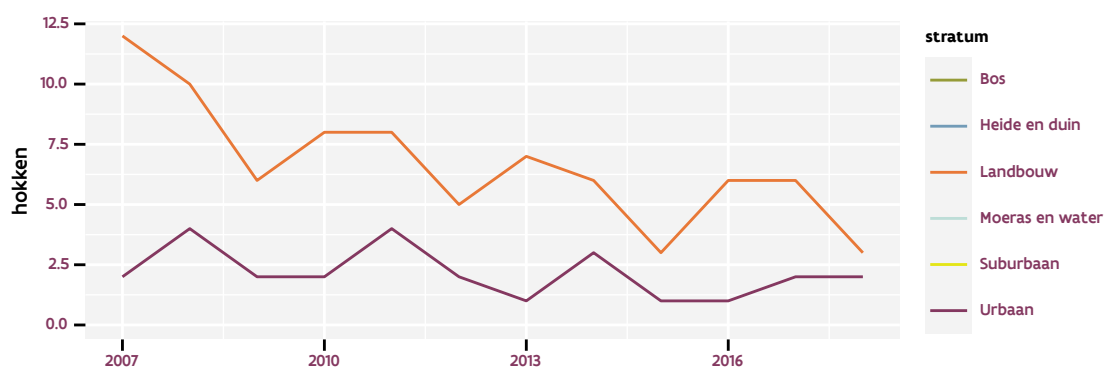
2.67 ROEK



Figuur 2.196: Vlaamse indices voor Roek op basis van jaarlijkse data. De trend is log-lineair.



Figuur 2.197: Vlaamse indices voor Roek op basis van data geaggregeerd per driejaarlijkse cyclus. De trend is log-lineair.



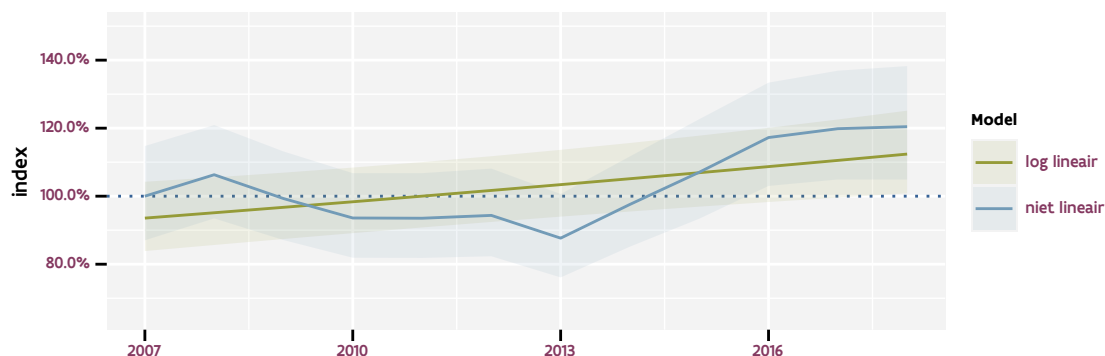
Figuur 2.198: Aantal onderzochte relevante hokken per jaar voor Roek

Tabel 2.85: Controlesommen van de modellen voor Roek.

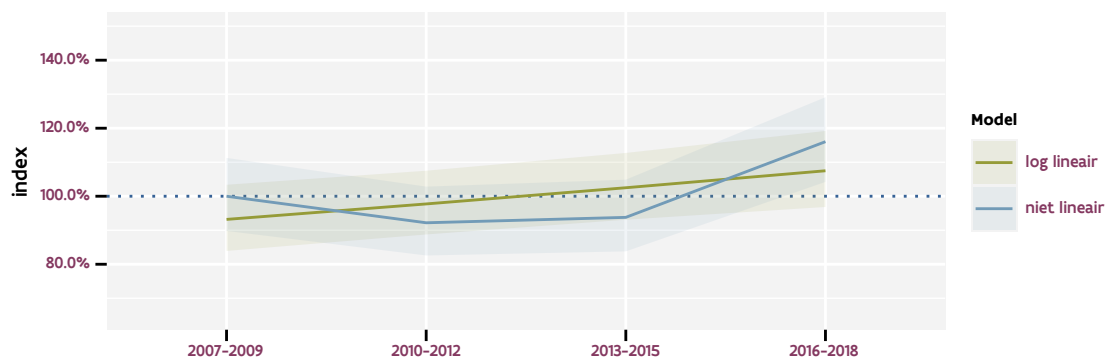
model	analyse	status
jaarlijks log-lineair	5939a966dc4f66a3c2de	a28ac16ff1483814b168
	2a764cb99d49bacb821c	3d153930369c98bbf68c
jaarlijks niet-lineair	b9d8096d192fdf184a12	557fb36d92f172a36766
	fc0c7bc58a295812215f	7e15d7b55508656d2fc3

model	analyse	status
driejaarlijks log-lineair	c411bd96f7f2ffa31354	d31bf4ffbd76568d225c
	56651d14d04ec2ea9d7c	4557ca2eadedc7a4d957
driejaarlijks niet-lineair	1b41940b74e4a6996dc3	b617068c1f977ff656c2
	2faa4977741c8e357ede	0e92e44332898d11096f

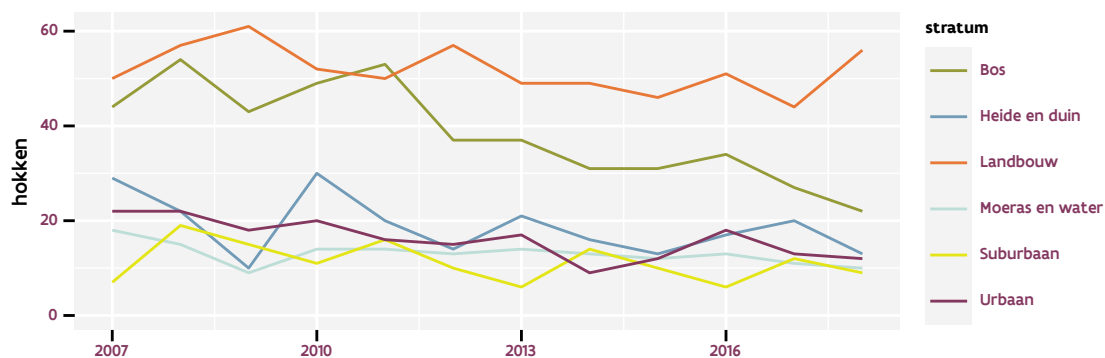
2.68 ROODBORST



Figuur 2.199: Vlaamse indices voor Roodborst op basis van jaarlijkse data. De trend is niet lineair.



Figuur 2.200: Vlaamse indices voor Roodborst op basis van data geaggregeerd per driejaarlijkse cyclus. De trend is niet lineair.



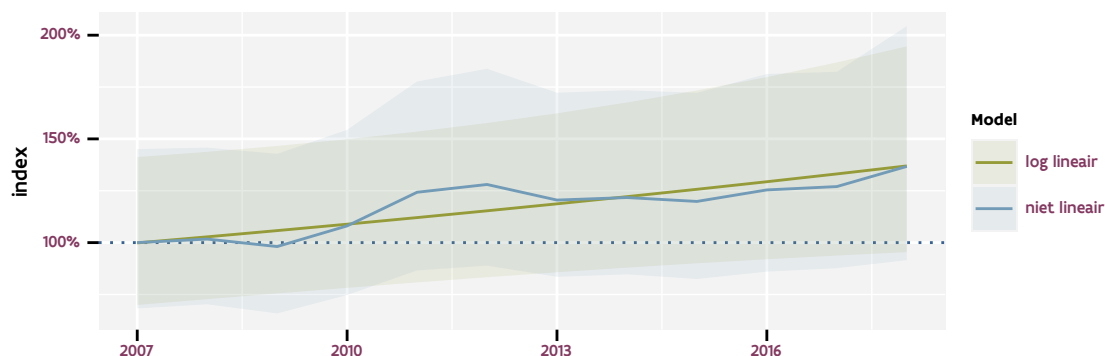
Figuur 2.201: Aantal onderzochte relevante hokken per jaar voor Roodborst

Tabel 2.86: Controlesommen van de modellen voor Roodborst.

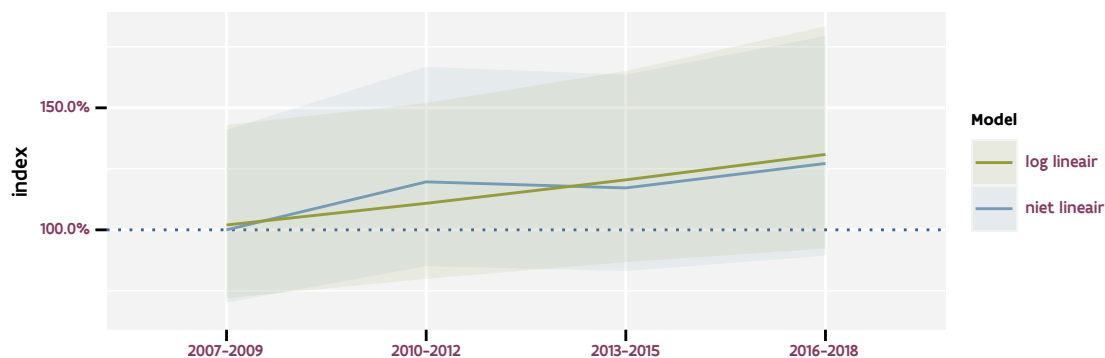
model	analyse	status
jaarlijks log-lineair	7388239b739c5e408d52 6b5a53b2a9499172a455	9d7d99a5eea2dd5a78aa cba236de7997e4e8c1f7
jaarlijks niet-lineair	ee69a57ced8f210bcbcb 27d856e197b66ed2b6ce	c97082e44fa42d24c82f bb219777f341652223cd

model	analyse	status
driejaarlijks log-lineair	641743df5e719399e37b aa5d82e827be25338843	0b84936b0186e32139b0 cf4afa5d152f810e9398
driejaarlijks niet-lineair	edb2f42271ff89110551 ee54ecf238556a5a9ebe	0cefa7f4a9d7dad0e89e 8f09db5f47816c166d8b

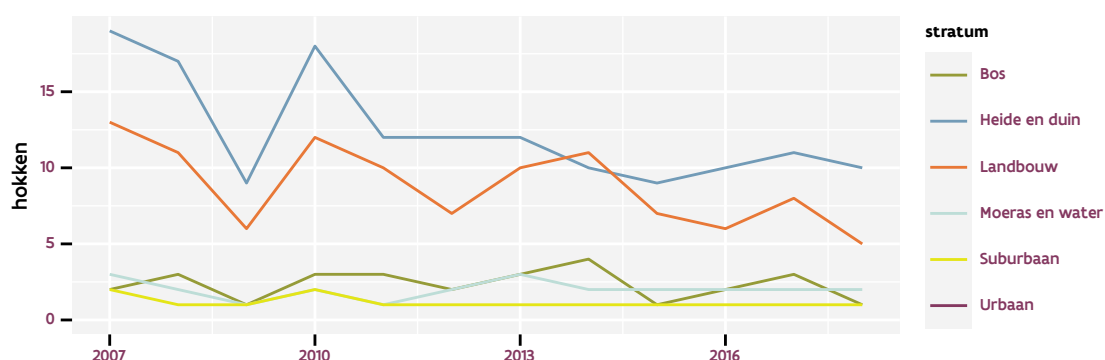
2.69 ROODBORSTTAPUIT



Figuur 2.202: Vlaamse indices voor Roodborsttapuit op basis van jaarlijkse data. De trend is niet lineair.



Figuur 2.203: Vlaamse indices voor Roodborsttapuit op basis van data geaggregeerd per driejaarlijkse cyclus. De trend is niet lineair.



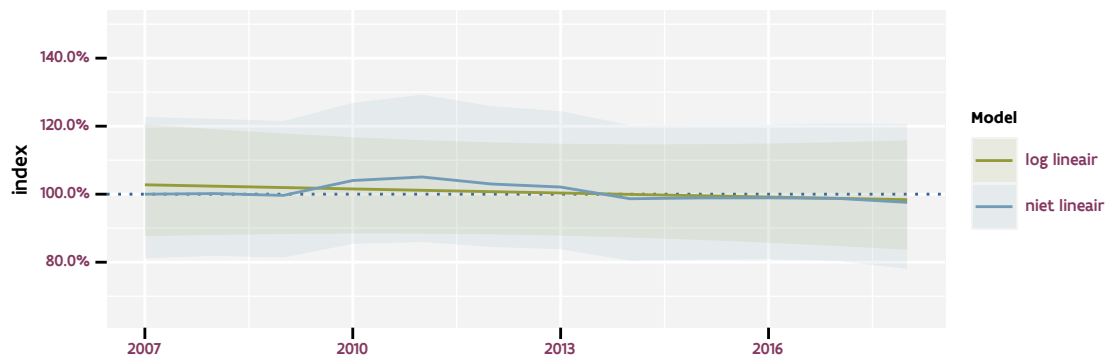
Figuur 2.204: Aantal onderzochte relevante hokken per jaar voor Roodborsttapuit

Tabel 2.87: Controlesommen van de modellen voor Roodborsttapuit.

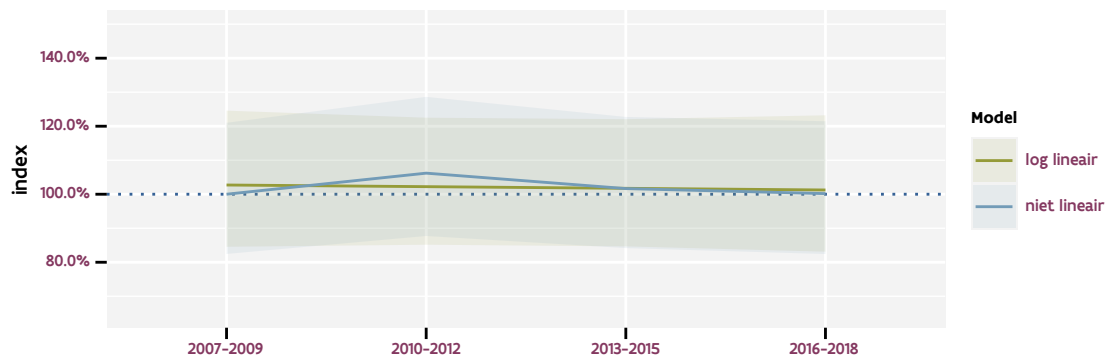
model	analyse	status
jaarlijks log-lineair	70306e9d1f6945493971	97e15bee856370e436c1
	325ac8414da057e32938	92b1d328f51e8f5700e9
jaarlijks niet-lineair	8279156f05a7926e5ef5	50691783f1f31bd7edb1
	3c6d972215d36aef5b2d	b19b8a1fd46475e03c8a

model	analyse	status
driejaarlijks log-lineair	6a2841ec97caaaa5617e	a85ac87a2f51627a6726
	743c60cf635a12c9614b	9d3cbc10bd8ab4c967af
driejaarlijks niet-lineair	049d583493c58ac5b778	2aef78dd0d99c02894bf
	79119e4ba8643dc909cd	b07c79f8d7c21b161afe

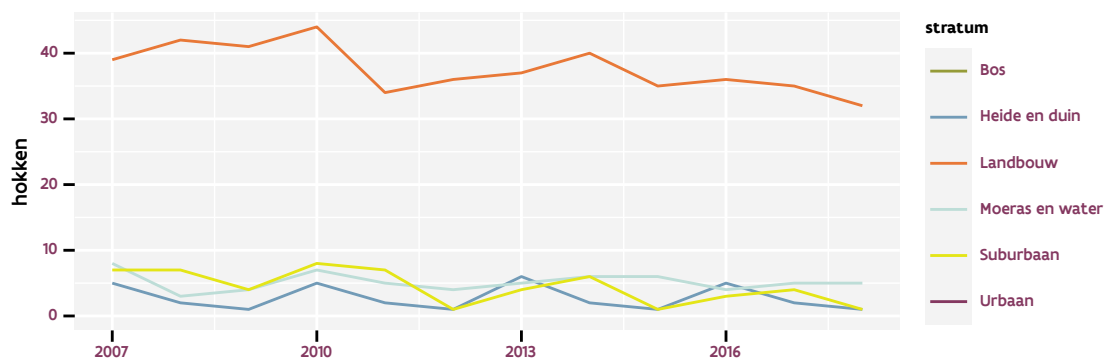
2.70 SCHOLEKSTER



Figuur 2.205: Vlaamse indices voor Scholekster op basis van jaarlijkse data. De trend is niet lineair.



Figuur 2.206: Vlaamse indices voor Scholekster op basis van data geaggregeerd per driejaarlijkse cyclus. De trend is mogelijk niet-lineair.



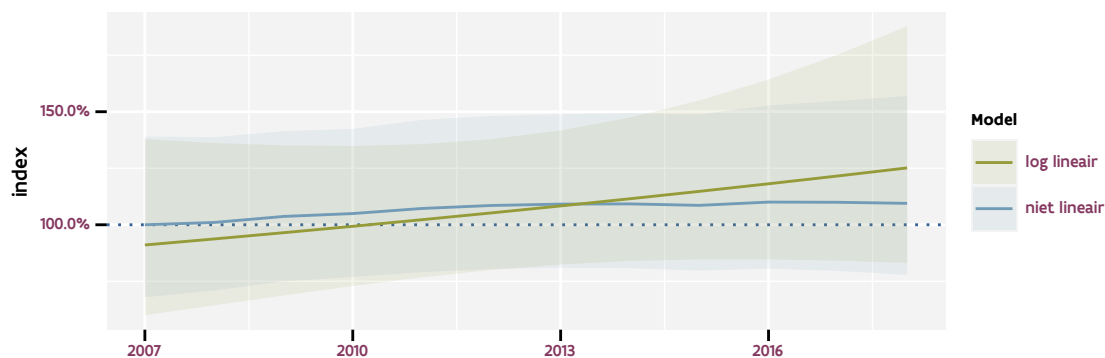
Figuur 2.207: Aantal onderzochte relevante hokken per jaar voor Scholekster

Tabel 2.88: Controlesommen van de modellen voor Scholekster.

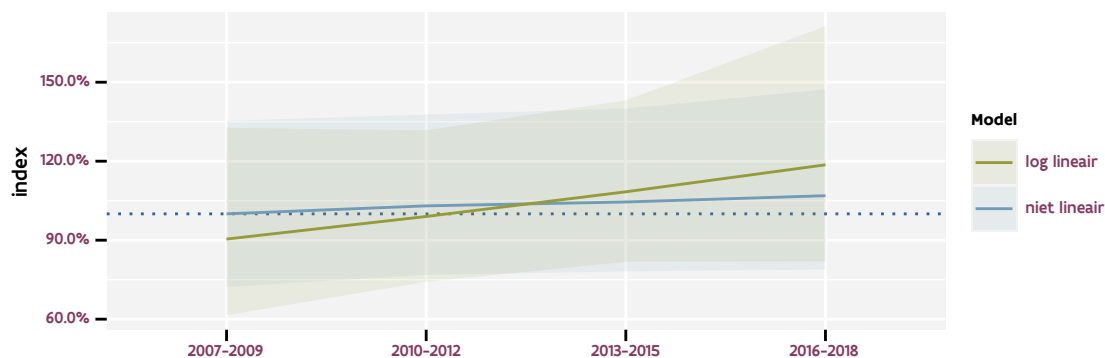
model	analyse	status
jaarlijks log-lineair	c6611ba546262ba9ae3a	f88bcee84aa3f4d84afe
	e6985316c6e4d110be69	fd9a1ebfaf2b356393d1
jaarlijks niet-lineair	d3ebb6c3c17cbb42fb77	2119c9985629bd54f854
	647f978cb103931c857a	3438029a21c0559a3202

model	analyse	status
driejaarlijks log-lineair	36a90fb390b07d0431de 37f0596b924ca3f69dbc	2333b723cbb17636a5ad 508818f31f2918856baa
driejaarlijks niet-lineair	debc518595a99342f5e 29183c25c6f061394b89	ab6a106b14e53d9c0dd9 bb26fe5e2aeabb988e64

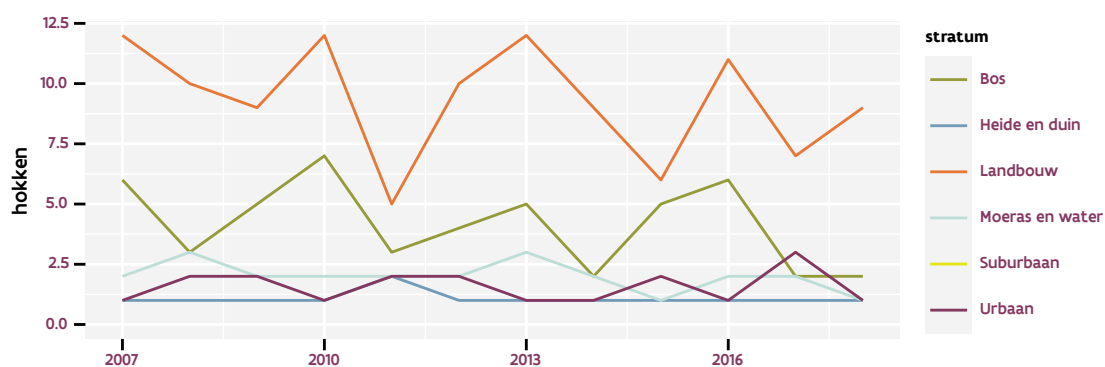
2.71 SPERWER



Figuur 2.208: Vlaamse indices voor Sperwer op basis van jaarlijkse data. De trend is niet lineair.



Figuur 2.209: Vlaamse indices voor Sperwer op basis van data geaggregeerd per driejaarlijkse cyclus. De trend is niet lineair.



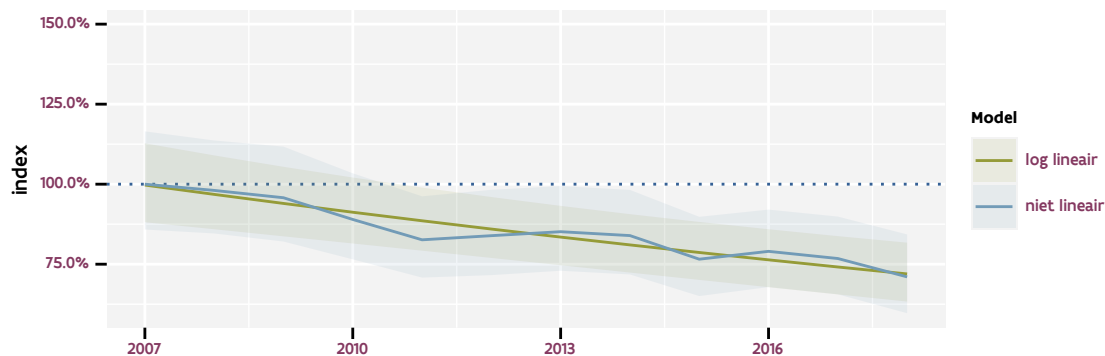
Figuur 2.210: Aantal onderzochte relevante hokken per jaar voor Sperwer

Tabel 2.89: Controlesommen van de modellen voor Sperwer.

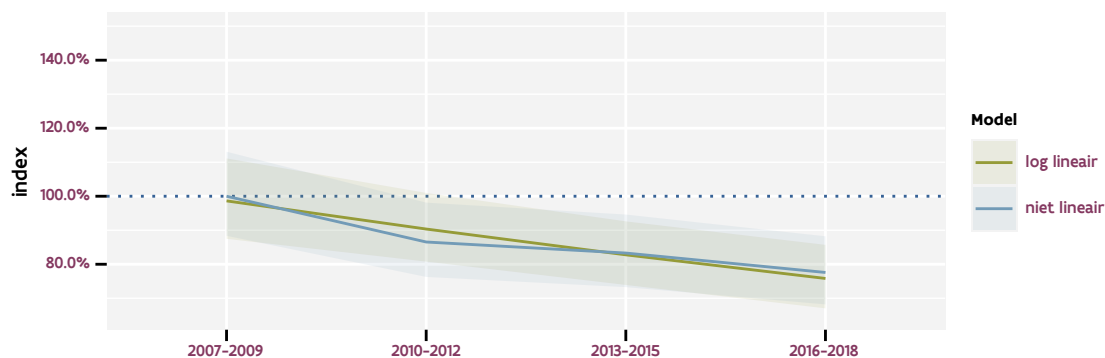
model	analyse	status
jaarlijks log-lineair	e35d66f9edffa82f0fca	aa262a1adc0ca38ab409
	f933c28a3fc31e09ec83	4153331acc3a8c908f86
jaarlijks niet-lineair	2047b594849350f88c1c	3ceb81c5738d26bc2981
	c0af25fd1a7b51a03809	354c52b23d2f3363212d

model	analyse	status
driejaarlijks log-lineair	c3d98091026990f84815 ebbb3d01bf39a62e04f3	d2fb54df80e1881ddf4f f0fe094c852fbf575e70
driejaarlijks niet-lineair	11753aa54f2e8003d6cd e82e297d07b6b32bfa08	43a4d4e77a28205a637a b319b8e747290590b9ae

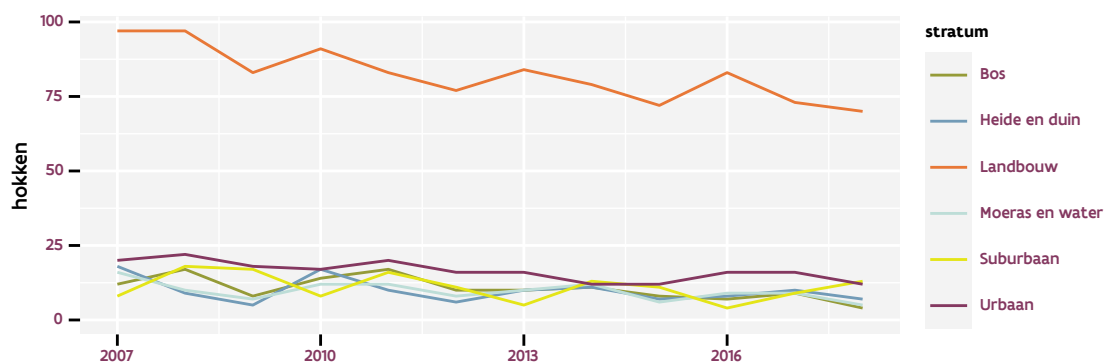
2.72 SPREEUW



Figuur 2.211: Vlaamse indices voor Spreeuw op basis van jaarlijkse data. De trend is niet lineair.



Figuur 2.212: Vlaamse indices voor Spreeuw op basis van data geaggregeerd per driejaarlijkse cyclus. De trend is log-lineair.



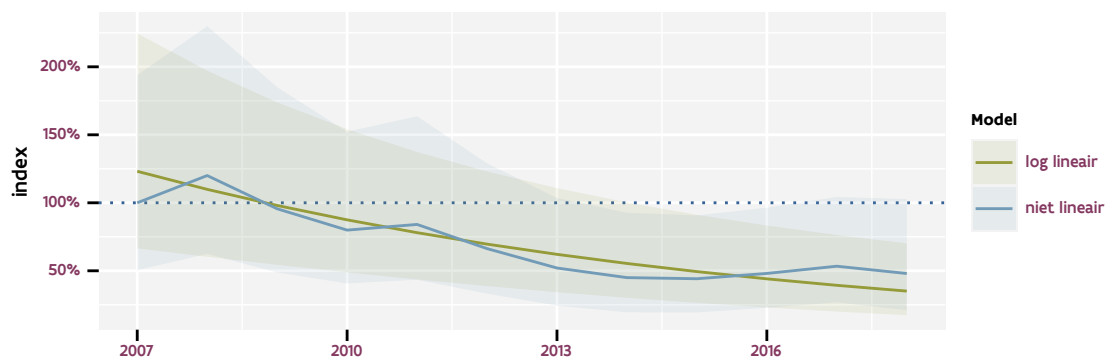
Figuur 2.213: Aantal onderzochte relevante hokken per jaar voor Spreeuw

Tabel 2.90: Controlesommen van de modellen voor Spreeuw.

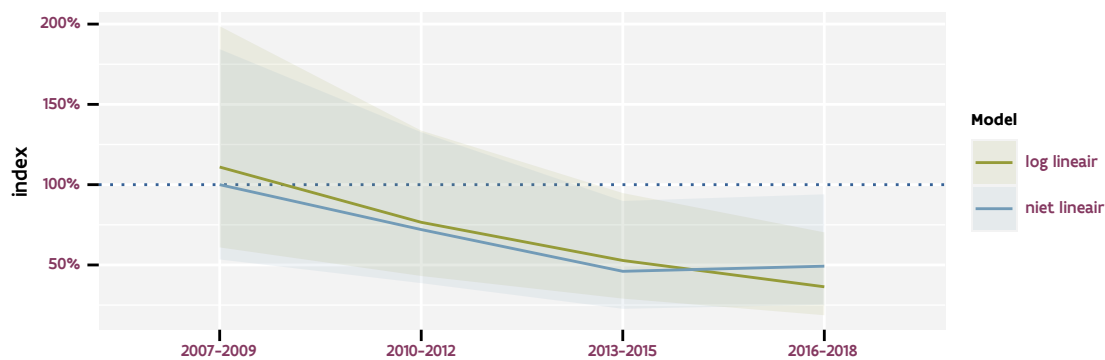
model	analyse	status
jaarlijks log-lineair	11b207cd2aa1fda2e956	09e1dfa23406c09a6187
	2d5e6b3912558a728d50	fb5ac8d9c783cbbb8a80
jaarlijks niet-lineair	c69c725398dda835a22b	aaa88ebe22caf2368880
	395cf76a0a1e683f3375	7105e733684e6810d3f6

model	analyse	status
driejaarlijks log-lineair	41d1992dbb5ead04c707 6ddc9b76bb216b056ef7	a74616b9d25f4cc998a3 7c5a597fc3c372babe4f
driejaarlijks niet-lineair	4815cd73c958424f285c 4b679c5a0b5e91905aa6	8be3fc2f6a16f5aa3039 3f503068727508798298

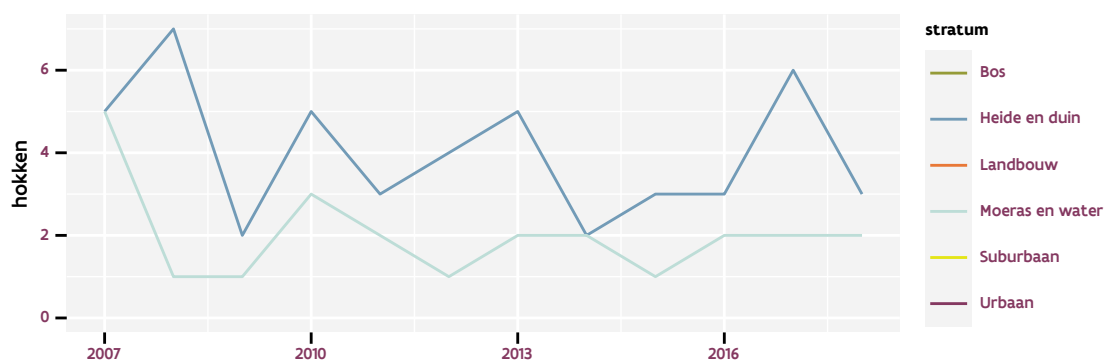
2.73 SPRINKHAANZANGER



Figuur 2.214: Vlaamse indices voor Sprinkhaanzanger op basis van jaarlijkse data. De trend is log-lineair.



Figuur 2.215: Vlaamse indices voor Sprinkhaanzanger op basis van data geaggregeerd per driejaarlijkse cyclus. De trend is log-lineair.



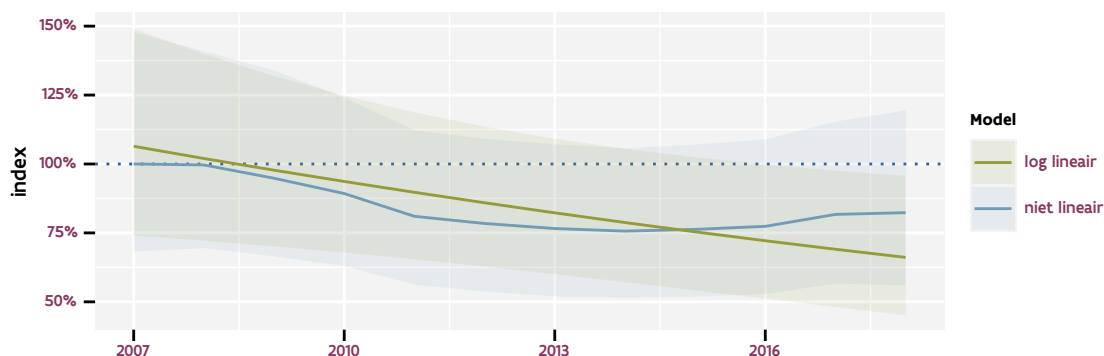
Figuur 2.216: Aantal onderzochte relevante hokken per jaar voor Sprinkhaanzanger

Tabel 2.91: Controlesommen van de modellen voor Sprinkhaanzanger.

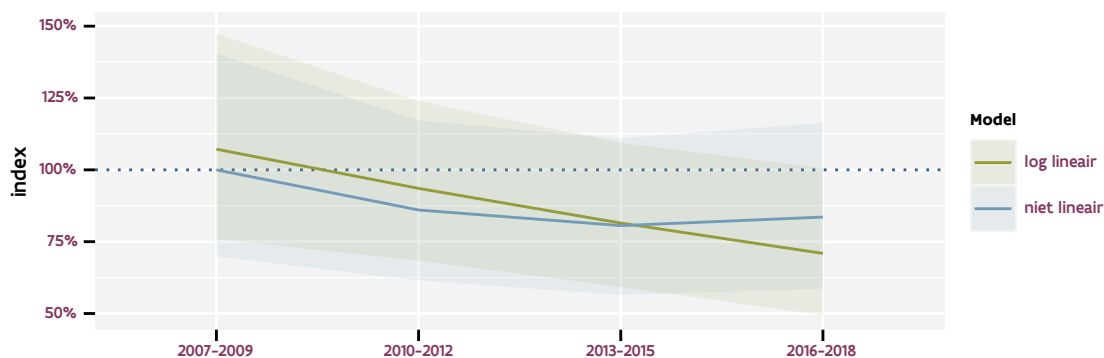
model	analyse	status
jaarlijks log-lineair	429bfd765a260abfd31 6b341aa12eafe2916765	f26b7f9b7ea806969759 a8548f4080c3fcd4a42b
jaarlijks niet-lineair	6f994835a6040e04faee b91dbcdc70deeb54b7	a2529cac08f0728c7999 32e9e41300354e8a4ca8

model	analyse	status
driejaarlijks log-lineair	c2db892f81f13a7d54ae	cde044a62f3ad5e0005e
	762a239481b514aeb7db	39f631efa28f5257c827
driejaarlijks niet-lineair	c5ab4e116f358f3acab7	edc64d049016f33c98bf
	6e14cfeac3de9fe40ec7	8b2aec61401289cdc28a

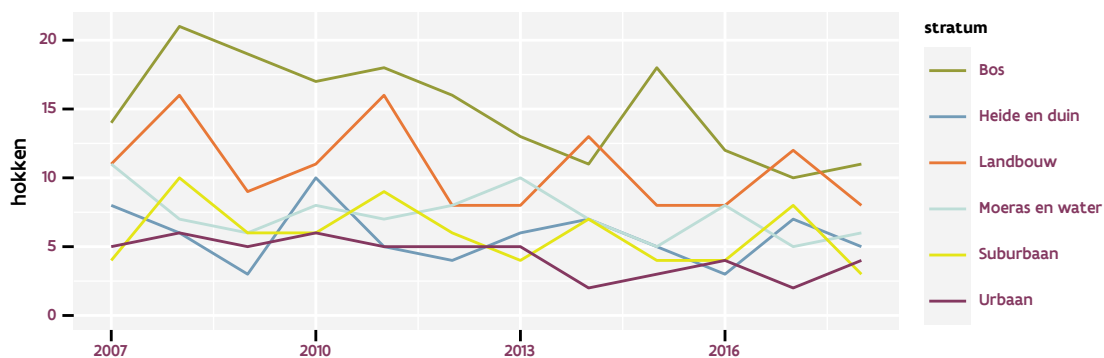
2.74 STAARTMEES



Figuur 2.217: Vlaamse indices voor Staartmees op basis van jaarlijkse data. De trend is niet lineair.



Figuur 2.218: Vlaamse indices voor Staartmees op basis van data geaggregeerd per driejaarlijkse cyclus. De trend is niet lineair.



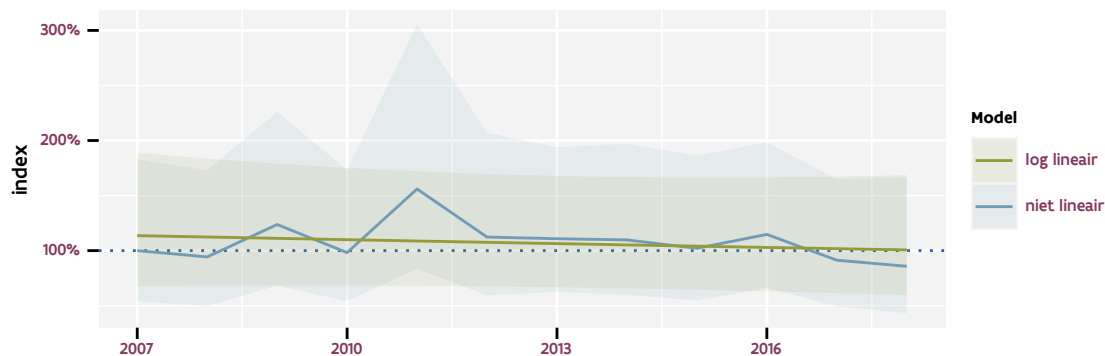
Figuur 2.219: Aantal onderzochte relevante hokken per jaar voor Staartmees

Tabel 2.92: Controlesommen van de modellen voor Staartmees.

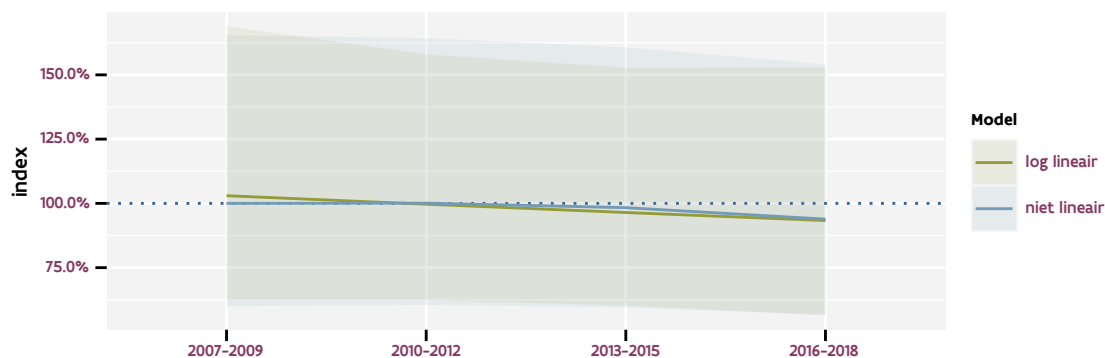
model	analyse	status
jaarlijks log-lineair	10d7486d2faf3299a7ed 0a033690ab91af825474	39aea808c82536a5d1eb 6611d06e1436afe8e39b
jaarlijks niet-lineair	05686bf4e88484401cad dc64b6c04c50ebcca998	afe8500137dd7d38c591 3133510885d5fcbbe388

model	analyse	status
driejaarlijks log-lineair	bb5b50f9f1abfa824dce 4fb737a89aeb9dfbcb14	7956cd881f71cf49d75c 3aae700dd9eb9827f23a
driejaarlijks niet-lineair	c2f47e5fe50bb05c755f ca53c4f18253e2f1728c	8dfbdcafd2141d73ebc9 9a422076088fe044c198

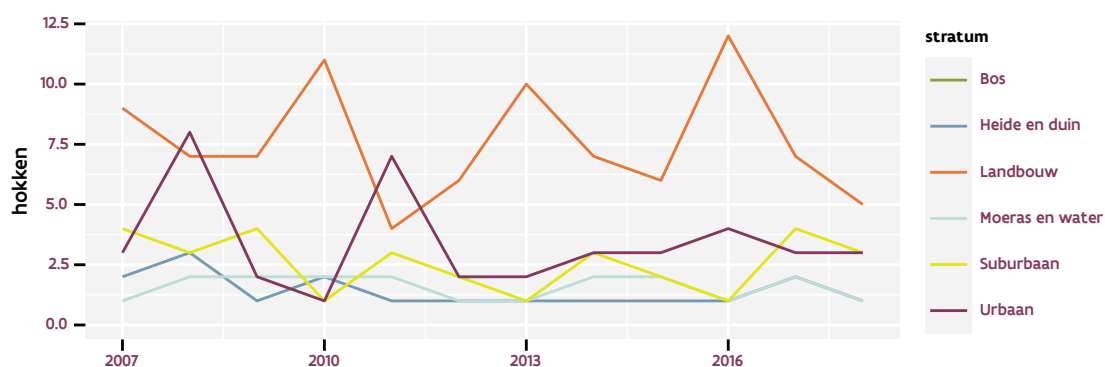
2.75 STADSDUIF



Figuur 2.220: Vlaamse indices voor Stadsduif op basis van jaarlijkse data. De trend is niet lineair.



Figuur 2.221: Vlaamse indices voor Stadsduif op basis van data geaggregeerd per driejaarlijkse cyclus. De trend is log-lineair.



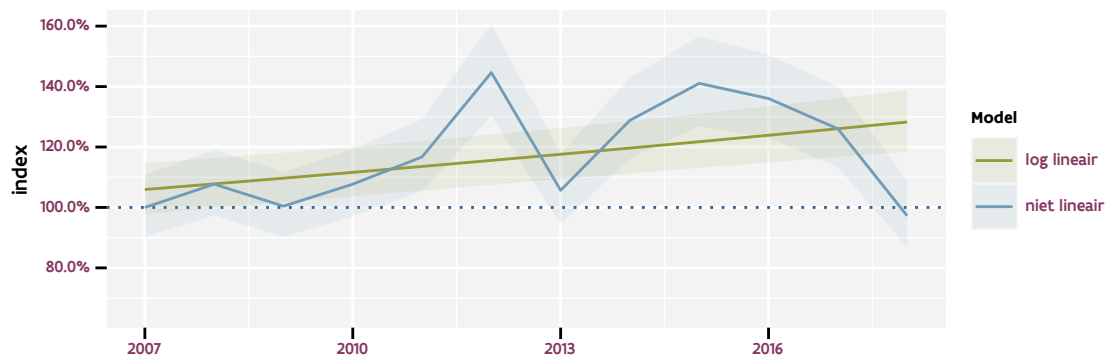
Figuur 2.222: Aantal onderzochte relevante hokken per jaar voor Stadsduif

Tabel 2.93: Controlesommen van de modellen voor Stadsduif.

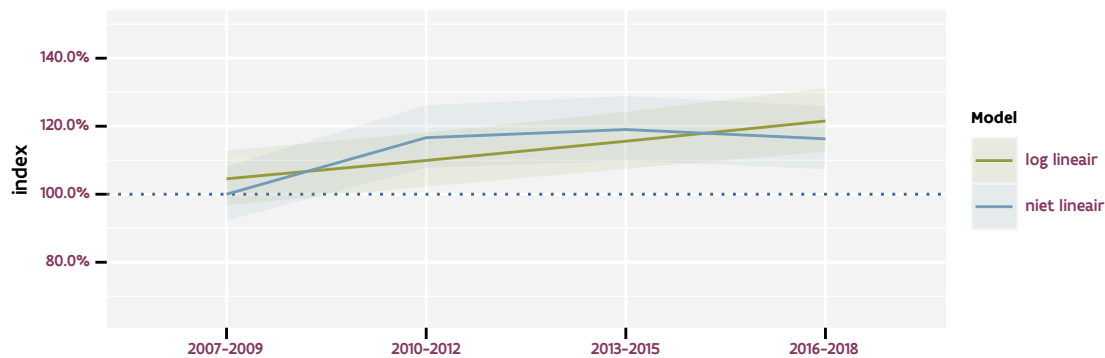
model	analyse	status
jaarlijks log-lineair	b59eae0c2d6280bdb505 4ee856cff50bc22846b3	e2c8852f644f60d959a4 fd199ccda58a09793351
jaarlijks niet-lineair	ae61459511ecbf455b53 82320d4a5ba051020d2b	e719430b179ea4065eec 8f56e3ee331c09bf28ad

model	analyse	status
driejaarlijks log-lineair	a4dfe7a8e421596458eb 17102462cdf29d4719d0	82f1f5b005bc5daf07ff 62facb93fa0cd6ecc129
driejaarlijks niet-lineair	b90e320247070ea16175 869039b82ce67467a71c	873997a6fe05129080c4 be7051d7669ebd8065d7

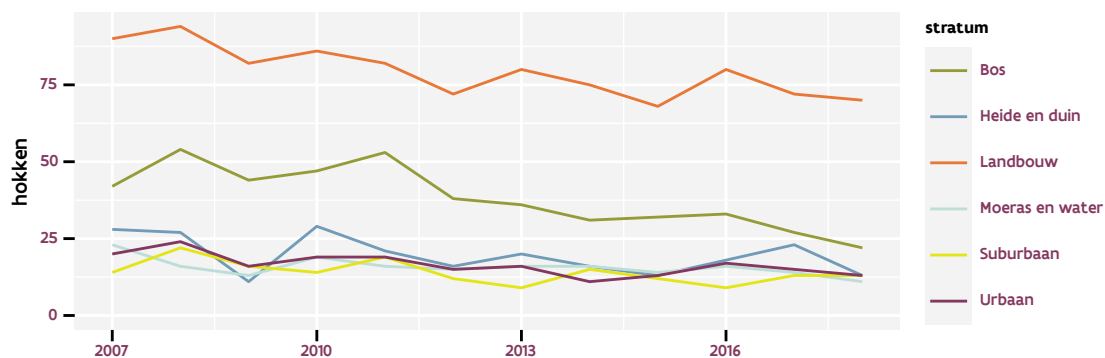
2.76 TJIFTJAF



Figuur 2.223: Vlaamse indices voor Tjiftjaf op basis van jaarlijkse data. De trend is niet lineair.



Figuur 2.224: Vlaamse indices voor Tjiftjaf op basis van data geaggregeerd per driejaarlijkse cyclus. De trend is niet lineair.



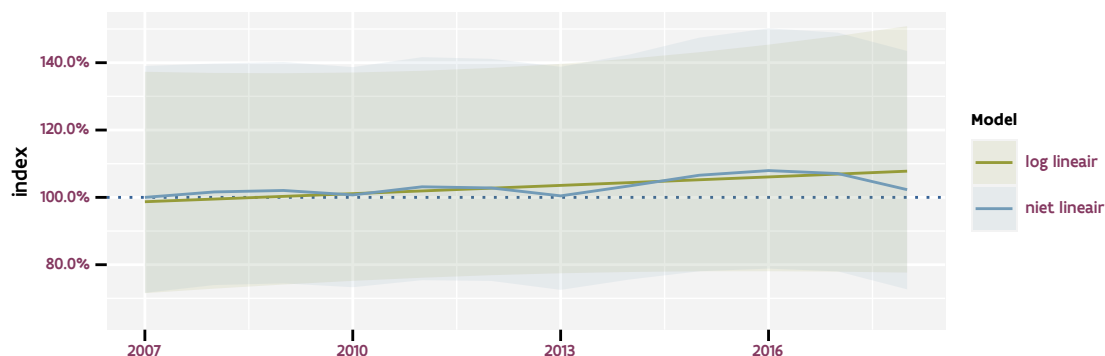
Figuur 2.225: Aantal onderzochte relevante hokken per jaar voor Tjiftjaf

Tabel 2.94: Controlesommen van de modellen voor Tjiftjaf.

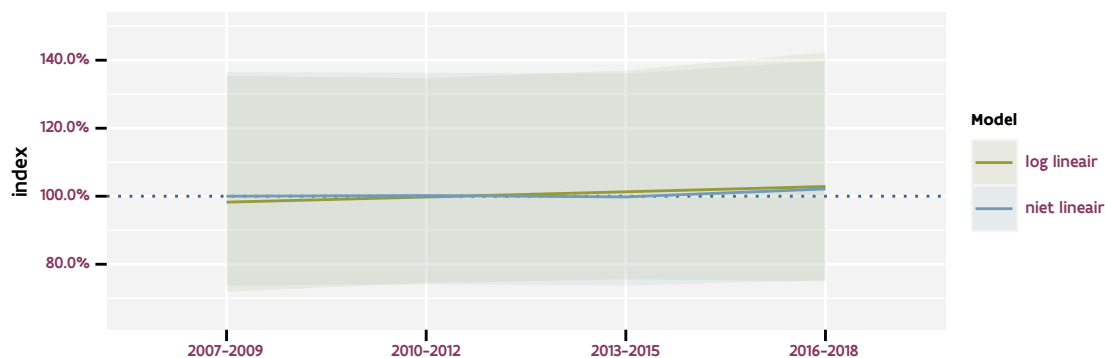
model	analyse	status
jaarlijks log-lineair	1d74c3fcffb59a42e975	a39b3ffe8b6da0a59649
	34967ccb5a342feb82e2	f9ffbbb38777eda60ee8
jaarlijks niet-lineair	21edd7f6b055f10bb3ef	924cf9d81fb3691e6bfd
	b1c78b810f7b6d724e3c	b7fd1acfd8d99dec7c2

model	analyse	status
driejaarlijks log-lineair	7c3dc934f8082407e754 7bfd9f13b2dff82c3ff8	75a095c4eb26ad90e2d5 5bf37af1ecef8dae962f
driejaarlijks niet-lineair	9a38d90302722aa5641d e9a3e552323d596300f5	9954bcec450d53834884 49ac84b7600d9c722e1c

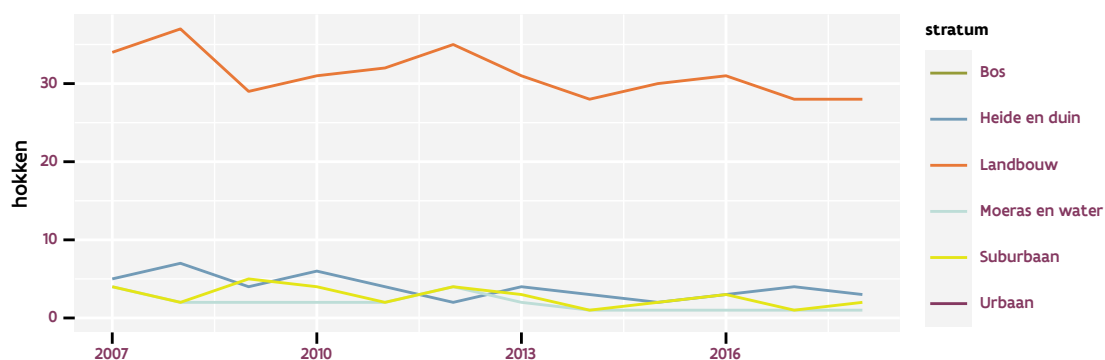
2.77 TORENVALK



Figuur 2.226: Vlaamse indices voor Torenvalk op basis van jaarlijkse data. De trend is mogelijk niet-lineair.



Figuur 2.227: Vlaamse indices voor Torenvalk op basis van data geaggregeerd per driejaarlijkse cyclus. De trend is mogelijk niet-lineair.

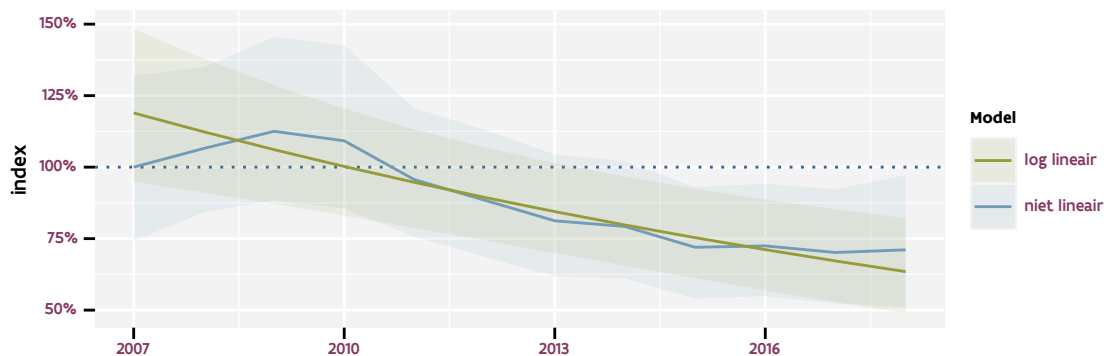


Figuur 2.228: Aantal onderzochte relevante hokken per jaar voor Torenvalk

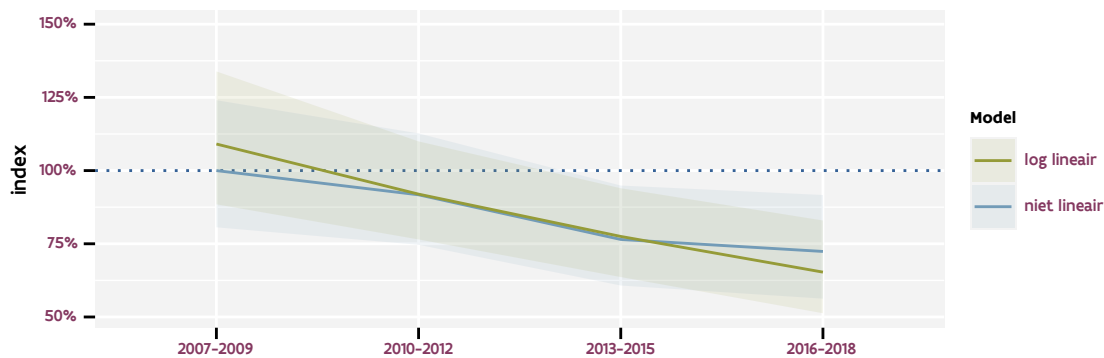
Tabel 2.95: Controlesommen van de modellen voor Torenvalk.

model	analyse	status
jaarlijks log-lineair	c727e17629cc2825da03	b92d04343f255d7f4f49
	a2e808c86ad42f858ec7	c363e40b88f514138dc2
jaarlijks niet-lineair	e5130d495d5b31b50529	59671920dc8899b3abdd
	ab8a3cd1961d47427ef8	601a068b8a273f46e7ae

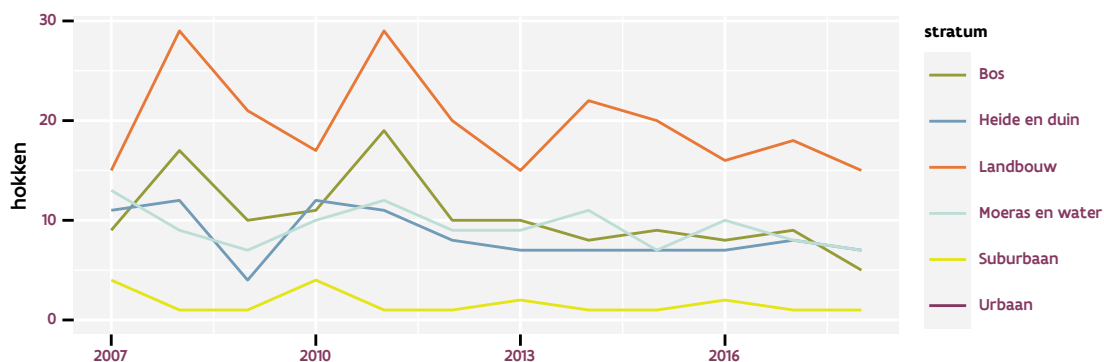
2.78 TUINFLUITER



Figuur 2.229: Vlaamse indices voor Tuinfluiter op basis van jaarlijkse data. De trend is niet lineair.



Figuur 2.230: Vlaamse indices voor Tuinfluiter op basis van data geaggregeerd per driejaarlijkse cyclus. De trend is log-lineair.



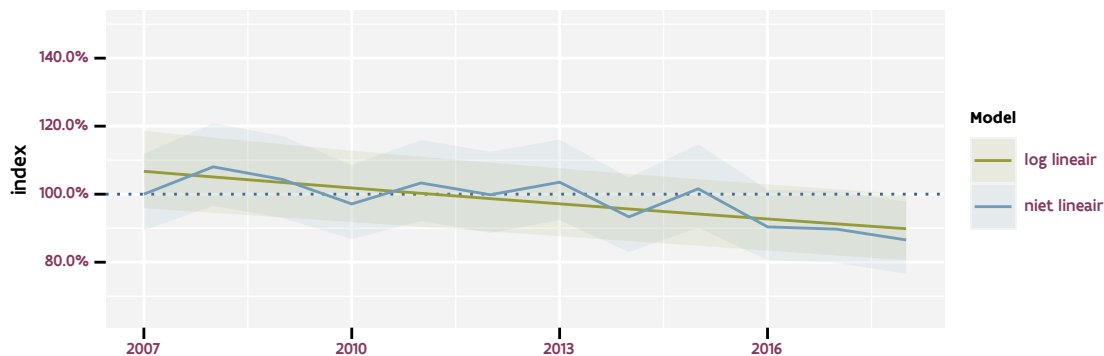
Figuur 2.231: Aantal onderzochte relevante hokken per jaar voor Tuinfluiter

Tabel 2.96: Controlesommen van de modellen voor Tuinfluiter.

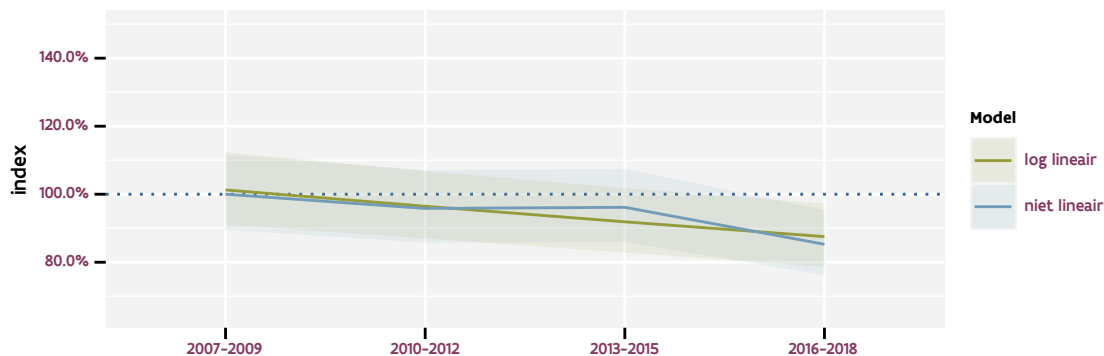
model	analyse	status
jaarlijks log-lineair	8d9b0ceac26ca1c29dd3	6483b81fc2b7422167b9
	feb7e606e9fcad952805	b5e87495e1ba3a86f0cd
jaarlijks niet-lineair	44b6c1caf58307848fdc	cf986dbbe8914201a9f4
	9655455dd51972a9f3fc	7003f4fff19b67407b38

model	analyse	status
driejaarlijks log-lineair	74aa88de87ebde47eeac b57eec22ec011ca77586	0368d3263d73edc19926 9c198c0670856da3b37d
driejaarlijks niet-lineair	57217083fd8c49c29af7 17217e086ee3d9a8a8f6	019ca6cbb9c793601934 2f2ed1af06125e095319

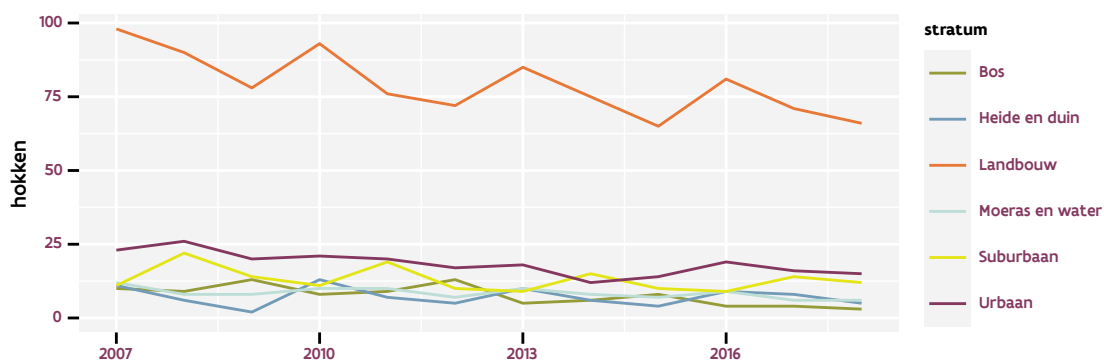
2.79 TURKSE TORTEL



Figuur 2.232: Vlaamse indices voor Turkse tortel op basis van jaarlijkse data. De trend is niet lineair.



Figuur 2.233: Vlaamse indices voor Turkse tortel op basis van data geaggregeerd per driejaarlijkse cyclus. De trend is log-lineair.



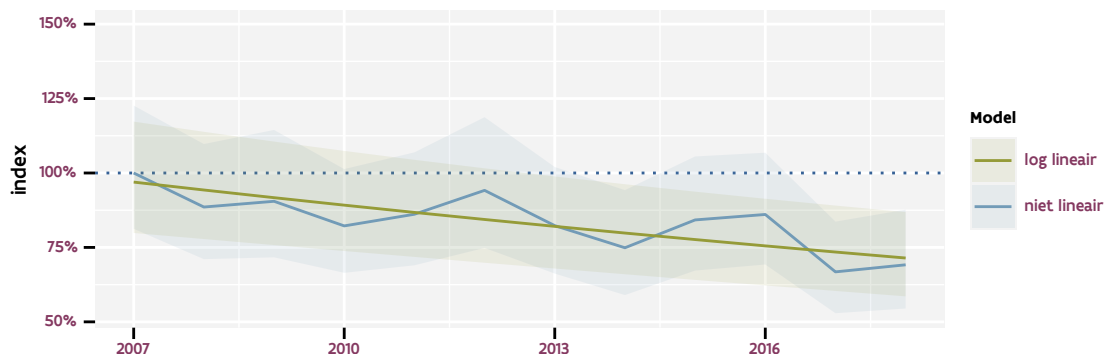
Figuur 2.234: Aantal onderzochte relevante hokken per jaar voor Turkse tortel

Tabel 2.97: Controlesommen van de modellen voor Turkse tortel.

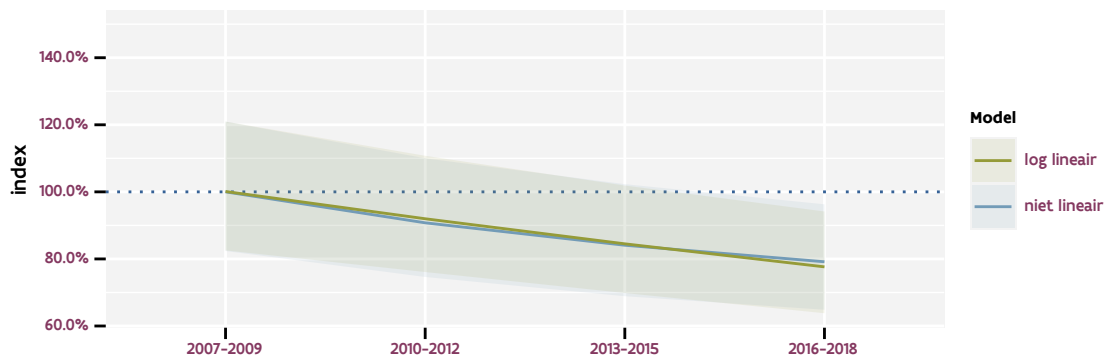
model	analyse	status
jaarlijks log-lineair	135fb1a84cef9f3f9a04	a63f5ae55e52975b5f3d
	bba535692f7d7a60a0e9	763e76c191b8cafe733f
jaarlijks niet-lineair	f67ee821126e0e1fa5a5	c2d004a3eb8c4d948267
	fa6db01e817fabf75c28	a2a176b0900e37216a01

model	analyse	status
driejaarlijks log-lineair	0a0de8191401227aa753 25fbe4b828bbf6e974fe	13bf2adad9ead4abcd6c fb71eaa7fba5d7cbe4a3
driejaarlijks niet-lineair	44c0982665e4311e3791 f4fe8c12e8bb0cc4ee5e	b1676dba309a42dd9ff8 b9bff8d389cb5cb5e4f6

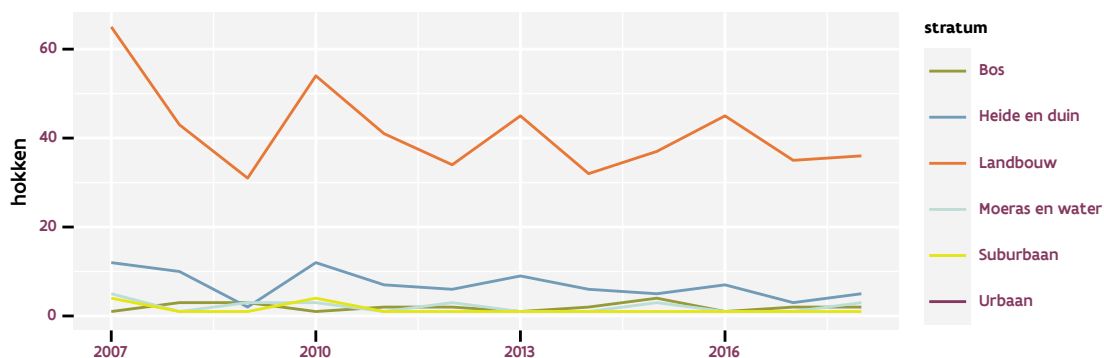
2.80 VELDLEEUWERIK



Figuur 2.235: Vlaamse indices voor Veldleeuwerik op basis van jaarlijkse data. De trend is niet lineair.



Figuur 2.236: Vlaamse indices voor Veldleeuwerik op basis van data geaggregeerd per driejaarlijkse cyclus. De trend is log-lineair.



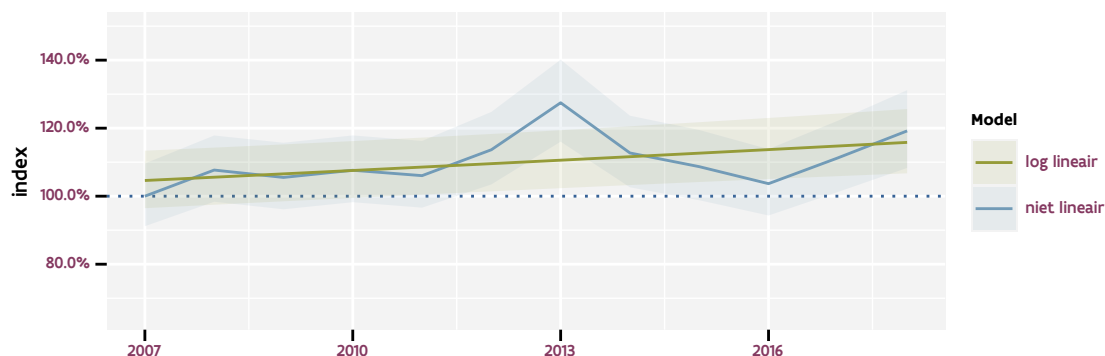
Figuur 2.237: Aantal onderzochte relevante hokken per jaar voor Veldleeuwerik

Tabel 2.98: Controlesommen van de modellen voor Veldleeuwerik.

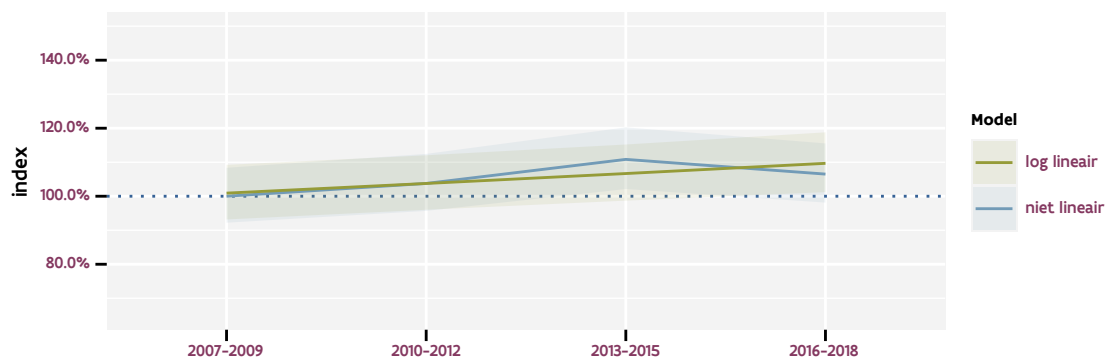
model	analyse	status
jaarlijks log-lineair	c581f9cbf9fea702c614	02c6c110f723da83d6dd
	e587206b84acdb191139	553ef5ae6d0d48983b21
jaarlijks niet-lineair	c05e736aaffe774239e2	6f5589f806972d1399ef
	a50267f82be5280f2d0b	245ef69fa2260d13eedb

model	analyse	status
driejaarlijks log-lineair	8850e256867c235fce72 665423ada411ac8d15c5	02097a2d27ca3de1d1d6 be49aa4e427acd0d04cb
driejaarlijks niet-lineair	42e628aa187dd4e15a9c 6179a72e2d99ced3cc1b	7e8ccf39b6e0166035d2 7b2e059feaff150c3600

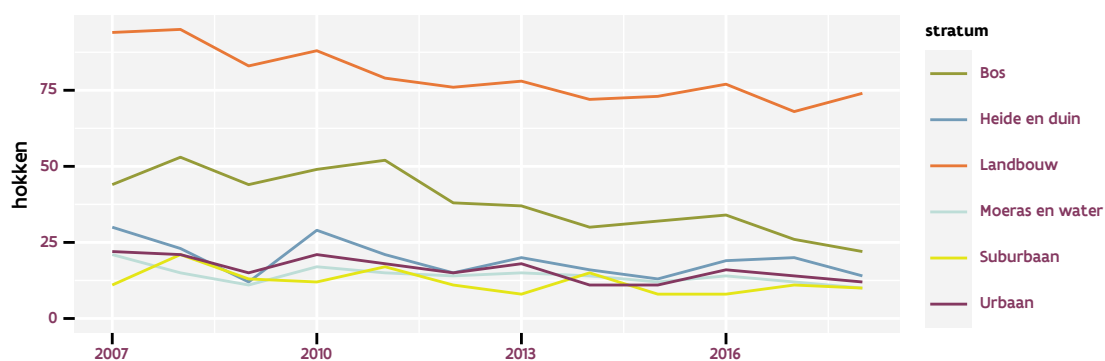
2.81 VINK



Figuur 2.238: Vlaamse indices voor Vink op basis van jaarlijkse data. De trend is niet lineair.



Figuur 2.239: Vlaamse indices voor Vink op basis van data geaggregeerd per driejaarlijkse cyclus. De trend is niet lineair.



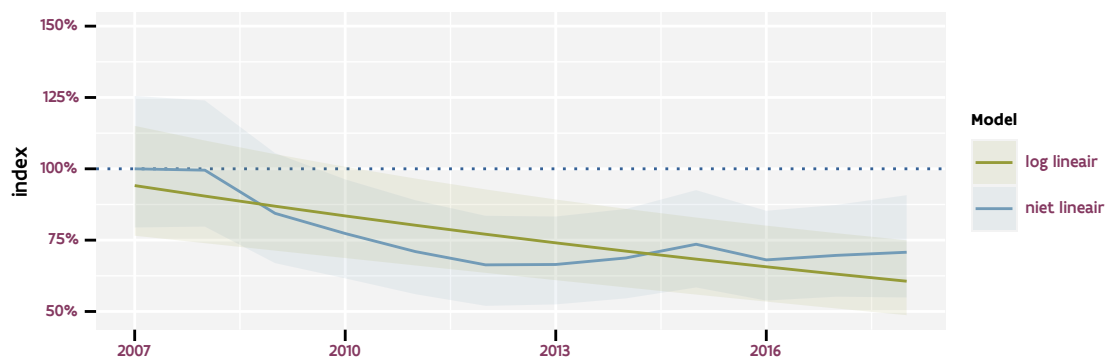
Figuur 2.240: Aantal onderzochte relevante hokken per jaar voor Vink

Tabel 2.99: Controlesommen van de modellen voor Vink.

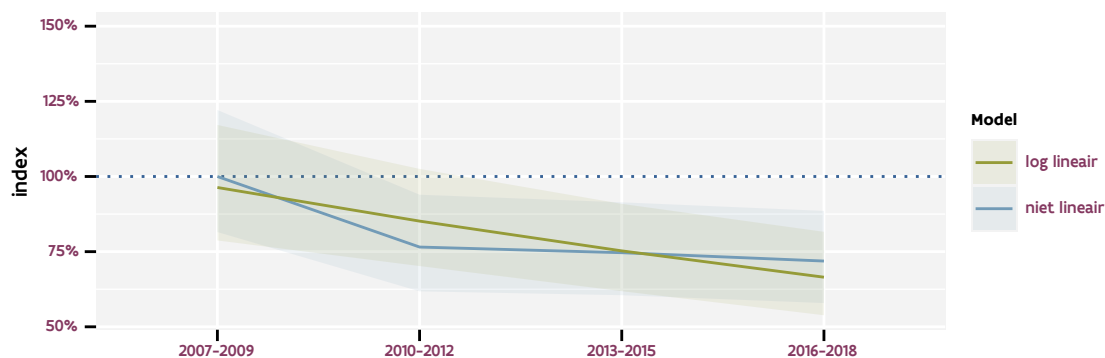
model	analyse	status
jaarlijks log-lineair	ee36267520e4b5e44055 9106b7aa4f033157ac60	2fa79ae90ec3bc876eef 080c70674c5635f7cbe5
jaarlijks niet-lineair	e4cdb8b1ff00526f0416 ae5acd26b540091ff07b	a084781146b45a28a705 b8f59775a1194e6cb888

model	analyse	status
driejaarlijks log-lineair	b802cdaeb037a8e242c1	53113793825ff7235754
	86326e2d330725ac5b61	9a0aa67a94089ba6931f
driejaarlijks niet-lineair	25b9192658340ad86e09	551a5d45a8ca623854ba
	3565676a3c370baa8f37	654130a488d476f31e0c

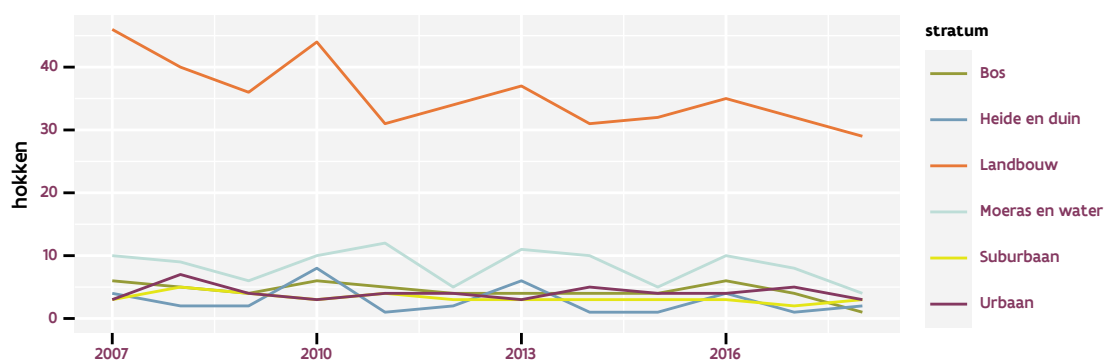
2.82 WATERHOEN



Figuur 2.241: Vlaamse indices voor Waterhoen op basis van jaarlijkse data. De trend is niet lineair.



Figuur 2.242: Vlaamse indices voor Waterhoen op basis van data geaggregeerd per driejaarlijkse cyclus. De trend is niet lineair.



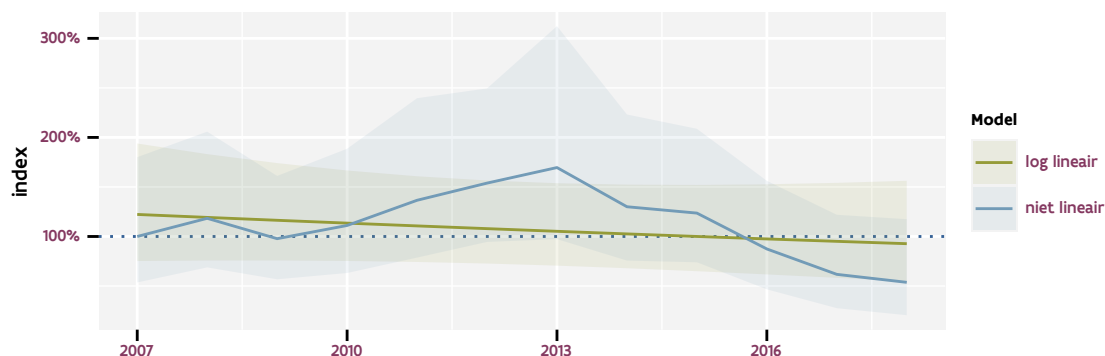
Figuur 2.243: Aantal onderzochte relevante hokken per jaar voor Waterhoen

Tabel 2.100: Controlesommen van de modellen voor Waterhoen.

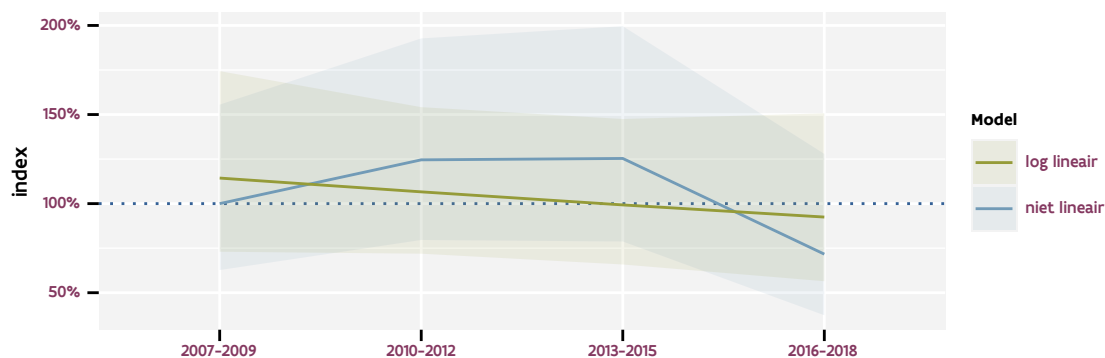
model	analyse	status
jaarlijks log-lineair	b269985b0bc3e785e20 da8477e60e958d6095ca	1803e5d6429a09a4a7d1 ac6c1bbcba046022267a
jaarlijks niet-lineair	ac704236230a111f2d39 290b16d8add67ff8a9c6	7e164b61321b43f3339a 7856ee5f6b63271924b4

model	analyse	status
driejaarlijks log-lineair	ee6d2dc9dd349db21feb e20598bb08f7cc18e24d	044f01911e16371cd050 e3e4bcf63cf25bc5e956
driejaarlijks niet-lineair	bbc847cf370030d8fec c725167e13c9bced34e6	ce60ce086c20fe47d671 79214db7d0ec6de820b8

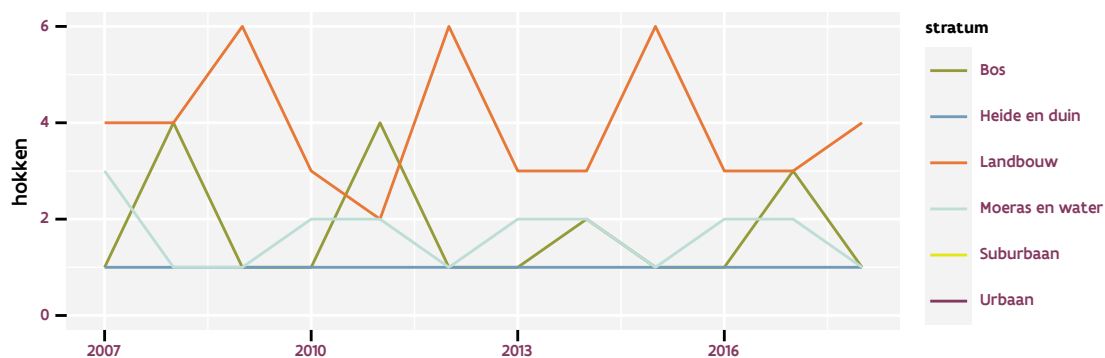
2.83 WIELEWAAL



Figuur 2.244: Vlaamse indices voor Wielewaal op basis van jaarlijkse data. De trend is niet lineair.



Figuur 2.245: Vlaamse indices voor Wielewaal op basis van data geaggregeerd per driejaarlijkse cyclus. De trend is niet lineair.



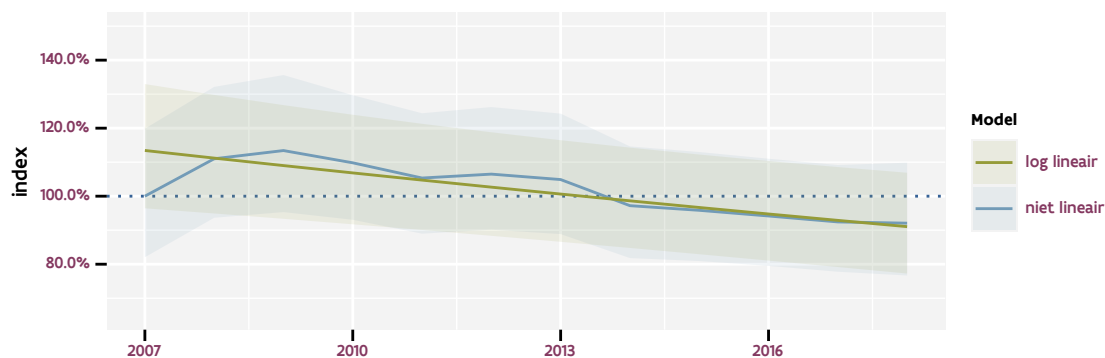
Figuur 2.246: Aantal onderzochte relevante hokken per jaar voor Wielewaal

Tabel 2.101: Controlesommen van de modellen voor Wielewaal.

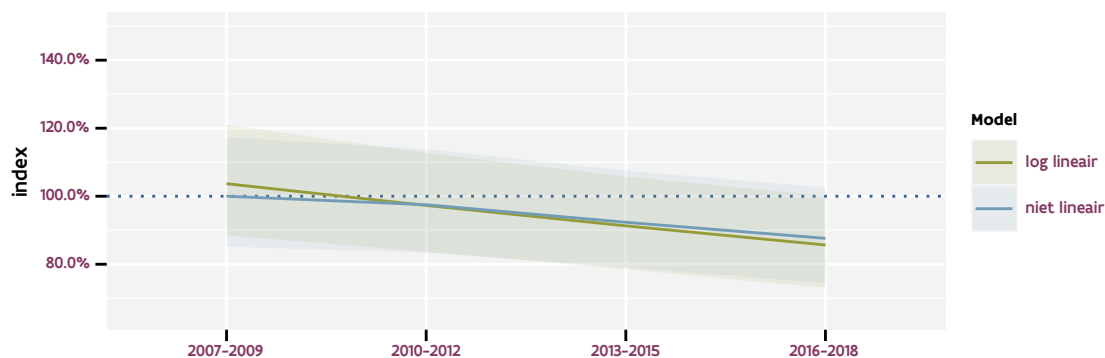
model	analyse	status
jaarlijks log-lineair	5a8a973b477ddd173309	90430d0069f26d63476c
	60712341bf92321f9b6d	804b78452ffb6840c288
jaarlijks niet-lineair	f7029efc1c5f7d2b49c2	2ec910dacee597f40320
	ff2b4fea8e87a4d3354b	dafdffe52d984251591b

model	analyse	status
driejaarlijks log-lineair	d8ad9c8b5175766ac72c 24c1f9fdc350e62b9b43	7263ca2df545f7faac2e 51126f29956eae17d752
driejaarlijks niet-lineair	1f62678bf872fff29921 1d17439ad7015da39cc9	6e12f7dc60412a55dbc7 ea618391a00e9865be92

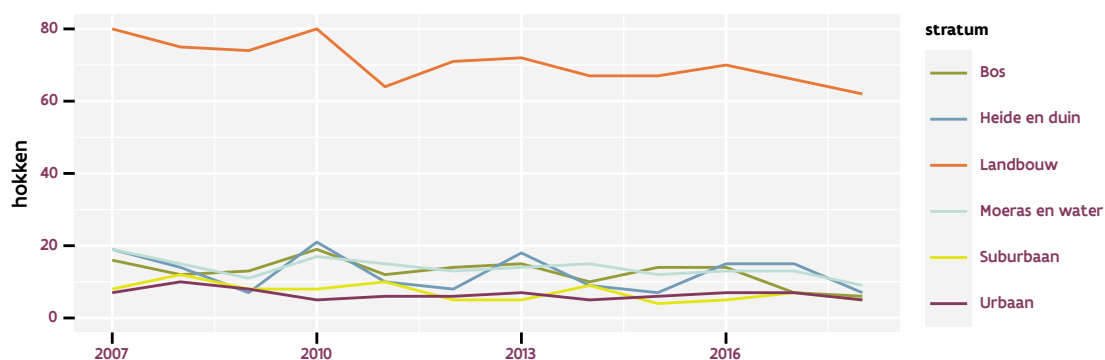
2.84 WILDE EEND



Figuur 2.247: Vlaamse indices voor Wilde eend op basis van jaarlijkse data. De trend is niet lineair.



Figuur 2.248: Vlaamse indices voor Wilde eend op basis van data geaggregeerd per driejaarlijkse cyclus. De trend is mogelijk niet-lineair.



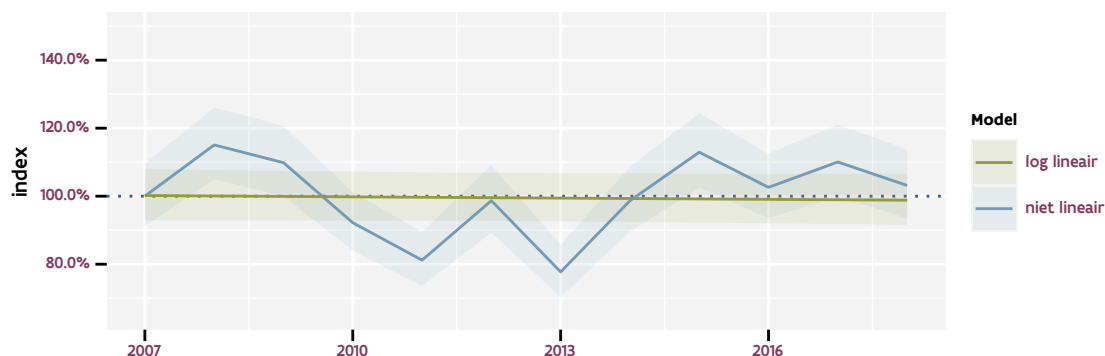
Figuur 2.249: Aantal onderzochte relevante hokken per jaar voor Wilde eend

Tabel 2.102: Controlesommen van de modellen voor Wilde eend.

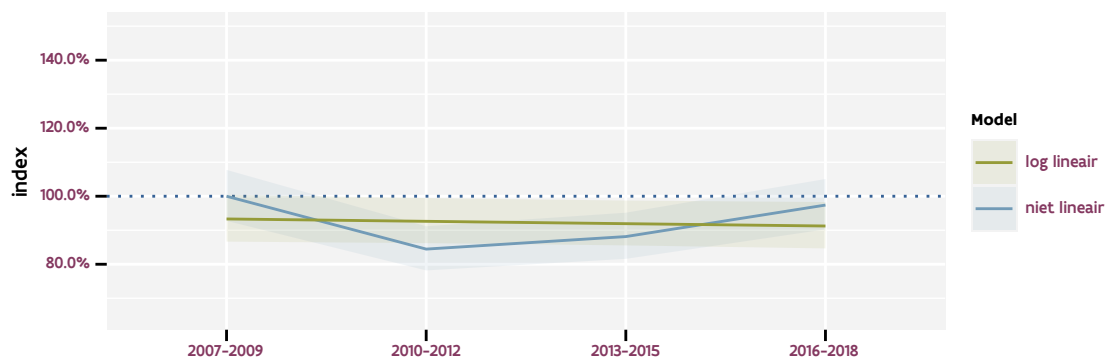
model	analyse	status
jaarlijks log-lineair	e8ef465593d415e793c8	1f99a0e9cc83eff25a1a
	dba6abdfefed3ffa3a45	0badf7b3d35c4f505810
jaarlijks niet-lineair	c48473159bb8defc4b31	54520e2e58d07725a469
	1cfbad4d3b14db7f4b81	672fb413001aff3c353f

model	analyse	status
driejaarlijks log-lineair	398bdc029653503f7e73	3bbd28ce39e78cbaf01e
	31c73f4206348f48178c	ca8dc512965de622f887
driejaarlijks niet-lineair	ed24e7cc524aaeb37709	64bcbd625dc6b7980e8b
	56fc77214af872699e31	67ec39c886ee20c72b63

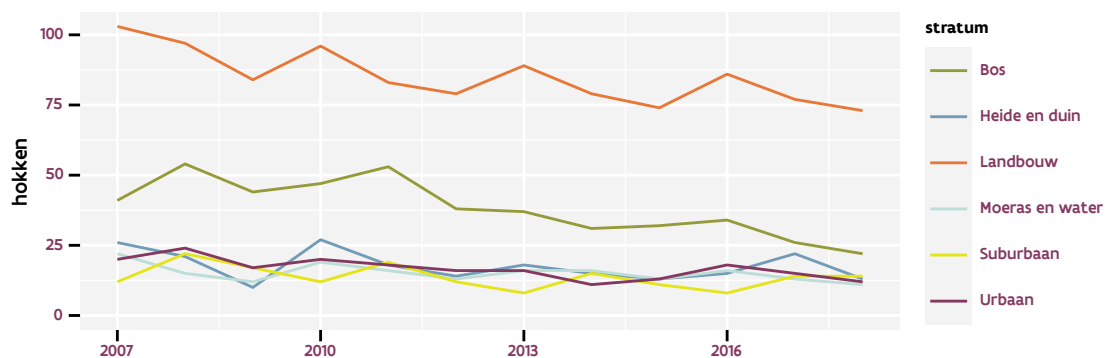
2.85 WINTERKONING



Figuur 2.250: Vlaamse indices voor Winterkoning op basis van jaarlijkse data. De trend is niet lineair.



Figuur 2.251: Vlaamse indices voor Winterkoning op basis van data geaggregeerd per driejaarlijkse cyclus. De trend is niet lineair.



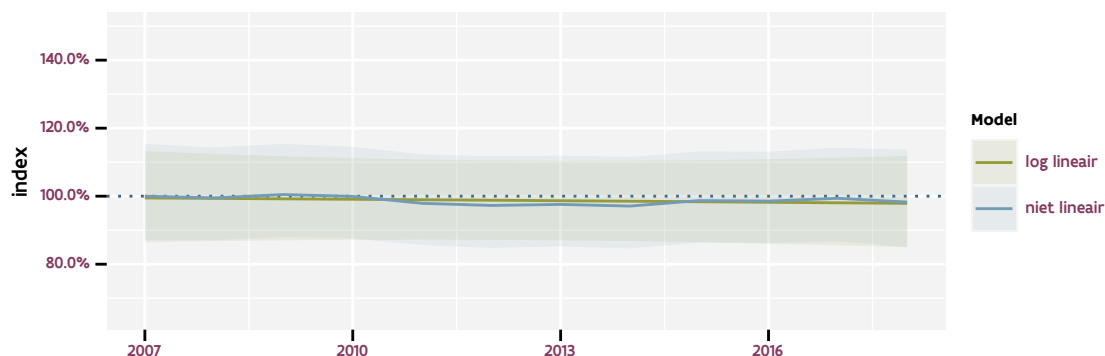
Figuur 2.252: Aantal onderzochte relevante hokken per jaar voor Winterkoning

Tabel 2.103: Controlesommen van de modellen voor Winterkoning.

model	analyse	status
jaarlijks log-lineair	77e56aba249c93b49a49	4c6949d6889d7077c5f5
	87d81e2e5b6e0a608bb3	d9ee10f742935b0f602c
jaarlijks niet-lineair	56fb94565edb72cae7c4	04c633d0bc91e45a053f
	e70c9174c502504b7303	c737d89ff784de08321c

model	analyse	status
driejaarlijks log-lineair	f03d0db0c18732111fa9 d1666a5c71c542d59151	e18f3f7301c794d1a4f0 05f08c93e8c571dc5129
driejaarlijks niet-lineair	cbddd36d06e1774760a2 aa0778b23d4bff3050fa	7b1e768dd407e055d7c5 0bf57b94e48261440a8f

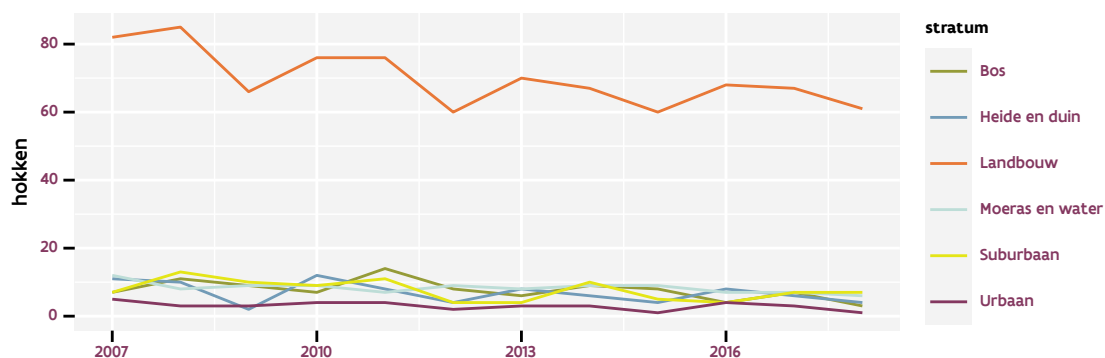
2.86 WITTE KWIKSTAART



Figuur 2.253: Vlaamse indices voor Witte kwikstaart op basis van jaarlijkse data. De trend is mogelijk niet-lineair.



Figuur 2.254: Vlaamse indices voor Witte kwikstaart op basis van data geaggregeerd per driejaarlijkse cyclus. De trend is log-lineair.



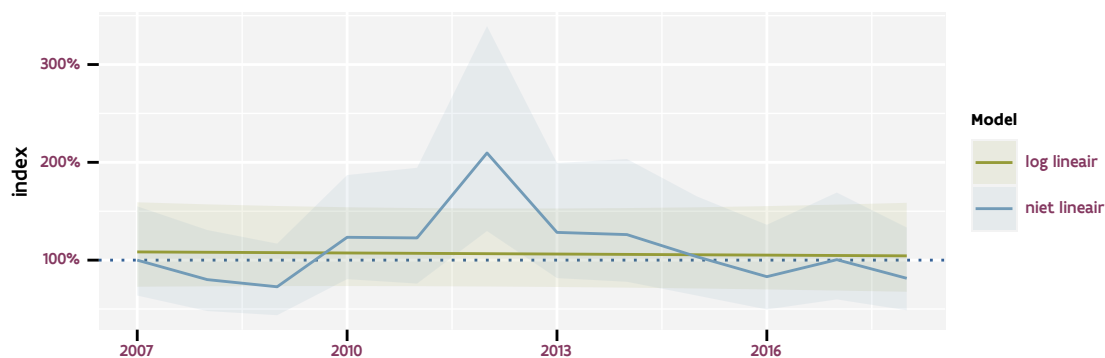
Figuur 2.255: Aantal onderzochte relevante hokken per jaar voor Witte kwikstaart

Tabel 2.104: Controlesommen van de modellen voor Witte kwikstaart.

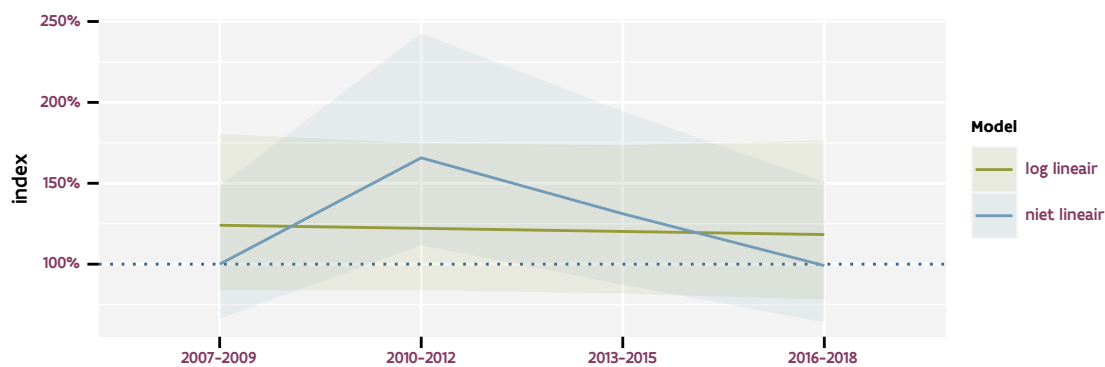
model	analyse	status
jaarlijks log-lineair	5b23f87d4a5c170e5125 a5d5111a344334f1387a	31f8f400e5c6b04284b9 6cde04072fdbbcc080f9

model	analyse	status
jaarlijks niet-lineair	b47ccaf6e2248b52de1d 1ab221ec4f6baeb4b1db	035efcd231c6d2b33229 10a02bcfb5e9814b2ee3
driejaarlijks log-lineair	40f9f55c51a82b79718e 9bf296d12daff4e3a1fd	399912a1c2ec289a690c 0d17e852f54ccab74a1f
driejaarlijks niet-lineair	657b7cef5867ead0dfd3 1e22edbed48e7739a00c	1562b1aedb2ded0a30c1 df18717a5c43404b2b5c

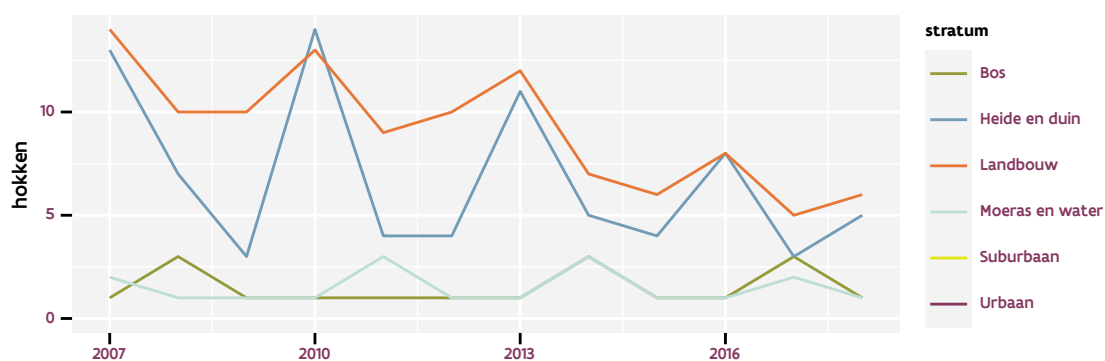
2.87 WULP



Figuur 2.256: Vlaamse indices voor Wulp op basis van jaarlijkse data. De trend is niet lineair.



Figuur 2.257: Vlaamse indices voor Wulp op basis van data geaggregeerd per driejaarlijkse cyclus. De trend is niet lineair.



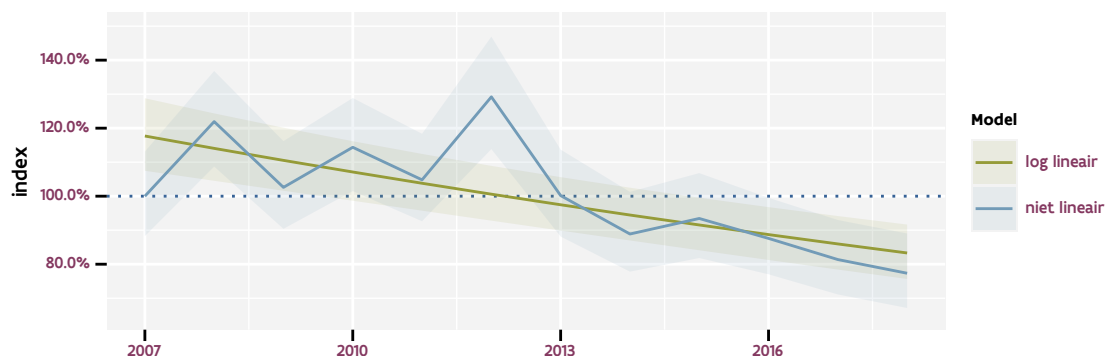
Figuur 2.258: Aantal onderzochte relevante hokken per jaar voor Wulp

Tabel 2.105: Controlesommen van de modellen voor Wulp.

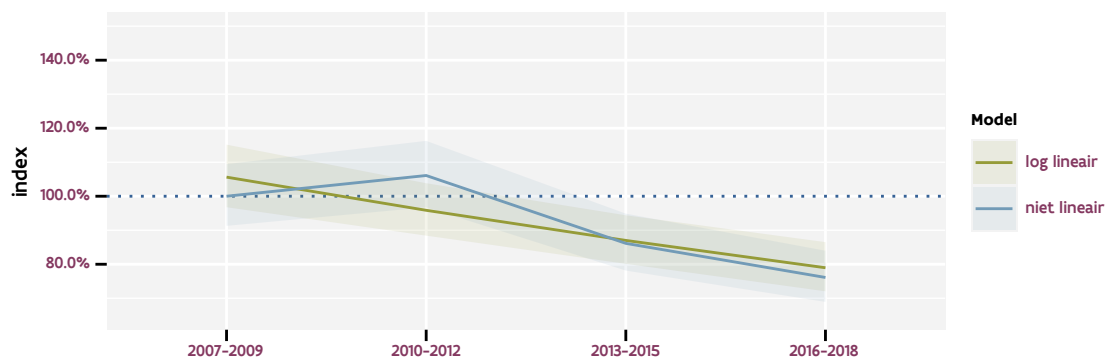
model	analyse	status
jaarlijks log-lineair	67809a32d6029b0e4add e3f03edc2d04402acc86	318c26c0a878906353ef 65464ff324bb8e5d76dd
jaarlijks niet-lineair	a2a0967664728262260c 94a3e3edb40d1cc184f6	e2e4899cd2eb95f9adaf 05060ebe4bfa1234c243

model	analyse	status
driejaarlijks log-lineair	3466d7f5a6fad5fd12fb 97ddebaca319fd4aca2c	df09574c869fc35fd86d 49df677581301a3eae3f
driejaarlijks niet-lineair	ba546a816070fbfcabee f549fd9e8da45d5219d4	49a714b7f3f882f5d2bc 3944840beda94dcf1fc9

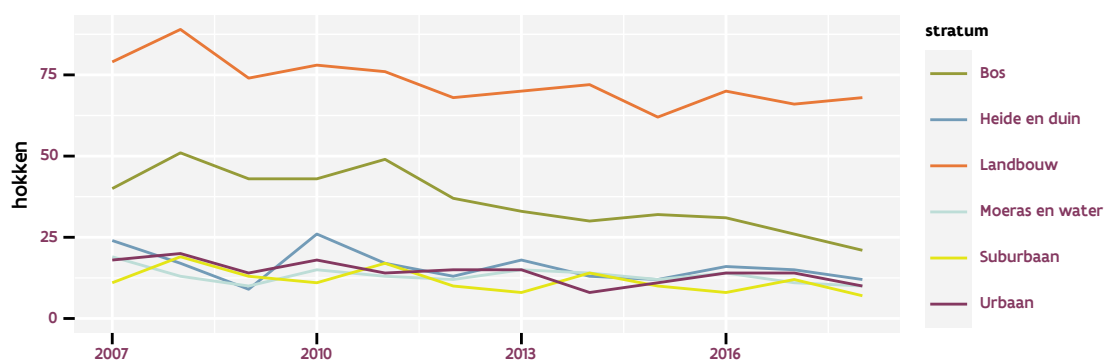
2.88 ZANGLIJSTER



Figuur 2.259: Vlaamse indices voor Zanglijster op basis van jaarlijkse data. De trend is niet lineair.



Figuur 2.260: Vlaamse indices voor Zanglijster op basis van data geaggregeerd per driejaarlijkse cyclus. De trend is niet lineair.



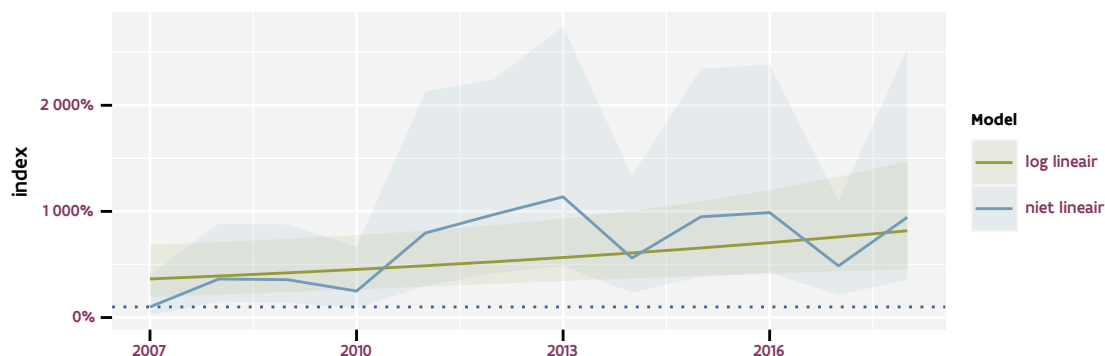
Figuur 2.261: Aantal onderzochte relevante hokken per jaar voor Zanglijster

Tabel 2.106: Controlesommen van de modellen voor Zanglijster.

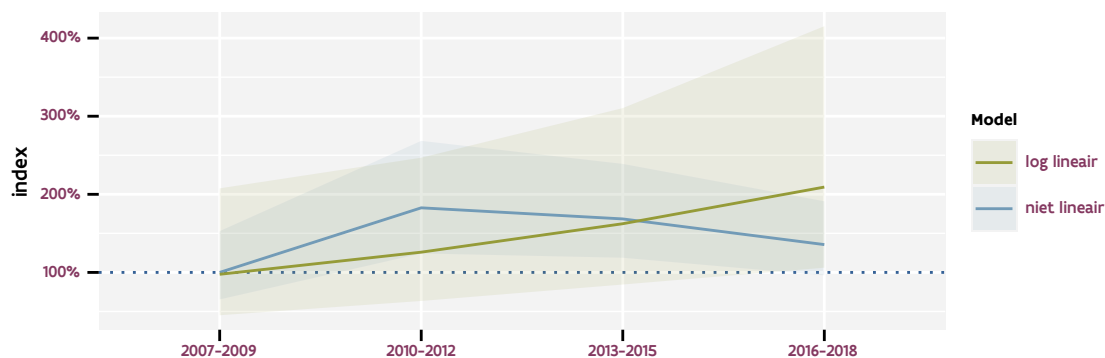
model	analyse	status
jaarlijks log-lineair	0bce37b0016e6b467978	eea981d4e1de22ae773a
	ed91d222f91be208623c	e9a60b9762886f894a6f
jaarlijks niet-lineair	87f198074c5b9f65c885	9292c7647fce748c52a4
	b65518cb3bb24c030a70	895596b3b3c8d3ba234d

model	analyse	status
driejaarlijks log-lineair	694e1cf3ce0d2531ca3f c6b293b210233ab146a2	a81a492c3011876574d0 3755fe2b76d75c5767c1
driejaarlijks niet-lineair	e387ad77806434e1c9e6 b3044a2d93991677fb02	e105c45cb1b0020de6cc 4c75173b44dbf563aa40

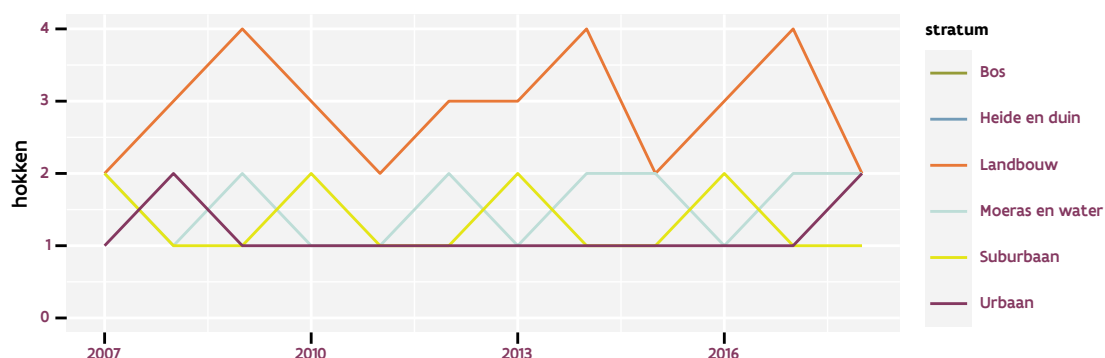
2.89 ZILVERMEEUW



Figuur 2.262: Vlaamse indices voor Zilvermeeuw op basis van jaarlijkse data. De trend is niet lineair.



Figuur 2.263: Vlaamse indices voor Zilvermeeuw op basis van data geaggregeerd per driejaarlijkse cyclus. De trend is log-lineair.



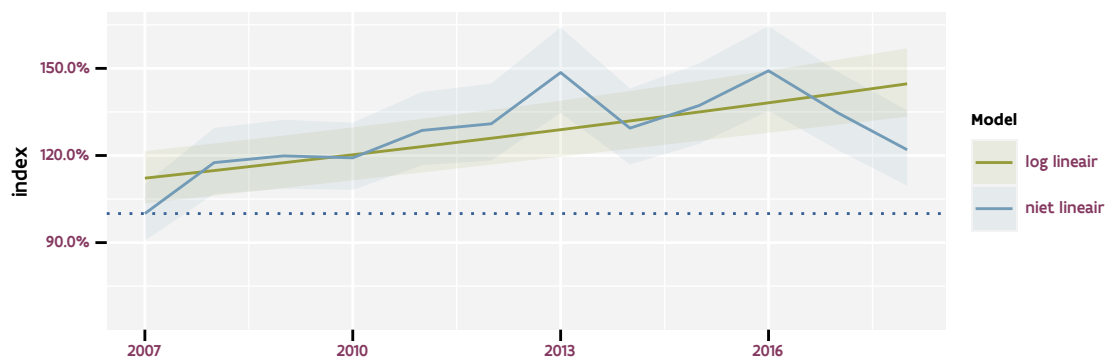
Figuur 2.264: Aantal onderzochte relevante hokken per jaar voor Zilvermeeuw

Tabel 2.107: Controlesommen van de modellen voor Zilvermeeuw.

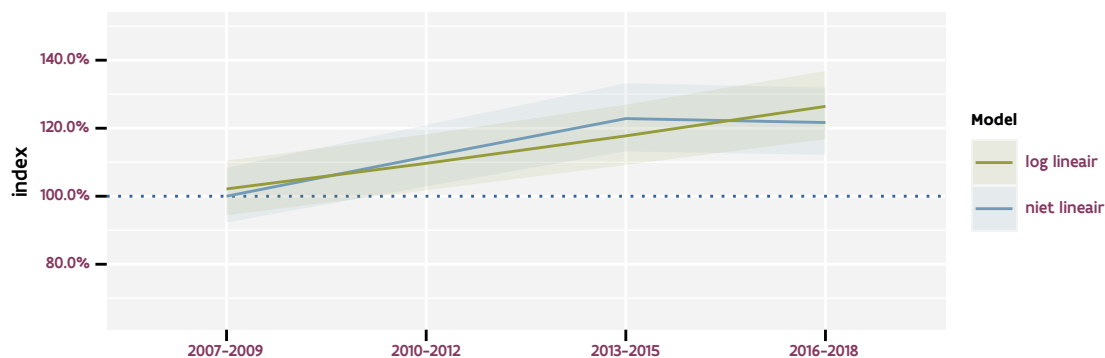
model	analyse	status
jaarlijks log-lineair	6e4a704e00c7dd509854	9d425353526673707a78
	031aecb298ae763d6f27	c6cd0e011d677af048ca
jaarlijks niet-lineair	cf8904debcd0b270c9d4	98fc7d72b861977ece72
	20250e456b34a6ca84ad	b7bdc17a0549f9ffe22f

model	analyse	status
driejaarlijks log-lineair	d023fea395d80cb8d03e 5bc154c0908d6784398c	20df4b4144c16962bf64 e7cde15fab2ad40aa014
driejaarlijks niet-lineair	8c4a8b5b6748ae4799de 12149076efcce9d4ccc8	2aebc43528666d4ea8d9 a157f6ba914510e05b57

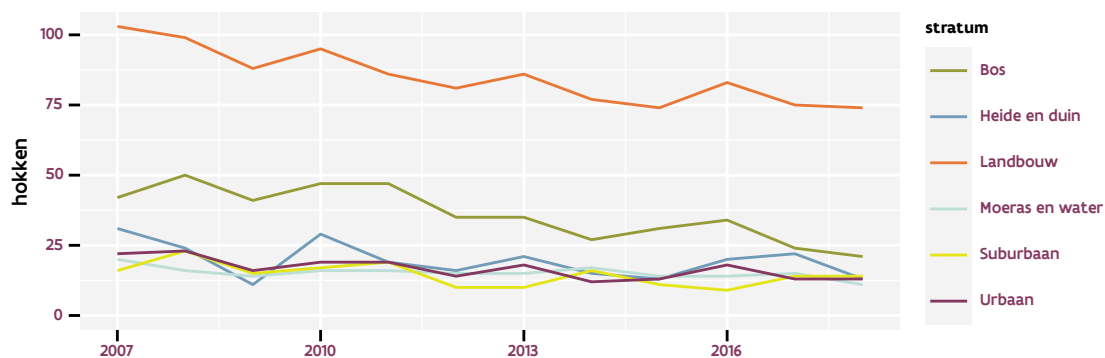
2.90 ZWARTE KRAAI



Figuur 2.265: Vlaamse indices voor Zwarte kraai op basis van jaarlijkse data. De trend is niet lineair.



Figuur 2.266: Vlaamse indices voor Zwarte kraai op basis van data geaggregeerd per driejaarlijkse cyclus. De trend is niet lineair.



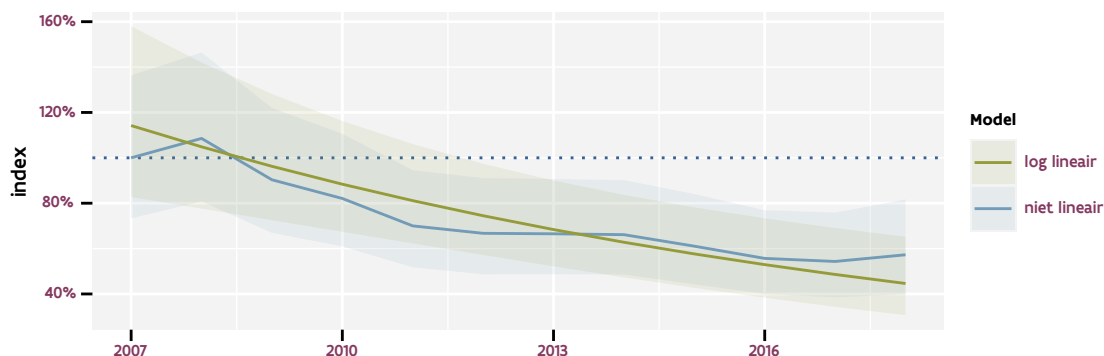
Figuur 2.267: Aantal onderzochte relevante hokken per jaar voor Zwarte kraai

Tabel 2.108: Controlesommen van de modellen voor Zwarte kraai.

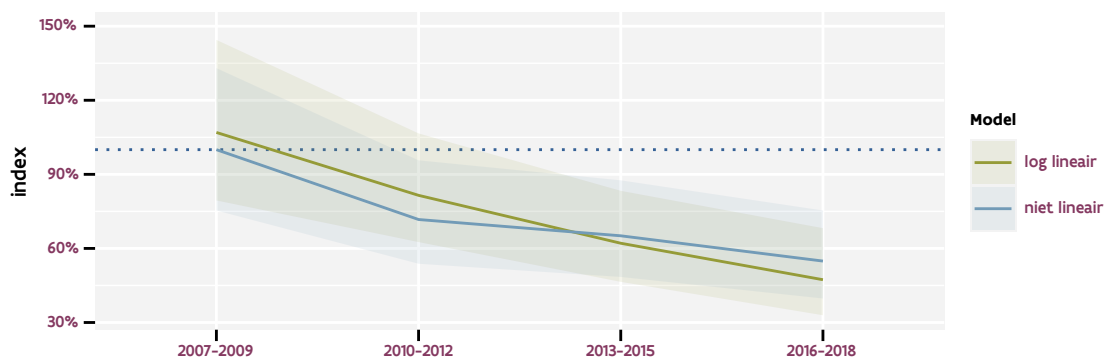
model	analyse	status
jaarlijks log-lineair	26f04bf92dedb548815c 8bccdfcc7c4daff5a6e3	d0362ea818983e290bb7 bdf7bebff57964ae8251
jaarlijks niet-lineair	e4bd46204754a28fa70d fa5f558e42037e5f7998	82f6eab458e396063d49 1120a369fb5459ab0bb9

model	analyse	status
driejaarlijks log-lineair	8b3239e6da7953a57f33 b77b7d71de4c4129be62	e845bab0fe0388d8fd8a 827fb1587f81f5529afa
driejaarlijks niet-lineair	53890362b45fa4ae2934 8abf3ae3e87d8cc18c9e	51c9610e746b6a112803 ffe0fb9d28b571565e85

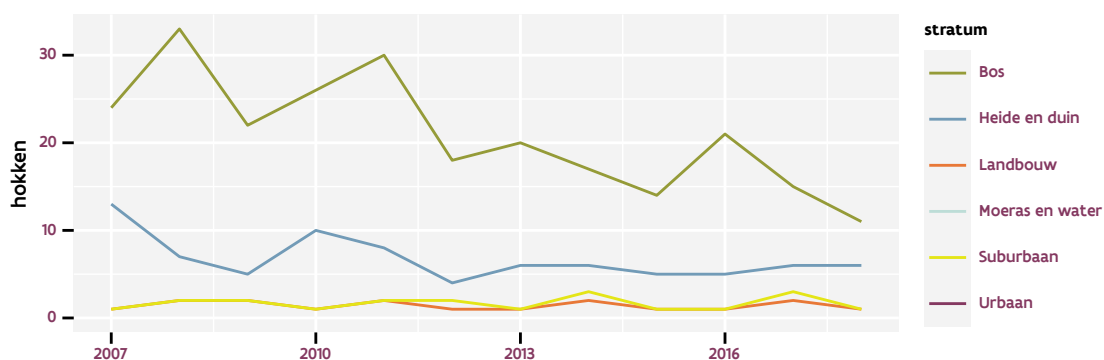
2.91 ZWARTE MEES



Figuur 2.268: Vlaamse indices voor Zwarte mees op basis van jaarlijkse data. De trend is niet lineair.



Figuur 2.269: Vlaamse indices voor Zwarte mees op basis van data geaggregeerd per driejaarlijkse cyclus. De trend is mogelijk niet-lineair.



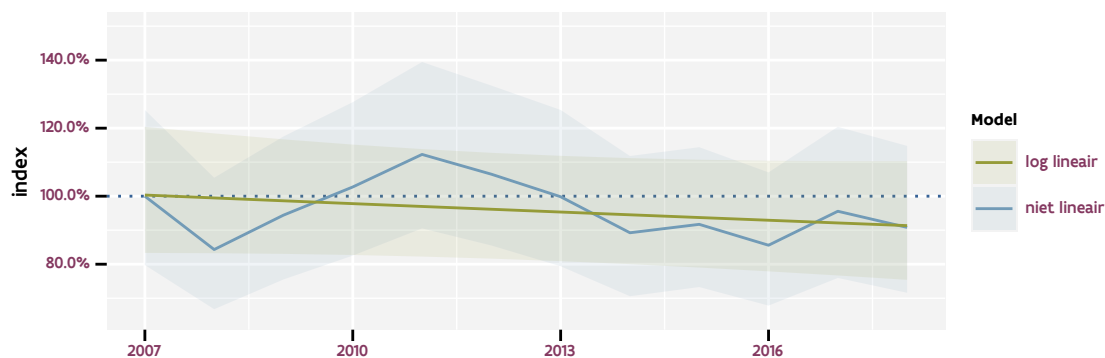
Figuur 2.270: Aantal onderzochte relevante hokken per jaar voor Zwarte mees

Tabel 2.109: Controlesommen van de modellen voor Zwarte mees.

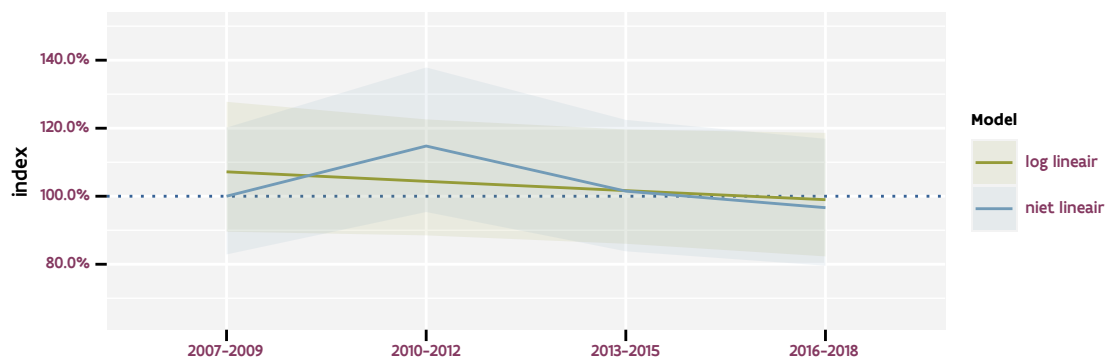
model	analyse	status
jaarlijks log-lineair	fccb34b93c89fc76a116	672de8b1168a2d1ae886
	2a3ea07634b8af3b5071	cbd70e076bb7e0e4e2cb
jaarlijks niet-lineair	9073b1404bbec4f3bc8b	fdcaf99672d876b57c9a
	bdf94252c0fa000b6a02	ffdd7d9800ecb2be7cbd

model	analyse	status
driejaarlijks log-lineair	747be677eb7f9f86e652	d180ea3967ce94320766
	4f93cd92ef2822b64e90	a2ee852846cf2ff8997b
driejaarlijks niet-lineair	a8ec8441374c7cb8efcb	c31b31b06490aaf5a953
	820e3f82409dcaf73a9c	d17e28a81934b258aa86

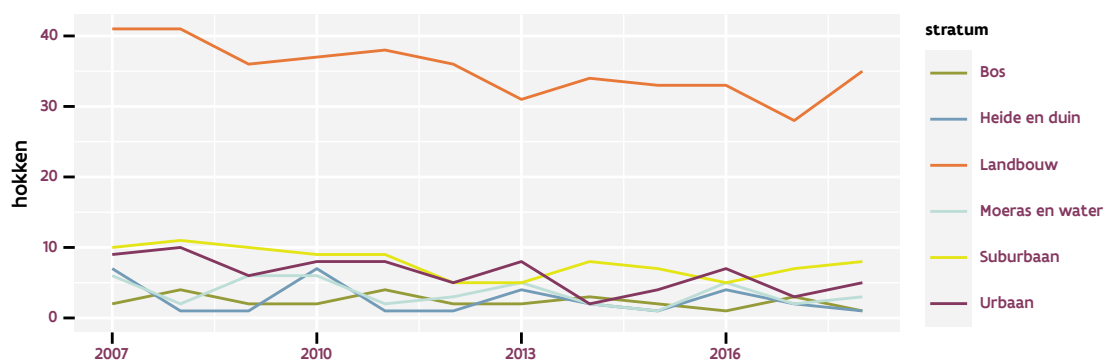
2.92 ZWARTE ROODSTAART



Figuur 2.271: Vlaamse indices voor Zwarte roodstaart op basis van jaarlijkse data. De trend is niet lineair.



Figuur 2.272: Vlaamse indices voor Zwarte roodstaart op basis van data geaggregeerd per driejaarlijkse cyclus. De trend is niet lineair.



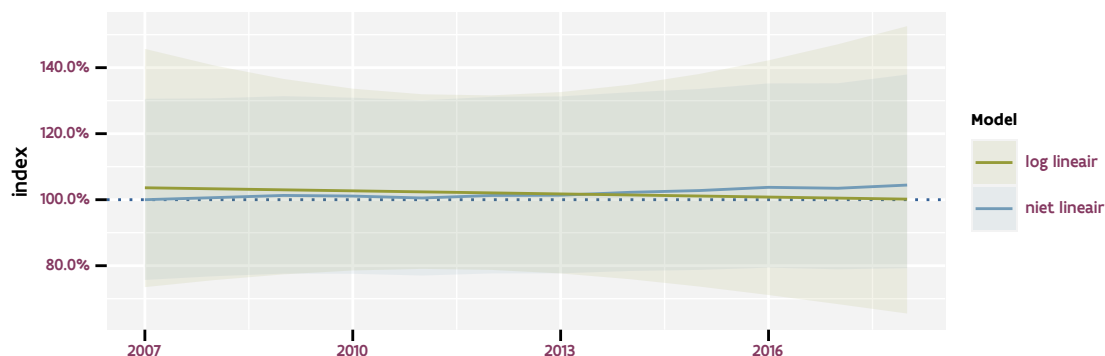
Figuur 2.273: Aantal onderzochte relevante hokken per jaar voor Zwarte roodstaart

Tabel 2.110: Controlesommen van de modellen voor Zwarte roodstaart.

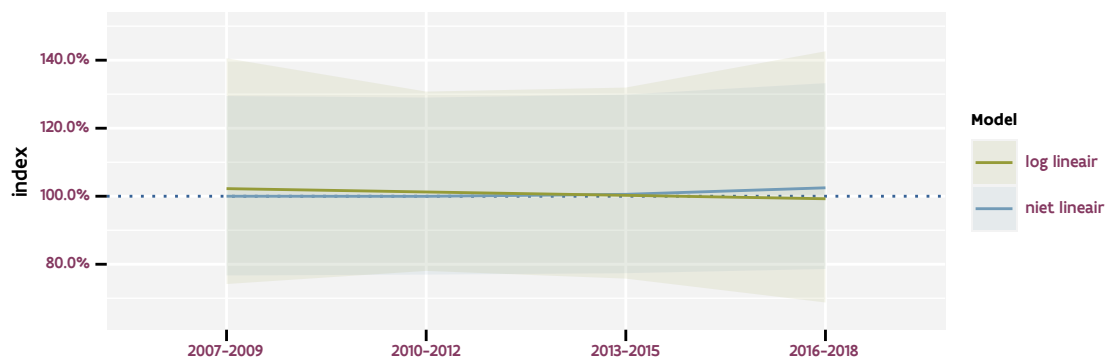
model	analyse	status
jaarlijks log-lineair	a9f0492f3d1c5ff81751	c7400a54e4be19c46c16
	8d32d307b5f2046de04d	3c2e36266ef97647411d
jaarlijks niet-lineair	6695553aff407a6d7d51	3a5c9cbddae4b6805f1f
	7817a2121948426da661	ffdb046534c6e503429e

model	analyse	status
driejaarlijks log-lineair	a8cbf513129a2e54d9b7 917f69ca67ce63b3bb16	b89930ce80f504043291 c3eb7400857fc0a72131
driejaarlijks niet-lineair	e2f7fc594ed7386192b5 7bed16eb4bf881b9c0e2	768fdd0589ac5444e20a f56d63d4345c894d4c60

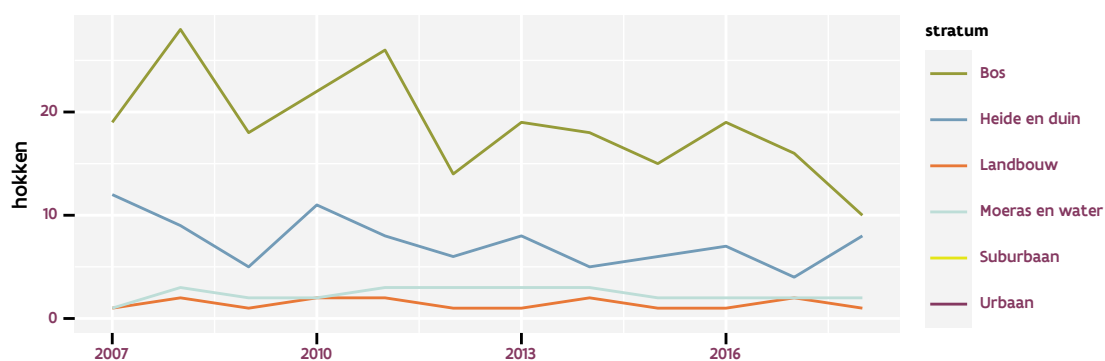
2.93 ZWARTE SPECHT



Figuur 2.274: Vlaamse indices voor Zwarte specht op basis van jaarlijkse data. De trend is niet lineair.



Figuur 2.275: Vlaamse indices voor Zwarte specht op basis van data geaggregeerd per driejaarlijkse cyclus. De trend is niet lineair.



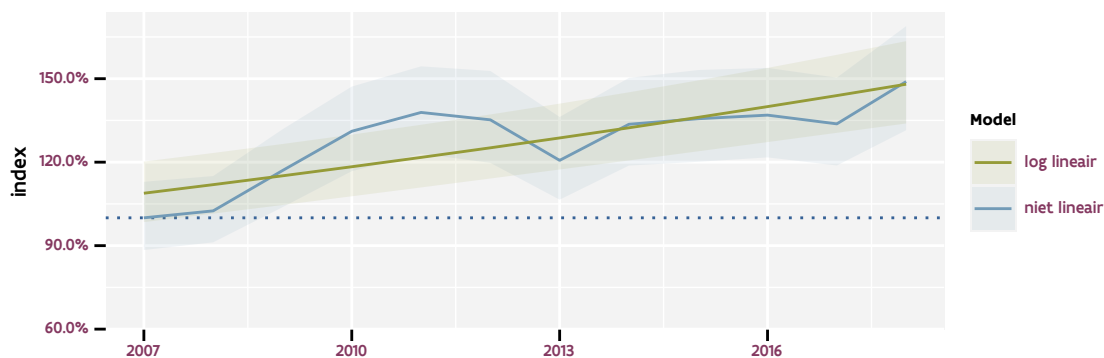
Figuur 2.276: Aantal onderzochte relevante hokken per jaar voor Zwarte specht

Tabel 2.111: Controlesommen van de modellen voor Zwarte specht.

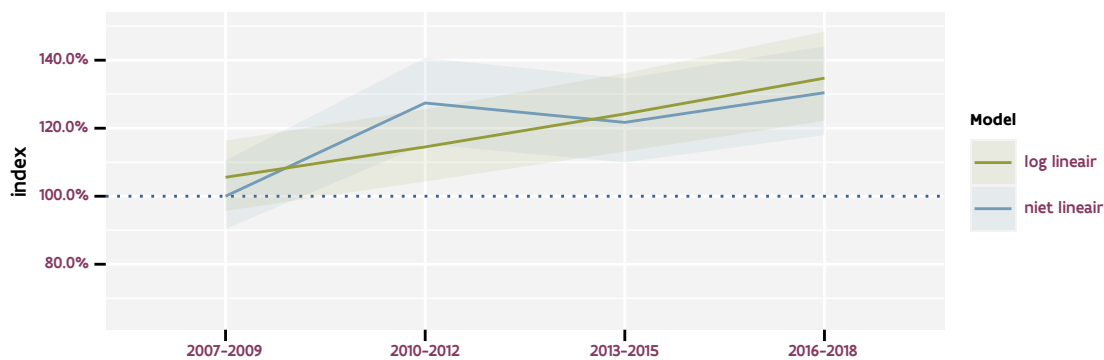
model	analyse	status
jaarlijks log-lineair	833ede96d642b2319801	b40cf5696ccc156b2075
	06d95b6f9036bfb49ff1	3796a5cd5da304bb1abb
jaarlijks niet-lineair	2f49f6799937e0f56707	5d86a1df122c1a5eba36
	ff1d30975f39d27ad67c	ec0ac80c1f5cb1d94914

model	analyse	status
driejaarlijks log-lineair	df6ca12998408f9b354f	2ca3d403b9903d67c0d3
	beecfb4d760a80aceeb	d502567f787dd56ac4f4
driejaarlijks niet-lineair	bf7dd166f6f7a5d6b284	81939e7cea4f4da3c568
	5b7a349888c2665d23b3	77db74316df4be170359

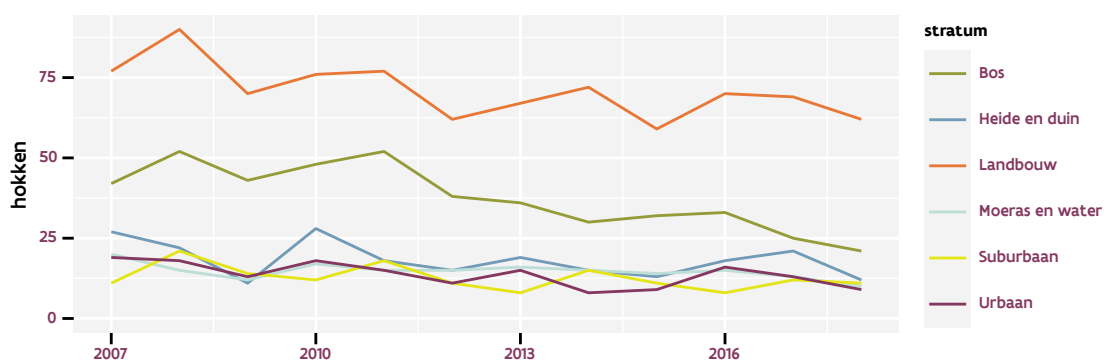
2.94 ZWARTKOP



Figuur 2.277: Vlaamse indices voor Zwartkop op basis van jaarlijkse data. De trend is niet lineair.



Figuur 2.278: Vlaamse indices voor Zwartkop op basis van data geaggregeerd per driejaarlijkse cyclus. De trend is niet lineair.



Figuur 2.279: Aantal onderzochte relevante hokken per jaar voor Zwartkop

Tabel 2.112: Controlesommen van de modellen voor Zwartkop.

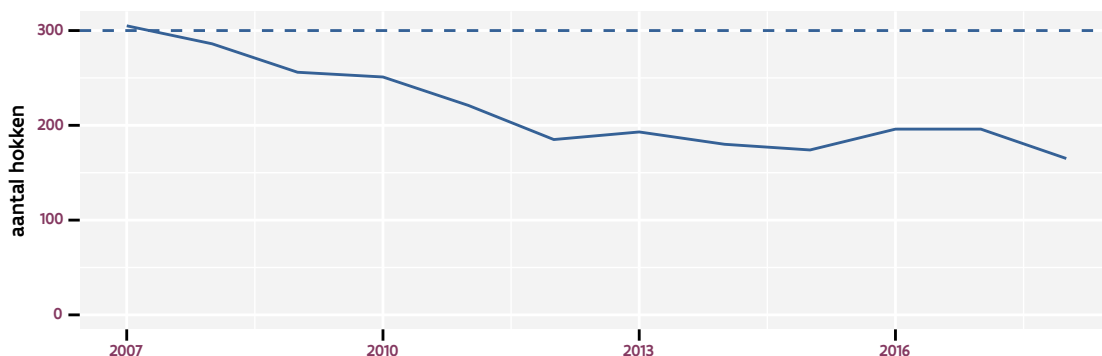
model	analyse	status
jaarlijks log-lineair	a44f8cbc58cd8f947032	a870cf058edc025315cd
	e56761e9c8e8fb138a2e	3cb803a0e0ef8ad95981
jaarlijks niet-lineair	01fc341703d1eb98db00	81f4d140d67b7563c6a8
	e458d8095883544e89c7	8480d9d76eba74236f3c

model	analyse	status
driejaarlijks log-lineair	b823602c2ab0d681f814 2d3ae243a01e7cd27ad0	9459c039fe17c3512225 263ccd86c85afd6fab73
driejaarlijks niet-lineair	47a8a69e453686b98c7e ed97129458ca1947029f	11beb8ed7e5ddbca1490 c7913169411ec0c9c86d

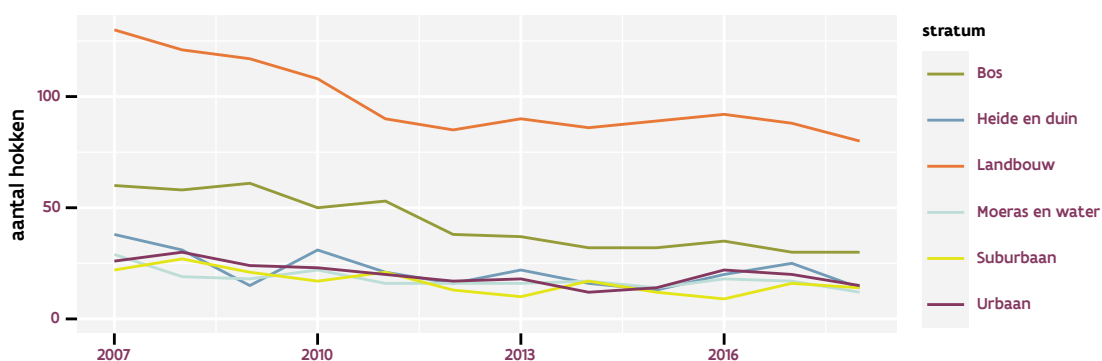
3 OVERZICHT VAN DE MONITORINGSINSPANNING

3.1 AANTAL ONDERZOCHE HOKKEN PER JAAR

Figuur 3.1 heeft voor elk jaar het aantal hokken dat minstens een keer bezocht werd. In iguur 3.2 splitsen we dit aantal hokken uit over de verschillende strata.

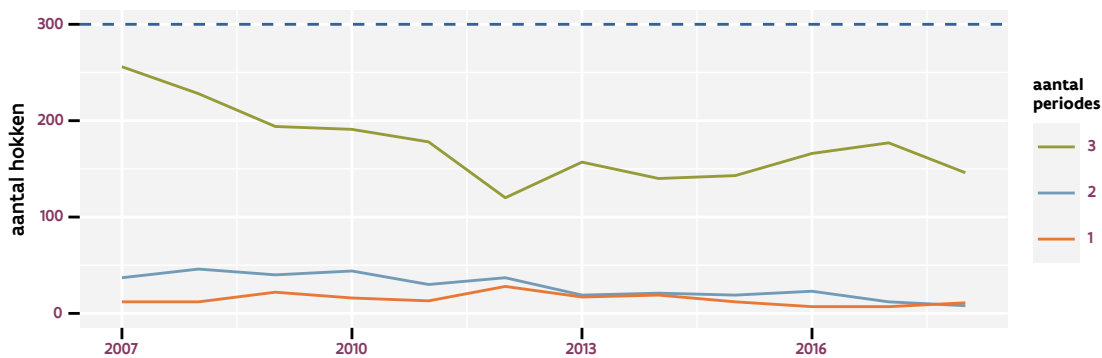


Figuur 3.1: Aantal onderzochte hokken per jaar



Figuur 3.2: Aantal onderzochte hokken per jaar opgesplitst per stratum

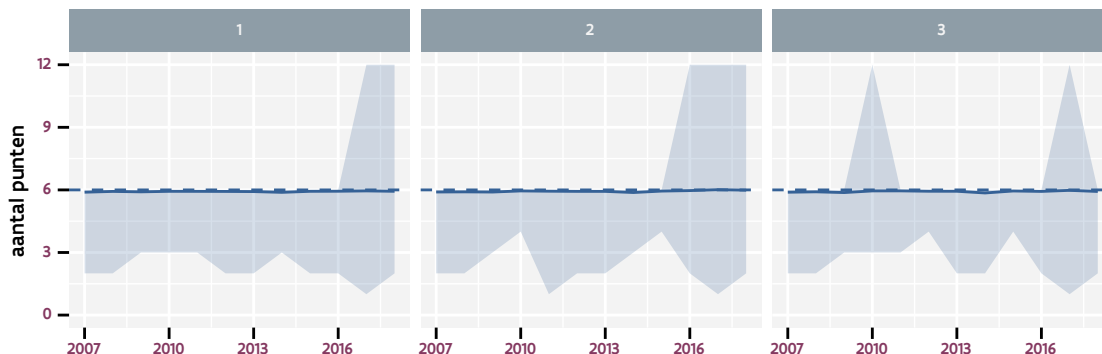
Het is de bedoeling dat een hok tijdens een jaar in drie verschillende periodes onderzocht wordt. In figuur 3.3 geven we het aantal hokken weer dat tijdens 1, 2 en 3 periodes onderzocht werd.



Figuur 3.3: Aantal onderzochte hokken per jaar in functie van het aantal periodes waarin het hok onderzocht werd.

3.2 AANTAL ONDERZOCHE PUNTEN

Elk hok bevat zes punten waar de tellingen uitgevoerd worden. In de mate van het mogelijke worden alle zes punten bezocht tijdens elk bezoek. De volle lijn in figuur 3.4 geeft het gemiddeld aantal onderzochte punten per hok weer. De band geeft de spreiding tussen het minimum en het maximum weer. Voor elke periode hebben een een afzonderlijke subplot gemaakt. Meer gedetailleerde cijfers zijn beschikbaar in tabel 3.1. Merk op dat het aantal onderzochte punten soms groter is dan 6. Dit is het gevolg van twee bezoeken binnen eenzelfde periode. Vaak is een van beide bezoeken bedoelt als een bezoek voor de vorige of volgende periode.



Figuur 3.4: Aantal onderzochte punten per hok opgesplitst per periode.

Tabel 3.1: Aantal hokken per jaar en per periode (rijen) en per aantal bezochte punten (kolommen)

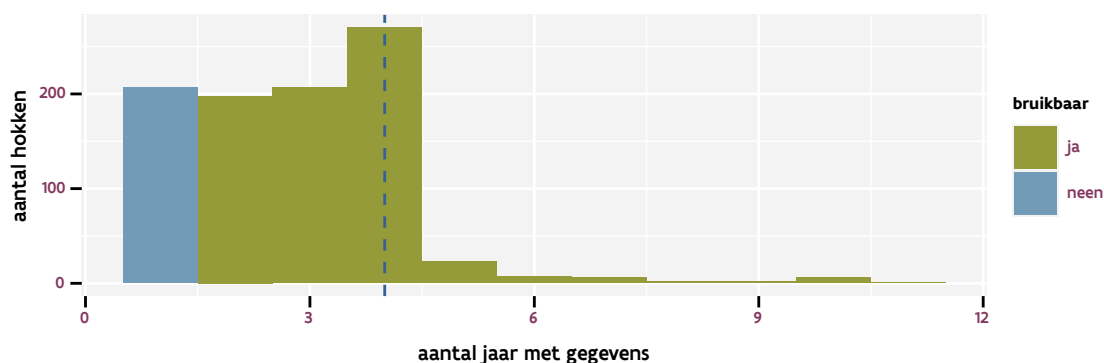
jaar	periode	1	2	3	4	5	6	10	12
2007	1		1	2	8	4	258		
2007	2		1	1	9	5	284		
2007	3		1	1	9	6	264		
2008	1		1	2	2	5	252		
2008	2		1	4		10	261		
2008	3		1	2	1	11	235		
2009	1			2	4	8	222		
2009	2			2	4	10	219		
2009	3			3	4	10	196		
2010	1			1	5	2	213		
2010	2				4	3	220		
2010	3			1	6	2	219		1
2011	1			1	3	5	192		
2011	2	1			2	4	203		
2011	3			1	1	4	190		
2012	1		1		2	4	157		
2012	2		1		1	5	150		
2012	3				2	5	134		
2013	1		2		2	2	168		
2013	2		1		2	5	175		
2013	3		1		2	3	163		
2014	1			2	4	6	159		
2014	2			2	3	8	147		
2014	3		1	2	2	8	137		
2015	1		1		1	5	156		
2015	2				2	5	153		
2015	3				2	4	150		
2016	1		1		1	6	181		
2016	2		1		3	2	175		1
2016	3		1		2	5	172		
2017	1	1		2	2	6	175		2
2017	2	1		2	2	7	172		4
2017	3	1		2	2	7	171		3
2018	1		1		4	5	154		1
2018	2		1		2	4	144	1	1
2018	3		1		1	5	140		



3.3 HERBEZOEK VAN HOKKEN

We streven er naar om elk hok om de drie jaar opnieuw te bezoeken. Als we hierbij de jaarlijkse inspanning min of meer constant houden, zouden we drie sets van hokken krijgen. De eerste set wordt tijdens jaar 1 onderzocht, de tweede set in jaar 2 en de derde set in jaar 3. In jaar 4 herbeginnen we opnieuw met de eerste set. Na `n_cycl` driejarige cycli, verwachte we dus hoofdzakelijk hokken met `n_cycl` jaren gegevens (figuur 3.5).

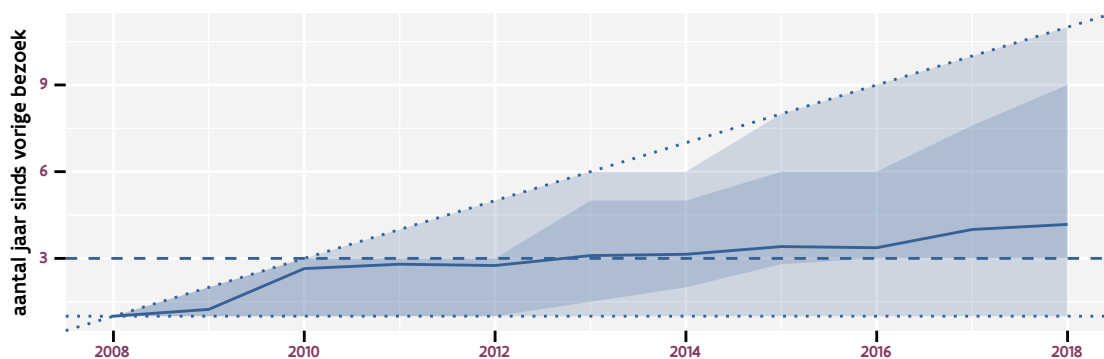
De herbezoeken zijn cruciaal omdat we enkel hokken die in meerdere jaren onderzocht zijn kunnen gebruiken om de trends te bepalen. Hokken die slechts in één jaar onderzocht zijn, zijn hierdoor niet bruikbaar (figuur 3.5). Het loont echter de moeite om dergelijke hokken in de toekomst toch nog opnieuw te onderzoeken.



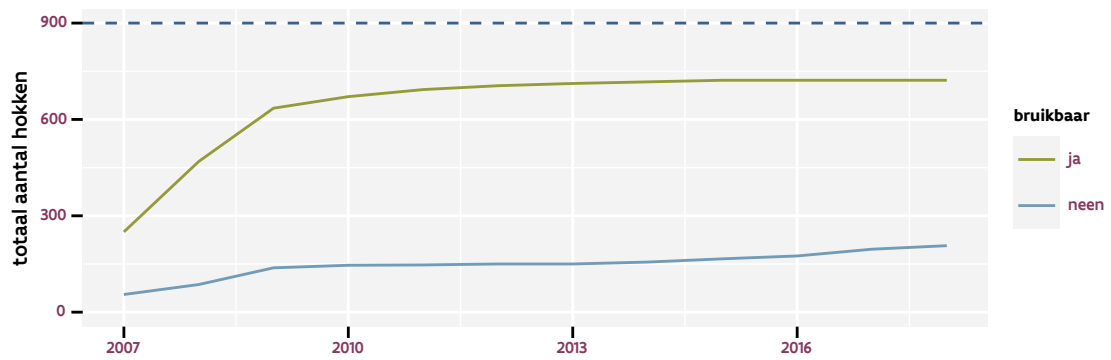
Figuur 3.5: Histogram van het aantal jaar waarin een hok onderzocht werd

In de praktijk worden de hokken niet altijd om de drie jaar herbezoekt. In figuur 3.6 geven we voor elk jaar het gemiddeld aantal jaar sinds het vorige bezoek aan een hok. Aangezien het meetnet in 2007 van start ging, zijn de eerste herbezoeken pas sinds 2008 mogelijk. De bleke band geeft de spreiding tussen het minimum en maximum aantal jaar sinds het vorige bezoek weer. De donkere band geeft de spreiding tussen 10% en 90% van het aantal hokken weer.

Hoewel we streven naar een herbezoek om de drie jaar, kiezen sommige medewerkers er voor om hokken frequenter opnieuw te bezoeken. Dit is overigens een meerwaarde voor de trendberekening. We zien ook dan er bijna elk jaar hokken zijn die dan pas voor het eerst herbezoekt worden.



Figuur 3.6: Aantal jaar tussen twee opeenvolgende bezoeken van een hok



Figuur 3.7: Cummulatief aantal onderzochte hokken

